

UNIVERSIDAD POLITÉCNICA SALESIANA SEDE CUENCA CARRERA DE INGENIERÍA CIVIL

DISEÑO GEOMÉTRICO Y ESTRUCTURAL DE LA VÍA COCHAPATA – MORASLOMA DESDE LA ABSCISA 0+000 HASTA 2+750 KM, EN EL CANTÓN NABÓN, PROVINCIA DEL AZUAY

Trabajo de titulación previo a la obtención del título de Ingeniero Civil

AUTORES: ERICK ALEXANDER ARÉVALO ALVARADO EDGAR SEBASTIÁN CAJAS PARRA

TUTOR: ING. DANIEL LEONIDAS CÁRDENAS JARAMILLO, MSc.

Cuenca - Ecuador 2025

CERTIFICADO DE RESPONSABILIDAD Y AUTORÍA DEL TRABAJO DE TITULACIÓN

Nosotros, Erick Alexander Arévalo Alvarado con documento de identificación N° 0350097143 y Edgar Sebastián Cajas Parra con documento de identificación N° 0302884549; manifestamos que:

Somos los autores y responsables del presente trabajo; y, autorizamos a que sin fines de lucro la Universidad Politécnica Salesiana pueda usar, difundir, reproducir o publicar de manera total o parcial el presente trabajo de titulación.

Cuenca, 10 de enero del 2025

Atentamente,

Erick Alexander Árévalo Alvarado

0350097143

Edgar Sebastián Cajas Parra

0302884549

CERTIFICADO DE CESIÓN DE DERECHOS DE AUTOR DEL TRABAJO DE

TITULACIÓN A LA UNIVERSIDAD POLITÉCNICA SALESIANA

Nosotros, Erick Alexander Arévalo Alvarado con documento de identificación N° 0350097143

y Edgar Sebastián Cajas Parra con documento de identificación Nº 0302884549, expresamos

nuestra voluntad y por medio del presente documento cedemos a la Universidad Politécnica

Salesiana la titularidad sobre los derechos patrimoniales en virtud de que somos autores del

Proyecto técnico: "Diseño geométrico y estructural de la vía Cochapata – Morasloma desde la

abscisa 0+000 hasta 2+750 km, en el cantón Nabón, Provincia del Azuay", el cual ha sido

desarrollado para optar por el título de: Ingeniero Civil, en la Universidad Politécnica

Salesiana, quedando la Universidad facultada para ejercer plenamente los derechos cedidos

anteriormente.

En concordancia con lo manifestado, suscribimos este documento en el momento que hacemos

la entrega del trabajo final en formato digital a la Biblioteca de la Universidad Politécnica

Salesiana.

Cuenca, 10 de enero del 2025

Atentamente,

Erick Alexander Arevalo Alvarado

0350097143

Edgar Sebastián Cajas Parra

0302884549

CERTIFICADO DE DIRECCIÓN DEL TRABAJO DE TITULACIÓN

Yo, Daniel Leonidas Cárdenas Jaramillo con documento de identificación N° 0104031232, docente de la Universidad Politécnica Salesiana, declaro que bajo mi tutoría fue desarrollado el trabajo de titulación: DISEÑO GEOMÉTRICO Y ESTRUCTURAL DE LA VÍA COCHAPATA – MORASLOMA DESDE LA ABSCISA 0+000 HASTA 2+750 KM, EN EL CANTÓN NABÓN, PROVINCIA DEL AZUAY, realizado por Erick Alexander Arévalo Alvarado con documento de identificación N° 0350097143 y por Edgar Sebastián Cajas Parra con documento de identificación N° 0302884549, obteniendo como resultado final el trabajo de titulación bajo la opción Proyecto técnico que cumple con todos los requisitos determinados por la Universidad Politécnica Salesiana.

Cuenca, 10 de enero del 2025

Atentamente,

Ing. Daniel Leonidas Cárdenas Jaramillo

0104031232

DEDICATORIA

Principalmente a Dios quien me encamino y me dio la fortaleza de seguir adelante sin rendirme. A mis padres Wilson y Lupe que han sido un pilar fundamental y siempre estuvieron atentos a mis necesidades inculcándome buenos valores. A mi abuelo que hoy en día está en el cielo y sé que está orgulloso de este logro. Especialmente a mi abuelita que siempre me ha brindado su amor y quien me ayudo en el trascurso de esta carrera solventando todas mis necesidades. Para mis pequeños sobrinos que me alegran cada día, que sea este proyecto un recurso que les impulse a obtener sus metas. A mi hermana que es un gran ejemplo a seguir. A mis familiares cercanos quienes siempre estuvieron atentos a mi progreso. A mis amigos y compañeros con los que conviví de manera especial en el transcurso de la universidad. A mi compañero de tesis con el que supere este objetivo de vida. Y a una persona especial que siempre estuvo apoyándome en todo momento, quien no permitió que agachara la cabeza y siempre me impulso a ser mejor

Erick Alexander

Primero agradecer a Dios por ser la luz que iluminó todo mi camino universitario, con altos y bajos, pero nunca me abandonó. A mis padres Fanny Eulalia y Edgar Ernesto que durante todo este trayecto han sido un pilar fundamental que con su cariño y su apoyo incondicional me han acompañado en este trayecto.

A mi Tío Fernando que ha estado pendiente de mí y se que ahora no está aquí presente, pero desde el cielo se lo orgulloso que está de que este próximo a culminar mi carrera. De igual manera a mis compañeros y amigos que desde el día uno nos apoyamos y crecimos juntos en toda esta trayectoria.

Edgar Sebastián

Índice de contenido

	ADO DE RESPONSABILIDAD Y AUTORIA DEL TRABAJO DE ÓN	II
	ADO DE CESIÓN DE DERECHOS DE AUTOR DEL TRABAJO DE	
	ÓN A LA UNIVERSIDAD POLITÉCNICA SALESIANA	III
1. Conter	iido	XII
1.1. R	esumen	XII
1.2. A	bstract	XIII
1.3. In	ntroducción	1
1.4. P	roblema	2
1.4.1.	Antecedentes	3
1.4.2.	Importancia y Alcances	4
1.4.3.	Delimitación	5
1.5. C	Objetivos	5
1.5.1.	Objetivo general	6
1.5.2.	Objetivo específico	6
	Teórico	
2.1. C	Carreteras	6
2.2. D	Diseño Geométrico	7
2.2.1.	Velocidad de diseño	7
2.2.2.	Alineamiento Horizontal	8
2.2.3.	Alineamiento Vertical	9
2.2.4.	Peralte	10
2.2.5.	Radio Mínimo de Curvatura	10
2.2.6.	Coeficiente de fricción lateral	11
2.2.7.	Distancia de frenado	12
2.2.8.	Distancia de visibilidad en curvas horizontales	13
2.2.9.	Distancia de visibilidad lateral	13
2.2.10.	Distancia de rebasamiento	14
2.2.11.	Sobre anchos de curva	14
2.3. T	ránsito	15
2.3.1.	TPDA	15
2.3.2.	Trafico futuro	16
2.3.3.	Factor Horario	17
2.3.4.	Factor Diario	17

	2.3.5.	Factor Semanal.	.17
	2.3.6.	Factor mensual	.17
	2.3.7.	ESALS	.17
	2.3.8.	Factores de carga equivalente (LEF)	.17
	2.3.9.	Factor camión	.18
	2.3.10.	Clasificación de carreteras por Volumen de Tránsito	.18
	2.3.11.	Clasificación de vías por su Función	.18
	2.3.11.1	1. Corredores Arteriales	.19
	2.3.11.2	2. Vías Colectoras	.19
	2.3.11.3	3. Caminos Vecinales	.20
	2.3.12.	Tipos de terreno	.20
	2.3.12.	1. Terreno plano	.20
	2.3.12.2	2. Terreno ondulado	.20
	2.3.12.3	3. Terreno montañoso	.21
	2.3.12.4	4. Terreno escarpado	.21
2	.4. Sı	uelo	.21
2	.5. To	opografía	.21
	2.5.1.	Estudio topográfico RTK	.22
2	.6. N	ormativa Técnica	.22
2	.7. A	ASHTO 93	.22
2	.8. G	eotecnia	.23
2	.9. Es	studios Geotécnicos	.23
	2.9.1.	Ensayo de Granulometría	.23
	2.9.2.	Ensayo de Proctor Estándar y Proctor Modificado	.24
	2.9.3.	Ensayo de CBR (Californian Bearing Ratio)	.24
2	.10. Pa	avimentos	.25
	2.10.1.	Pavimentos flexibles	.25
	2.10.1.	1. Base	.25
	2.10.1.2	2. Subbase	.26
	2.10.1.3	3. Carpeta Asfáltica	.26
	2.10.2.	Pavimento Rígido	.26
2	.11. D	iseño de Pavimentos Flexibles	.27
	2.11.1.	Confiabilidad R	.27
	2.11.2.	Módulo Resiliente	.28
	2.11.3.	Módulo resiliente de la carpeta asfáltica	.28

	2.11.4.	Número Estructural	.29
	2.11.5.	Determinación de números estructurales	.30
	2.11.6.	Pérdida de serviciabilidad	.31
	2.11.7.	Características del drenaje	.32
	2.11.8.	Diseño Estructural	.33
	2.11.9.	Análisis de espesores	.33
2	.12. Seña	alización Vertical	.34
	2.12.1.	Colores	.35
	2.12.2.	Distancia de Legibilidad	.36
	2.12.3.	Señales de Información	.36
	2.12.3.1.	Ubicación	.36
	2.12.3.2.	Diseño de flechas	.37
	2.12.3.3.	Soportes para señales de información	.37
	2.12.3.4.	Diseño	.38
	2.12.3.5.	Señal de decisión de destino	.38
	2.12.4.	Señales Regulatorias	.39
	2.12.4.1.	Clasificación de señales regulatorias	.39
	2.12.5.	Señales Preventivas	.41
	2.12.5.1.	Clasificación de señales preventivas	.42
2	.13. Seña	alización horizontal	.43
	2.13.1.	Mensaje	.43
	2.13.2.	Ubicación	.44
	2.13.3.	Color	.44
	2.13.4.	Retro reflexión	.44
	2.13.5.	Líneas longitudinales	.45
	2.13.5.1.	Doble línea continua (línea de barrera)	.46
	2.13.5.2.	Doble línea mixta	.46
	2.13.6.	Zonas de no rebasar	.47
	2.13.7.	Líneas de borde de calzada.	.48
	2.13.7.1.	Líneas de borde de calzada continua	.49
	2.13.8.	Líneas transversales	.49
	2.13.8.1.	Líneas de pare	.50
	2.13.9.	Precipitaciones	.51
	2.13.10.	Datos de Lluvia	.51
	2.13.11.	Curvas IDF	.51

2.13.11.1. Cálculo de Curvas IDF	52
2.14. Cunetas	52
2.14.1. Pendiente y velocidad	53
2.14.2. Forma de la Sección	53
2.14.3. Sección típica de la cuneta	54
2.14.4. Cálculo del Coeficiente de escorrentía C	55
2.14.5. Cálculo del caudal en la estructura	55
3. METODOLOGIA	56
3.1. Cálculos	56
3.1.1. Topografía	56
3.1.2. Ubicación del proyecto	56
3.1.3. Levantamiento	57
3.1.4. Procesamiento de datos	57
3.2. Ensayos de Laboratorio	59
3.2.1. Recolección de muestras	59
3.2.2. Proctor Modificado	60
3.2.3. CBR	61
3.3. TPDA	62
3.3.1. Conteo Vehicular	62
3.3.2. Cálculo de TPDA	64
3.3.3. Proyección de trafico	65
3.4. ESALS	66
3.5. Diseño de Pavimento flexible	69
3.5.1. Daño relativo (Uf)	69
3.5.2. Parámetros de confiabilidad	70
3.5.3. Parámetros de serviciabilidad	71
3.5.4. Coeficientes estructurales	72
3.5.5. Coeficiente de drenaje	75
3.5.6. Cálculo del número estructural requerido	75
3.6. Estructuras de evacuación de Aguas Pluviales	78
3.6.1. Cunetas	78
3.6.1.1. Curas IDF	78
3.6.1.2. Aporte	80
3.6.1.3. Método Racional	81
3.6.1.4. Dimensionamiento de la cuneta	81

	3.6.2	2. Alcantarillas de alivio	84
	3.7.	Diseño Geométrico	84
	3.7.1	1. Alineamiento Horizontal	85
	3.7.1	1.1. Velocidad de diseño	85
	3.7.1	1.2. Radio mínimo de curva	86
	3.7.1	1.3. Distancia de frenado	88
	3.7.1	1.4. Distancia de visibilidad en curvas horizontales	88
	3.7.1	1.5. Distancia de visibilidad lateral	89
	3.7.1	1.6. Distancia de visibilidad de rebasamiento	89
	3.7.1	1.7. Curvas Calculadas	90
	3.7.2	2. Alineamiento Vertical	92
	3.7.3	3. Sobreancho	93
	3.7.4	1. Peralte	93
	3.8.	Señalización	94
	3.9.	Presupuesto referencial	95
	3.10.	Conclusiones	97
	3.11.	Recomendaciones	98
4	. Bibli	iografía	99
	4.1.	Anexos	102

Índice de Tablas

Tabla 1 Velocidades de Diseño	
Tabla 2 Elementos de una curva circular simple	9
Tabla 3 Coeficiente de fricción lateral en base a velocidad de diseño	12
Tabla 4 Distancia mínima de visibilidad para rebasamiento	14
Tabla 5 Clasificación de Carreteras por TPDA	18
Tabla 6 Jerarquía de la Vía	19
Tabla 7 Confiabilidad R	27
Tabla 8 Relación señalización línea de separación de circulación opuesta segmentada	
Tabla 9 Distancia de visibilidad	
Tabla 10 Distancia de rebasamiento mínimo	
Tabla 11 Velocidades del Agua con que se erosionan diferentes materiales	
Tabla 12 Especificaciones de la prueba Proctor Modificada	
Tabla 13 Resultados de Proctor Modificado	
Tabla 14 Resultados de CBR	
Tabla 15 Total de vehículos que ingresan y salen por día, en una semana	
Tabla 16 Factor semanal correspondiente al presente año	
Tabla 17 Tabla de consumo de combustibles para Azuay 2023	
Tabla 18 TPDA observado corregido	
Tabla 19 Tasa de crecimiento vehicular	
Tabla 20 Calculo de TPDA proyectado con la tasa vehicular	66
Tabla 21 Calculo de factor camión por tipo de vehículo	
Tabla 22 Parámetros de cálculo de ESALS	
Tabla 23 Calculo de ESALS	
Tabla 24 Daño relativo de la subrasante	
Tabla 25 Confiabilidad Recomendada	
Tabla 26 desviación normal estándar	
Tabla 27 Serviciabilidad inicial (Po)	
Tabla 28 Serviciabilidad final (Pf)	
Tabla 29 Error normal combinado	
Tabla 30 Coeficientes estructurales calculados	
Tabla 31 Selección de la Calidad de drenaje	
Tabla 32 Cálculo de espesores de pavimento flexible (tramo 1)	
Tabla 33 Espesores mínimos para las capas de un pavimento	
Tabla 34 Coeficientes estructurales calculados	
Tabla 35 Calculo de SNr	
Tabla 36 Espesor de material de reposición	
Tabla 37 Curvas IDF de la Cuenca del Proyecto	
Tabla 38 Velocidades de diseño	85
Tabla 39 Valores de diseño recomendado para carreteras de dos carriles y caminos vecinales de	<u>. </u>
construcción	
Tabla 40 Coeficiente de fricción en función de velocidad de diseño	
Tabla 41 Distancia mínima de visibilidad para rebasamiento	
Tabla 42 Curvas horizontales Pt 1	
Tabla 43 Curvas horizontales Pt 2	
Tabla 44 Presupuesto total del proyecto	95

Índice de Figuras

Figura 1 Ubicación y Geomorfología del Cantón	3
Figura 2 Ubicación de la vía diseñada	5
Figura 3 Curva generada con el ensayo Proctor	24
Figura 4 Determinación del Módulo Resiliente	28
Figura 5 Módulo resiliente del Asfalto	29
Figura 6 Ábaco para el cálculo del coeficiente a2 para Base	30
Figura 7 Ábaco para el cálculo del coeficiente a3 para subbase	31
Figura 8 Ábaco para el cálculo del coeficiente a1 para asfalto	31
Figura 9 Calidad del drenaje según exposición a la humedad	32
Figura 10 Capas del Pavimento flexible	34
Figura 11 Flechas para uso de señales de guía	37
Figura 12 Soporte normal de dos postes - rural	
Figura 13 Señal de advertencia de destino	38
Figura 14 Señal de decisión de destino (I1 - 2a)	
Figura 15 Señalización Pare (R1-1)	40
Figura 16 Señalización Doble vía (R2-2)	40
Figura 17 - Señalización límite máximo de velocidad	41
Figura 18 Señalización Curva Cerrada	
Figura 19 Señalización Curva y Contracurva cerrada	43
Figura 20 Líneas segmentadas de separación de circulación opuesta	
Figura 21 Doble línea continua (línea de barrera)	46
Figura 22 Doble línea mixta: continua y segmentada	
Figura 23 Líneas continuas de borde	49
Figura 30 Línea de pare en intersección con señal vertical de pare	50
Figura 25 Curvas IDF	52
Figura 26 Dimensiones típicas de cunetas	
Figura 27 Sección Típica de una cuneta	
Figura 28 Coeficientes de escorrentía	55
Figura 29 Ubicación del proyecto	56
Figura 30 RTK utilizado	57
Figura 31 Nube de puntos importados en Civil 3D	58
Figura 32 Curvas de Nivel en Civil 3D	
Figura 33 Recolección de muestras de suelo	
Figura 34 Ecuación para el cálculo del módulo resiliente	69
Figura 35 Ábaco para la determinación del Daño Relativo	
Figura 36 Determinación de coeficiente estructural a1	
Figura 37 Determinación de coeficiente estructural a2	
Figura 38 Determinación de coeficiente estructural a3	
Figura 39 Ecuación de intensidad máxima de precipitación para un periodo de retorno	

Figura 40 Ecuación del tiempo de concentración según Kirpich	79
Figura 41 Cálculo del tiempo de concentración	80
Figura 42 Coeficientes de escorrentía	80
Figura 43 Relación de altura y espaciamiento de cuneta	82
Figura 44 Comprobación del tirante critico de la cuneta	83
Figura 45 Excavación de calicata	102
Figura 46 Obtención de calicatas	102
Figura 47 Estado actual de la vía	103
Figura 48 Estado actual de la vía 2	103
Figura 49 Inspección de la vía	104
Figura 50 Inspección de la vía	104
Figura 51 Medición de profundidad de excavación	105
Figura 52 Cajón de Alivio existente en la vía	105
Figura 68 Levantamiento con RTK	105
Figura 54 Curva crítica del proyecto	106
Figura 55 Recolección de muestra	106
Figura 56 Vista previa del proyecto	107

1. CONTENIDO

1.1. Resumen

La vialidad desempeña un papel fundamental en el desarrollo social, ya que mejora significativamente la calidad de vida de las comunidades al facilitar el acceso a servicios básicos como la educación y la salud. Una red vial eficiente se convierte en un medio servicial puesto que ayuda a la población benefíciense a acceder de una manera rápida y fácil a los lugares que sean de su interés. Adicionalmente, al mantener una vía bien diseñada de manera adecuada se promueve el desarrollo de zonas urbanas y rurales, además de conservar la seguridad tanto de los peatones, conductores y todos los usuarios de la vía.

En este marco, el presente proyecto de titulación tiene como objetivo principal realizar el diseño geométrico y estructural del pavimento de la vía que conecta las comunidades de Cochapata y Morasloma, pertenecientes al cantón Nabón, en la provincia del Azuay. El proyecto busca solucionar las deficiencias actuales de esta vía, que afectan su funcionalidad y seguridad.

Para cumplir con los objetivos planteados, se realizaron visitas de campo a las comunidades con el fin de inspeccionar las condiciones actuales de la vía. Asimismo, se llevaron a cabo estudios preliminares necesarios, incluyendo el conteo vehicular para determinar el Tráfico Promedio Diario Anual (TPDA), el levantamiento topográfico del terreno, y la recolección de muestras in situ, las cuales fueron analizadas en laboratorio para obtener los datos requeridos.

El diseño geométrico se desarrolló siguiendo las especificaciones del Ministerio de Transporte y Obras Públicas (MTOP), mientras que el diseño estructural del pavimento se elaboró de acuerdo con la normativa AASHTO 93, adoptada en el Ecuador para proyectos de este tipo.

Una vez concluido el diseño final, se procederá a calcular los volúmenes de obra, elaborar los

Análisis de Precios Unitarios (APU) y obtener un presupuesto referencial que permita estimar

los costos asociados a la ejecución del proyecto.

Palabras Clave: Vía, Diseño geométrico, Diseño estructural, TPDA, Señalización vial.

1.2. **Abstract**

Roads play a fundamental role in social development, as they significantly improve the quality

of life of communities by facilitating access to basic services such as education and health. An

efficient road network not only allows for better connections to job opportunities and

recreational activities, but also reduces travel times and costs associated with transportation.

Additionally, a well-designed and properly maintained road considerably reduces the risk of

accidents, improving the safety of drivers, pedestrians and cyclists, promoting the development

of urban and rural areas.

Within this framework, the main objective of this title project is to carry out the geometric and

structural design of the pavement of the road that connects the communities of Cochapata and

Morasloma, belonging to the Nabón canton, in the province of Azuay. The project seeks to

solve the current deficiencies of this road, which affect its functionality and safety.

In order to meet the objectives, set field visits were made to the communities in order to inspect

the current conditions of the road. Likewise, necessary preliminary studies were carried out,

including vehicle counting to determine the Annual Daily Average Traffic (ADAT),

topographic survey of the terrain, and the collection of samples in situ, which were analyzed in

a laboratory to obtain the required data.

XIV

The geometric design was developed following the specifications of the Ministry of Transport

and Public Works (MTOP), while the structural design of the pavement was prepared in

accordance with the AASHTO 93 regulations, adopted in Ecuador for projects of this type.

Once the final design is completed, the work volumes will be calculated, the Unit Price

Analysis (UPA) will be prepared, and a reference budget will be obtained to estimate the costs

associated with the execution of the project.

Keywords: Road, Geometric design, Structural design, TPDA, Road sings.

1.3. Introducción

Una carretera es una infraestructura de transporte terrestre diseñada para conectar diferentes puntos geográficos, cuyo propósito es el transporte seguro y eficiente de personas, vehículos y mercancías. Constituye un sistema complejo que integra elementos como la geometría, la estructura, el pavimento y la señalización todos ellos diseñados para satisfacer las necesidades de circulación y seguridad.

La planificación y diseño de carreteras requieren una atención máxima a los parámetros geométricos, ya que estos determinan la eficiencia, seguridad y sostenibilidad de la infraestructura vial.

Un diseño geométrico óptimo permite no solo una circulación fluida y segura, sino también la minimización del impacto ambiental y la integración con el paisaje urbano y natural. En este sentido, la consideración de factores como la topografía, la visibilidad, la velocidad de diseño y la capacidad de la vía es fundamental para garantizar que la carretera cumpla con los estándares de calidad y funcionalidad exigidos en la actualidad.

Una carretera eficiente debe cumplir con un conjunto de requisitos que abarcan aspectos funcionales, de seguridad, estéticos, económicos y ambientales. Desde el punto de vista geométrico, su diseño debe garantizar una movilidad fluida y segura, mediante la optimización de parámetros como la velocidad de diseño, la visibilidad y la curvatura. Además, es fundamental considerar la integración paisajística, los costos de construcción y mantenimiento, así como la minimización del impacto ambiental, a fin de crear una infraestructura vial sostenible y respetuosa con el entorno. (Cárdenas Grisales, 2013)

1.4. Problema

Este proyecto de investigación se centra en abordar las problemáticas críticas asociadas con la vía en cuestión, la cual presenta una superficie irregular y bacheada debido a su actual estado de lastre. Esta situación genera daños prematuros en los vehículos, afectando negativamente su mantenimiento y desempeño.

Además, el diseño geométrico actual de la vía presenta curvas muy cerradas y tramos estrechos ya que no incluye sobreanchos, lo que incrementa significativamente el riesgo de accidentes de tránsito. La presencia de deslizamientos de tierra en ciertos tramos no solo obstruye el paso, sino que también compromete la seguridad de los usuarios, al crear condiciones impredecibles y peligrosas.

La combinación de estos factores no solo afecta la seguridad vial, sino que también impacta negativamente en la calidad de vida de los residentes locales, quienes dependen de esta vía para acceder a servicios esenciales, empleo y otras actividades fundamentales. La mejora de esta infraestructura vial es crucial para garantizar su bienestar y desarrollo comunitario.

Por otro lado, este proyecto abarca la problemática de tener una vía a nivel de lastre, provocando que el transito ocasione una gran cantidad de polvo, el cual afecta directamente a los moradores que une estas dos parroquias elevando la probabilidad de contraer problemas de salud. En conjunto todos los problemas establecidos generan grandes dificultades eh inconvenientes a los usuarios de la vía en cuanto a accesibilidad, circulación y salud.

1.4.1. Antecedentes

Nabón uno de los cantones de la provincia del Azuay ubicado a 69 km. de la ciudad de Cuenca, conectado mediante la vía Panamericana que va desde Cuenca a Loja. Este cantón cuenta con una extensión de 668.2 km2 representado un 7,56% de la provincia. (Nabón A. d., 2025)



Figura 1 Ubicación y Geomorfología del Cantón

Fuente: (Nabón M. d., 2021)

Está conformado por una parroquia urbana la cual es la cabecera cantonal y esta abarca cuatro diferentes comunas jurídicas identificadas como: Shiña, Chunazana, Puca y Morasloma, por esta última se encuentra el proyecto de vía. Además, Nabón se complementa de sus parroquias rurales: Las Nieves, el Progreso y Cochapata, la cual está ubicada a 10 km de la cabecera cantonal antes mencionada, entre unos 2.300 y 2.700 metros sobre el nivel del mar y a una temperatura promedio de 17 grados. (Nabón A. d., 2025)

Nabón en su totalidad contiene un total de 15.892 personas lo cual representa una densidad de 22.11, los habitantes están distribuidos en sus diferentes parroquias de la siguiente manera: Nabón centro con un total de 9.5256, Cochapata con 3.072, el Progreso con 2.012 y las Nieves con un total de 1.282 personas según el Plan de Desarrollo y Ordenamiento Territorial para el Buen Vivir 2015-2019 de Cochapata.

Cochapata es una parroquia del Cantón Nabón desde el año 1987 y en la cual se hospeda su mayor riqueza arqueológica (Alcaldía de Nabón,2024). Consta con una extensión de 121.83 km2, con respecto de las demás parroquias es la que más población tiene representa el 19%, sin considerar a Nabón centro. Esta parroquia mediante el censo de 2001 contenía 2.686 personas y en el censo de 2010 se incrementó a 3.072 dando como referencia una tasa de crecimiento de 1.49% mayor al promedio cantonal según el PDOT 2015-2019 de Cochapata, también se indica que existían 3.500 personas en el año de 2016.

A consecuencia de lo expuesto anteriormente el aumento de la población y todos los datos acerca de la parroquia de Nabón y la comuna de Morasloma brinda información base para poder iniciar con los estudios de la vía.

1.4.2. Importancia y Alcances

La red vial rural del Gobierno Provincial del Azuay, que incluye las zonas de Cochapata y Morasloma, presenta un panorama preocupante en cuanto a la calidad de sus infraestructuras. La longitud del sistema vial de la provincia del Azuay corresponde a un total de 5055.5 km, el 70.06% corresponde caminos a nivel de lastre y solamente un 19.37% a vías con pavimento flexible, se evidencia un déficit significativo en la inversión y mantenimiento de estas vías. Según el inventario vial, más del 80% de las vías se encuentran en estado regular o malo, lo que no solo afecta la conectividad y la productividad de la región, sino que también aumenta el riesgo de accidentes y pone en peligro la seguridad de los usuarios. (CONGOPE, 2019)

El Plan de Ordenamiento Territorial del cantón Nabón revela la importancia crítica del proyecto, ya que es fundamental para el transporte cantonal rural.

La deficiencia en la infraestructura vial de Cochapata y Morasloma no solo compromete la seguridad de los residentes, sino que también obstaculiza el desarrollo económico al reducir el acceso hacia la cabecera parroquial de Cochapata o Nabón, crucial para muchas actividades

5

laborales locales. El estudio planificado para esta vía tiene como objetivo resolver estos

desafíos mediante la planificación y construcción futura.

Se mejorará la movilidad diaria de los residentes, promoviendo un entorno más seguro y

eficiente. Se espera que este estudio contribuya significativamente a mejorar la infraestructura

vial, reduciendo riesgos y mejorando la calidad de vida local, esencial para el desarrollo

económico de la región.

1.4.3. Delimitación

El proyecto presentado se enfoca en el diseño geométrico y estructural de la vía Cochapata -

Morasloma desde la abscisa 0+000 hasta 2+750 km, en el cantón Nabón, provincia del Azuay.

Nabón uno de los cantones de la provincia del Azuay ubicado a 69 km. de la ciudad de Cuenca,

conectado mediante la vía Panamericana que va desde Cuenca a Loja. Este cantón cuenta con

una extensión de 668.2 km2 representado un 7,56% de la provincia.

Figura 2 Ubicación de la vía diseñada

Fuente: (Google Earth Pro, 2024)

1.5. **Objetivos**

1.5.1. Objetivo general

Elaborar el diseño geométrico y estructural de 2.75 km de la vía Cochapata – Morasloma del Cantón Nabón, provincia del Azuay.

1.5.2. Objetivo específico

- Realizar un levantamiento topográfico mediante el uso de RTK.
- Determinar el Trafico Promedio Diario Anual (TPDA) para un correcto diseño de la vía.
- Elaborar el diseño geométrico vertical-horizontal.
- Realizar el análisis estructural para la carpeta asfáltica pertinente en el diseño.
- Diseñar las estructuras de evacuación de aguas lluvia (cunetas).
- Diseñar la señalización horizontal y vertical, para promover la seguridad vial tanto de los conductores como de los peatones que harán uso de la vía.
- Realizar el estudio de CBR para la determinación de la capacidad portante del suelo

2. Marco Teórico

Contar con una base conceptual firme es esencial para examinar las variables y factores que deben tenerse en cuenta en el diseño de infraestructuras viales, asegurando que este proceso sea sostenible y así definir objetivos, estrategias y métodos claros. A continuación, se presentan los conceptos básicos y necesarios que se deben tener en cuenta para el desarrollado de este estudio.

2.1. Carreteras

Las carreteras son infraestructuras vitales que facilitan la movilidad de personas, productos y servicios, desempeñando un papel fundamental en el desarrollo económico y social de las comunidades. En la era actual, el transporte por carretera es indispensable para mejorar la calidad de vida y satisfacer las necesidades de una población en constante crecimiento. Sin embargo, la construcción de nuevas carreteras debe ir acompañada de un enfoque integral que priorice la sostenibilidad, la durabilidad y la seguridad, garantizando que estas infraestructuras sean capaces de soportar el tráfico creciente y las condiciones ambientales cambiantes, minimizando así su impacto negativo en el medio ambiente.

2.2. Diseño Geométrico

El diseño geométrico de una vía implica una compleja interrelación de factores que deben ser cuidadosamente considerados para garantizar la seguridad, eficiencia y funcionalidad de la infraestructura. Esto incluye la definición detallada de la trayectoria en planta, perfil y sección transversal, así como la incorporación de elementos de seguridad y facilidades para la circulación. La jerarquía vial, las características de los usuarios y vehículos, y los requisitos geométricos basados en el volumen de tráfico y el nivel de servicio proyectado, son todos aspectos críticos que deben ser integrados en el proceso de diseño para asegurar una infraestructura vial óptima y sostenible. (MTOP, 2003)

2.2.1. Velocidad de diseño

La velocidad de diseño es un parámetro fundamental en la planificación y construcción de carreteras, ya que establece el límite de velocidad seguro para una vía determinada bajo condiciones óptimas. Para determinar esta velocidad, se consideran factores como la topografía, la importancia de la vía, los patrones de tráfico y el uso del suelo circundante, con el objetivo de optimizar la seguridad, eficiencia y fluidez del tráfico. Esta velocidad de

referencia es crucial para guiar el diseño geométrico de la carretera, incluyendo la configuración de su alineamiento horizontal y vertical, y garantizar una infraestructura vial segura y eficiente. (MTOP, 2003)

Tabla 1 Velocidades de Diseño

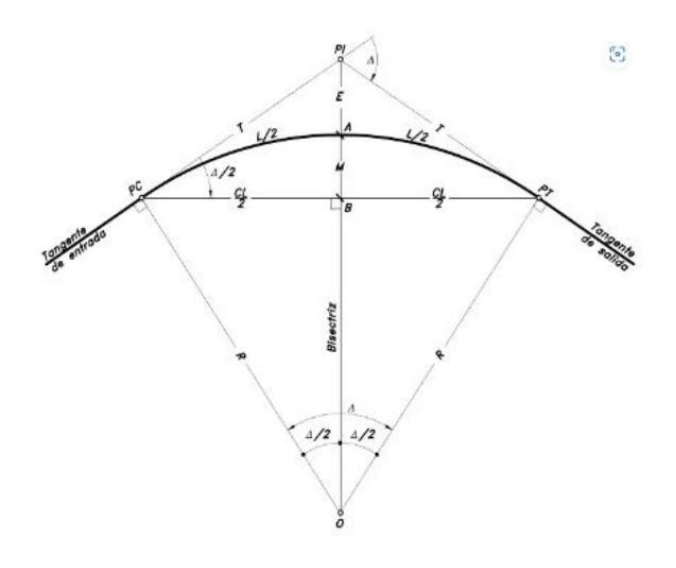
	EGORIA DE LA VIA	TPDA ESPERADO	VELOCIDAD DE DISENO KM/H												
				BAS	ICA			PER	MISIBI	E EN T	TRAMOS DIFICILES				
			R	ELIEVE	LLANG)	RELIEVE ONDULADO				RELIEVE MONTANOSO				
			elementos	lculo de los del trazado ongitudinal	sección tra otros dep	o de los cos de la ansversal y	Para el cále elementos e del perfil le	del trazado	elemen sección to y otros de	a para el o de los tos de la ransversal pendientes	elementos	lculo de los del trazado ongitudinal	element sección to y otros de	o de los tos de la ransversal	
			Recom	endada	Abso	oluta	Recomendada Absoluta		Recomendada		Absoluta				
R-I	R-II(TIPO)	>8000	120	110	100	96	110	90	95	85	90	80	90	90	
I	TODOS	3000-8000	110	100	100	90	100	80	90	80	80	80	80	80	
II	TODOS	1000-8000	100	90	90	86	90	80	85	80	70	50	70	50	
III	TODOS	300-1000	90	80	85	80	80	60	80	60	60	40	60	40	
IV	5.5E, 6 y 7	100-300	80	60	80	60	60	35	60	35	50	25	50	25	
V	4 y 4E	<100	60	50	80	50	50	35	50	35	40	25	40	25	

Fuente: (MTOP, Norma de Diseño Geométrico de Carreteras, 2003)

2.2.2. Alineamiento Horizontal

El diseño del alineamiento horizontal es un componente crítico en la planificación de carreteras, ya que define la trayectoria de la vía en un plano horizontal. Este proceso implica la combinación de segmentos rectos y curvas, que pueden ser circulares o de transición, para garantizar una circulación segura y eficiente. La configuración del alineamiento horizontal se ve influenciada por una serie de factores geotécnicos y ambientales, incluyendo la topografía, las características hidrológicas del terreno, las condiciones de drenaje y la disponibilidad de materiales en la zona. La optimización de este diseño es fundamental para minimizar costos, reducir impactos ambientales y garantizar la estabilidad y durabilidad de la carretera.

Ilustración 1 Elementos de una curva circular simple



Fuente: (Cárdenas, Diseño Geométrico de Carreteras, 2013)

Donde:

Tabla 2 Elementos de una curva circular simple

ELEMENTO	DESCRIPCIÓN
PI	Punto de intersección de las tangentes o vértice de la curva
PC	Principio de curva: punto donde termina la tangente y empieza la curva.
PT	Principio de tangente: punto donde termina la curva y empieza la tangente
	de salida.
О	Centro de la curva circular
Δ	Angulo de deflexión de las tangentes: ángulo de deflexión principal.
R	Radio de curva circular simple
T	Tangente o sub tangente: distancia desde el PI al PC o desde el PI al PT
L	Longitud de curva circular: distancia desde el PC al PT a lo largo del arco
	circular, o de un polígono de cuerdas.
CL	Cuerda Larga: distancia en línea recta desde el PC al PT

Fuente: (Cárdenas, Diseño Geométrico de Carreteras, 2013)

2.2.3. Alineamiento Vertical

El perfil vertical de una carretera es un componente esencial que requiere una atención igualmente importante que el alineamiento horizontal. La configuración del perfil vertical debe estar estrechamente relacionada con la velocidad de diseño, las curvas horizontales y las distancias de visibilidad, con el objetivo de garantizar un desempeño seguro, eficiente y

cómodo para los usuarios. Un diseño óptimo debe lograr un equilibrio entre el alineamiento horizontal y el perfil vertical, evitando comprometer la seguridad y funcionalidad de la vía. La integración armónica de ambos aspectos es fundamental para prevenir problemas de seguridad, reducir el riesgo de accidentes y asegurar una experiencia de conducción satisfactoria. (MTOP, 2003)

2.2.4. Peralte

El peralte en curvas horizontales es un elemento clave para mejorar la estabilidad y comodidad de los vehículos en movimiento. Sin embargo, su diseño debe ser cuidadoso, ya que un ángulo excesivo puede comprometer la tracción y generar deslizamientos laterales a baja velocidad. Debido a estas limitaciones, el peralte no puede neutralizar completamente la fuerza centrífuga en curvas pronunciadas, lo que requiere la consideración de la fricción adicional para evitar el deslizamiento lateral y garantizar la estabilidad del vehículo. La combinación óptima de peralte y fricción es fundamental para asegurar la seguridad y comodidad en la circulación por curvas. (MTOP, 2003)

$$e = \frac{V^2}{127 * R} - f$$

Donde:

$$V = Velocidad de diseño, \frac{Km}{h}$$
.

R = Radio de la curva, m.

f = Máximo coeficiente de fricción lateral

2.2.5. Radio Mínimo de Curvatura

El radio mínimo de curvatura horizontal es un parámetro crítico en el diseño de carreteras, ya que define el límite inferior para garantizar la seguridad y estabilidad de los vehículos a una

velocidad de diseño determinada. Este valor depende del peralte máximo permitido y del coeficiente de fricción lateral, y su selección adecuada es fundamental para evitar peraltes excesivos que comprometan la operación segura de los vehículos. La curvatura horizontal es, por lo tanto, un elemento clave en el diseño del alineamiento vial, y su optimización es esencial para asegurar la seguridad, comodidad y eficiencia del tránsito.

$$R = \frac{V^2}{127 * (e+f)}$$

Donde:

R = Radio minimo de curva horizontal, m.

$$V = Velocidad de diseño, \frac{Km}{h}.$$

f = Coeficiente de firccion lateral

$$e = Peralte de la curva, \frac{m}{m}$$
.

2.2.6. Coeficiente de fricción lateral

El coeficiente de fricción lateral es un parámetro fundamental en la seguridad vial, ya que refleja la interacción entre el neumático del vehículo y el pavimento durante las maniobras de giro. Su valor varía según las condiciones del pavimento, lo que puede afectar significativamente la capacidad del vehículo para girar de manera segura y controlada. En el diseño de carreteras, la consideración de este coeficiente es crucial para determinar el radio mínimo de curvatura que garantice la estabilidad y el control del vehículo durante los giros, especialmente a velocidades específicas, y así asegurar la seguridad de los usuarios de la vía.

Tabla 3 Coeficiente de fricción lateral en base a velocidad de diseño

Velocidad de Diseno	"f"		RADIO MINIMO	O CALCULADO			RADIO MINIMO	RECOMENDADO	
km/h	maximo	e=0.10	e=0.08	e=0.06	e=0.04	e=0.10	e=0.08	e=0.06	e=0.04
20	0.350		7.32	7.58	8.08		18	20	20
25	0.315		12.48	13.12	13.66		20	25	25
30	0.284		19.47	20.50	21.67		25	30	30
35	0.255		26.79	30.02	32.7		30	35	35
40	0.221		41.86	44.83	48.27		42	40	50
45	0.200		55.75	59.94	64.82		58	60	65
50	0.165		72.91	78.74	86.69		75	80	90
60	0.185	105.97	115.70	125.98	138.28	110	120	130	140
70	0.150	154.35	187.75	189.73	203.07	160	170	185	205
80	0.140	209.97	229.95	251.97	279.97	210	230	255	280
90	0.134	272.55	298.94	328.70	366.55	275	300	330	320
100	0.130	342.35	374.95	414.42	465.16	350	375	415	465
110	0.124	425.34	467.94	517.80	550.95	430	470	520	585
120	0.120	515.39	588.93	629.92	708.85	520	570	630	710

Fuente: (MTOP, Norma de Diseño Geométrico de Carreteras, 2003)

2.2.7. Distancia de frenado

La distancia de frenado es una medida crítica que evalúa la capacidad de un vehículo para detenerse de manera segura y eficiente. Esta distancia se ve influenciada por una combinación de factores, incluyendo la velocidad inicial del vehículo, las características del pavimento y el rendimiento del sistema de frenos. Dado que la distancia de frenado es un factor determinante en la seguridad vial, es esencial que se establezcan y cumplan normas mínimas que garanticen la seguridad de los usuarios de la vía. Los conductores deben ser conscientes de estas regulaciones y adaptar su comportamiento al volante en consecuencia, para minimizar el riesgo de accidentes y garantizar una circulación segura. (MTOP, 2003)

$$D = V^2/254(f \pm G)$$

Donde:

$$f = Coeficiente de friccion$$

G = Porcentaje de pendiente, positiva de ascenso (+) y negativa (-) de bajada

$$V = Velocidad inicial, \frac{Km}{h}$$

2.2.8. Distancia de visibilidad en curvas horizontales

"La existencia de obstáculos laterales, tales como murallas, taludes en corte, edificios, etc., sobre el borde interno de las curvas, requiere la provisión de una adecuada distancia de visibilidad." (MTOP, 2003)

$$m = Rc * \left(1 - \cos\left(\frac{28,65 * Dp}{Rc}\right)\right)$$

Donde:

Rc = Radio de curva critico

Dp = Distancia de frenado

2.2.9. Distancia de visibilidad lateral

En el diseño de infraestructuras viales, especialmente en intersecciones y cruces con vías férreas, es fundamental garantizar una distancia de visibilidad lateral suficiente para asegurar la seguridad de los usuarios. Esto permite a los conductores anticipar y reaccionar adecuadamente ante posibles obstáculos o riesgos, como peatones que cruzan la calzada o vehículos y trenes que se aproximan. La determinación de la distancia mínima requerida para esta visibilidad lateral se basa en cálculos específicos que consideran factores como la velocidad de los vehículos y la topografía del terreno. (MTOP, 2003)

$$dL = \frac{V_T}{V_V} * d$$

Donde:

 $V_T = Velocidad\ de\ transeunte\ promedio\ \left(se\ asume\ como\ 10rac{Km}{h}
ight)$

$$V_V = Velocidad de diseño del vehciulo, \frac{Km}{h}$$

d = Distancia de visibilidad para la parada de un vehiculo, m

2.2.10. Distancia de rebasamiento

La distancia de rebasamiento es un parámetro crítico en el diseño de carreteras, ya que determina la longitud mínima requerida para que un vehículo pueda adelantar a otro de manera segura. Aunque en la práctica pueden ocurrir múltiples rebasamientos simultáneos, el análisis de diseño se centra generalmente en el escenario de un solo rebasamiento. Los valores de diseño establecidos para el rebasamiento suelen ser suficientes para acomodar ocasionalmente múltiples rebasamientos, garantizando así la seguridad y fluidez del tráfico. La determinación de la distancia mínima necesaria para rebasar en carreteras de dos carriles es fundamental para optimizar el diseño de estas vías.

Tabla 4 Distancia mínima de visibilidad para rebasamiento

V ₀ ,Km/b	VELOCIDA VEBICUL	DES DE LOS OS, Km/h.		A MINIMA DE BNTO, METROS
	REBASADO	REBASANTB	CALCULADA	RECOMENDADA
25	24	40		(80)
30	28	44		(110)
35	33	49		(130)
40	35	51	268	270 (150)
45	39	55	307	310 (180)
50	43	59	345	345 (210)
60	so	66	412	415 (290)
70	58	74	488	490 (380)
80	66	82	563	565 (480)
90	73	89	631	640
100	79	95	688	690
110	87	103	764	830
120	94	110	831	830

Fuente: (MTOP, Norma de Diseño Geométrico de Carreteras, 2003)

2.2.11. Sobre anchos de curva

El sobreancho en curvas horizontales es una medida de diseño que busca mejorar la seguridad y comodidad del tránsito vehicular. Su implementación se basa en dos principios fundamentales. Por un lado, los vehículos tienden a ocupar un ancho mayor al girar, debido a la trayectoria diferencial de las ruedas delanteras y traseras, lo que requiere un ancho adicional para evitar el riesgo de invadir el carril adyacente. Por otro lado, los conductores enfrentan dificultades para mantener su vehículo centrado en el carril durante las curvas, especialmente a altas velocidades o en curvas de radio pequeño, lo que justifica la necesidad de un sobreancho para facilitar la circulación segura. (MTOP, 2003)

$$S = n * \left(R - \sqrt{R^2 - L^2}\right) + \frac{V}{10 * \sqrt{R}}$$

Donde:

n = numero de carriles

R = Radio de la curva, m

L = Distancia entre parte frontal de vehiculo de diseno y su eje trasero

V = Velocidad de diseno

2.3. Tránsito

Se refiere al movimiento de vehículos que pasan por una vía o una carretera u otro tipo de camino (Porto & Gardey, 2022). La determinación de los volúmenes de tránsito es crucial en este proyecto, ya que permitirá dimensionar adecuadamente la infraestructura vial, asegurando que su diseño y componentes sean compatibles con el flujo vehicular característico de la zona de estudio.

2.3.1. TPDA

16

El tráfico diario promedio anual (TDPA) es un indicador clave que cuantifica el flujo vehicular

en una carretera o sección de ella durante un año. Esta medida es fundamental para evaluar la

intensidad del tráfico y se utiliza en diversas etapas del ciclo de vida de la infraestructura vial,

incluyendo el diseño, mantenimiento y planificación. La determinación del TDPA se basa en

la fórmula establecida en la norma de diseño geométrico de vías MTOP 2003, lo que garantiza

una evaluación precisa y consistente del tráfico en la vía.

$$TPDA = T_0 * FH * FD * FS * FM$$

Donde:

 $T_0 = trafico\ observado$

2.3.2. Trafico futuro

Para determinar este parámetro el proyecto se basa en las tasas de crecimiento vehicular que se

han registrado en los diferentes años, también considera proyecciones a largo plazo,

generalmente entre 15 y 20 años, para anticipar el crecimiento del tráfico debido al desarrollo

urbano, rural y otras variables. Estas proyecciones son fundamentales para determinar la

categorización de las vías y tienen un impacto significativo en la definición de parámetros

geométricos clave, como la velocidad de diseño, que son esenciales para garantizar la seguridad

y eficiencia del tráfico en el proyecto vial. (MTOP, 2003)

$$Tf = T_a * (1+i)^n$$

Donde:

$$T_a = TPDA$$

i = Tasa de crecimiento poblacional

n = A \tilde{n} os a proyectar

2.3.3. Factor Horario

"Nos permite transformar el volumen de tráfico que se haya registrado en un determinado número de horas a VOLUMEN DIARIO PROMEDIO." (MTOP, 2003)

2.3.4. Factor Diario

"Permite transformar el volumen de tráfico diario promedio en VOLUMEN SEMANAL PROMEDIO." (MTOP, 2003)

2.3.5. Factor Semanal

"Transforma el volumen semanal promedio de tráfico en VOLUMEN MENSUAL PROMEDIO." (MTOP, 2003)

2.3.6. Factor mensual

"Transforma el volumen mensual promedio de tráfico en TRAFICO PROMEDIO DIARIO ANUAL (TPDA)." (MTOP, 2003)

2.3.7. ESALS

La respuesta del pavimento ante las cargas es variable y depende del número y peso de los ejes que lo atraviesan. Para estandarizar esta variabilidad, se utiliza el concepto de "ejes equivalentes", que convierte el volumen de tráfico en un número equivalente de ejes con una carga estándar. De esta manera, se garantiza que el impacto en el pavimento sea equivalente al causado por la diversa composición del tráfico, lo que permite una evaluación más precisa del daño y una mejor planificación de su mantenimiento. (AASHTO, 1993)

2.3.8. Factores de carga equivalente (LEF)

"El factor equivalente de carga o LEF es un valor numérico que expresa la relación entre la perdida de serviciabilidad causada por una dada carga de un tipo de eje y la producida por el eje estándar de 80 KN en el mismo eje." (AASHTO, 1993)

$$LEF = \frac{\textit{No.de ESALs de 80 KN que producenuna pérdida de serviciabilidad}}{\textit{No.de ejes de x KN que producen la mismapérdida de serviciabilidad}}$$

2.3.9. Factor camión

"Se define como el número de ESALs por vehículo. Este factor de carga puede ser calculado para cada categoría general de camiones o como un promedio para todos los vehículos comerciales según una configuración de tráfico específica. Es más preciso considerar factores de carga individuales para cada categoría general de camiones." (AASHTO, 1993)

2.3.10. Clasificación de carreteras por Volumen de Tránsito

Con el cálculo del TPDA proyectado mediante la tasa de crecimiento se puede clasificar a la carretera a través del mandato del Ministerio de Transporte y Obras Públicas (MTOP, 2003)

Tabla 5 Clasificación de Carreteras por TPDA

Clase de Carretera	Tráfico Proyectado TPDA	
R-I o R-II	Más de 8000	
I	De 3000 a 8000	
II	De 1000 de 3000	
III	De 300 a 1000	
IV	De 100 a 300	
V	Menos de 100	

Fuente: (MTOP, Norma de Diseño Geométrico de Carreteras, 2003)

2.3.11. Clasificación de vías por su Función

La clasificación de las vías es fundamental en el diseño de infraestructuras viales, ya que permite establecer su importancia y función en relación con el tráfico diario promedio anual (TPDA). Esta clasificación se basa en criterios como la jerarquía de la vía y su papel en la red

de transporte, lo que a su vez permite anticipar el crecimiento del tráfico y diseñar la vía de manera que se adapte a las necesidades futuras. De esta manera, la clasificación de las vías es un paso crucial en el proceso de diseño, ya que garantiza que la infraestructura vial sea segura, eficiente y sostenible a largo plazo.

Tabla 6 Jerarquía de la Vía

Función	Tipo de carretera	TPDA Obtenido
Corredor Arterial	RI-RIII	>8000
	I	3000-8000
Colectora	II	1000-3000
	III	300-1000
Vecinal	IV	100-300
	V	<100

Fuente: (MTOP, Norma de Diseño Geométrico de Carreteras, 2003)

2.3.11.1. Corredores Arteriales

Los corredores viales de alta jerarquía son arterias fundamentales que conectan las capitales provinciales con el resto del país, así como con importantes puertos marítimos y pasos fronterizos. Estas vías de comunicación están diseñadas para facilitar viajes de larga distancia, por lo que deben cumplir con características específicas, como alta capacidad de movilidad, acceso restringido, giros y maniobras controladas, y estándares geométricos avanzados que garanticen una operación de tráfico fluida, segura y eficiente. (Ministerio de Transporte y Obras Públicas, 2013)

2.3.11.2. Vías Colectoras

Los caminos de mediana jerarquía funcional desempeñan un papel crucial en la red vial, ya que actúan como enlaces entre las zonas rurales o regionales y la red principal de corredores viales. Estas vías tienen la función de recopilar el tráfico de áreas locales y dirigirlo hacia las rutas esenciales, facilitando así el tránsito en trayectos intermedios o regionales. Para cumplir eficazmente con esta función, estos caminos deben cumplir con estándares geométricos

específicos que garanticen la seguridad y eficiencia del tráfico. (Ministerio de Transporte y Obras Públicas, 2013)

2.3.11.3. Caminos Vecinales

Las vías terciarias se refieren a las carreteras convencionales que atienden las necesidades de conectividad en áreas rurales, incluyendo caminos que sirven a poblaciones locales, zonas agrícolas y otras áreas de producción. Estas vías están diseñadas para manejar el tráfico local y satisfacer las necesidades de movilidad en áreas rurales, sin estar incluidas en las categorías de vías principales o secundarias. (Ministerio de Transporte y Obras Públicas, 2013)

2.3.12. Tipos de terreno

La topografía del terreno es un factor determinante en la planificación y diseño de una vía, ya que condiciona aspectos fundamentales como el alineamiento horizontal, las pendientes, la visibilidad y las secciones transversales. Según la normativa vigente (NEVI-12, volumen 2), los terrenos se clasifican en cuatro categorías en función de su topografía, lo que permite a los diseñadores adaptar la vía a las condiciones naturales del sitio y garantizar una construcción segura y eficiente.

2.3.12.1. Terreno plano

Las pendientes transversales de la vía son inferiores al 5%, lo que implica que se requiere un mínimo movimiento de tierras durante la construcción de carreteras. Además, el trazado y la explanación no presentan dificultades, lo que resulta en pendientes longitudinales de las vías inferiores al 3%.

2.3.12.2. Terreno ondulado

Esta vía se distingue por presentar pendientes transversales que oscilan entre el 6% y el 12%. Esto implica un movimiento moderado de tierras, lo que facilita la creación de trazados relativamente rectos sin dificultades significativas en la explanación. Además, las pendientes longitudinales suelen situarse típicamente entre el 3% y el 6%.

2.3.12.3. Terreno montañoso

Las pendientes transversales de la vía suelen variar entre el 13% y el 40%. La construcción de carreteras en estas condiciones implica considerables movimientos de tierra y posiblemente la construcción de puentes y otras estructuras para superar el terreno montañoso, lo que dificulta el trazado y la explanación. Además, es frecuente encontrar pendientes longitudinales en las vías que oscilan entre el 6% y el 8%.

2.3.12.4. Terreno escarpado

Las pendientes transversales del terreno con frecuencia superan el 40%. Para la construcción de carreteras, se requiere un movimiento considerable de tierras, enfrentándose a numerosas dificultades en el trazado y la explanación, esto se debe a que los alineamientos están determinados por las divisorias de aguas a lo largo del recorrido de la vía. Por consiguiente, abundan las pendientes longitudinales superiores al 8%, lo que obliga al diseñador a considerar la construcción de puentes, túneles y otras estructuras para sortear los desniveles del terreno.

2.4. Suelo

Es la parte más superficial de la corteza terrestre la que se puede observar a simple vista, sobre este fragmento se asientan y desarrollan las obras de construcción, pues proporciona el soporte de toda estructura como edificios, puentes, vías, etc. (editorial, 2018)

2.5. Topografía

La topografía es la disciplina que se encarga del estudio y representación de las características físicas de la superficie terrestre, incluyendo la forma del terreno, la elevación y la distribución de elementos naturales y artificiales. Esta información es fundamental en diversas aplicaciones,

como la planificación urbana, la construcción de infraestructuras y la gestión ambiental. (Ponce, V.M. 2005).

2.5.1. Estudio topográfico RTK

El sistema RTK (Real Time Kinematic) constituye un avance significativo en la tecnología de posicionamiento global, ofreciendo una precisión sin precedentes en la ubicación de puntos en el espacio. Con una exactitud del orden de centímetros, el RTK se ha convertido en una herramienta indispensable en la topografía y en diversas disciplinas que requieren una ubicación precisa y en tiempo real, permitiendo una mayor eficiencia y exactitud en la recopilación y procesamiento de datos. (Geometer - Agricultura de precisión y GNSS para industrias, 2024)

2.6. Normativa Técnica

Las normas técnicas desempeñan un papel fundamental en la ingeniería civil, ya que establecen los requisitos mínimos que deben cumplir los productos, procesos y servicios para garantizar su idoneidad y seguridad. En este campo, diversas organizaciones reconocidas, como el MTOP, ASTM, INEN y AASHTO, desarrollan y promueven normativas que regulan aspectos constructivos, administrativos y de calidad. Estas normas técnicas son esenciales para asegurar la uniformidad, la interoperabilidad y la confiabilidad en la planificación, diseño, construcción y mantenimiento de infraestructuras civiles.

2.7. **AASHTO 93**

Las normas AASHTO constituyen un marco técnico de referencia para el diseño, construcción y mantenimiento de infraestructuras de transporte, incluyendo carreteras y puentes. Establecidas por la Asociación Americana de Funcionarios de Carreteras y Transportes

Estatales, estas normas buscan garantizar la calidad, seguridad y uniformidad en los proyectos de ingeniería civil, promoviendo la interoperabilidad y la eficiencia en la operación de las vías. Al seguir estas normas, se pueden minimizar los riesgos, optimizar los recursos y crear infraestructuras duraderas y sostenibles que satisfagan las necesidades actuales y futuras del transporte. (ASTM INTERNATIONAL, 2024)

2.8. Geotecnia

La geotecnia comprende diversas disciplinas dentro de la ingeniería civil que utilizan métodos científicos y principios de ingeniería para analizar los materiales del suelo. Con el fin de resolver problemas ingenieriles, planificar obras y prevenir colapsos o deslizamientos de tierra.. (Geoambiental, 2021)

2.9. Estudios Geotécnicos

Un estudio geotécnico involucra el análisis del suelo sobre el que se va a diseñar el proyecto mediante una serie de ensayos los cuales nos informan el tipo de suelo y sus características a partir de estos resultados es posible el diseño de una vía que cumpla todos los parámetros establecidos.

2.9.1. Ensayo de Granulometría

La granulometría es una técnica fundamental en la caracterización de suelos, que permite determinar la distribución de tamaños de partículas en una muestra obtenida in situ. Este análisis se lleva a cabo mediante un proceso de tamizado, en el que se utilizan tamices de diferentes tamaños para separar las partículas en función de su diámetro. La granulometría es esencial para entender las propiedades físicas y mecánicas de los suelos, lo que a su vez permite diseñar y construir infraestructuras civiles seguras y estables. (COTECNO, 2024). Para la ejecución de este ensayo es necesario seguir el procedimiento de la normativa ASTM D-422.

2.9.2. Ensayo de Proctor Estándar y Proctor Modificado

Los ensayos Proctor Estándar y Proctor Modificado son técnicas fundamentales para determinar la compactación óptima de un suelo y su humedad correspondiente. Estos ensayos involucran la compactación de capas de suelo en un molde cilíndrico normalizado, utilizando un martillo apisonador con un peso específico. La principal diferencia entre ambos ensayos radica en la energía de compactación y el volumen del molde utilizado. Para garantizar la precisión y confiabilidad de los resultados, es esencial seguir el procedimiento establecido en la normativa ASTM D-698, lo que permite obtener datos precisos para el diseño y construcción de infraestructuras civiles.

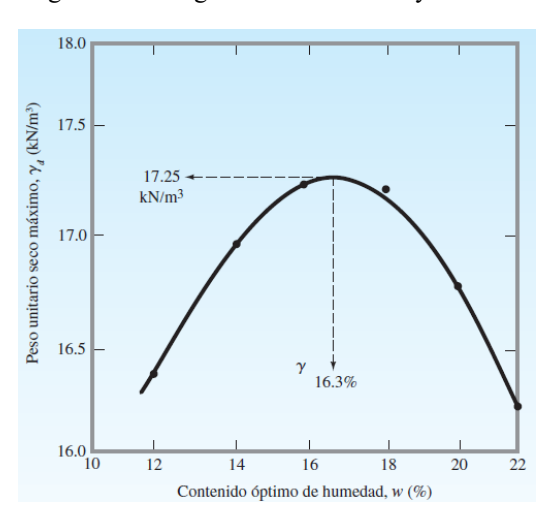


Figura 3 Curva generada con el ensayo Proctor

Fuente: (Braja M Das, Fundamentos de ingeniería geotécnica 4ta edición, 2013)

2.9.3. Ensayo de CBR (Californian Bearing Ratio)

El ensayo CBR (California Bearing Ratio) es una herramienta fundamental para evaluar la resistencia a la deformación y la capacidad de carga de suelos compactados, lo que resulta esencial para el diseño y construcción de infraestructuras civiles como terraplenes, capas de firme y explanadas. Este ensayo consiste en compactar una muestra de suelo en un molde normalizado, someterla a saturación y luego aplicar una carga controlada mediante un pistón

normalizado. Siguiendo el procedimiento establecido en la normativa ASTM D-1883, se puede determinar el índice CBR, que proporciona una medida objetiva de la capacidad de carga del suelo.

2.10. Pavimentos

Un pavimento es una estructura compleja compuesta por múltiples capas superpuestas, cuidadosamente diseñadas y construidas con materiales específicos y compactados de manera precisa. Estas capas se apoyan en la subrasante, una base preparada mediante excavaciones y rellenos durante la fase de construcción. La estratificación de estas capas permite distribuir y absorber las cargas repetitivas generadas por el tráfico, garantizando la estabilidad y durabilidad del pavimento a lo largo de su vida útil prevista. (Montejo, 2002)

2.10.1. Payimentos flexibles

Un pavimento flexible es una estructura de pavimento que tiene la propiedad de deformarse elásticamente al momento de enfrentarse a la carga de un vehículo, recuperando su forma luego de que la carga desaparece. Está compuesto por una capa llamada carpeta asfáltica que se asienta sobre la capa de base y la capa de la subbase.

2.10.1.1. Base

La capa de base granular desempeña un papel estratégico en la estructura de los pavimentos, actuando como una capa de transición que distribuye y resiste las cargas del tráfico de manera eficiente. Su función es doblemente importante, ya que no solo garantiza la estabilidad y resistencia del pavimento, sino que también optimiza el uso de materiales de calidad, reduciendo los costos de construcción y mantenimiento. Al actuar como una capa intermedia, la base granular permite una distribución más uniforme de las tensiones y esfuerzos en el pavimento, lo que contribuye a prolongar su vida útil. (Montejo, 2002)

2.10.1.2. Subbase

La subbase granular desempeña un papel multifuncional en la estructura de los pavimentos, combinando aspectos económicos, técnicos y de durabilidad. Por un lado, permite optimizar el uso de recursos, al permitir la utilización de materiales de menor costo en capas inferiores, sin comprometer la resistencia global del pavimento. Además, actúa como una capa de amortiguación, protegiendo la base del pavimento de la contaminación por materiales finos de la subrasante y reduciendo las deformaciones causadas por cambios en el contenido de agua o temperaturas extremas. Así mismo, la subbase granular debe resistir y distribuir eficientemente las cargas vehiculares, contribuyendo también al drenaje adecuado del agua superficial para garantizar la estabilidad y durabilidad del pavimento. (Montejo, 2002)

2.10.1.3. Carpeta Asfáltica

La capa de rodadura es un componente crítico en la estructura de los pavimentos, ya que desempeña múltiples funciones esenciales para garantizar su durabilidad y rendimiento. En primer lugar, proporciona una superficie de contacto uniforme y estable entre los vehículos y el pavimento, resistiendo la abrasión y el desgaste causados por el tránsito intenso. Además, su impermeabilidad evita la infiltración de agua, reduciendo el riesgo de daños estructurales y prolongando la vida útil del pavimento. Finalmente, la capa de rodadura contribuye significativamente a la capacidad estructural del pavimento, proporcionando resistencia a las tensiones y cargas dinámicas y estáticas que actúan sobre él. (Montejo, 2002)

2.10.2. Pavimento Rígido

Los pavimentos rígidos se distinguen por su estructura monolítica compuesta por losas de hormigón que se apoyan directamente sobre la subrasante o una capa de subbase especialmente diseñada. La alta rigidez y el coeficiente de elasticidad del hormigón permiten una distribución eficiente de los esfuerzos, lo que reduce la probabilidad de daños locales. Además, la capacidad

del hormigón para resistir tensiones garantiza un comportamiento estable del pavimento, incluso en áreas con subrasantes débiles. En el diseño de pavimentos rígidos, la resistencia estructural depende principalmente de la resistencia de las losas de hormigón, siendo menos influenciada por las propiedades de las capas subyacentes, lo que simplifica el cálculo del espesor óptimo del pavimento. (Montejo, 2002)

2.11. Diseño de Pavimentos Flexibles

El Método AASHTO de 1993 proporciona una guía detallada para el diseño de pavimentos de carreteras, abarcando tanto pavimentos flexibles como rígidos. Para pavimentos flexibles, el método recomienda una atención especial en el diseño de la capa de rodadura, sugiriendo el uso de hormigón asfáltico y tratamientos superficiales para garantizar una superficie durable y resistente al tráfico intenso. En particular, se establece un umbral de 50.000 vehículos equivalentes de carga de 8,2 toneladas como referencia para determinar la necesidad de un diseño más robusto.

2.11.1. Confiabilidad R

La confiabilidad en el diseño de pavimentos es un aspecto crucial para garantizar su durabilidad y rendimiento a lo largo del tiempo. El parámetro de confiabilidad "R" refleja el nivel de certeza requerido para asegurar que las estructuras de pavimento cumplan con los requisitos de diseño durante su vida útil prevista. En este sentido, la AASHTO establece recomendaciones específicas para la selección de niveles de confiabilidad en función del tipo de camino y la ubicación geográfica, permitiendo así una evaluación más precisa de los riesgos y la optimización de los diseños de pavimento.

Tabla 7 Confiabilidad R

Tipo de Camino	Confiabilidad recomendada	
	Zona Urbana	Zona RURAL
Rutas interestatales y autopistas	85 - 99.9	80 - 99.9

Arterias principales	80 - 99	75 - 95
Colectoras	80 - 95	75 - 95
Locales	50 - 80	50 - 80

Fuente: (AASHTO, American Association of State Highway and Transportation Officials, 1993)

2.11.2. Módulo Resiliente

La evaluación de las propiedades mecánicas de la subrasante es fundamental para el diseño de pavimentos flexibles. En este sentido, el módulo resiliente se utiliza como una herramienta valiosa para caracterizar el comportamiento de los suelos base. Los datos obtenidos permiten determinar las condiciones de la subrasante y estimar los espesores óptimos de las capas de pavimento, garantizando una estructura estable y duradera. El método AASHTO 93 establece correlaciones entre el módulo resiliente y el CBR, lo que resulta especialmente útil en contextos donde no se dispone de equipos especializados para determinar el módulo de elasticidad, permitiendo así una evaluación más precisa y práctica de las propiedades de la subrasante. (AASHTO, 1993).

Figura 4 Determinación del Módulo Resiliente

MR= 1500(CBR)	CBR <10%
MR= 3000(CBR) ^{0,65}	10% <cbr <20%<="" td=""></cbr>
MR= 4326 x Ln(CBR)+241	Suelos granulares

Fuente: (AASHTO, American Association of State Highway and Transportation Officials, 1993)

2.11.3. Módulo resiliente de la carpeta asfáltica

Este parámetro es calculado mediante un ábaco presente en la normativa AASHTO 93 en donde correlaciona la temperatura del Asfalto frente a su módulo resiliente.

250 - 1 Valores observados

M_R = 6294000 e^(-0.054 T)

Son 32°-(T<140°

150 - 100 - 100 - 150 180

Temperatura (°F)

Figura 5 Módulo resiliente del Asfalto

Fuente: (AASHTO, American Association of State Highway and Transportation Officials, 1993)

2.11.4. Número Estructural

El método de diseño de pavimentos flexibles utiliza coeficientes de estructura para evaluar la contribución relativa de cada capa al comportamiento global del pavimento. Estos coeficientes, denominados a1, a2 y a3, se asignan a cada capa en función de sus características y propiedades, como la carpeta asfáltica, la base y la subbase. Al aplicar estos coeficientes, se pueden transformar los espesores reales de cada capa en números de estructura (SN), que proporcionan una medida comparativa de la capacidad de cada material para soportar las cargas y esfuerzos impuestos por el tráfico. De esta manera, se puede evaluar y optimizar la estructura del pavimento para garantizar su durabilidad y rendimiento.

$$SN = a_1D_1 + a_2D_2 + a_3D_3$$

Donde:

- a_1 = Coeficiente estructural del asfalto
- a_2 = Coeficiente estructural de la Base granular
- a_3 = Coeficiente estructural de la Subbase
- D_n = Espesores de las respectivas capas

2.11.5. Determinación de números estructurales

Según las recomendaciones de la MOP (2002), para determinar los módulos resilientes de la subbase y la base, se sugiere utilizar valores de CBR específicos. En el caso de la subbase, se recomienda un CBR mayor o igual al 30%, utilizando los ábacos de la AASHTO para estimar los módulos resilientes y coeficientes estructurales correspondientes. Para la base, se propone un CBR mayor o igual al 80%, aplicando los ábacos de la AASHTO para obtener los valores necesarios. Por otro lado, el coeficiente estructural del asfalto se calcula mediante una fórmula específica que permite determinar su contribución a la estructura del pavimento.

$$a_1 = 0.184 * In(Mr) - 1.9547$$

Donde:

- a_1 = Coeficiente estructural del asfalto
- Mr= Módulo de resiliencia del asfalto

Figura 6 Ábaco para el cálculo del coeficiente a2 para Base

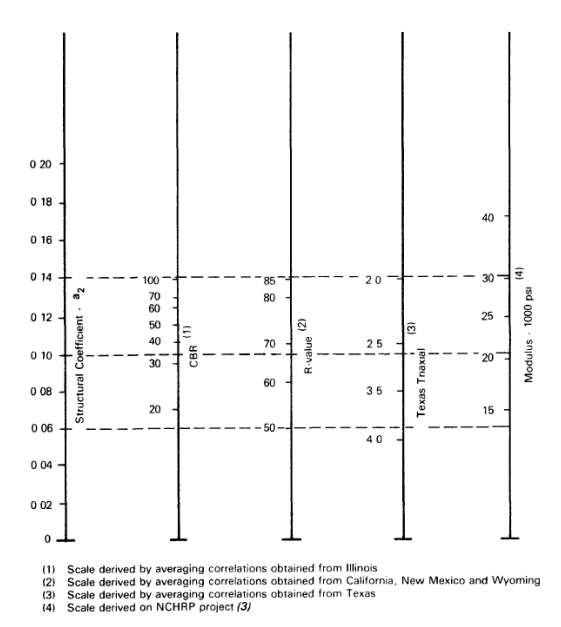


Figure 2.6. Variation in Granular Base Layer Coefficient (a₂) with Various Base Strength

Fuente: (AASHTO, American Association of State Highway and Transportation Officials, 1993)

Figura 7 Ábaco para el cálculo del coeficiente a3 para subbase

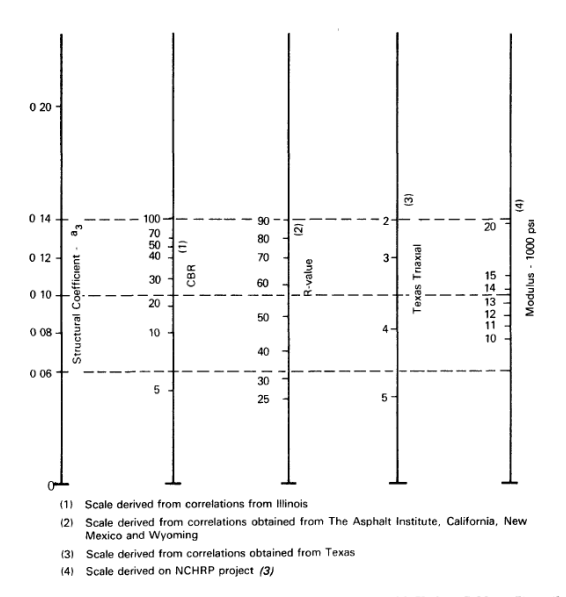


Figure 2.7. Variation in Granular Subbase Layer Coefficient (a₃) with Various Subbase Strength Parameters (3)

Fuente: (AASHTO, American Association of State Highway and Transportation Officials, 1993)

Figura 8 Ábaco para el cálculo del coeficiente a1 para asfalto

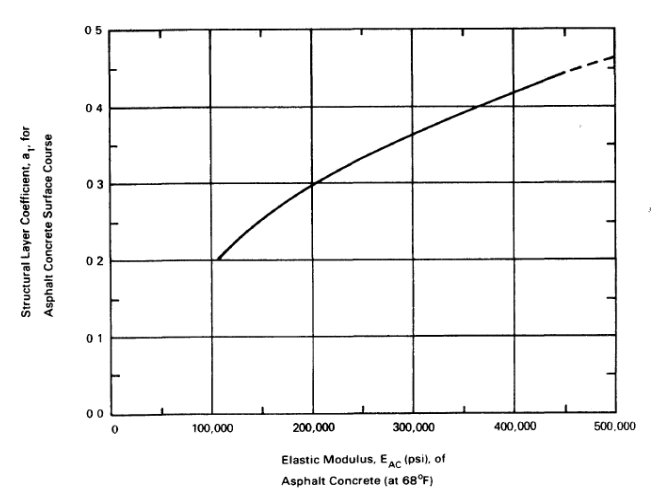


Figure 2.5. Chart for Estimating Structural Layer Coefficient of Dense-Graded Asphalt Concrete Based on the Elastic (Resilient) Modulus (3)

Fuente: (AASHTO, American Association of State Highway and Transportation Officials, 1993)

2.11.6. Pérdida de serviciabilidad

La serviciabilidad de los pavimentos es un parámetro fundamental que evalúa su capacidad para satisfacer las necesidades del tráfico que lo utiliza. El Índice de Servicio Actual (PSI) es una herramienta efectiva para medir este parámetro, permitiendo evaluar el desempeño del

pavimento en función de su condición actual. En el diseño de pavimentos, se consideran criterios básicos que abarcan aspectos operativos y de mantenimiento, lo que permite diseñar estructuras que cumplan con los requisitos de tráfico y niveles de servicio mínimos requeridos durante su vida útil. (Montejo, 2002).

$$\Delta PSI = P_o - P_t$$

Donde:

- $\Delta PSI =$ Índice de serviciabilidad
- P_o = Serviciabilidad Inicial
- P_t = Serviciabilidad Final

2.11.7. Características del drenaje

Aunque el drenaje es un aspecto crítico en el diseño de carreteras, los métodos de pavimentación actuales a menudo incluyen subrasantes con baja permeabilidad. Esta aproximación ofrece la ventaja de permitir una mayor flexibilidad en la determinación de la capacidad de drenaje requerida, adaptándose a condiciones específicas de diseño. En este sentido, la AASHTO proporciona recomendaciones detalladas para la selección de valores adecuados de capacidad de drenaje, en función de la calidad del drenaje existente, lo que facilita la toma de decisiones informadas en el diseño de pavimentos.

Figura 9 Calidad del drenaje según exposición a la humedad

Calidad de drenaje	% de tiempo en que el pavimento está expuesto a niveles de humedad próximos a la saturación			
urenaje	< 1%	1-5%	5-25%	>25%
Excelente	1.40-1.35	1.35-1.30	1.30-1.20	1.20
Bueno	1.35-1.25	1.25-1.15	1.15-1.00	1.00
Regular	1.25-1.15	1.15-1.05	1.00-0.80	0.80
Pobre	1.15-1.05	1.05-0.80	0.80-0.60	0.60
Muy pobre	1.05-0.95	0.95-0.75	0.75-0.40	0.40

Fuente: (AASHTO, American Association of State Higway and Transportation Officials, 1993)

2.11.8. Diseño Estructural

La guía (AASHTO, 1993) establece un método de diseño específico para pavimentos flexibles en carreteras con un tráfico intenso, superando los 50.000 vehículos equivalentes de carga de 8,2 toneladas. En este contexto, la siguiente ecuación de diseño del pavimento flexible se expresa mediante una fórmula que permite calcular el espesor óptimo del pavimento en función de las características del tráfico, las propiedades del material y las condiciones de la subrasante.

$$\label{eq:w18} \log W_{18} = ZR * S_o + 9.36 \log(\mathrm{SN} + 1) - 0.20 + \frac{\log\left(\frac{\Delta PSI}{4.2 - 1.5}\right)}{0.4 + \left(\frac{1.094}{(SN + 1)^{5.19}}\right)} + 2.32 Log(Mr) - 8.07$$

Donde:

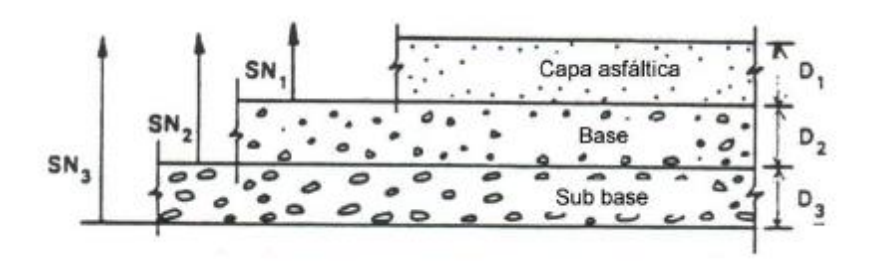
- W18 = Número estimado de ejes simples equivalentes de 8.2 toneladas
- ZR = Desviación estándar normal
- So = Error estándar combinado de la predicción del tránsito y de la predicción del comportamiento
- $\Delta PSI = Diferencias$ entre los índices de serviciabilidad.
- Mr = Módulo resiliente
- SN = Número estructural

2.11.9. Análisis de espesores

El proceso de diseño de pavimentos implica una serie de cálculos sistemáticos para determinar los espesores óptimos de cada capa. Inicialmente, se calcula el número estructural (SN) requerido para la subrasante, considerando su resistencia y capacidad de soporte. Posteriormente, se determinan los SN necesarios para las subbases y capas base, en función de sus propiedades mecánicas específicas. A partir de estos cálculos, se establecen los espesores

máximos permitidos para cada capa, asegurando que se cumplan las condiciones de capacidad estructural y durabilidad requeridas para el pavimento. (Montejo, 2002)

Figura 10 Capas del Pavimento flexible



Fuente: (AASHTO, American Association of State Highway and Transportation Officials, 1993)

$$D_{1}' \ge \frac{SN_{1}}{a_{1}}$$

$$SN_{1}' = a_{1}D_{1} > SN_{1}$$

$$D_{2}' \ge \frac{SN_{2} - SN_{1}'}{a_{2}m_{2}}$$

$$SN_{1}' + SN_{2}' \ge SN_{2}$$

$$D_{3}' = \frac{SN_{3} - (SN_{1}' + SN_{2}')}{a_{3}m_{3}}$$

2.12. Señalización Vertical

La seguridad vial es un aspecto crítico que depende en gran medida de la adecuada señalización en las vías. Para garantizar la uniformidad y eficacia de las señales, es fundamental que estas cumplan con los parámetros establecidos por los organismos reguladores, como el Servicio Ecuatoriano de Normalización. El uso de señales que no se ajusten a estos estándares puede generar confusión y situaciones de peligro, lo que subraya la importancia de un diseño de señalización claro, consistente y fácilmente identificable por conductores y peatones. La

normalización de formas, colores y contenido de las señales es esencial para facilitar la rápida comprensión y reacción de los usuarios de la vía. (INEN, 2011)

2.12.1. Colores

Se describe la función de los diferentes colores usados en la señalización vial basados en la Normativa los cuales esta especificados de forma reglamentaria. (INEN, 2011)

Rojo: Se utiliza este color en señales de tráfico para indicar advertencias, prohibiciones y restricciones. Se emplea como fondo para señales de alto, límites de velocidad bajos y señales especiales de advertencia. Además, se utiliza en señales de cruce y en indicaciones que prohíben paradas y estacionamientos en situaciones de riesgo.

Negro: Es un color utilizado en señales de tráfico para proporcionar contraste y claridad. Se emplea como color para emblemas, encabezados y flechas en señales con fondos de colores claros. También se utiliza en señales de precaución y como leyenda en distintivos de tráfico

Blanco: Es el color que resalta en señales reglamentarias como fondo de leyendas y símbolos, incluyendo indicaciones de caminos, nombres de avenidas y señales informativas.

Amarillo: Este color es usado como fondo de señales viales como los indicadores de curvas, límites de velocidad y algunos de emblemas de peligro.

Naranja: Este color se usa cuando existe obstáculos en la vía de manera momentánea, como salida de camiones, el mantenimiento de una vía oh algún desastre natural.

Verde: se utiliza como color de fondo en señales que proporcionan información sobre destinos, tarifas de control de peso y peligros. También aparece en leyendas, símbolos y emblemas en señales de estacionamiento gratuito.

Azul: El color azul se utiliza prominentemente en señales de tráfico para proporcionar información relevante a los conductores, siendo empleado como fondo en señales que indican

servicios disponibles, direcciones y opciones de estacionamiento en áreas de pago, incluyendo aquellas que señalan paradas de autobuses con carácter oficial.

Café: se utiliza como fondo para señales que proporcionan información turística y medioambiental. Su uso es específico para indicar información relevante para los viajeros y la conservación del medio ambiente.

2.12.2. Distancia de Legibilidad

En el diseño de señales de tráfico, la elección del alfabeto adecuado es crucial para garantizar la legibilidad y la seguridad vial. Las series D y E son las más recomendadas debido a su excelente legibilidad y estética, lo que las hace ideales para señales de tráfico. La serie C también es aceptable para palabras comunes en señales con restricciones de espacio. Estas letras se utilizan en señales reglamentarias, de advertencia y de construcción de carreteras. En contraste, las letras mayúsculas de las series A y B se reservan para señales que requieren una lectura más detallada, como distintivos de parada. (INEN, 2011)

2.12.3. Señales de Información

Las señales de información vial desempeñan un papel fundamental en la seguridad y eficiencia del tráfico, proporcionando a conductores y peatones información precisa y oportuna para navegar por la red vial. Un diseño adecuado y una colocación estratégica de estas señales son esenciales para garantizar que los usuarios de la vía puedan interpretar correctamente la información y tomar decisiones informadas. En este contexto, se recomienda el uso de la letra mayúscula 160 E modificada, en combinación con letras minúsculas de 120 mm, en vías rurales y urbanas con doble vía y un solo carril en cada sentido, con el objetivo de maximizar la legibilidad y la comprensión del mensaje. (INEN, 2011)

2.12.3.1. Ubicación

La colocación estratégica de señales de advertencia de destino es crucial para garantizar la seguridad vial y permitir a los conductores anticipar y reaccionar adecuadamente. En función del tipo de vía, se establecen distancias específicas para la instalación de estas señales. En áreas urbanas, se recomienda una distancia de aproximadamente 100 metros antes de la intersección, mientras que en zonas rurales, se sugiere una distancia más amplia, entre 150 y 200 metros, para proporcionar un tiempo de reacción adecuado a los conductores que circulan a mayores velocidades.

2.12.3.2. Diseño de flechas

Las flechas en las señales de tráfico desempeñan un papel fundamental en la orientación de los conductores, garantizando un flujo de tráfico seguro y eficiente. Los diseños normalizados de flechas proporcionan una comunicación visual clara y consistente, indicando direcciones específicas y acciones requeridas. Por ejemplo, las flechas ascendentes señalan la continuación recta, mientras que las flechas descendentes indican reducciones de carril o desaceleración. Las flechas inclinadas guían desvíos suaves, y las flechas laterales indican cambios de dirección o carril en intersecciones. La utilización de estos símbolos visuales estandarizados permite a los conductores tomar decisiones rápidas y informadas, reduciendo el riesgo de accidentes y mejorando la fluidez del tráfico. (INEN, 2011)

Figura 11 Flechas para uso de señales de guía



Fuente: (INEN, Señalización Vertical, 2011)

2.12.3.3. Soportes para señales de información

Se indica las dimensiones de las estructuras que conforman los soportes de los postes para vías rurales:

2,00 m Mín.
5,00 m Máx.
0,60 m Mín.

Espaldón

Figura 12 Soporte normal de dos postes - rural

Fuente: (INEN, Señalización Vertical, 2011)

2.12.3.4. Diseño

Las señales de advertencia de destino suelen presentar un diseño conciso y organizado, que permite a los conductores identificar rápidamente la información relevante. En este tipo de señales, se sigue un patrón específico de disposición, donde la indicación del destino ubicado en la dirección principal de avance se coloca en la sección superior, facilitando la visualización y comprensión rápida de la información por parte de los conductores.



Figura 13 Señal de advertencia de destino

Fuente: (INEN, Señalización Vertical, 2011)

2.12.3.5. Señal de decisión de destino

En puntos críticos de la red vial, como intersecciones las señales de advertencia de destino desempeñan una función esencial al proporcionar información clave a los conductores. Estas señales no solo indican la dirección en que continúa una vía, sino que también destacan los destinos más relevantes y significativos a lo largo de esa ruta, permitiendo a los conductores tomar decisiones informadas y precisas sobre su trayecto.

Figura 14 Señal de decisión de destino (I1 - 2a)



Fuente: (INEN, Señalización Vertical, 2011)

2.12.4. Señales Regulatorias

Las señales regulatorias de tránsito desempeñan un papel fundamental en la gestión del tráfico, ya que informan a los usuarios de la vía sobre las normas y regulaciones que deben cumplir, como prioridades, prohibiciones, restricciones y autorizaciones. Estas señales son esenciales para garantizar la seguridad y el orden en la circulación, y su incumplimiento puede tener consecuencias legales. Es importante destacar que las señales regulatorias deben ser utilizadas de manera efectiva, evitando la redundancia y la confusión, y deben incluir indicaciones claras sobre el fin de las restricciones, como la velocidad máxima permitida o el peso máximo autorizado. (INEN, 2011)

2.12.4.1. Clasificación de señales regulatorias

Basado en la normativa (INEN, 2011) disponemos de las clasificaciones que poseen las señales:

Serie de prioridad de paso R1: Estas señales por lo general son ubicadas en intersecciones de vías.

Pare (R1-1). "Se instala en las aproximaciones a las intersecciones, donde una de las vías tiene

prioridad con respecto a otra, y obliga a parar al vehículo frente a esta señal antes de entrar a la intersección." (INEN, 2011)

Figura 15 Señalización Pare (R1-1)



Código Dimensiones **Dimensiones** No. (mm) y serie (mm) de letras R1 - 1A 600 x 600 200 Ca R1 -1B 750 x 750 240 Ca R1 - 1 C 900 x 900 280 Ca

R1 - 1

Fuente: (INEN, Señalización Vertical, 2011)

La señal de ceder el paso es una indicación crítica que alerta a los conductores que se aproximan a una intersección para que permitan el paso a los vehículos que circulan por la vía principal, garantizando así la continuidad del flujo de tráfico sin interrupciones. Esta señal es fundamental para mantener la seguridad y la eficiencia en la circulación, ya que permite a los vehículos incorporarse o cruzar la intersección de manera segura, siempre que exista espacio suficiente para hacerlo sin riesgos.

Doble vía (R2-2). "Debe ubicarse en el comienzo de una calzada o calle de doble vía y repetirse en todas las intersecciones y cruces. Siempre las señales deben colocarse en ambos lados de la calle." (INEN, 2011)

Figura 16 Señalización Doble vía (R2-2)



 Código No.
 Dimensiones (mm)
 Dimensiones (mm) y serie de letras

 R2-2A R2-2B
 900 x 300 1350 x 450
 100 Cm 140 Cm

R2-2

Fuente: (INEN, Señalización Vertical, 2011)

Con esta señal los usuarios de la vía pueden identificar que esta carretera tiene dos direcciones de uso.

Límite máximo de velocidad (R4-1). "Esta señal se utiliza para indicar la velocidad máxima permitida en un tramo de vía."

Figura 17 - Señalización límite máximo de velocidad



R4-1

Código No.	Dimensiones (mm)
R4-1 A	600 x 600
R4-1 B	750 x 750
R4-1 C	900 x 900

Fuente: (INEN, Señalización Vertical, 2011)

En casos donde el límite de velocidad en un tramo específico de vía se desvía de las disposiciones establecidas en la normativa vigente, es indispensable realizar un análisis exhaustivo del tramo en cuestión. Este estudio debe tener en cuenta una serie de factores clave, incluyendo el tipo de vía, su velocidad de diseño y operación, la frecuencia de accidentes y el uso del suelo en el área circundante. La señalización correspondiente debe incluir placas adicionales que especifican restricciones de velocidad para diferentes tipos de vehículos, según sea necesario. Además, esta señalización es fundamental para restablecer los límites de velocidad en una vía, y debe ser utilizada de manera independiente, sin reemplazar la señalización que indica el fin de una prohibición o restricción.

2.12.5. Señales Preventivas

Las señales preventivas juegan un papel fundamental en la seguridad vial, ya que alertan a los conductores sobre posibles riesgos y peligros en la vía, permitiéndoles tomar medidas

preventivas para evitar accidentes. Estas señales son diseñadas para captar la atención de los conductores y advertirles sobre situaciones potencialmente peligrosas, como curvas pronunciadas, intersecciones, o cambios en la geometría de la vía. Para garantizar su efectividad, las señales preventivas se colocan a una distancia prudente del peligro, siendo esta distancia mínima de 100 metros en áreas urbanas y 150 metros en áreas rurales, lo que permite a los conductores reaccionar adecuadamente y tomar las medidas necesarias para evitar accidentes. (INEN, 2011)

2.12.5.1. Clasificación de señales preventivas

P1-1/

Basado en la normativa (INEN, 2011) disponemos de las clasificaciones que poseen las señales:

Curva cerrada izquierda (P1-1I), derecha (P1-1D). "Estas señales indican la aproximación a curvas cerradas; y se instalan antes de una curva con ángulo de viraje ≤ a 90°; una señal aconsejada de velocidad R4-1 debe acompañar esta señal" (INEN, 2011)

Código Dimensiones (mm)

P1-1A (I Ó D) 600 x 600
P1-1B (I Ó D) 750 x 750
P1-1C (I Ó D) 900 x 900

Figura 18 Señalización Curva Cerrada

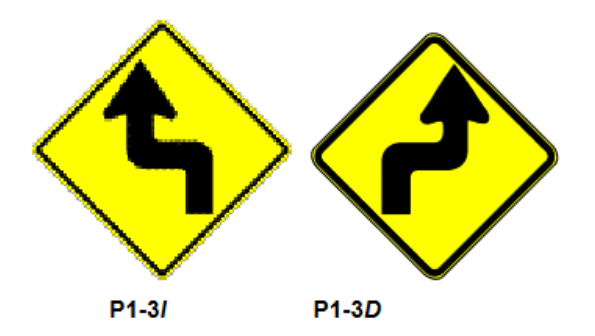
Fuente: (INEN, Señalización Vertical, 2011)

P1-1D

Curva y contra curva cerradas izquierda-derecha (P1-3I) y derecha-izquierda (P1-3D).

Nos indica la aproximación a dos curvas contrapuestas y cuya tangente de separación es menor a 120 m; y se instalan en aproximaciones a esta clase de curvas. Debe ir acompañada de una señal de velocidad R4-1.

Figura 19 Señalización Curva y Contracurva cerrada



Código	Dimensiones (mm)
P1-3A (I ó D)	600 x 600
P1-3B (I ó D)	750 x 750
P1-3C (I ó D)	900 x 900

Fuente: (INEN, Señalización Vertical, 2011)

2.13. Señalización horizontal

La señalización de tránsito es un elemento crítico para garantizar la circulación segura y eficiente de vehículos y peatones. Su función es proporcionar información clara y precisa a los usuarios, minimizando los riesgos y protegiendo la salud, la vida y el medio ambiente. Para lograr su objetivo, la señalización debe cumplir con estándares específicos, incluyendo necesidad, visibilidad, claridad, tiempo de reacción adecuado, respeto y credibilidad. Estos requisitos son fundamentales para diseñar una señalización efectiva que contribuya a la seguridad vial y la movilidad sostenible. (INEN, 2011)

2.13.1. Mensaje

La señalización horizontal, integrada por marcas, símbolos y textos aplicados sobre la superficie de la vía, juega un papel clave en la orientación de los conductores, ya que permite transmitir información crucial sin desviar su atención de la calzada. Adicionalmente, los elementos complementarios asociados, como dispositivos sonoros y vibratorios, actúan como sistemas de alerta al ser atravesados por los vehículos, contribuyendo a incrementar los niveles de seguridad vial. Sin embargo, estas señales presentan ciertas limitaciones: su alcance visual es menor en comparación con la señalización vertical, pueden quedar cubiertas por suciedad o sedimentos, su efectividad disminuye en condiciones adversas como lluvia o neblina, y

demandan un mantenimiento constante debido al desgaste generado por el tráfico y factores climáticos. (INEN, 2011)

2.13.2. Ubicación

La ubicación estratégica de la señalización es crucial para garantizar que los usuarios puedan percibir y comprender su mensaje en un tiempo razonable, permitiéndoles reaccionar y realizar la maniobra adecuada, incluso a la velocidad máxima permitida. Esto permite que la señalización cumpla con dos objetivos fundamentales: señalizar el inicio, tramo o fin de una restricción o autorización, requiriendo una ubicación precisa, o advertir o informar sobre acciones o maniobras que se realizarán en un punto posterior, garantizando una respuesta oportuna y segura por parte de los usuarios. (INEN, 2011)

2.13.3. Color

La señalización vial emplea una paleta de colores normalizada, destacando el blanco y el amarillo como tonos principales, que deben mantenerse consistentes en toda la señalización para garantizar la claridad y la coherencia visual. Las señales complementarias pueden incorporar colores adicionales como el rojo, siempre que se ajusten a los criterios de coherencia cromática establecidos. La asignación específica de colores se basa en códigos de seguridad bien definidos: blanco para líneas de rebaso, amarillo para líneas condicionales y rojo para líneas de borde derecho que indican peligro y prohibición de rebaso. (INEN, 2011)

2.13.4. Retro reflexión

Para garantizar la visibilidad permanente de las señalizaciones, independientemente de las condiciones climáticas o horarias, se emplean materiales específicos que optimizan su retroreflexión. Las microesferas de vidrio, por ejemplo, mejoran significativamente la visibilidad nocturna al reflejar una gran parte de la luz hacia la fuente luminosa de los vehículos. Es fundamental que estas señales cumplan con los estándares mínimos de

retroreflexión establecidos por la normativa vigente, como la NTE INEN 1 042, y se ajusten a las especificaciones técnicas para pinturas de tráfico, materiales retroreflectivos y encauzadores, asegurando así su eficacia y seguridad en diversas condiciones. (INEN, 2011)

2.13.5. Líneas longitudinales

Las líneas longitudinales en las carreteras desempeñan un papel fundamental en la regulación del tráfico, ya que delimitan carriles y calzadas, indican zonas de adelantamiento y estacionamiento permitidas o restringidas, y designan carriles exclusivos para vehículos específicos. Además, estas líneas advierten sobre la proximidad de cruces peatonales. La morfología y el color de estas líneas transmiten mensajes específicos: las líneas continuas y en zigzag indican restricciones, mientras que las segmentadas permiten el adelantamiento. Las líneas amarillas separan el tráfico en direcciones opuestas y definen restricciones, mientras que las blancas separan el tráfico en la misma dirección y delimitan el borde derecho de la vía. Las dimensiones de estas líneas varían entre 100 mm y 150 mm de ancho. (INEN, 2011)

Líneas segmentadas de separación de circulación opuesta

Las líneas amarillas centrales desempeñan un papel crucial en la separación de tráfico en direcciones opuestas, permitiendo su cruce seguro en zonas específicas donde la geometría vial lo permite. En este contexto, existen dos tipos de líneas centrales segmentadas que facilitan el rebasamiento y los giros en condiciones adecuadas, contribuyendo a una circulación más fluida y segura. (INEN, 2011)

Tabla 8 Relación señalización línea de separación de circulación opuesta segmentada

Velocidad máxima de la vía (km /h)	Ancho de la línea (mm)	Patrón (m)	Relación señalización brecha
Menor o igual a 50	100	12,00	3 - 9
Mayor a 50	150	12,00	3 - 9

Fuente: (INEN, Señalización Horizontal, 2011)

Tacha amaiilla Bidireccional

Figura 20 Líneas segmentadas de separación de circulación opuesta

Fuente: (INEN, Señalización Horizontal, 2011)

2.13.5.1. Doble línea continua (línea de barrera)

Las líneas amarillas dobles paralelas constituyen una señalización clave para regular el tráfico y garantizar la seguridad vial. Estas líneas están compuestas por una línea continua y otra segmentada, ambas con un ancho mínimo de 100 mm y separadas por un espacio de 100 mm. Esta configuración permite a los conductores realizar rebasamientos seguros desde el lado de la línea segmentada, mientras que se prohíbe el cruce desde el lado de la línea continua, minimizando así el riesgo de accidentes. (INEN, 2011)

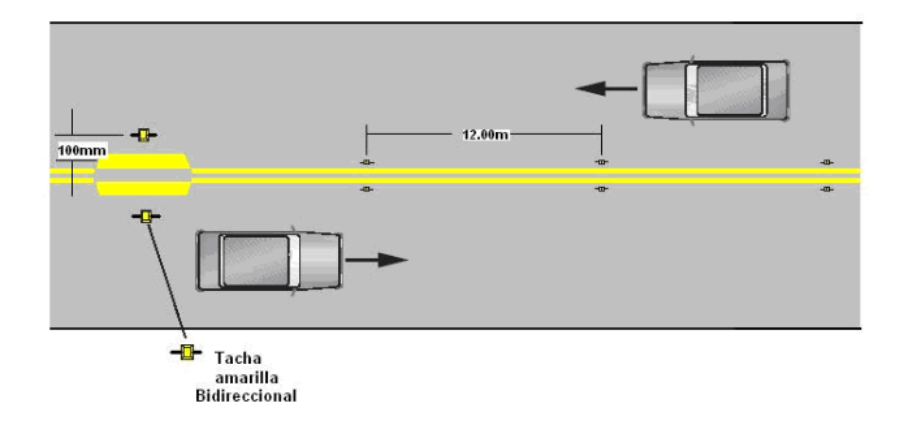


Figura 21 Doble línea continua (línea de barrera)

Fuente: (INEN, Señalización Horizontal, 2011)

2.13.5.2. Doble línea mixta

Las líneas centrales segmentadas en las vías públicas se componen de dos líneas amarillas paralelas, una continua y otra discontinua, con un ancho mínimo de 100 mm y separadas por un espacio de igual medida. Esta configuración permite el cruce seguro de vehículos desde el lado de la línea discontinua para realizar maniobras de adelantamiento, mientras que se prohíbe el cruce desde el lado de la línea continua, garantizando así una circulación segura y fluida. (INEN, 2011)

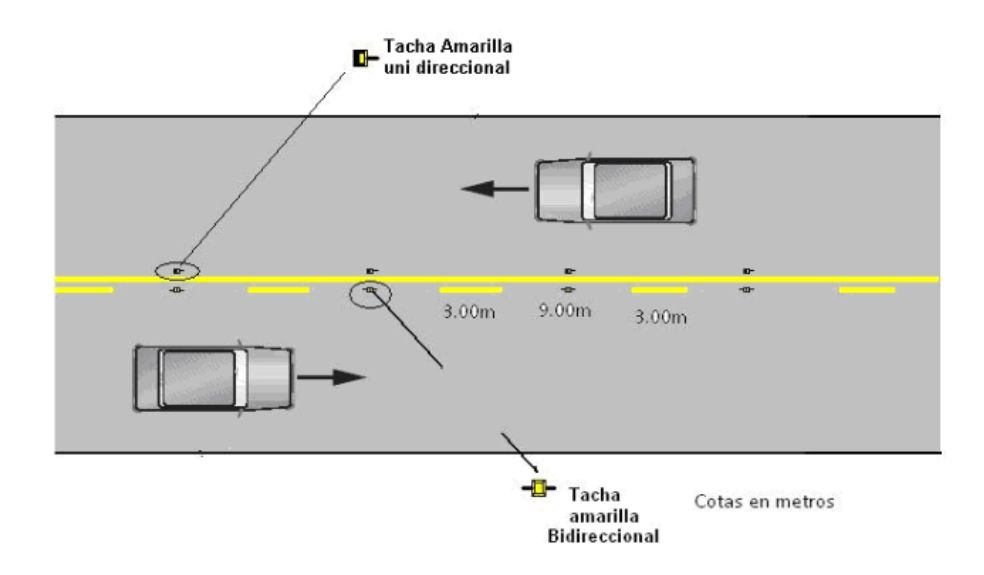


Figura 22 Doble línea mixta: continua y segmentada

Fuente: (INEN, Señalización Horizontal, 2011)

2.13.6. Zonas de no rebasar

Las zonas de "NO REBASAR" deben demarcarse no solo en áreas específicas establecidas por la normativa vigente, sino también en cualquier sector donde la distancia de visibilidad para rebasar sea insuficiente para garantizar un adelantamiento seguro. Esta distancia mínima se calcula considerando el espacio necesario para que un vehículo pueda realizar un rebasamiento sin comprometer la velocidad de los vehículos involucrados. En curvas horizontales, la medición de la distancia de visibilidad se realiza a lo largo del eje del carril más a la derecha, entre dos puntos situados a 1,10 m sobre la superficie del pavimento, alineados tangencialmente con el radio interno de la curva u otras obstrucciones que limiten la visibilidad.

Tabla 9 Distancia de visibilidad

Velocidad de diseño (km/h)	Velocidad del vehículo a ser rebasado (km/h)	Velocidad de rebasamiento (km/h)	Distancia de visibilidad mínima (m)
30	29	44	217
40	36	51	285
50	44	59	345
60	51	66	407
70	59	74	482
80	65	80	541
90	73	88	605
100	79	94	670
110	85	100	728
120	91	106	792

Fuente: (INEN, Señalización Horizontal, 2011)

Tabla 10 Distancia de rebasamiento mínimo

Velocidad de diseño (km/h)	Distancia de rebasamiento mínima (m)
30	80
40	110
50	140
60	180
70	240
80	290
90	350
100	430

Fuente: (INEN, Señalización Horizontal, 2011)

2.13.7. Líneas de borde de calzada.

Las líneas de borde en las vías públicas desempeñan un papel fundamental en la orientación de los conductores, especialmente en situaciones de baja visibilidad. Al delinear claramente el límite de la calzada, estas líneas facilitan la posición adecuada de los vehículos y garantizan una circulación segura. Su importancia es aún mayor cuando los conductores enfrentan encandilamientos por luces de vehículos en sentido contrario, ya que en tales casos, las líneas de borde suelen ser la única referencia visual disponible. Por lo tanto, su implementación es

esencial en carreteras, vías rurales y perimetrales para asegurar una conducción segura y eficiente. (INEN, 2011)

2.13.7.1. Líneas de borde de calzada continua

Las líneas de borde, de color blanco, se ubican estratégicamente en el límite de la calzada para orientar a los conductores, sin extenderse más allá de ella. En casos donde la calzada se divide mediante un parterre o isla, se emplea una línea amarilla en el lado izquierdo del sentido de circulación, con anchos mínimos específicos: 100 mm en vías urbanas y 150 mm en autopistas y carreteras.

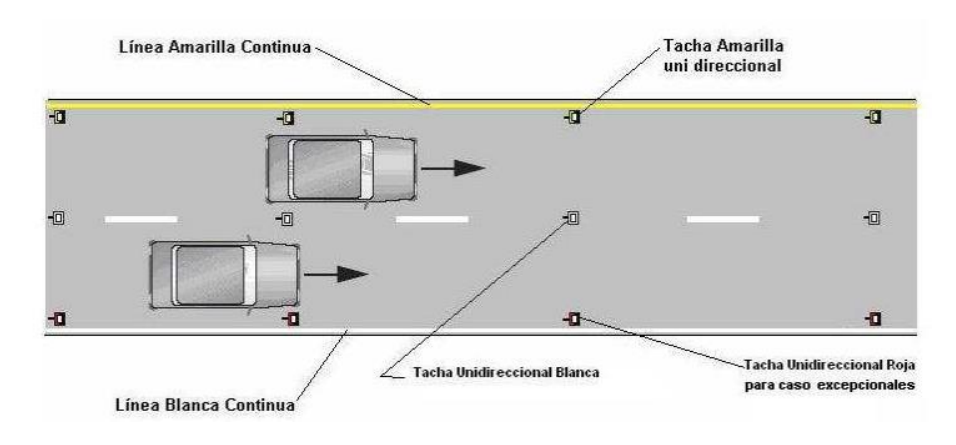


Figura 23 Líneas continuas de borde

Fuente: (INEN, Señalización Horizontal, 2011)

2.13.8. Líneas transversales

Las líneas transversales en intersecciones y cruces desempeñan un papel crucial en la regulación del tráfico, indicando a los conductores dónde detenerse, ceder el paso o reducir la velocidad. Además, marcan las trayectorias seguras para el cruce de peatones y ciclistas, otorgándoles prioridad. Estas líneas, invariablemente de color blanco, pueden presentarse en formatos continuo o segmentado, y se ubican en el punto más próximo a la intersección o paso peatonal, garantizando una señalización clara y efectiva para la seguridad y el orden del tráfico. (INEN, 2011).

2.13.8.1. Líneas de pare

La línea de detención indica el punto exacto donde los vehículos deben detenerse antes de ingresar a una intersección o vía con prioridad. Su ancho varía según la velocidad máxima permitida en la vía, oscilando entre 400 mm para vías de baja velocidad (hasta 50 km/h) y 600 mm para vías de alta velocidad. Esta línea se coloca estratégicamente en los carriles de aproximación a dispositivos de control de tránsito, garantizando que los conductores detengan su marcha de manera segura antes de acceder a una vía con mayor prioridad.

Además, en intersecciones equipadas con señales verticales de "PARE", la línea de detención se alinea precisamente con la proyección de los bordillos hacia el interior de la vía, regulando así el flujo vehicular.

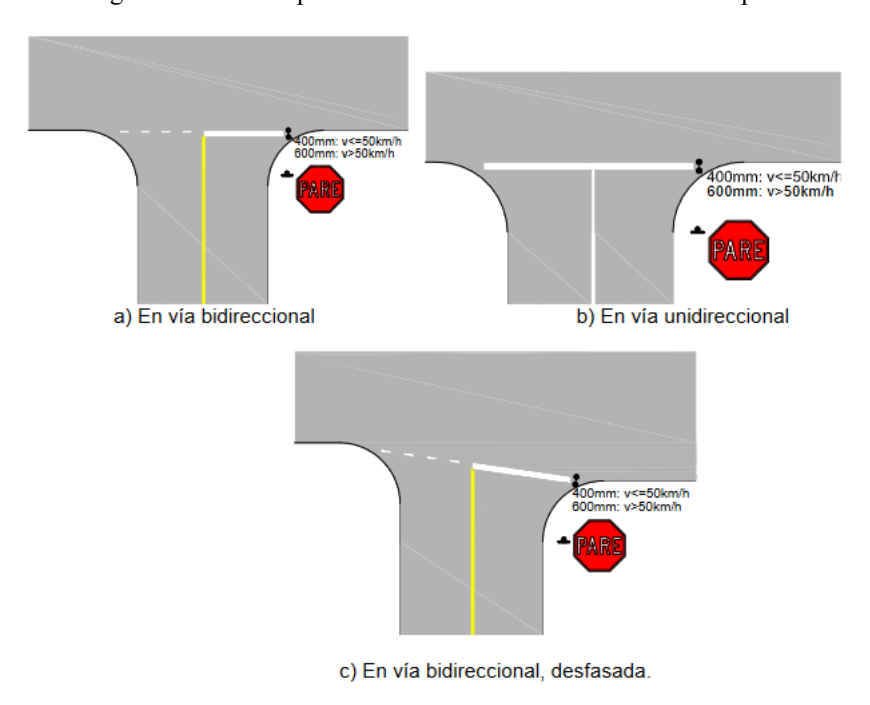


Figura 24 Línea de pare en intersección con señal vertical de pare

Fuente: (INEN, Señalización Horizontal, 2011)

2.13.9. Precipitaciones

Las precipitaciones, resultado de complejos procesos atmosféricos, se cuantifican habitualmente en términos de milímetros de agua acumulada en un período determinado. La medición de estas precipitaciones puede realizarse de dos maneras: mediante la evaluación de la altura de agua caída en un intervalo específico, o bien, a través de la intensidad de la lluvia, expresada en milímetros por hora durante un evento de precipitación intensa. (Pérez Carmona, 2013)

2.13.10. Datos de Lluvia

La precisión en la registración de datos pluviométricos es crucial, considerando factores como la cantidad, intensidad y duración de las precipitaciones. Herramientas especializadas, como mapas de lluvia y curvas Intensidad-Duración-Frecuencia (IDF), son esenciales para analizar la distribución temporal de las precipitaciones y calcular las máximas intensidades en períodos específicos. Estos datos son fundamentales en la hidrología y la ingeniería civil para simular con precisión los procesos de lluvia y escorrentía en modelos de pronóstico y diseño, garantizando así la planificación y ejecución efectiva de proyectos hidráulicos y de infraestructura. (Fattorelli & Fernandez, 2011)

2.13.11. Curvas IDF

Las curvas de Intensidad-Duración-Frecuencia (IDF) representan la cantidad de precipitación (calculada como intensidades de lluvia) en función de la duración del evento y la probabilidad de ocurrencia en períodos de retorno específicos. (Instituto Nacional de Vías, 2009)

350,0 300,0 250.0 INTENSIDAD (mm/h) 200,0 150,0 T = 10 Affas 100,0 50.0 50 70 90 100 130 140 TIEMPO (min)

Figura 25 Curvas IDF

Fuente: (INVIAS, Manual de drenaje para carreteras, 2009)

2.13.11.1. Cálculo de Curvas IDF

Para este proyecto se realizó el cálculo de las curvas IDF, para las cuales se necesitó los datos históricos de precipitaciones máximas en 24 horas, datos los cuales se obtienen de los anuarios meteorológicos presentes en el Instituto Nacional de Meteorología e Hidrología (INAMHI, 2024). Dichos datos son registrados gracias a estaciones meteorológicas ubicadas en todo el Ecuador, siendo estos datos de libre acceso.

2.14. Cunetas

El sistema de drenaje es un componente fundamental para garantizar el funcionamiento seguro y eficiente de las carreteras. Su función principal consiste en la evacuación rápida y efectiva del agua de lluvia de la calzada, mitigando el riesgo de charcos peligrosos y controlando el nivel freático para prevenir daños estructurales en la infraestructura. Además, este sistema

intercepta y desvía el agua que fluye hacia la carretera, protegiéndola contra la erosión y garantizando su estabilidad. En áreas de corte, el sistema recoge y conduce el agua escorrente hacia drenajes naturales o transversales, alejándola de la carretera y reduciendo el riesgo de inundaciones y erosión en los taludes. Esto no solo prolonga la vida útil de la infraestructura, sino que también minimiza los costos de mantenimiento a largo plazo. (MTOP, 2003)

2.14.1. Pendiente y velocidad

En áreas de corte, la cuneta se ubicará estratégicamente entre el borde de la carretera y la base del talud. Su diseño incluirá una pendiente longitudinal que siga el perfil de la vía, con una inclinación mínima del 0,50%. La pendiente máxima permitida dependerá de la velocidad del flujo de agua, factor que determina la necesidad de revestimiento para prevenir la erosión. Aunque la velocidad crítica que induce erosión varía según el tipo de material, en la práctica se establecen límites de velocidad máxima en las cunetas: 3,00 m/s para revestimientos de zampeado y 4,00 m/s para revestimientos de hormigón, garantizando así la estabilidad y durabilidad de la infraestructura.

Tabla 11 Velocidades del Agua con que se erosionan diferentes materiales

MATERIAL	VELOCIDAD	MATERIAL	VELOCIDAD
	m/s.		m/s .
Arena fina	0.45	Pizarra suave	2.0
Arcilla arenosa	0.50	Grava gruesa	3.50
Arcilla ordinaria	0.85	Zampeado	3.4-4.5
Arcilla firme	1.25	Roca sana	4.5 – 7.5
Grava fina	2.00	Hormigón	4.5-7.5

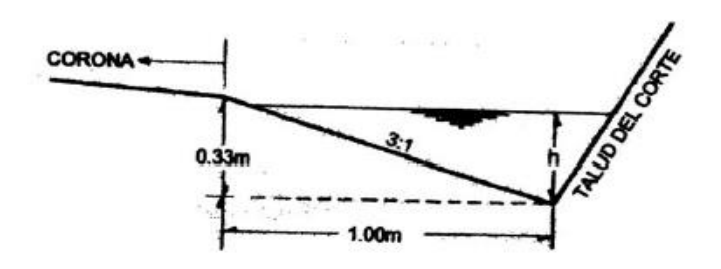
Fuente: (MTOP, Norma de Diseño Geométrico de Carreteras, 2003)

2.14.2. Forma de la Sección

Las cunetas pueden ser de varias formas en su sección transversal, incluyendo perfiles triangulares, rectangulares y trapezoidales. Sin embargo, las cunetas triangulares son las más ampliamente utilizadas en Ecuador, debido a su sencilla construcción y mantenimiento.

Cuando se requiere una mayor capacidad hidráulica, las cunetas rectangulares o trapezoidales se convierten en opciones viables, ofreciendo una mayor eficiencia en la gestión de flujos de agua.

Figura 26 Dimensiones típicas de cunetas

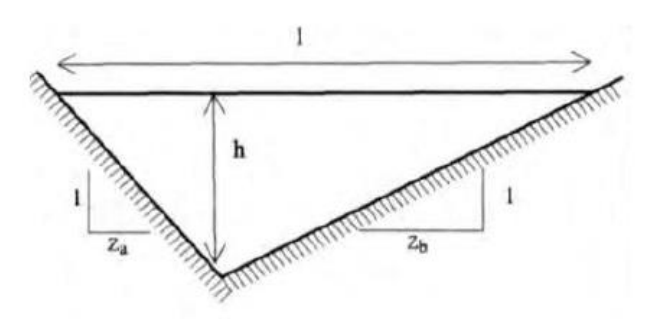


Fuente: (MTOP, Norma de Diseño Geométrico de Carreteras, 2003)

2.14.3. Sección típica de la cuneta

Como se mencionó anteriormente, en Ecuador el tipo de cunetas más usadas son triangulares, por ello se toma una sección de la NEVI (Norma Ecuatoriana Vial).

Figura 27 Sección Típica de una cuneta



Fuente: (NEVI 12, Norma para Estudios y Diseños Viales, 2013)

Para determinar su geometría se usan las siguientes formulaciones:

$$A = \frac{(Z\alpha + Zb) * h^2}{2}$$

Área

Perímetro mojado $P = (\sqrt{1 + Za^2} + \sqrt{1 + Zb^2}) * h$

Ancho superficial

$$I = (z_a + z_b) * h$$

2.14.4. Cálculo del Coeficiente de escorrentía C

Se expresan diferentes coeficientes de escorrentía según el tipo de material o de suelo presente en la zona de estudio, estos fueron tomados del libro Urban Water Resources Research Council (American Society of Civil Engineers, 1992).

Figura 28 Coeficientes de escorrentía

TABLE 5.5: Normal Range of Runoff Coefficients*

Character of Surface (1)	Runoff Coefficients (2)
Pavement	
Asphalt and Concrete	0.70 to 0.95
Brick	0.70 to 0.85
Roofs	0.75 to 0.95
Lawns, Sandy Soil	1
Flat (2 percent)	0.05 to 0.10
Average (2 to 7 percent)	0.10 to 0.15
Steep (>7 percent)	0.15 to 0.20
Lawns, Heavy Soil	
Flat (2 percent)	0.13 to 0.17
Average (2 to 7 percent)	0.18 to 0.22
Steep (>7 percent)	0.25 to 0.35

TABLE 5.6: Typical Composite Runoff Coefficients, by Land Use*

Description of Area (1)	Runoff Coefficients (2)
Business	
Downtown	0.70 to 0.95
Neighborhood	0.50 to 0.70
Residential	
Single Family	0.30 to 0.50
Multi-units, detached	0.40 to 0.60
Multi-units, attached	0.60 to 0.75
Residential (suburban)	0.25 to 0.40
Apartment	0.50 to 0.70
Industrial	
Light	0.50 to 0.80
Heavy	0.60 to 0.90
Parks, cemeteries	0.10 to 0.25
Playgrounds	0.20 to 0.35
Railroad yards	0.20 to 0.35
Unimproved	0.10 to 0.30

Fuente: (American Society of Civil Engineers, Urban Water Resources Research Council, 1992)

2.14.5. Cálculo del caudal en la estructura

Para establecer los caudales máximos esperados en estructuras, se puede utilizar la ecuación racional. Esta fórmula permite calcular los caudales máximos de manera eficiente y precisa. (Fattorelli & Fernandez, 2011)

Donde:

$$Q = \frac{C * I * A}{360}$$

- Q = Caudal (m3/s).
- C = es el coeficiente de escorrentía (tabla 13).
- I = Intensidades de las lluvias (mm/hora).
- A = Áreas (hectáreas).

3. METODOLOGIA

3.1. Cálculos

3.1.1. Topografía

Para la realización de la topografía fue necesario conocer a detalle las características de la vía y la implementación del sistema de RTK para realizar el reconocimiento de la zona.

3.1.2. Ubicación del proyecto

La carretera que une la parroquia de Cochapata con la parroquia de Morasloma, tiene una extensión total de 88.3 km pero el tramo a realizarse es de 2.75km y actualmente cuenta con una capa de rodadura de lastre. Como se muestra en la figura 37, el trazado de la vía ya está establecido, sin embargo, esta carretera aún no está pavimentada y carece de un diseño geométrico adecuado.



Figura 29 Ubicación del proyecto

Fuente: (Google Earth, 2024)

3.1.3. Levantamiento

Se utilizó un RTK brindado por la Universidad Politecnica Salesiana, para llevar a cabo con éxito el levantamiento, obteniendo coordenadas precisas del sitio.



Figura 30 RTK utilizado

Fuente: Autor

3.1.4. Procesamiento de datos

Utilizando el equipo mencionado, se llevó a cabo la recolección de datos topográficos del terreno, incluyendo la medición del ancho de la vía actual, estructuras existentes, entre otros. Esta información se procesó mediante un cable LAN del Mobil del RTK a la Computadora, para ser importados en el software CIVIL 3D.

T-]Top[2D Wireframe]

Top

Was

Type a command

Figura 31 Nube de puntos importados en Civil 3D

Con la nube de puntos densa obtenida, se procedió a crear las curvas de nivel, estas se presentan a continuación en el software Civil 3D.



Figura 32 Curvas de Nivel en Civil 3D

Fuente: Autor

3.2. Ensayos de Laboratorio

Es de vital importancia llevar a cabo estudios detallados para entender las propiedades mecánicas del suelo en la zona del proyecto. Estos análisis son indispensables para desarrollar un diseño vial óptimo, ya que facilitan la adaptación del proyecto a las condiciones particulares del terreno.

3.2.1. Recolección de muestras

Debido a la magnitud del proyecto, se realizó la toma de muestras de suelo a intervalos de un kilómetro a lo largo del área de estudio. Este proceso se llevó a cabo mediante la excavación de calicatas, lo que permitió recolectar una cantidad considerable de material para los análisis en laboratorio.



Figura 33 Recolección de muestras de suelo

Fuente: Autor

Debido a que la extensión de la vía es de 2.75 km se obtuvieron 3 calicatas, de las cuales se realizaron los ensayos de laboratorio de cada una de ellas para determinar los tipos de suelo y sus propiedades geomecánicas.

3.2.2. Proctor Modificado

Para caracterizar adecuadamente las propiedades del suelo en el sitio del proyecto, se realizaron ensayos de Proctor Modificado según la norma ASTM D-698 en las muestras recolectadas de las cuatro calicatas. Este ensayo permitió determinar la densidad seca máxima y la humedad óptima requerida para alcanzarla en cada una de las muestras analizadas. La obtención de estos parámetros fue fundamental para garantizar que el diseño y la compactación de la vía se ajusten a las condiciones específicas del suelo, lo que es esencial para asegurar la estabilidad y durabilidad de la infraestructura vial.

Para la elaboración del Proctor se realiza un ensayo granulométrico de las muestras tomadas in situ, esto ofrece como resultado la descripción de las partículas que contienes el suelo destinado al diseño de pavimentación.

Tabla 12 Especificaciones de la prueba Proctor Modificada

Elemento	Método A	Método B	Método C				
Diámetro del molde Volumen del molde Peso del martillo Altura de la caída del martillo Número de golpes de martillo por capa de suelo Número de capas de	101.6 mm 943.3 cm ³ 44.5 N 457.2 mm 25	101.6 mm 943.3 cm ³ 44.5 N 457.2 mm 25	152.4 mm 2124 cm ³ 44.5 N 457.2 mm 56				
compactación Energía de compactación Suelo utilizado	2696 kN-m/m ³ Porción que pasa el tamiz núm. 4 (4.57 mm). Puede ser utilizada si 20% o menos del peso de material es retenido en el tamiz núm. 4	2696 kN-m/m ³ Porción que pasa el tamiz de 9.5 mm. Puede utilizarse si el suelo retenido en el tamiz núm. 4 es más de 20% y 20% o menos del peso es retenido en el tamiz de 9.5 mm.	2696 kN-m/m ³ Porción que pasa el tamiz de 19 mm. Puede utilizarse si más de 20% del material es retenido en el tamiz de 9.5 mm y menos de 30% del peso es retenido en el tamiz de 19 mm.				

Fuente: (Braja M Das, Fundamentos de ingeniería geotécnica 4ta edición, 2013)

Mediante el ensayo granulométrico de las tres muestras del suelo que se tomó a cada kilómetro y a los últimos 740 metros y de acuerdo a la tabla anterior se obtiene el peso específico seco Máximo y la humedad optima que se presenta en la tabla posterior.

Tabla 13 Resultados de Proctor Modificado

Resultados Proctor												
Calicata 1	Peso Especifico	1773.7	(Kg/m3)									
Cancata 1	Humedad Óptima	12.5	%									
Calicata 2	Peso Especifico	1321.3	(Kg/m3)									
Cancata 2	Humedad Óptima	9.02	%									
Calicata 3	Peso Especifico	1629.5	(Kg/m3)									
Cancata 3	Humedad Óptima	14.2	%									

Fuente: Autor

Los respectivos cálculos y resultados de este ensayo se ubicarán en los anexos.

3.2.3. CBR

Posterior a al ensayo de Proctor realizado se obtienen diferentes resultados los cuales son de útiles para la realización de análisis de CBR (California Bearing Ratio) basado en la norma ASTM D-1883. Con la obtención de este ensayo se podrá definir la capacidad de resistencia del suelo de las diferentes ubicaciones de donde se extrajo las calicatas. Obteniendo así los resultados proyectados en la siguiente tabla.

Tabla 14 Resultados de CBR

	CBR al 95% para 0.10''
Calicata 1	4.06
Calicata 2	1.38

Calicata 3	2.26
Fuen	te: Autor

Con estos resultados es necesario colocar material de mejoramiento para sustituir este déficit de CBR en la que en tres muestras tomadas superan el mínimo indicado en la normativa MTOP, por lo que se procede a optar un valor del CBR de 6% siguiendo la norma anteriormente indicada para que el suelo cumpla con un adecuado diseño de la subrasante.

Los respectivos cálculos y resultados de este ensayo se ubicarán en los anexos.

3.3. TPDA

3.3.1. Conteo Vehicular

Con el objetivo de obtener datos precisos sobre el tráfico vehicular en la vía Cochapata - Morasloma, se implementó una estación de conteo equipada con una cámara Wi-Fi de alta definición. Estratégicamente ubicada en el inicio de la vía, esta estación permite monitorear y analizar el tráfico en una de las áreas con mayor actividad vehicular. La instalación de la cámara en este punto crítico facilita la recopilación de datos detallados sobre el flujo vehicular, proporcionando información valiosa para la planificación y gestión de la carretera. La estación de conteo no solo proporciona estadísticas precisas, sino que también ayuda a identificar patrones de tráfico y posibles problemas en la red vial, lo que permite a las autoridades tomar decisiones informadas para mejorar la infraestructura y optimizar el flujo vehicular en la vía.

Los datos recopilados fueron los siguientes:

Tabla 15 Total de vehículos que ingresan y salen por día, en una semana

	Total, de vehículos que ingresan y salen por día, en una semana												
Lunes	Lunes Martes Miércoles Jueves Viernes Sábado Domingo												
174	154	180	136	150	212	231							

Fuente: Autor

Factor Horario:

El factor horario está relacionado al conteo vehicular realizado en 24 hora, así que, como el conteo si fue realizado durante 24 horas el factor diario en este caso sería de 1.

$$Fh = \frac{24}{24} = 1$$

Factor Diario:

El factor diario está relacionado al conteo vehicular realizado en un lapso de 7 días, así que, como el conteo si fue realizado durante una semana, el factor diario en este caso sería de 1.

$$Fd = \frac{7}{7} = 1$$

Factor Semanal:

Este factor se determina considerando el número de semanas en cada mes y el mes específico en el que se realizó el conteo. Sin embargo, en este ensayo se opta por un Fs de 1.107 cuyo valor corresponde a el mes de octubre y considerando que el año no es un bisiesto.

Tabla 16 Factor semanal correspondiente al presente año

Mes	# De Días	# De Semanas	Fs
Enero	31	4.428571429	1.107142857
Febrero	28	4	1
Marzo	31	4.428571429	1.107142857
Abril	30	4.285714286	1.071428571
Mayo	31	4.428571429	1.107142857
Junio	30	4.285714286	1.071428571
Julio	31	4.428571429	1.107142857
Agosto	31	4.428571429	1.107142857
Septiembre	30	4.285714286	1.071428571
Octubre	31	4.428571429	1.107142857
Noviembre	30	4.285714286	1.071428571
Diciembre	31	4.428571429	1.107142857
TOTAL	365		

Fuente: Autor

Por lo tanto:

$$Fs = 1.107$$

Factor Mensual:

El consumo de combustibles en la provincia del Azuay fue un factor clave en el análisis. Para este fin, se utilizaron datos históricos de consumo de combustibles, los cuales permitieron realizar una proyección anual del uso de combustibles fósiles. Se emplearon los datos del año 2023 como referencia para este estudio.

Diesel Mes Extra Super Suma Factor mensual 5,041,034.00\$ 426,907.00\$ 3,821,603.00 \$ 9,289,544.00 \$ 1.059591614 Enero Febrero 4,880,836.00\$ 433,298.00 \$ 3,541,383.00 \$ 8,855,517.00 \$ 1.111524366 5,355,979.00\$ 453,869.00\$ 3,841,103.00\$ 9,650,951.00\$ 1.019912226 Marzo Abril 5,032,952.00\$ 413,959.00 \$ 3,736,007.00\$ 9,182,918.00\$ 1.0718948945,078,272.00\$ 399,376.00 \$ 4,163,812.00\$ 9,641,460.00\$ 1.020916222 Mayo Junio 5,196,709.00\$ 387,913.00 \$ 4,223,877.00 \$ 9,808,499.00\$ 1.003529991 419,991.00\$ 4,503,173.00 \$ 0.940065568 Julio 5,547,513.00\$ 10,470,677.00 \$ Agosto 5,452,805.00\$ 428,022.00 \$ 4,448,420.00\$ 10,329,247.00 \$ 0.952937123Septiembre 5,349,559.00\$ 389,638.00 \$ 4,417,146.00\$ 10,156,343.00 \$ 0.969160151 Octubre 5,258,978.00\$ 392,703.00 \$ 4,126,129.00\$ 9,777,810.00\$ 0.9612045 0.98288749 5,417,543.00\$ 396,626.00\$ 4,330,418.00\$ 10,144,587.00 \$ Noviembre 10,809,922.00 \$ 0.910563732 Diciembre 5,907,968.00\$ 444,561.00\$ 4,457,393.00\$ 63,520,148.00 4,986,863.00 \$ TOTAL ANUAL 49,610,464.00\$

Tabla 17 Tabla de consumo de combustibles para Azuay 2023

Fuente: Elaboración propia basada en (PETROECUADOR, 2023)

9,843,122.92

3.3.2. Cálculo de TPDA

PROMEDIO DE LA SUMA MENSUAL DE LOS 3 TIPOS DE

COMBUSTIBLES

Una vez realizado el cálculo de los factores necesarios para el cálculo del TPDA, se procede a calcular un ejemplo del TPDA de vehículos livianos, en los anexos estará especificado de vehículos pesados y autobuses. Por lo tanto:

$$TPDA = T_o * Fh * Fd * Fs * Fm$$

$$TPDA_{2024(livianos)} = 207 * 1 * 1 * 1.1071 * 0.96120450$$

 $TPDA_{2024} = 220$

Tabla 18 TPDA observado corregido

TPDA VEHICULAR											
PROMEDIO LIVIANOS	207	TPDA LIVIANOS	220								
PROMEDIO PESADOS	17	TPDA PESADOS	18								
PROMEDIO BUSES 2DA	7	TPDA Buses	7								
TOTAL	231		245								

3.3.3. Proyección de trafico

Para calcular el TPDA (Tránsito Promedio Diario Anual) proyectado, se utilizó un método llamado modelo logístico LOGIT utiliza información de los vehículos matriculados en la provincia del Azuay en diferentes años desde 1969, también se toma como una variable el crecimiento poblacional de la provincia mencionada con lo que se obtiene las tasas de crecimiento vehicular para automóviles livianos, buses y camiones, estas tasas se registran cada cinco años, es decir se tiene un tasa para los años de 2023-2028, posterior a este se tiene una para los años 2028-2033 y así progresivamente. La elección de este método se justificó por la falta de información sobre el crecimiento del parque automotor en Nabón o alguna ciudad cercana a esta. Se presenta la tabla con los respectivos datos de las tasas obtenidas.

Tabla 19 Tasa de crecimiento vehicular

Tasa de crecimiento de los vehículos											
Periodo Livianos Buses Camiones											
2023-2028	3.04%	1.64%	1.64%								
2028-2033	2.54%	1.52%	1.52%								
2033-2038	2033-2038 2.14% 1.41% 1.4										
2038-2043 1.83% 1.32% 1.32%											

Fuente: Maestría de ingeniería en vialidad y transporte universidad de cuenca año 2016

Con los datos obtenidos se obtiene el tráfico proyectado en esta caso para 20 años con las fórmulas indicadas.

$$Tf = Ta * (1+i)^n$$

Donde:

$$Ta = Tráfico actual$$

i = Tasa de crecimiento de trafico (tasa de crecimiento poblacional)

n = Numero de años proyectados

Por lo tanto:

Tabla 20 Calculo de TPDA proyectado con la tasa vehicular

TRAFICO	$Tf = Ta (1+i)^n A$	$1 = T_o * Fh$	1 * Fd * Fs	st Fmaños a proy
PROYECTADO A 20	Livianos	Pesados	Buses	TPDA Proyectado
ANOS (2043)	353	24	9	386

Fuente: Autor

Con todos los resultados obtenidos y siguiendo la normativa indicada se obtiene un tráfico proyectado de 386.

3.4. ESALS

El factor equivalente de carga ofrece una herramienta valiosa para evaluar y comparar los niveles de daño causados por diferentes ejes de vehículos. Además, permite cuantificar el desgaste total generado por un vehículo específico, sumando los daños producidos por cada eje. Este enfoque dio origen al concepto de Factor de Camión (FC), definido como el número de Ejes de Carga Equivalente a un Eje de Carga (ESALs) por vehículo. Aunque el FC puede calcularse para categorías generales de camiones o para todos los vehículos comerciales, su precisión aumenta cuando se aplica a cada categoría específica de camiones, considerando las configuraciones de tránsito particulares de cada una. (AASHTO, 1993)

 $LEF = \frac{\textit{No.de ESALs de 80 KN que producenuna pérdida de serviciabilidad}}{\textit{No.de ejes de x KN que producen la mismapérdida de serviciabilidad}}$

$$FACTOR\ CAMION = \frac{No.\,de\ ESALs}{No.\,de\ camiones}$$

Tabla 21 Calculo de factor camión por tipo de vehículo

	DATOS DE CONTEO DE TRAFICO																										
N'	TIPO DE VEHÍCULO		TRIBUCION MAXIMA E CARGA POR EJE	DESCRIPCION			PESO MAX PERM		ONG. PERM		Frecuencia				1 SIMPLE						2 TAN	IDEM		3 TR	IDEM	FACTOR	
		Di.	E CANGA PON EJE							***	4170		Carpa	LEE	Carda	LEE	carga	LEE	carga	LEF	carga	LEF	carga	LEF	carga	LEF	
1	AUTOS											352	1	0.00043		0.0004255											0.001
2	2D	2 D	4 10 P	-	I	I	CAMÓN DEZ EIS PEQUEÑO	7	5,00	2,60	3,00		3	0.02417	4	0.0728859											0.097
3	2DA	20 A	4 20A	-	I	Ī	CAMÓN DE 2 EJES MEDIANOS	10	7,50	2,60	3,50		3	0.02417	7	0.5623615											0.587
4	2DB	208	200		I	1	CAMÓN DE 2 DES GRANDES	18	12,20	2,60	4,10	24	7	0.56236		3.1997644											3.762

Fuente: MTOP

La determinación de los parámetros necesarios para calcular los Ejes de Carga Equivalente a un Eje de Carga (ESALs) se fundamenta en datos de diseño y características específicas de la vía. Estos datos incluyen, entre otros, el número de carriles, los niveles de confiabilidad requeridos según el tipo de vía y las proyecciones de tráfico. Posteriormente, se aplican ajustes estadísticos para corregir posibles desviaciones y garantizar que las estimaciones obtenidas reflejen con precisión las condiciones reales de uso, contribuyendo así a un diseño más eficiente, duradero y seguro de la infraestructura vial.

Tabla 22 Parámetros de cálculo de ESALS

Número d	2.0					
Número de Car	1.0					
Periodo d	20.0					
% Confi	% Confiabilidad					
	Zr	1.036				
CALCULO DE PARAMETROS	porcentaje 1	0.5				
	1.0					
	0.05					

Una vez recopilados todos los datos necesarios para el cálculo de los ESALS, se procede a obtenerlos mediante el siguiente método:

$$ESALS = TPDA * \%CP * GF * DD * LD * TF * 365$$

Donde:

TPDA = Tránsito promedio diario anual

%CP = Porcentaje de camiones pesados

GF = Factor de crecimiento

DD = Factor de distribución direccional

LD = Factor de distribucion por carril

TF = Factor de camiones

Se realiza la corrección del ESALS:

 $ESALS\ CORREGIDOS = 10^{\sigma-Zr} * ESALS\ DISEÑO$

Tabla 23 Calculo de ESALS

TIPO	FRECUENCIA	FACTOR CAMION	TASA DE CRECIMIENTO	FACTOR DE CRECIMIENTO	N. ESALs p/diseño	N. ESALs CORREGIDO p/diseño
AUTOS	352	0.001	0.0239	25.564	1,398	1,575
2DB	24	3.762	0.0147	23.225	378,869	426,885
3-A	9	3.554	0.0147	23.225	139,186	156,826
4-C	0	2.086	0.0147	23.225	0	0
4-0	0	3.435	0.0147	23.225	0	0
V3A	0	3.554	0.0147	23.225	0	0
V2S	0	3.554	0.0147	23.225	0	0
T3	0	3.554	0.0147	23.225	0	0
2S1	0	6.962	0.0147 23.225 0		0	0
2S2	0	6.754			0	0
2S3	0	5.286			0.0147 23.225 0	
3S1	0	6.754	0.0147	0147 23.225		0
3S2	0	6.546	0.0147	23.225	0	0
3S3	0 5.078 0.0147 23.225				0	0
				TOTAL	519,453	585,286

Según los datos de tasas de crecimiento vehicular que obtuvimos se realiza el calculo del ESALS obteniendo así una cantidad de 585,286.

3.5. Diseño de Pavimento flexible

Para este diseño, se ha dividido el proyecto en dos secciones. Como se mencionó anteriormente, se requiere un remplazo total de la subrasante debido al bajo valor de CBR obtenido, por ello se diseñará con su respectivo remplazo de subrasante.

3.5.1. Daño relativo (Uf)

Como dato inicial se obtiene el módulo resiliente de la siguiente manera:

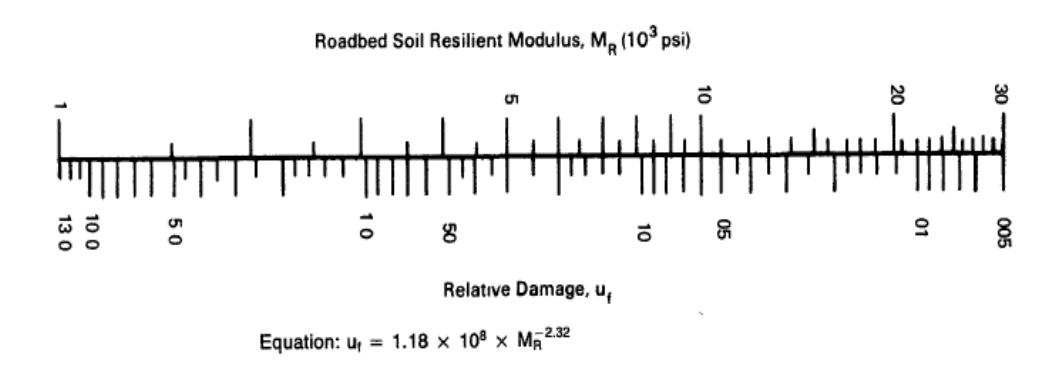
Figura 34 Ecuación para el cálculo del módulo resiliente

MR= 1500(CBR)	CBR <10%		
MR= 3000(CBR) ^{0,65}	10% <cbr <20%<="" th=""></cbr>		
MR= 4326 x Ln(CBR)+241	Suelos granulares		

Fuente: (AASHTO, American Association of State Highway and Transportation Officials, 1993)

En el diseño de pavimentos según la AASHTO 93, se incluye una figura que muestra la relación entre el módulo resiliente y el daño relativo, incluyendo una ecuación para poder determinar este parámetro.

Figura 35 Ábaco para la determinación del Daño Relativo



Fuente: (AASHTO, American Association of State Highway and Transportation Officials, 1993)

Con la obtención de los datos de CBR y con las indicaciones vistas anteriormente se optó por remplazar el valor del CBR por el 6% y se obtienen los siguientes datos.

Tabla 24 Daño relativo de la subrasante

CBR al 95%					
CBR calicata 1	4.06	%			
CBR calicata 2	1.38	%			
CBR calicata 3	2.26	%			
Se necesita cambiar el mate	erial de subrasa	nte			
CBR a usar	6	%			
MR	9000x1	psi			
Daño Relativo					
Uf	0.0791				

Fuente: Autor

3.5.2. Parámetros de confiabilidad

Se determinó la confiabilidad en un 85% debido a que es una vía colectora en una zona rural.

Tabla 25 Confiabilidad Recomendada

Tipo de camino	Confiabilida	ad recomendada
Tipo de callillo	Zona urbana	Zona Rural
Rutas interestatales y autopistas	85-99.9	80-99.9
Arterias principales	80-99	75-99
Colectoras	80-95	75-95
Locales	50-80	50-80

Fuente: (AASHTO, American Association of State Highway and Transportation Officials, 1993)

Se selecciona la desviación estándar a partir del dato de la confiabilidad obtenida en la tabla anterior.

Tabla 26 desviación normal estándar

Confiabilidad R, %	Desviación normal estándar Z _R
50	0.000
60	0.253
70	0.524
75	0.674
80	0.841
85	1.037
90	1.282
91	1.340
92	1.405
93	1.476
94	1.555
95	1.645
96	1.751
97	1.881
98	2.054
99	2.327
99.9	3.090
99.99	3.750

Fuente: (AASHTO, American Association of State Highway and Transportation Officials, 1993)

3.5.3. Parámetros de serviciabilidad

Para los valores de estos parámetros se toman de referencia las tablas de la norma establecida AASHTO como se muestra a continuación.

Tabla 27 Serviciabilidad inicial (Po)

Cuadro 90. Serviciabilidad inicial, P.

Tipo pavimento	Serviciabilidad inicial, Po
Concreto	4.5
Asfalto	4.2

Fuente: (AASHTO, 1993, p. II-10)

Fuente: (AASHTO, American Association of State Highway and Transportation Officials, 1993)

En este caso se tienen un Po de 4.2 ya que la vía es de asfalto.

Tabla 28 Serviciabilidad final (Pf)

Cuadro 91. Serviciabilidad final, Pt						
Tipo de vía Serviciabilidad final, P						
Autopista	2.5-3.0					
Carretera	2.0-2.5					
Zonas Industriales						
Pavimento urbano principal	1.5-2.0					
Pavimento urbano secundario	1.5-2.0					

Fuente: (AASHTO, American Association of State Highway and Transportation Officials, 1993)

Para este caso, el valor de Pf es de 2.5 ya que se refiere a una carretera.

En cuanto a la perdida de serviciabilidad se refiere a la resta de la serviciabilidad inicial menos la final teniendo de esta manera un valor de 2.2

Para el cálculo del error normal combinado se revisa la siguiente tabla.

Tabla 29 Error normal combinado

Cuadro 87. Error normal combinado, So						
	Desviación Estandar, So					
Proyecto de pavimento	Flexible	Rígido				
	0.40-0.50	0.30-0.40				
Construcción nueva	0.45	0.35				
Sobrecapas	0.5	0.4				

Fuente: (AASHTO, American Association of State Highway and Transportation Officials, 1993)

Se le da un valor de 0.45 al So ya que se trata de una construcción nueva y pertenece a un diseño de pavimento flexible.

3.5.4. Coeficientes estructurales

La AASHTO permite determinar tanto el módulo de elasticidad del material como sus coeficientes estructurales, basados en el CBR (California Bearing Ratio).

La determinación de los coeficientes a2 y a3 correspondientes al coeficiente de base y subbase, respectivamente, se utilizan relaciones específicas en el diseño de la AASHTO, dichas relaciones permiten calcular estos coeficientes en función del parámetro de CBR, basado en la (MOP, 2002) se define que para subbase el % de CBR debe ser mayor o igual al 30%, mientras que para base este parámetro debe ser mayor o igual al 80%.

Sin embargo, para el parámetro a1 correspondiente al coeficiente estructural del asfalto, se requiere conocer el módulo elástico de este material, el cual se determinó que es de 800,000 PSI (libras por pulgada cuadrada).

Figura 13.6. Coeficiente estructural a, para mezcla de concreto asfáltico.

0.5

0.4

100000 200000 300000 400000 5000000

Módulo elástico a 20 °C en psi

Figura 36 Determinación de coeficiente estructural a1

Fuente: (AASHTO, American Association of State Highway and Transportation Officials, 1993)

Figura 37 Determinación de coeficiente estructural a2

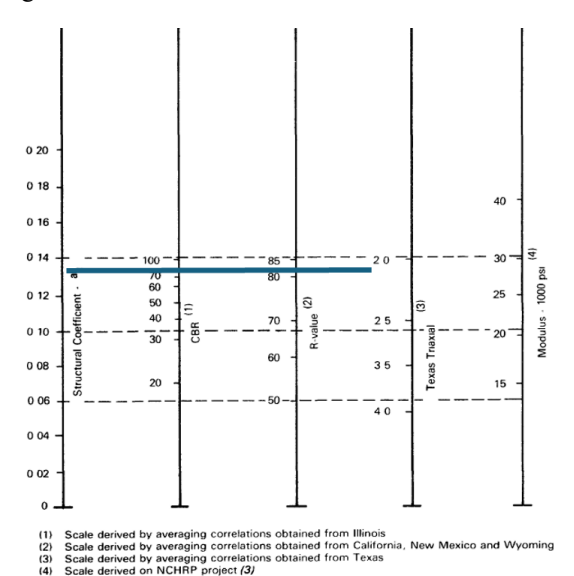


Figure 2.6. Variation in Granular Base Layer Coefficient (a₂) with Various Base Strength Parameters (3)

Fuente: (AASHTO, American Association of State Highway and Transportation Officials, 1993)

Figura 38 Determinación de coeficiente estructural a3

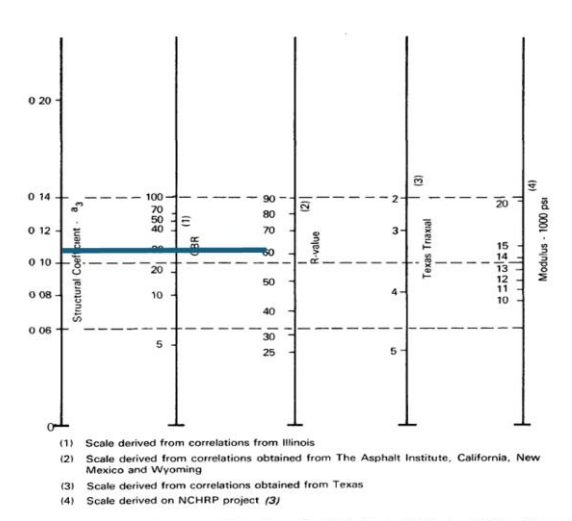


Figure 2.7. Variation in Granular Subbase Layer Coefficient (a₃) with Various Subbase Strength

Fuente: (AASHTO, American Association of State Highway and Transportation Officials, 1993)

Tabla 30 Coeficientes estructurales calculados

	% CBR	E (psi)	ai tabla
Pavimento flexible	-	800000	0.54
Base	80	28550	0.134
SUB BASE	30	14690	0.107

Fuente: Autor

3.5.5. Coeficiente de drenaje

Para determinar los coeficientes de drenaje, se tomó en cuenta la existencia de diversas quebradas en la comunidad, las cuales permiten canalizar el agua de manera buena, garantizando un nivel adecuado de drenaje. Asimismo, se prevé que el pavimento estará sujeto a niveles de exposición comprendidos entre el 5% y el 25% ya que en el (Nabón M. d., 2021) se encontró un porcentaje del 9%. Basándose en estas consideraciones se analizará los siguientes resultados:

% detiempo en que el pavimento está expuesto a niveles de humedad próximos a la saturación Calidad de drenaje 5-25% >25% <1% 1-5% Excelente 1.40-1.35 1.35-1.30 1.30-1.20 1.2 1.35-1.25 1.25-1.15 1.15-1.00 Bueno 1 1.25-1.15 1.15-1.05 1.00-0.80 0.8 Regular Pobre 1.15-1.05 1.05-0,80 0.80 - 0.600.6 Muy pobre 1.05-0.95 0.95-0.75 0.75-0.40 0.4

Tabla 31 Selección de la Calidad de drenaje

Fuente: (AASHTO, American Association of State Highway and Transportation Officials, 1993)

3.5.6. Cálculo del número estructural requerido

Cuando se cuenta con todos los parámetros necesarios para determinar el número estructural requerido, estos se sustituyen en la fórmula correspondiente para calcular los números estructurales. A partir de ello, es posible determinar los espesores finales del pavimento flexible.

$$\log_{10}(W_{18}) = Z_R \times S_o + 9.36 \times \log_{10}(SN + 1) - 0.20 + \frac{\log_{10}\left[\frac{\Delta PSI}{4.2 - 1.5}\right]}{0.40 + \frac{1094}{(SN + 1)^{5.19}}} + 2.32 \times \log_{10}(M_R) - 8.07$$

Tabla 32 Cálculo de espesores de pavimento flexible (tramo 1)

CAPAS	mi		ai	MODULOS		SN S		SN POR CAPA		ESPESOR (PULG)	
SUPERFICIE	0.00	1	0.54	800000	1	1.80	1	1.799	1	3.32	
BASE	1.075	2	0.134	28550	2	2.34	2	0.538	2	1.20	
SUB-BASE	1.075	3	0.107	14690	3	2.82	3	0.486	3	3.75	
SUBRASANTE			9000.00				2.82				

ES	PESOR * (PULG)		SN* ESPESOR FINAL (PULG) CM		СМ	
1	4.00	1	2.16	1	4.000	10
2	1.57	2	0.23	2	5.906	15
3	3.94	3	0.45	3	3.937	10
			2.84		13.84	35

Tabla 33 Espesores mínimos para las capas de un pavimento

Número de ESALs	Concreto asfáltico	Base granular
Menos de 50,000	2.5 cm	10 cm
50,000 - 15,000	5.0 cm	10 cm
150,000 - 500,000	6.5 cm	10 cm
500,000 - 2,000,000	7.5 cm	15 cm
2,000,000 - 7,000,000	9.0 cm	15 cm
Más de 7,000,000	10.0 cm	15 cm

Fuente: (AASHTO, American Association of State Highway and Transportation Officials, 1993)

En este proyecto se obtuvo un numero estructural muy pequeño debido a que el TPDA de igual manera es un valor muy significante, por lo que se optó a tomar las medidas mínimas dadas por la norma seguida como lo indica la anterior tabla.

Tabla 34 Coeficientes estructurales calculados

Espesores mínimos según la norma (cm)				
TRAMO	1			
Pavimento flexible	8			
Base	15			
Subbase	15			
Subrasante mejorada	38			

Fuente: Autor

Al tener estas cantidades y espesores mínimos se requirió calcular un volumen adecuado para el material de reposición de la subrasante este procedimiento se determinó mediante la norma del ministerio de transporte y comunicación de Perú. El cual se obtiene con la siguiente formula:

$$D4 = \frac{SNr - SNo}{a4 \times m4}$$

D4= Referido al espesor del material de mejoramiento para la subrasante en pulg.

SNr= Numero estructural con respecto a un pavimento con subrasante pobre.

SNo= Numero estructural con respecto a un pavimento con subrasante regular.

a4= coeficiente estructural de capa de la subrasante mejorada.

M4= coeficiente de drenaje.

Tabla 35 Calculo de SNr

CAPAS	mi		ai	MODULOS		SN		SN POR CAPA
SUPERFICIE	0.00	1	0.54	800000	1	1.80	1	1.799
BASE	1.075	2	0.134	28550	2	2.34	2	0.538
SUB-BASE	1.075	3	0.107	14690	3	4.85	3	2.518
SUBRASANTE				2070.00				4.85

ESPESO	R (PULG)	E:	SPESOR * (PULG)		SN*	ES	PESOR FINAL (PULG)	CM
1	3.32	1	4.00	1	2.16	1	4.000	10
2	1.20	2	1.57	2	0.23	2	5.906	15
3	21.41	3	21.65	3	2.49	3	21.654	55
					4.88		31.56	80

Fuente: Autor

Tabla 36 Espesor de material de reposición

SNr=	4.85	
SNO=	2.82	
m=	1.1	
a=	0.061	
D4=	30.25	cm
	30	cm

3.6. Estructuras de evacuación de Aguas Pluviales

3.6.1. Cunetas

3.6.1.1. Curas IDF

Se realizó un estudio detallado para calcular las curvas de Distribución de Frecuencias (IDF) de precipitación en la zona del proyecto. Para ello, se recopilaron datos históricos de precipitación máxima en 24 horas de la estación meteorológica "Nabón" (M0420), cubriendo un período de 33 años (1980-2013). A partir de estos registros, se aplicó el método de Gumbel para determinar las precipitaciones máximas y las intensidades de lluvia correspondientes a diferentes períodos de duración. Este análisis permitió obtener intensidades de lluvia y duraciones para varias frecuencias, lo que se tradujo en la formulación de una ecuación de intensidad que caracteriza las condiciones climáticas locales.

Figura 39 Ecuación de intensidad máxima de precipitación para un periodo de retorno

$$I = \frac{172.0188 * T^{0.139571}}{0.63383}$$

Fuente: (Autor)

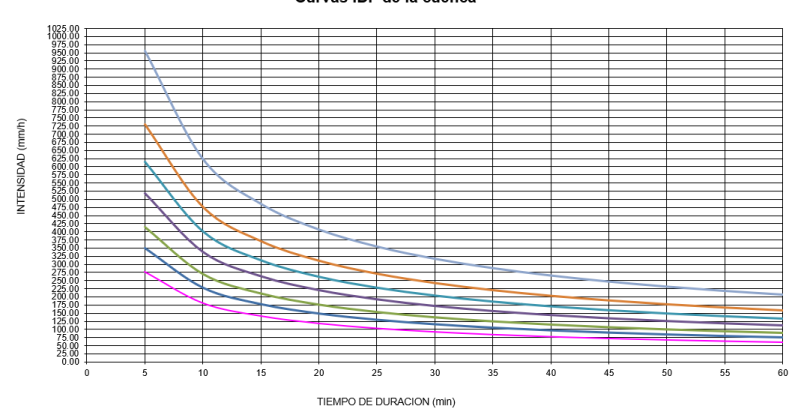
Tras establecer la ecuación de intensidad mediante el método de Gumbel, se calcularon las

intensidades asociadas a diversas frecuencias de retorno. Estos cálculos permitieron obtener

las curvas de Intensidad-Duración-Frecuencia (IDF) aplicables a la cuenca analizada.

Tabla 37 Curvas IDF de la Cuenca del Proyecto

Curvas IDF de la cuenca



Fuente: Autor

Se obtuvo una intensidad de precipitación máxima de 85.97mm/h.

Para determinar el tiempo de concentración de la cuenca se aplicó la metodología de Kirpich, considerando su adecuación para pendientes empinadas que oscilan entre el 3% y el 10%. Esta metodología se basa en la longitud del canal y su pendiente para estimar el tiempo de concentración. El cálculo del tiempo de concentración es fundamental para evaluar la respuesta hidrológica de la cuenca ante eventos de precipitación, proporcionando información crítica para el diseño hidráulico y la gestión de riesgos en áreas con topografía pronunciada. (Kirpich, 1940)

Figura 40 Ecuación del tiempo de concentración según Kirpich

$$t_c = \frac{0.000325 \ L^{0.77}}{S^{0.385}}$$

Fuente: (Kirpich, Time of concentration of small agricultural watersheds, 1940)

Figura 41 Cálculo del tiempo de concentración

Cota mas alta	2489	msnm
Cota mas baja	2479.42	msnm
Longitud del cauce principal	2722	m
So	0.003519	m/m
Тс	1.26	horas

Una vez determinado el tiempo de concentración para la cuenca usando la metodología de Kirpich, se procedió al cálculo de la intensidad de precipitación para un periodo de retorno de 25 años, mediante las curvas IDF. Los resultados indicaron una intensidad de precipitación de 85.97 mm/h. Este valor es de vital importancia para el diseño hidráulico.

3.6.1.2. Aporte

Para el caudal de aporte se calcula en diferentes tramos de cunetas de la vía en estudio, es importante determinar el coeficiente de escorrentía correcto. Para ello, se utiliza como referencia el libro "Design and Construction of Urban Stormwater Management Systems" (American Society of Civil Engineers. Urban Water Resources Research Council, 1992), que proporciona los coeficientes correspondientes para varios tipos de terreno, en este caso, para pavimento se tiene un coeficiente de escurrimiento de 0.7.

Figura 42 Coeficientes de escorrentía

TABLE 5.5: Normal Range of Runoff

Cocincients	
Character of Surface (1)	Runoff Coefficients (2)
Pavement	
Asphalt and Concrete	0.70 to 0.95
Brick	0.70 to 0.85
Roofs	0.75 to 0.95
Lawns, Sandy Soil	1
Flat (2 percent)	0.05 to 0.10
Average (2 to 7 percent)	0.10 to 0.15
Steep (>7 percent)	0.15 to 0.20
Lawns, Heavy Soil	1
Flat (2 percent)	0.13 to 0.17
Average (2 to 7 percent)	0.18 to 0.22
Steep (>7 percent)	0.25 to 0.35

^{*}The range of "C" values presented are typical for return periods of 2-10 years. Higher values are appropriate for larger design storms.

81

Fuente: (ASCE, Design and Construction of Urban Stormwater Management Systems, 1992)

3.6.1.3. Método Racional

El caudal aportado por las precipitaciones se calcula utilizando el método racional. Esta

ecuación se basa en el área de aporte (Ha), el coeficiente de escorrentía escogido anteriormente

y la intensidad correspondiente (mm/h).

 $Q = \frac{C * I * A}{360}$

Para el diseño de cunetas del proyecto de la vía en estudio se dividió en nueve tramos debido

a razones de descarga de aguas pluviales y por las características de pendiente del terreno

observadas en el perfil. Se Procede a calcular utilizando el tramo más crítico es decir el que

tiene la pendiente mínima de los nueve tramos antes mencionados.

Tramo 4

Abscisa: 2+496.07 – 2+479.55

Longitud: 156.63 m

Ancho de carril: 3 m

Área de aportación por el ancho de carril: 469.89 m2

Área total: 0.0469 Ha

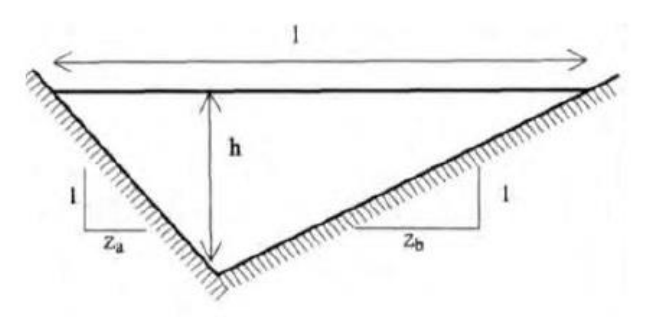
Coeficiente de Escorrentía: 0.7

 $Q = \frac{0.7 * 85.97 * 0.0469}{360} = 0.0079 \, m^3 / s$

Dimensionamiento de la cuneta 3.6.1.4.

Una vez obtenido el caudal mediante el método racional, se procede a determinar la altura "h" de la sección transversal del canal y las relaciones de taludes correspondientes, de acuerdo con lo establecido en la normativa NEVI 12. Para ello, se utilizan las figuras y ecuaciones proporcionadas en dicha normativa, garantizando así el cumplimiento de los estándares de diseño y seguridad para la infraestructura hidráulica.

Figura 43 Relación de altura y espaciamiento de cuneta



Fuente: (NEVI 12, Norma para Estudios y Diseños Viales, 2013)

Considerando la sección triangular de la cuneta, se definieron taludes Za y Zb con relaciones de 1:0.20 y 1:4, respectivamente. Para garantizar su funcionalidad, se estableció una altura de 0.25 metros. Posteriormente, se procedió a verificar las dimensiones de la cuneta mediante la aplicación de la ecuación de Manning, que tiene en cuenta el área, el perímetro mojado y la pendiente del tramo en cuestión. Esta pendiente se determinó a partir de las cotas del tramo más crítico y la longitud del tramo, asegurando así un diseño hidráulico óptimo y seguro.

$$A = \frac{(Za + Zb) * h^2}{2} = \frac{(0.20 + 4) * 0.25^2}{2} = 0.131 \, m^2$$

$$P = \left(\sqrt{1 + Za^2} + \sqrt{1 + Zb^2}\right) * h = \left(\sqrt{1 + 0.20^2} + \sqrt{1 + 4^2}\right) * 0.25 = 1.285 \, m$$

$$Q = \frac{1}{n} * \left(\frac{A^5}{P^2}\right)^{\frac{1}{3}} * S^{\frac{1}{2}} = \frac{1}{0.015} * \left(\frac{0.131^5}{1.285^2}\right)^{\frac{1}{3}} * 0.06^{\frac{1}{2}} = 0.456 \ m3/s$$

Para obtener un dato más certero se comprueba el tirante de la cuneta mas critica diseñada, mediante el Software Hcanales en la que nos dio como resultado:

Datos: Caudal (Q): 0.0079 m3/s Ancho de sole Talud (Z): Rugosidad (n): 0.70 Pendiente (S): 0.04 Resultatios. Tirante normal (y): Perímetro (p): 0.1855 1.5299 Area hidráulica (A) 0.1377 Radio hidráulico (R) Velocidad (v): Espejo de agua (T): 0.0574 m/s 1.4842 Número de Froude (F): 0.0601 Energía específica (E): 0.1857 m·Kg/Kg Tipo de flujo: Subcrítico C<u>a</u>lculadora <u>I</u>mprimir 15/01/2025

Figura 44 Comprobación del tirante critico de la cuneta

Fuente: (Hcanales)

Se realizó una verificación exhaustiva para validar la precisión de las dimensiones calculadas de la cuneta. Esta verificación consistió en comparar el caudal máximo que puede manejar la cuenca hidrográfica con el caudal efectivo que aportará la cuneta diseñada. Los resultados indicaron una utilización óptima de la cuneta, con un porcentaje de utilización del 0.80%. Dado que este tramo es particularmente crítico debido a la combinación de pendiente y longitud, se confirmó que el predimensionamiento inicial de la cuneta es adecuado y satisface los requisitos hidráulicos.

Para finalizar este cálculo, se determina el ancho superficial de la cuneta basándose en la fórmula establecida por la normativa NEVI 12.

$$I = (z_a + z_b) * h = (0.20 + 4) * 0.25 = 1.05 m$$

En donde se establece un ancho de cuneta de 1.05 m y una altura de 0.25 m, a esto se le suman 0.15 m de bordillo para completar 1.15 m de ancho.

3.6.2. Alcantarillas de alivio

El caudal que es aportado por los cunetas debe ser evacuado a cierta distancia debido a que el agua no puede acumular en una zona baja y no descargar por esa razón generalmente se coloca cada 500m. Considerando la topografía de nuestra área, se ha instalado cinco alcantarillas de alivio en los puntos mas estratégicos para retirar el agua de la calzada. Existe estructuras de evacuación de agua ya existentes por ello se ha visto que no es necesario usar mas de estas, pues el agua que transportan las cunetas en ciertos tramos ya se evacuan en estas estructuras que se encuentran en funcionamiento y en buen estado.

Las alcantarillas de alivio diseñadas en este estudio se componen de una estructura de entrada tipo "poceta" o "lavadero", acompañada de una tubería transversal y una estructura de salida correspondiente. Ambas estructuras, de entrada y salida, han sido cuidadosamente dimensionadas para garantizar una óptima relación con las medidas de las cunetas adyacentes y los caudales de entrada y salida previstos, asegurando así un funcionamiento eficiente y seguro de las alcantarillas de alivio.

Las dimensiones de estas estructuras, así como su ubicación se encontrarán en los anexos.

3.7. Diseño Geométrico

El diseño de una carretera implica la definición precisa del trazado y la disposición espacial de la vía, considerando las características topográficas y geotécnicas del terreno. Este proceso integral tiene en cuenta parámetros fundamentales como la comodidad del usuario, la seguridad vial y la funcionalidad de la infraestructura. El diseño geométrico se desarrolla en dos etapas complementarias: inicialmente, se realiza un levantamiento topográfico detallado para recopilar datos sobre el terreno y los puntos de alineación de la vía, y posteriormente, en la

etapa de oficina, se realizan los cálculos necesarios y se elabora el diseño geométrico definitivo, basado en la información recopilada y los estándares técnicos aplicables.

3.7.1. Alineamiento Horizontal

3.7.1.1. Velocidad de diseño

La velocidad de diseño es el límite máximo de velocidad seguro para la circulación de vehículos en una carretera, considerando condiciones climáticas y de tráfico óptimas. Esta velocidad se determina mediante un análisis integral que tiene en cuenta factores como las características topográficas y físicas del terreno, la importancia y función de la carretera, el volumen de tráfico, el uso del suelo circundante y la necesidad de equilibrar seguridad, eficiencia y movilidad. La velocidad de diseño establecida sirve como referencia fundamental para calcular y definir los elementos geométricos de la vía, incluyendo tanto el alineamiento horizontal como el vertical. (MTOP, 2003)

Tabla 38 Velocidades de diseño

	EGORIA DE LA VIA	TPDA ESPERADO				1	VELOCII	DAD DE	DISEN	O KM/I	H			
				BAS	ICA			PER	MISIBI	E EN T	RAMOS	DIFICI	LES	
			R	ELIEVE	LLANG)	REL	IEVE O	NDULA	DO	REL	IEVE M	ONTAN	oso
			elementos	culo de los del trazado ongitudinal	element sección tra otros dep	o de los tos de la ansversal y	Para el cálo elementos o del perfíi lo	del trazado	cálculo elemen sección t y otros de	la para el o de los tos de la ransversal pendientes	elementos	lculo de los del trazado congitudinal	cálculo elemen sección to y otros de	la para el o de los tos de la ransversal pendientes
			Recom	tecomendada		oluta	Recomendad		Absoluta		Recom	endada	Absoluta	
R-I	R-II(TIPO)	>8000	120	110	100	96	110	90	95	85	90	80	90	90
I	TODOS	3000-8000	110	100	100	90	100	80	90	80	80	80	80	80
II	TODOS	1000-8000	100	90	90	86	90	80	85	80	70	50	70	50
III	TODOS	300-1000	90	80	85	80	80	60	80	60	60	40	60	40
IV	5.5E, 6 y 7	100-300	80	60	80	60	60	35	60	35	50	25	50	25
V	4 y 4E	<100	60	50	80	50	50	35	50	35	40	25	40	25

Fuente: (MTOP, Norma de Diseño Geométrico de Carreteras, 2003)

Se seleccionó una velocidad de diseño de 40 km/h para el proyecto, basándose en la tabla proporcionada por el Ministerio de Transporte y Obras Públicas (MTOP) y considerando las características topográficas específicas del terreno, clasificado como relieve montañoso. Esta elección se fundamenta en la evaluación de la Topografía de Proyecto de Diseño de Aceleración (TPDA) y responde a la necesidad de garantizar la seguridad y funcionalidad de la carretera, equilibrando el rendimiento óptimo de la vía con las condiciones geométricas adecuadas para su alineamiento y configuración en un entorno complejo como el montañoso. Esta velocidad de diseño asegura un compromiso óptimo entre la seguridad, la eficiencia y la adaptabilidad a las condiciones del terreno.

3.7.1.2. Radio mínimo de curva

Se seleccionó el radio mínimo de curva basándose en la tabla proporcionada por el Ministerio de Transporte y Obras Públicas (MTOP), que establece una relación directa entre el radio mínimo de curva, la velocidad de diseño y el peralte. Dado que el peralte aún no había sido calculado, se consideró el peralte máximo recomendado por la MTOP en su tabla de "Valores de diseño recomendados para carreteras de dos carriles y caminos vecinales de construcción". Este enfoque garantiza una elección conservadora y segura para el radio mínimo de curva, en ausencia de información más detallada sobre el peralte.

Tabla 39 Valores de diseño recomendado para carreteras de dos carriles y caminos vecinales de construcción

Repút MINISTER							s						S D ARRI							DAI ECII								,
		3 000	CLA		D A (1)	,		CLASE II 1 000 - 3 000 TPDA ⁽¹⁾					CLASE III 300 – 1 000 TPDA ⁽¹⁾					100 -		EIV			ME	CLASE V MENOS DE 100 TPDA ⁽¹⁾				
NORMAS		OMENI			SOLU				DABLE								BSOLU	ITA	RECO	MEND				JTA				ABSOLUTA
	LL	0	M	LL	0	M	LL	0	M	LL	0	M	LL	0	M	LL	О	M	LL	0	M	LL	0	M	LL	0	M	LL O M
Velocidad de diseño (K.P.H.)	110	100	80	100	80	60	100	90	70	90	80	50	90	80	60	80	60	40	80	60	50	60	35	25 ⁽⁹⁾	60	50	40	50 35 25 ⁽⁹⁾
Radio mínimo de curvas horizontales (m)	430	350	210	350	210	110	350	275	160	275	210	75	275	210	110	210	110	42	210	110	75	110	30	20	110	75	42	75 30 20 ⁽⁹⁾
Distancia de visibilidad para parada (m)	180	160	110		110	70	160	135	90	135	110	55	135	110	70	110		40	110	70	55	70	35	25	70	55	40	55 35 25
Distancia de visibilidad para rebasamiento (m	830	690	565	690	565	415	690	640	490	640	565	345	640	565	415	565	415	270	480	290	210		150					210150 110
Peralte		MÁXIMO = 10%									10% (Para V > 50 K.P.H.) 8% (Para V < 50 K.P.H.)																	
Coeficiente "K" para: (2)																												
Curvas verticales convexas (m)	80	60	28	60	28	12	60	43	19	43	28	7	43	28	12	28	12	4	28	12	7	12	3	2	12	7	4	7 3 2
Curvas verticales cóncavas (m)	43	38	24	38	24	13	38	31	19	31	24	10	31	24	13	24		6	24	13	10	13	5	3	13	10	6	10 5 3
Gradiente longitudinal ⁽³⁾ máxima (%)	3	4	6	3	5	7	3	4	7	4	6	8	4	6	7	6	7	9	5	6	8	6	8	12	5	6	8	6 8 14
Gradiente longitudinal ⁽⁴⁾ mínima (%)		0,5%																										
Ancho de pavimento (m)		7,3			7,3			7,0 6,70				6,70 6,00				6,00				4,00 (8)			8)					
Clase de pavimento	Car	rpeta A	sfáltio	ca y H	ormig	gón		Car	rpeta A	Asfálti	ca		Carpeta Asfáltica o D.T.S.B.				В.	D.T.S.B, Capa Granular o Empedrado				0	Cap	a Grai	nular c	Empedrado		
Ancho de espaldones (5) estables (m)	3,0	2,5	2,0	2,5	2,0	1,5	3,0	2,5	2,0	2,5	2,0	1,5	2,0	1,5	1,0	1,5	1,0	0,5		0,60 (C.V. 1	Tipo	6 y 7)					
Gradiente transversal para pavimento (%)			2,0	0					2,0	0					2,	0				2,5 (C 4,0 (C							4,0	
Gradiente transversal para espaldones (%)		2	2,0 ⁽⁶⁾	- 4,0					2,0 -	4,0					2,0 -	4,0				4,0 (C	V. Ti	ipo 5	y 5E)					
Curva de transición										USE	NSE I	ESPIR.	ALES	CUA	NDO	SEA 1	VECE	SARI)									
Carga de diseño											HS	- 20 –	44;	HS-	MOF); H	S - 25	5										
Puentes Ancho de la calzada (m)						S	ERA I	LA DII	MENS	SION	DE I							IDOS	LOS E	SPAI	LDO	VES						
Ancho de Aceras (m) (1)																	la lado											
Mínimo derecho de vía (m)																				cativo (le dic	ha Le	ey					
			LL =	TER	REN) PLA	NO	0 = T	ERRE	NO O	NDŪ	ЛAĎ	O M	= TER	REN	OMC	NTAI	VOSO)									

Fuente: (MTOP, Norma de Diseño Geométrico de Carreteras, 2003)

De acuerdo con la velocidad de diseño establecida en 40 km/h, la MTOP recomienda un peralte máximo del 10%. Sin embargo, considerando que la carretera es frecuentada por autobuses que cuentan con una altura elevada, se ha decidido adoptar un peralte máximo más conservador del 6%. Esta decisión se basa en la necesidad de garantizar la estabilidad y seguridad de estos vehículos durante las maniobras de giro, evitando así el riesgo de vuelco o pérdida de control. Esta elección prioriza la seguridad vial y minimiza los riesgos asociados con peraltes excesivos en la circulación de vehículos de gran altura. Según la velocidad de diseño que es de 40km/h el peralte máximo seleccionado y dado por la MTOP es de 10%, sin embargo, para este caso se usara un peralte máximo del 6% debido a que en esta carretera circulan buses, y un peralte muy grande desestabiliza estos tipos de vehículos ya que cuentan con una altura elevada, esta decisión llega debido a la decisión de precautelar la seguridad en las maniobras de giro.

Una vez definida la velocidad de diseño, tenemos el coeficiente de fricción según la siguiente tabla:

Velocidad de Diseno RADIO MINIMO CALCULADO RADIO MINIMO RECOMENDADO maximo e=0.10 e=0.08 e=0.06 e=0.04 e=0.10 e=0.08 e=0.06 e=0.04 20 0.350 7.32 7.58 8.08 18 20 20 25 12.48 13.66 20 25 25 0.315 13.12 30 0.284 25 30 19.47 20.50 21.67 30 35 0.255 26.79 30.02 32.7 30 35 35 40 0.221 41.86 44.83 48.27 42 40 50 45 55.75 59.94 64.82 58 60 65 0.200 50 0.165 72.91 78.74 86.69 75 90 60 0.185 105.97 115.70 125.98 138.28 110 120 130 140 70 187.75 170 0.150 154.35 189.73 203.07 160 185 205 0.140 209.97 229.95 279.97 210 230 255 280 80 251.97 90 0.134 272.55 298.94 328.70 366.55 275 300 330 320 100 0.130 342.35 374.95 465.16 375 415 465 110 0.124 425.34 467.94 520 585 120 708.85 570 0.120 515.39 588.93 629.92 520 630 710

Tabla 40 Coeficiente de fricción en función de velocidad de diseño

Fuente: (MTOP, Norma de Diseño Geométrico de Carreteras, 2003)

Escogiendo un coeficiente de fricción "f" de 0.221.

Con todos estos parámetros definidos, se procede al cálculo del radio mínimo de la curva.

$$Rmin = \frac{V^2}{127 * (e+f)} = \frac{40^2}{127 * (6\% + 0.221)} = 44.83$$

3.7.1.3. Distancia de frenado

Se aborda el cálculo de la distancia de frenado para una vía en terreno montañoso, donde la pendiente del terreno, denominada "G", juega un papel crucial. Para determinar la distancia de frenado, se seleccionó la pendiente más crítica observada en el terreno, con un valor del 11.25%. Este valor se utilizará como referencia para calcular la distancia de frenado requerida, garantizando así una evaluación precisa y segura de la capacidad de frenado en la vía.

$$D.frenado = \frac{Vc^2}{254 * (f \pm G)}$$

$$D. frenado = \frac{40^2}{254 * (0.221 \pm 11.25\%)} = 58.06m(de\ bajada)\ y\ 18.89m(de\ subida)$$

3.7.1.4. Distancia de visibilidad en curvas horizontales

La determinación de las distancias de visibilidad en curvas horizontales se basa en una fórmula que integra variables calculadas en etapas anteriores, como la distancia de frenado y el radio mínimo de curvatura. Sin embargo, considerando las limitaciones impuestas por la topografía, se ha decidido adoptar un enfoque más pragmático. En lugar de utilizar el radio mínimo de curvatura calculado inicialmente, se optará por el radio crítico observado en el terreno, que es de 10.74 metros. Esta decisión se ajusta a las condiciones reales del terreno y garantiza una evaluación más precisa de las distancias de visibilidad. Por lo tanto:

$$m = Rc * \left(1 - \cos\left(\frac{28.65 * Dp}{Rc}\right)\right)$$

$$m = 10.74 * \left(1 - \cos\left(\frac{28.65 * 58.06}{10.74}\right)\right) = 17.11m$$

3.7.1.5. Distancia de visibilidad lateral

Este valor esta dado por una ecuación que nos da como variable la velocidad promedio de un peatón, la velocidad es de 10 km/h que esta indicado por la MTOP. Una vez tomado en cuenta este dato se procede al cálculo.

$$dL = \frac{Vt}{Vv} * d$$

$$dL = \frac{10}{40} * 58.06 = 15.59 m$$

3.7.1.6. Distancia de visibilidad de rebasamiento

La distancia de visibilidad necesaria para el rebasamiento se determina en función de la longitud de carretera requerida para realizar la maniobra de avance de forma segura. Aunque podrían darse casos de avances simultáneos, no resulta práctico contemplar esta posibilidad; por lo general, se analiza únicamente el escenario en el que un vehículo adelanta a otro. (MTOP, 2003). En este diseño se utilizará una tabla proporcionada por la norma antes mencionada.

Tabla 41 Distancia mínima de visibilidad para rebasamiento

V _D , Km/h		ES DE LOS OS, Km/h.		A MINIMA DE ENTO, METROS
	REBASADO	REBASANTE	CALCULADA	RECOMENDADA
25	24	40		(80)
30	28	44		(110)
35	33	49		(130)
40	35	51	268	270 (150)
45	39	55	307	310 (180)
50	43	59	345	345 (210)
60	50	66	412	415 (290)
70	58	74	488	490 (380)
80	66	82	563	565 (480)
90	73	89	631	640
100	79	95	688	690
110	87	103	764	830 *
120	94	110	831	830

Fuente: (MTOP, Norma de Diseño Geométrico de Carreteras, 2003)

Nuestra carretera no está considerada una carretera principal, por lo tanto tomaremos el valor mínimo recomendado que es de 150 m (dr=150m).

3.7.1.7. Curvas Calculadas

Después de obtener todos los parámetros de diseño, se procede al cálculo de los elementos correspondientes a las curvas horizontales. Como ejemplo, se desarrollará el cálculo para la curva número 1, aplicando el mismo procedimiento para las otra 30.

Cuerda larga:

$$Cl = 2 * R * sen\left(\frac{\Delta}{2}\right) = 2 * 45 * sen\left(\frac{1.204}{2}\right) = 50.97 m$$

Tangente:

$$T = R * Tan\left(\frac{\Delta}{2}\right) = 45 * Tan\left(\frac{1.204}{2}\right) = 30.92 m$$

G. Curva:

$$Gc = \frac{360 * CL}{2 * PI * R} = \frac{360 * 50.97}{2 * PI * 45} = 64.90 \ grados$$

L.Curva Circular:

$$L = \frac{Lc * \Delta}{G} = \frac{50.97 * 68.99}{64.90} = 54.185 \, m$$

Ordenada mediana:

$$M = R * \left(1 - \cos\left(\frac{\Delta}{2}\right)\right) = 45 * \left(1 - \cos\left(\frac{1.204}{2}\right)\right) = 7.91 m$$

Externa:

$$E = R * \left(\left(\frac{1}{\cos \frac{\Delta}{2}} \right) \right) - 1 = 9.60 m$$

Deflexión Por Metro:

$$D.m = \frac{Gc}{2 * Lc} = \frac{64.90}{2 * 50.97} = 0.64 \frac{1}{m}$$

Deflexión por unidad de cuerda:

$$D.c = \frac{Gc}{2} = \frac{64.90}{2} = 32.45 \frac{1}{cuerda}$$

Principio de curva

$$PC = PI - T = 89.52 - 30.92 = 58.60$$

Principio de tangente

$$PT = PC + L = 58.60 + 54.185 = 112.78$$

Punto medio de curva

$$PM = \frac{PC + PT}{2} = \frac{58.60 + 112.78}{2} = 114.99$$

Tabla 42 Curvas horizontales Pt 1

	421			CUA DR	O DE ELE	MENTOS	DE CUI	RVA HO	RIZONTAL				
NÚMERO PI	DIRECCIÓN	DELTA (Δ)	RADIO	т	L	LC	Е	M	PC	PI	PT	PINORTE	PLESTE
C1	S54° 20' 56''W	68.99	45.00	30.92	54.19	50.97	9.60	7.91	0+058.59	0+089.52	0+112.78	9625373.51	712656.99
C5	S43° 01' 28'W	46.34	64.28	27.51	51.99	50.59	5.64	5.19	0+230.36	0+257.87	0+282.35	9625207.98	712597.21
C7	S61° 12' 00"W	9.99	45.00	3.93	7.85	7.84	0.17	0.17	0+361.09	0+365.02	0+358.94	9625163.49	712498.40
C9	N81° 49' 47"W	83.93	83.78	75.34	122.72	112.04	28.90	21.48	0+394.08	0+469.43	0+516.81	9625105.41	712409.62
C14	N78° 52' 41"W	74.03	52.07	39.26	67.28	62.69	13.14	10.49	0+562.82	0+602.07	0+630.09	9625228.69	712306.67
C15	S12° 31' 10'W	107.18	25.43	34.48	47.58	40.94	17.41	10.34	0+657.04	0+691.52	0+704.62	9625187.91	712214.61
C16	S31° 22' 04'W	144.87	13.74	43.40	34.73	26.19	31.78	9.59	0+777.80	0+821.20	0+812.53	9625074.01	712313.86
C17	N70° 04' 17"W	12.25	30.67	3.29	6.58	6.54	0.18	0.18	0+813.02	0+816.31	0+819.58	9625085.27	712268.05
C18	N79° 32' 20"W	31,18	63.44	17.70	34.53	34.10	2.42	2.33	0+901.24	0+918.95	0+935.77	9625130.36	712175.82
C21	S33° 57' 28'W	101.82	25.05	30.84	44.52	38.89	14.68	9.26	0+961.70	0+992.54	1+008.22	9625123.70	712101.65
C24	S2° 22' 20"E	29.16	45.00	11.71	22.90	22.68	1.50	1.45	1+064.07	1+075.77	1+086.97	9625027.67	712130.92
C25	S25° 00' 20'W	25.59	45.00	10.22	20.10	19.93	1.15	1.12	1+125.65	1+135.88	1+145.75	9624968.43	712118.10
C27	S0° 15' 16"E	76.11	35.08	27.45	46.58	43.23	9.47	7.45	1+181.51	1+208.96	1+228.09	9624910.41	712073.10
C28	S 26° 36' 35'W	129.84	15.65	33.45	35.47	28.35	21.28	9.02	1+253.48	1+286.92	1+288.95	9624842.71	712126.59
030	S64° 10' 16'W	54.72	64.23	33.23	61.34	59.03	8.09	7.18	1+345.24	1+378.47	1+406.58	9624845.99	712003.66
C31	S 17° 36' 59'W	38.39	45.00	15.67	30.15	29.59	2.65	2,50	1+445.09	1+460.76	1+475.25	9624776.01	711951.28
C33	\$35° 34' 52'W	74.32	38.00	27.29	46.70	43.49	9.17	7.31	1+547.32	1+574,60	1+594.01	9624661.03	711954.45
C34	S 52° 55' 46'W	39.63	45,00	16.21	31,12	30.51	2.83	2.88	1+710.69	1+726,90	1+741.81	9624613.51	711801.49
C35	S78° 05' 25'W	89.95	46.96	46.92	73.73	66.39	19.42	13.74	1+743.64	1+790.56	1+817.37	9624559.10	711765.99
C36	N42° 31' 44"W	28.81	45.00	11.56	22,63	22,39	1,48	1.42	1+892.23	1+903,79	1+914.88	9624631.84	711654.25
C37	N58° 21' 25"W	60.47	34,19	19.93	35.08	34.43	5.38	4.65	1+935.32	1+955.24	1+971.40	9624677.66	711629.76
C38	N76° 12' 17"W	24.78	128.88	28.31	55.73	55.30	3.07	3.00	2+009.99	2+038.30	2+085.72	9624679.79	711542.97
C39	N20° 11' 46"W	87.24	22.66	21.59	34.50	31.28	8.64	6.26	2+073.48	2+095.07	2+107.98	9624705.23	711491.22
C40	N34° 54' 15"W	116.68	10.74	17.41	21.87	18.29	9.72	5.10	2+112.48	2+129.89	2+134.35	9624745.15	711508.52
C41	S49° 10' 21'W	75.19	20.69	15.93	27.15	25.25	5.42	4.30	2+134.58	2+150.51	2+161.73	9624743.28	711475.01

Tabla 43 Curvas horizontales Pt 2

			С	UADRO	DE ELE	MENTOS	DE CL	JRVA H	ORIZONTAL			e/	y.
NÚMERO PI	DIRECCIÓN	DELTA (Δ)	RADIO	Т	L	LC	E	M	PC	PI	РТ	PI NORTE	PI ESTE
C42	S14° 34' 23"E	52.30	45.00	22.09	41.08	39.67	5.13	4.61	2+202.49	2+224.59	2+243.57	9624666.07	711459.19
C45	S18° 05' 02"E	45.28	54.02	22.53	42.69	41.59	4.51	4.16	2+274.19	2+296.72	2+316.88	9624609.05	711508.29
C46	S22° 59' 43"W	36.88	45.00	15.00	28.96	28.47	2.44	2.31	2+396.81	2+411.81	2+425.77	9624491.96	711498.96
C48	S24° 18' 46"W	34.24	45.00	13.86	26.90	26.50	2.09	1.99	2+549.35	2+563.21	2+576.24	9624377.67	711398.07
C49	S26° 19' 37"W	38.27	76.86	26.67	51.34	50.39	4.50	4.25	2+617.24	2+643.91	2+668.59	9624296.78	711387.87

Fuente: Autor

3.7.2. Alineamiento Vertical

Una vez que se han establecido todos los parámetros del alineamiento horizontal y se ha completado su diseño, se procede al alineamiento vertical. Este proceso incluye la determinación de parámetros clave como "m" y "n", que representan las diferencias de pendiente, así como el factor "K". Estos parámetros son esenciales para calcular la longitud de

las curvas verticales. En este caso, se utilizó el software Civil 3D para realizar estos cálculos. El software proporciona un informe detallado con los parámetros calculados para todas las curvas verticales. Estos datos se presentan en los anexos.

3.7.3. Sobreancho

El diseño del alineamiento vertical comprende 30 curvas, por lo que se presentará el cálculo detallado del sobreancho para la curva más crítica. Para realizar este cálculo, se consideró la longitud de un autobús estándar, que mide 7 metros desde la parte frontal hasta el eje trasero, clasificado como vehículo tipo 2BD según la normativa del MTOP. La selección de este vehículo como referencia se debe a la presencia significativa de este tipo de vehículos en la vía de diseño, lo que garantiza un diseño seguro y funcional para el tráfico previsto.

$$S = n\left(R - \sqrt{R^2 - L^2}\right) + \frac{V}{10 * \sqrt{R}}$$

$$S = 2\left(10.74 - \sqrt{10.74^2 - 7^2}\right) + \frac{40}{10 * \sqrt{10.74}}$$

$$S = 5.8 m$$

El cálculo realizado arroja un resultado de 5.8 metros para el sobreancho. Sin embargo, es importante destacar que la implementación de este valor se verá condicionada por las limitaciones físico-geográficas y las infraestructuras existentes en la vía, ya que se trata de una readecuación y no de un diseño en terreno que nunca ha sido intervenido. En consecuencia, los sobreanchos se ajustarán al máximo valor posible, siempre y cuando las condiciones del entorno lo permitan. En caso contrario, el sobreancho se dimensionará según la disponibilidad de espacio existente.

3.7.4. Peralte

El peralte en curvas horizontales juega un papel fundamental en la seguridad vial, ya que ayuda a mantener la estabilidad de los vehículos durante el giro. Sin embargo, un peralte excesivo puede generar problemas de tracción y estabilidad, aumentando el riesgo de derrape hacia el interior de la curva. En consideración de estos factores, se ha establecido un peralte máximo del 6% para la vía en estudio, buscando equilibrar la seguridad y la funcionalidad de la infraestructura.

Como se realizó previamente, se presentará el cálculo de uno de los peraltes a modo de ejemplo, mientras que los cálculos correspondientes a los demás se incluirán en los anexos.

$$e = \frac{V^2}{127 * R} - f$$

$$e = \frac{40^2}{127 * 11.25} - 0.221$$

$$e = 0.90\%$$

Considerando la alta frecuencia de circulación de camionetas de transporte mixto por la vía de estudio, se decidió ajustar el valor calculado del peralte en el diseño geométrico realizado con Civil 3D. Este ajuste se realizó para garantizar la seguridad vial en las curvas, donde la fuerza centrífuga generada por estos vehículos puede afectar su estabilidad. Para mitigar este riesgo, se incrementó el peralte en las curvas, mejorando así el desempeño de la vía bajo condiciones de tráfico mixto y reduciendo la probabilidad de accidentes. Esta decisión es especialmente relevante en la vía de estudio, ubicada en una zona montañosa con laderas pronunciadas y precipicios, donde la seguridad vial es un aspecto crítico.

3.8. Señalización

La señalización vial es un componente fundamental para garantizar la seguridad y eficiencia del tránsito. En este contexto, se presenta la señalética diseñada para la vía en estudio, la cual

se enfoca en transmitir información esencial a los usuarios sobre su ubicación, destino, condiciones del camino y regulación del tránsito.

La señalización horizontal se utilizó para delimitar áreas de adelantamiento permitidas y prohibidas, así como para indicar la entrada a zonas pobladas, complementada con señalización vertical correspondiente. Además, se implementó señalización vertical para abordar consideraciones específicas a lo largo de la vía, como:

- Mantener la velocidad de diseño de 40 km/h, ante el posible aumento de velocidad de los conductores después de las mejoras.
- Instalar señales preventivas en curvas peligrosas y zonas pobladas.

En los anexos, se incluyen planos detallados que muestran las abscisas donde se implementó la señalización horizontal y vertical, especificando el tipo de señalización utilizada en cada caso.

3.9. Presupuesto referencial

Tras realizar los estudios y dimensionamientos detallados de las estructuras viales y componentes complementarios, se elaboró un desglose exhaustivo que considera materiales, mano de obra, tipos de actividades y componentes necesarios. Este análisis integral permitió estimar los costos asociados a cada rubro, lo que a su vez facilitó la elaboración de un presupuesto detallado que incluye el costo de cada uno de los apartados que lo componen. Este enfoque sistemático garantiza una planificación financiera precisa y realista para el proyecto.

Tabla 44 Presupuesto total del proyecto

		PRESUPUESTO				
Item	Código	Descripción	Unidad	Cantidad	P.Unitario	P.Total
1		BORDILLOS, CUNETA Y ACCESOS				
1.1	500259	Excavación para cunetas y encauzamiento a mano	m3	272.2	16.26	4425.972
1.2	500255	Excavación con retroexcavadora	m3	12242.26	1.69	20689.4194
1.3	555003	Desalojo con volqueta hasta 3km con material cargado a maguina	m3-km	12242.26	0.22	2693,2972

2		ESTRUCTURA DEL PAVIMENTO				
2.1		Base- sub-base- Mejoramiento				
2.1.1	503073	Mejoramiento de la subrasante con suelo seleccionado	m3	4899.6	15.07	73836.97
2.1.2		Sub-base Clase 1	m3	2449.8	22.59	55340.98
2.1.3	500430	Base, Clase 1	m3	2449.8	25.69	62935.36
2.1.4	500250	Asfalto MC para imprimación	m2	16332	1.09	17801.88
2.1.5	548011	Carpeta asfáltica (e=3") Ho.Asf.mezclado en planta	m2	16332	25	408300
2.2		TRANSPORTE DE MATERIALES SUELTOS				
2.2.1	515014	Transporte de sub-base	m3-km	2449.8	0.22	538.956
2.2.2	515015	Transporte de base	m3-km	2449.8	0.22	538.956
2.2.3	515016	Transporte de mezcla asfáltica	m3-km	16332	0.26	4246.32
2.2.4		Transporte de material de excavación	m3-km	12242.26	0.22	2693.2972
		Transporte de suelo seleccionado para mejoramiento de la				
2.2.5	503086	subrasante	m3-km		0.22	0
3		DRENAJE				
3.1		Estructuras de alivio hidráulico				
211	E00200	Hormigón estructural clase 'C' f'c=210 kg/cm2, Bordillos y	m2	1622.2	120	105004
3.1.1	500298	cunetas Alcantarillas impermeables Armico D=900mm	m3	1633.2	120	195984
3.1.2	502062	Hormigón estructural de cemento portland Clase B (f'c=280	m	30	152.00	4560
3.1.3	500298	kg/cm2)	m3	10	110	1100
3.1.4		Acero de refuerzo en barras, fy=4200 kg/cm2	kg	256	2.23	570.88
3.2		SUBDRENAJE				0
3.2.1	500432	Replanteo y nivelación	m	2722	0.95	2585.9
3.2.2	504279	Excavación a máquina con retroexcavadora	m3	1633.2	1.99	3250.068
3.2.3	502012	Material filtrante	m3	280	8.61	2410.8
3.2.4	515029	Transporte de material filtrante	m3-km	280	0.22	61.6
3.2.5	515020	Cargado de material a maquina	m3	1913.2	2.08	3979.456
2.2.7	500148	Desalojo con volqueta hasta 3km con material cargado a	2.1	1012.2	0.22	420.004
3.2.7		maquina SEÑALIZACION V SECURIDAD WAL	m3-km	1913.2	0.22	420.904
4		SEÑALIZACION Y SEGURIDAD VIAL				
4.1		SEÑALIZACION HORIZONTAL Marcas de pavimento (Pintura amarilla reflectiva) acrílica				
4.1.1	515038	a=10cm	m	5444	1.39	7567.16
		Marcas de pavimento (Pintura blanca reflectiva) acrílica				
4.1.2	515039	a=10cm	m	2722	1.39	3783.58
4.2		SEÑALIZACION VERTICAL				
4.2.1	515049	Señales a lado de la carretera (075x0.75m) Limite máximo de velocidad	u	20	171.9	3438
1.2.1	313017	Señales a lado de la carretera (075x0.75m) Curva y	u	20	171.7	3130
4.2.2	515052	contracurva	u	7	171.9	1203.3
4.2.3	515066	Guardacaminos doble metálico	m	283	79.14	22396.62
4.2.4	515069	Señales a lado de la carretera (075x0.75m) Curva derecha cerrada	u	7	171.9	1203.3
1.2.1	515007	Señales a lado de la carretera (075x0.75m) Curva izquierda	u	,	1,11,	1200.0
4.2.5	515070	cerrada	u	7	171.9	1203.3
5		IMPACTO AMBIENTAL				
5.1	515077	Batería sanitaria móvil	u	2	1504.11	3008.22
5.2	515078	Trampa de grasas y aceite	u	2	326.32	652.64
5.3	515079	Tanque de almacenamiento de grasas y aceite	u	5	31.76	158.8
5.4	515081	Agua para control de polvo	miles de litro	10	3.85	38.5
5.5	515082	Cobertura de plástico	m2	100	1.25	125
5.6	515083	Charlas de concientización	u	1	250.37	250.37

5.7	515084	Comunicados Radiales	min	100	4.17	417
5.8	515085	Instructivos o trípticos	u	200	0.53	106
5.9	515087	Cinta plástica reflectiva (a=0.12m)	m	500	0.72	360
5.10	515088	Charlas de Adiestramiento	u	1	136.24	136.24
			SUBTOTAL			\$ 915,013.05
			IVA		15%	\$ 137,251.96
			TOTAL			\$ 1,052,265.01
TO	OTAL:	Un millón cincuenta y dos mil dosciento	os sesenta y cinc	o dólares ar	nericanos	
TO	OTAL:	Un millón cincuenta y dos mil dosciento	os sesenta y cinc	o dólares ar	nericanos	

Fuente: Autor

3.10. Conclusiones

Los resultados de esta investigación destacan la importancia de considerar una serie de factores críticos en el diseño de una vía pública entre las parroquias Cochapata-Morasloma, a fin de garantizar su eficacia y eficiencia. El análisis exhaustivo realizado puso de manifiesto que aspectos como la distribución social y geográfica, la calidad de vida y la movilidad de la población son elementos esenciales para comprender las necesidades y características del entorno comunitario, y justificar así la viabilidad y pertinencia del proyecto vial. Esta comprensión integral es fundamental para desarrollar un diseño que no solo satisfaga las necesidades de movilidad, sino que también contribuya al mejoramiento de la calidad de vida de las comunidades beneficiarias.

Con los datos obtenidos través del proyecto del diseño de la carretera se observa que realmente la estructura de la vía necesita de modificaciones para poder cumplir con las normativas, sea una vía segura y satisfaga su función. En cuanto al diseño geométrico y estructural se opta por considerar parámetros críticos ya que en cuanto a curvas incumple la normativa, pero es

necesario seguir el trayecto de la vía de lastre ya existente. Los resultados de la calidad del suelo son muy bajos no aptos para la construcción de una vía, por lo que se ve necesario adaptar las propiedades del proyecto aumentando el porcentaje de CBR para que el diseño sea optimo y pueda soportar diferentes cargas a las que serán sometidas en un tiempo determinado.

El período de diseño de 20 años permitió incorporar de manera efectiva las proyecciones de tráfico futuro y las características de los vehículos, garantizando la capacidad y durabilidad del pavimento. Con los datos del TPDA al ser poco el número de automotores transitados por la vía, los espesores de las capas que forman parte de la estructura del pavimento resultaron por debajo del límite por lo que se requirió tomar los valores mínimos dados en la norma. (AASHTO, 1993) y fue necesario diseñar un espesor necesario de material de mejoramiento para la subrasante. Además, se implementó un sistema de drenaje eficaz para manejar el agua de lluvia, minimizando los impactos negativos en la comunidad y protegiendo las viviendas de inundaciones, lo cual es especialmente crucial en la región debido a su entorno montañoso. Considerando factores clave como la seguridad vial, la geometría de la vía y la señalización, se logró desarrollar un diseño que mitigó los riesgos y mejoró significativamente la seguridad en tramos críticos y curvas, contribuyendo así a una movilidad más segura y eficiente en la región.

En síntesis, el diseño propuesto para Cochapata y Morasloma va más allá de satisfacer las necesidades inmediatas de movilidad y seguridad, ya que también se enfoca en promover el desarrollo sostenible y mejorar la calidad de vida de la población. Con una visión integral, este proyecto busca no solo modernizar la infraestructura vial, sino también impulsar el crecimiento económico y social de la región, asegurando así una vía que no solo responda a las necesidades actuales, sino que también sea viable y sostenible a largo plazo.

3.11. Recomendaciones

Tener empatía con los moradores de la zona donde se realiza el proyecto para no ocasionar problemas y poder realizar los estudios de manera tranquila.

Al momento de construir tener en cuenta las viviendas ya existentes ya que estas se ubican cercanas a la vía.

Se recomienda al GAD encargado de esta zona realizar una inspección periódica de la vía luego de su construcción para poder controlar la funcionalidad de la vía y alargar la vida útil.

Es fundamental que durante la ejecución del proyecto se realicen las instalaciones de alcantarillado y se mejore la red de agua potable, lo que no solo mejorará la calidad de vida de los residentes, sino que también evitará costosos trabajos adicionales en el futuro.

Además, se recomienda implementar una señalización vertical adecuada y realizar campañas de concienciación entre los moradores de la zona para fomentar el respeto y cumplimiento de las señales de tránsito, contribuyendo así a una mayor seguridad vial y a un entorno urbano más ordenado y sostenible.

4. Bibliografía

AASHTO. (1993). *Desing of Pavement Structures*. American Association of State Highway and Transportation Officials.

American Society of Civil Engineers. (1992). Urban Water Resources Research Council.

American Society of Civil Engineers. Urban Water Resources Research Council. (1992). *Design and Construction of Urban Stormwater Management Systems*. Obtenido de https://www.google.com.ec/books/edition/Design_and_Construction_of_Urban_Stormwa/v WtXEohjy5cC

ASTM INTERNATIONAL. (2024). ¿Qué es la AASHTO? Obtenido de https://la.astm.org/es/standards/aashto/

BRAJA DAS, M. (2013). Fundamentos de ingeniería geotécnica - Cuarta Edición. Cengage Learning, Inc.

- Cárdenas Grisales, J. (2013). Diseño Geométrico de Carreteras. Bogotá: ECOE EDICIONES.
- CONGOPE. (2019). *Plan de Desarrollo Vial Integral de la Provincia del Azuay*. Obtenido de http://www.congope.gob.ec/wp-content/uploads/2020/09/Azuay-plan-vial-integral.pdf
- COTECNO. (2024). *Granulometría: Análisis granulométrico de suelos por tamizado*. Obtenido de https://www.cotecno.cl/granulometria-analisis-granulometrico-suelos/
- editorial, E. (8 de Febrary de 2018). *Concepto*. Obtenido de Suelo Concepto, tipos, composición y caracteristica: Concepto. https://concepto.de/suelo/
- Fattorelli, S., & Fernandez, P. (2011). Diseño Hidrológico. WASA GN.
- Geometer Agricultura de precisión y GNSS para industrias. (2024). ¿Qué es GNSS RTK y cómo funciona? Obtenido de Geometer: https://gpsgeometer.com/es/blog/what-is-gnss-rtk-and-how-does-it-work
- INAMHI. (2024). *Anuarios Meteorológicos*. Obtenido de https://servicios.inamhi.gob.ec/anuarios-metereologicos/
- INAMI. (2019). Actualizacion del estudio de lluvias intensas Quito-Ecuador. Quito: Iñaquito.
- INEN. (2011). SEÑALIZACIÓN VIAL. PARTE 1. SEÑALIZACIÓN VERTICAL. QUITO.
- INEN. (2011). SEÑALIZACIÓN VIAL. PARTE 2. SEÑALIZACIÓN HORIZONTAL.
- Instituto Geográfico Nacional. (s.f.). *Instituto Geográfico Nacional*. Obtenido de https://www.ign.es/web/resources/docs/IGNCnig/OBS-Fotogrametria.pdf
- Instituto Nacional de Vías. (Diciembre de 2009). *Manual de Drenaje para Carreteras*. Obtenido de https://onl.dnp.gov.co/sites/comunidadvirtual/comunidadvirtual/Tecnologas%20%20interve nciones/Manual%20de%20drenajes%20para%20carreteras.pdf
- Kirpich, P. (1940). Time of concentration of small agricultural watersheds. Civil Engineering.
- Ministerio de Transporte y Obras Públicas. (2013). *Norma para estudios y diseños Viales, NEVI 12 Volumen N°2*. Quito.
- Montejo, A. (2002). *Ingeniería de Pavimentos para Carreteras*. Universidad Católica de Colombia Ediciones y Publicaciones.
- MOP . (2002). ESPECIFICACIONES GENERALES PARA LA CONSTRUCIÓN DE CAMINOS Y PUENTES. MINISTERIO DE OBRAS PUBLICAS Y COMUNICACIONES.
- MTOP. (2003). Norma de Diseño Geométrico de Carreteras. Quito.
- MTOP. (2013). NORMA ECUATORIANA VIAL NEVI-12-MTOP VOLUMEN 2. QUITO: MINISTERIO DE TRANSPORTE Y OBRAS PÚBLICAS DEL ECUADOR.
- Nabón, A. d. (2025). Alcaldia de Nabón. Obtenido de https://www.nabon.gob.ec/datos-del-canton/
- Nabón, M. d. (2021). *Nabón_PDOT_PUGS*. Obtenido de https://www.nabon.gob.ec/wp-content/uploads/2024/01/NABON_PDOT_PUGS_AA-1.pdf
- Pérez Carmona, R. (2013). *Diseño y construcción de alcantarillados sanitario, pluvial y drenaje en carreteras.* Ecoe Ediciones.

Porto, J. P., & Gardey, A. (15 de Julio de 2022). *Tránsito - Qué es, definición y concepto*. Obtenido de Definicion.de: https://definicion.de/transito/

4.1. Anexos

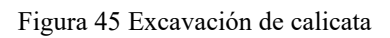




Figura 46 Obtención de calicatas



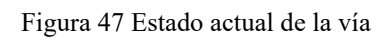




Figura 48 Estado actual de la vía 2



Figura 49 Inspección de la vía



Figura 50 Inspección de la vía

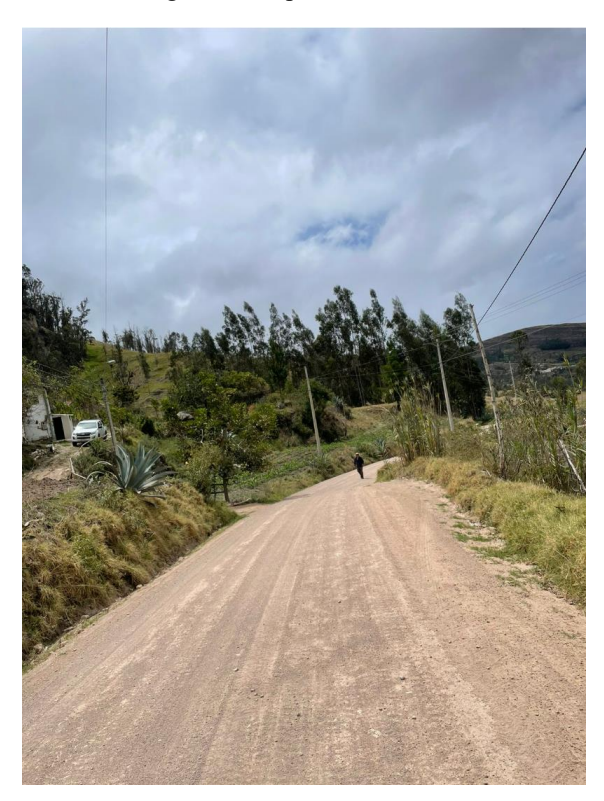


Figura 51 Medición de profundidad de excavación



Figura 52 Cajón de Alivio existente en la vía



Figura 53 Levantamiento con RTK

Figura 54 Curva crítica del proyecto



Figura 55 Recolección de muestra



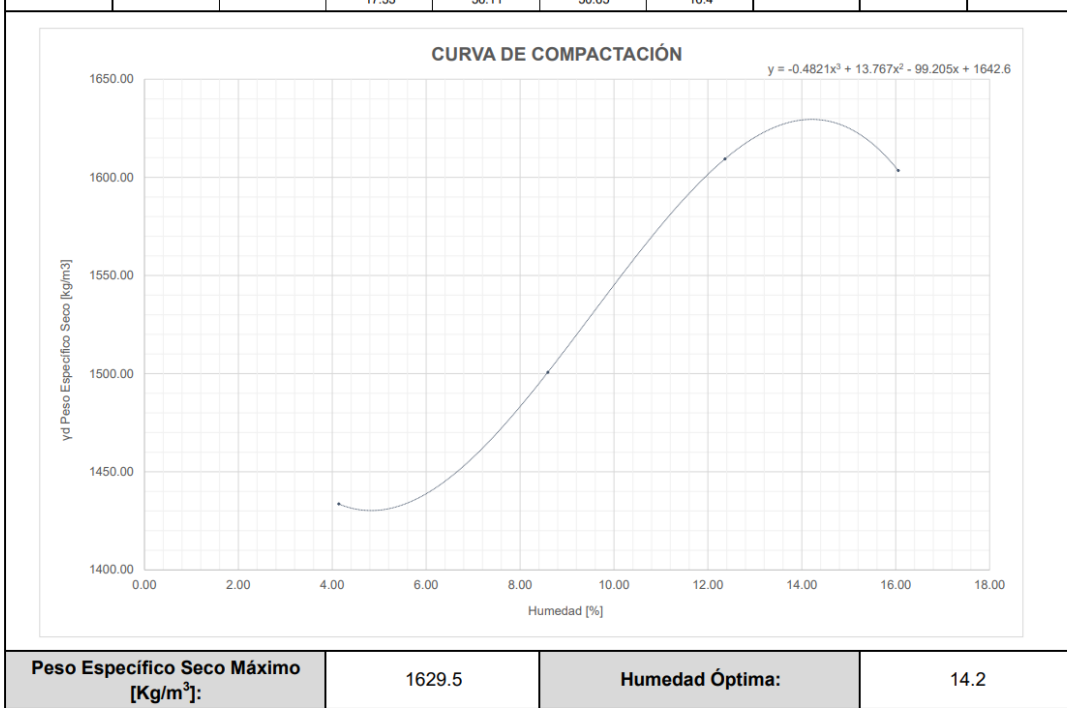
Tool20 Wichand

Figura 56 Vista previa del proyecto

ENSAYO PROCTOR MODIFICADO



									GEO O GEO
NOR	RMAS DE REFERE	NCIA:	ASTM D1557-1	12					
Proyecto:	PROYECTO D	E TITULACIÓN				Detalle de	la muestra	M1	- C1
Solicita:	UPS ESTUDIA	NTES				Cali	cata:	CALIC	CATA 1
Coorde	enadas:					Profundidad	muestra [m]:	0.	.80
PESO	MOLDE C/ANILL	O [Kg]:		4.58		Mo	lde:	,	4"
PESO	MOLDE S/ANILL	O [Kg]:		3.78		Altura M	olde [cm]:	11	.64
VOLU	UMEN DEL MOLDI	E [m³]:		0.00095		Diámetro I	Molde [cm]:	10	1.20
	No. CAPAS:			5		Ma	aza:	2700 k	N-m/m³
No	. GOLPES POR CA	APA:		25		Altura de	caída [cm]:	4	15
No. ENSAYO	HUMEDAD ESTIMADA [%]	W MOLDE + MUESTRA [Kg]	W TARA [g]	Wh + TARA [g]	Ws + TARA [g]	HUMEDAD [%]	HUMEDAD PROMEDIO [%]	PESO ESPECÍFICO HÚMEDO [Kg/m³]	PESO ESPECÍFICO SECO [Kg/m³]
			17.39	70.09	67.76	4.6			
1	4.00	5.2	17.53	62.05	60.41	3.8	4.14	1492.95	1433.63
			17.3	55.35	53.9	4.0			
			17.36	49.63	47.08	8.6			
2	8.00	5.33	17.24	68.64	64.68	8.3	8.59	1629.63	1500.71
			17.49	66.96	62.94	8.8			
			17.27	55.4	51.3	12.0			
3	12.00	5.5	17.27	61.85	56.81	12.7	12.36	1808.36	1609.39
			17	58.92	54.33	12.3			
			17.23	58.79	53.03	16.1			
4	16.00	5.55	17.18	58.78	53.14	15.7	16.05	1860.93	1603.51
			17.33	56.11	50.65	16.4			



ENSAYO PROCTOR MODIFICADO NORMAS DE REFERENCIA: ASTM D1557-12 PROYECTO DE TITULACIÓN Detalle de la muestra M1- C2 Proyecto: Solicita: UPS ESTUDIANTES Calicata: CALICATA 2 Profundidad muestra [m]: 0.80 PESO MOLDE C/ANILLO [Kg]: 4" PESO MOLDE S/ANILLO [Kg]: Altura Molde [cm]: 3.78 11.64 Diámetro Molde [cm]: VOLUMEN DEL MOLDE [m³]: 0.00095 10.20 No. CAPAS: 5 Maza: 2700 kN-m/m³ No. GOLPES POR CAPA: 25 Altura de caída [cm]: 45 PESO ESPECÍFICO HÚMEDO [Kg/m³] HUMEDAD ESTIMADA [%] HUMEDAD PROMEDIO [%] PESO ESPECÍFICO SECO [Kg/m³] Wh + TARA [g] Ws + TARA [g] HUMEDAD [%] W MOLDE + MUESTRA [Kg] W TARA [g] 17.32 4.3 1 4.00 5.02 17.51 72 69.55 4.7 4.73 1303.70 1244.78 17.32 63.66 61.39 5.2 17 53.87 50.77 9.2 9.00 5.15 17.58 51.46 48.71 8.8 9.02 1440.38 1321.27 17.32 45.81 43.45 9.0 17.18 60.55 54.88 15.0 14.00 5.14 17.34 72.75 65.94 14.0 14.49 1429.87 1248.91 17.24 57.48 52.41 14.4 17.13 42.4 38.22 19.8 20.00 5.09 17.18 55.28 48.92 20.0 20.17 1377.30 1146.08 17.47 60.21 52.89 20.7 **CURVA DE COMPACTACIÓN** 1340.00 1320.00 1300.00 1280.00 1260.00 yd Peso Específico Seco [kg/m3] 1240.00 1220.00 1200.00 y = 0.1781x3 - 8.2158x2 + 104.76x + 914.08 1180.00 1160.00 1140.00 1120.00 5.00 10.00 15.00 20.00 25.00 Humedad [%]

1321.3

Humedad Óptima:

9.02

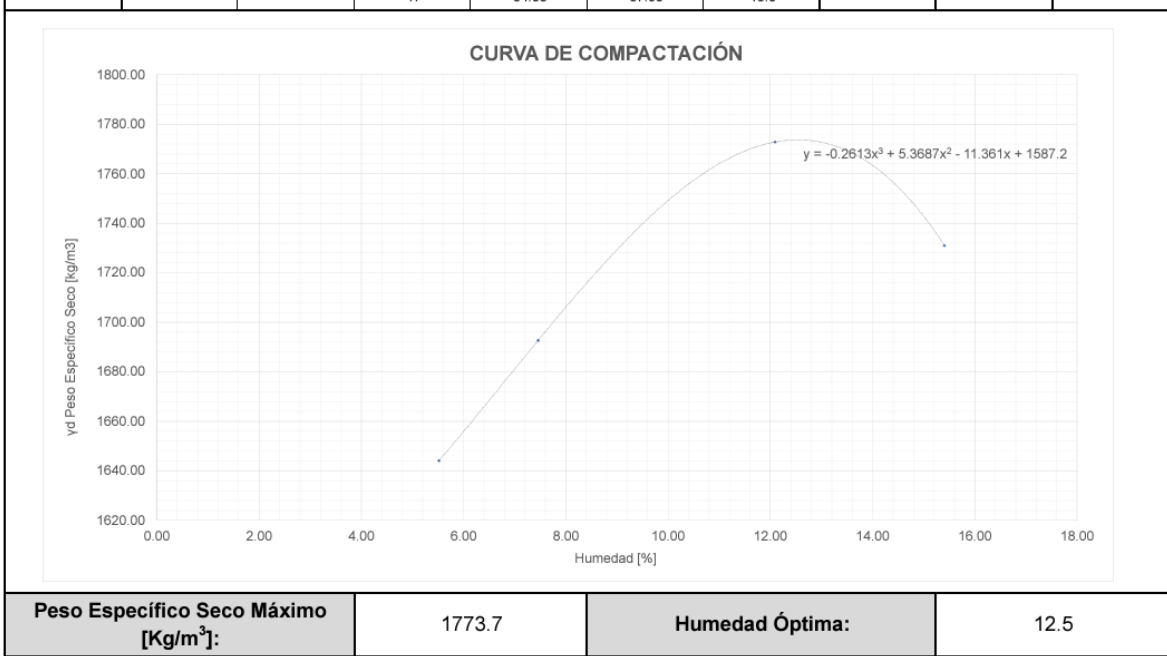
Peso Específico Seco Máximo

[Kg/m³]:

ENSAYO PROCTOR MODIFICADO



									GEO O GEO
NOR	MAS DE REFERE	NCIA:	ASTM D1557-1	12					
Proyecto:	PROYECTO D	E TITULACIÓN				Detalle de	la muestra	M1	- C3
Solicita:	UPS ESTUIDA	NTES				Cali	cata:	CALIC	CATA 3
Coorde	enadas:					Profundidad	muestra [m]:	0	80
PESO	MOLDE C/ANILL	O [Kg]:		4.58		Mo	lde:		4"
PESO	MOLDE S/ANILL	O [Kg]:		3.78		Altura M	olde [cm]:	11	.64
VOLU	JMEN DEL MOLDI	E [m³]:		0.00095		Diámetro I	Molde [cm]:	10	.20
	No. CAPAS:			5		Ma	aza:	2700 k	N-m/m³
No.	GOLPES POR CA	APA:		25		Altura de	caída [cm]:		15
No. ENSAYO	HUMEDAD ESTIMADA [%]	W MOLDE + MUESTRA [Kg]	W TARA [g]	Wh + TARA [g]	Ws + TARA [g]	HUMEDAD [%]	HUMEDAD PROMEDIO [%]	PESO ESPECÍFICO HÚMEDO [Kg/m³]	PESO ESPECÍFICO SECO [Kg/m³]
			17.03	75.49	72.41	5.6			
1	5.00	5.43	17.18	74.93	71.91	5.5	5.52	1734.77	1644.07
			17.23	83.17	79.75	5.5			
			17.26	64.4	61.08	7.6			
2	7.50	5.51	17.36	59.59	56.58	7.7	7.46	1818.88	1692.67
			17.33	68.5	65.1	7.1			
			17.28	62.48	57.51	12.4			
3	12.00	5.67	17.53	54.57	50.66	11.8	12.09	1987.09	1772.80
			17.25	79.84	73.08	12.1	1		
			17.27	56.63	51.24	15.9			
4	15.50	5.68	17.3	60.3	54.57	15.4	15.40	1997.61	1730.98
			17	64.08	57.95	15.0]		



						SAYO DE						
		Proye	cto:			PROYE	ECTO DE TI	TULACIÓN				
		Coorden	adas:					Cota (msnm):				
GEO Ø	GEO	Fecha toma d	e muestra:		15/11/2	2024		Fecha de ensayo:	26/11	/2024		
G E O I N G E	NIERIA	Ubicac	ión:					Nivel Freático:	N	/A		
		Tipo de m	aterial:	ML-	Limo baja plas	sticidad arer	oso	Calicata:	#	1		
				COM	IPACTACIÓN	CBR						
MO	LDE		1			2			3			
Altura Mo	olde (mm)		120			120			120			
N° C	apas		5			5			5			
N°Golpe	por capa		10			25			56			
				AN	TES DE SATU							
P. Húm.			11310.00			9940.00			810.00			
Peso Mo	(0)		7940.00			6130.00 3810.00			760.00			
Peso Húr	,		3370.00				050.00					
Vol. Mol Densidad	, ,	2177.50 1.55				2206.25 1.73			206.25 1.84			
Número		26	97	119	30	96	98	21	37	111		
Peso Ta		17.32	17.22	17.00	17.28	17.27	17.00	17.37	17.16	17.29		
P.Húmedo	(0)	61.54	62.45	59.79	53.77	64.35	62.37	59.14	68.32	59.60		
	+ Tara (gr)	56.00	56.66	54.74	49.13	58.43	56.88	54.00	62.00	54.09		
Peso Ag	jua (gr)	5.54	5.79	5.05	4.64	5.92	5.49	5.14	6.32	5.51		
P. Muestra	Seca (gr)	38.68	39.44	37.74	31.85	41.16	39.88	36.63	44.84	36.80		
Cont. Hu	umedad	14.32%	14.68%	13.38%	14.57%	14.38%	13.77%	14.03%	14.09%	14.97%		
Cont.Hu	m.Prom.		14.13%			14.24%		1	4.37%			
Densidad se	eca (gr/cm ³)		1.356		1.605							
				DESF	PUÉS DE SAT	URAR						
P. Sat.+	+ Molde		11834.40			10400.63		10	225.24			
Peso Mo	olde (gr)		7940.00			6130.00		5	760.00			
Peso S	Sat. (gr)		3894.40			4270.63		44	465.24			
Vol. Mol	` '		2177.50			2206.25			206.25			
Densidad :			1.79	440		1.94			2.02	444		
Número		26	97	119	30	96	98	21	37	111		
Peso Ta P.Húmedo +	(0)	17.32 82.54	17.22 94.33	17.00 98.11	17.28 90.11	17.27 82.11	17.00 80.05	17.37 70.92	17.16 81.22	17.29 69.11		
	+ Tara (gr) + Tara (gr)	67.23	94.33 75.94	77.68	74.38	67.84	66.11	70.92 59.68	68.04	58.48		
Peso Ag	(0)	15.31	18.39	20.43	15.73	14.27	13.94	11.24	13.18	10.63		
P. Muestra		49.91	58.72	60.68	57.10	50.57	49.11	42.31	50.88	41.19		
Cont. Hu	,	30.68%	31.32%	33.67%	27.55%	28.22%	28.39%	26.57%	25.90%	25.81%		
Cont.Hu		00.0073	31.89%	30.01.70	27.0073	28.05%	20.00,0		26.09%	20.0.70		
Densidad se			1.356			1.512			1.605			
	,,,			ENSAY	O DE HINCHA							
TIE	MPO	MC	OLDE N° 01		M	OLDE N° 02		MOL	DE N° 03			
ACUMU		LECTURA		AMIENTO	LECTURA		AMIENTO	LECTURA		AMIENTO		
(Hs)	(Días)	DEFORM.	(mm)	(%)	DEFORM.	(mm)	(%)	DEFORM.	(mm)	(%)		
0	0	0.19	0.00	0.00	0.13	0.00	0.00	1.50	0.00	0.00		
24 48	1 2	3.74 4.45	3.55 4.26	2.96 3.55	3.07 4.15	2.94 4.02	2.45 3.35	4.35 5.42	2.85 3.92	2.38 3.27		
72	3	4.73	4.54	3.78	4.85	4.72	3.93	6.19	4.69	3.91		
96	4	5.03	4.84	4.03	4.93	4.80	4.00	6.21	4.71	3.93		

				CARGA - PEN			
PENET	RACION	M	OLDE N° 01		OLDE N° 02		LDE N° 03
(mm)	(pulg)	CARGA (kg)	ESFUERZO (kg/cm ²)	CARGA (kg)		CARGA (kg)	ESFUERZO (kg/cm
0.00	0.000	0	0.00	0	0.00	0	0.00
0.64	0.025	4	0.20	5	0.25	6	0.31
1.27	0.050	9	0.46	12	0.63	15	0.76
1.91	0.075	15	0.76	19	0.97	23	1.18
2.54	0.100	20	1.01	25	1.28	31	1.58
5.08 7.62	0.200 0.300	37 47	1.88 2.40	46 57	2.32 2.92	50 63	2.54 3.19
10.16	0.300	54	2.77	67	3.43	71	3.60
12.70	0.500	62	3.18	74	3.75	79	4.02
		Esfuerzo (kg/cm²) 2	CURVA: ESF	UERZO - PE	NETRACIÓN		
		0.00	0.05 0.10 0.15	0.20 0.25 Penetración	0.30 0.35 0.40	0 0.45 0.50 — 10 golpes	
			CURVA	: DENSIDAL		25 golpes —56 golpes	
		3.00	CURVA			25 golpes	
			CURVA			25 golpes	
		3.00	CURVA			25 golpes	
		2.50	CURVA			25 golpes	
		2.50	CURVA			25 golpes	
		2.50	CURVA			25 golpes	
		2.50	CURVA			25 golpes	
		2.50	CURVA			25 golpes	
		2.50 2.00 85 1.50	CURVA			25 golpes	
		2.50 2.00 85 1.50	CURVA			25 golpes	
		2.50 2.00 2.00 1.50 1.00 0.50	CURVA			25 golpes	
		2.50 2.00 48 1.50 1.00 0.50 0.00		: DENSIDAE	D - %CBR	25 golpes — 56 golpes	
		2.50 2.00 2.00 1.50 1.00 0.50	1.35 1.40	: DENSIDAE	D - %CBR	25 golpes	
		2.50 2.00 48 1.50 1.00 0.50 0.00		: DENSIDAE	D - %CBR	25 golpes — 56 golpes	5
PENTRC.	0.1 (*)	2.50 2.00 2.00 1.50 1.00 0.50 0.00 1.30	1.35 1.40	1.45 Densidad seca	1.50 1.55 a (gr/cm³)	25 golpes — 56 golpes — 1.60 — 1.65 — CBR (%)	1
MOLDE 1	1.00	2.50 2.00 2.00 2.00 1.50 1.00 0.50 0.00 1.30	1.35 1.40 DENS MOLDE 1	1.45 Densidad seca	1.50 1.55 a (gr/cm³) 0.1 in 0.2 in 1.42 1.77	25 golpes — 56 golpes — 1.60 — 1.65 — CBR (%) — 1.77	
		2.50 2.00 2.00 1.50 1.00 0.50 0.00 1.30	1.35 1.40	1.45 Densidad seca	1.50 1.55 a (gr/cm³)	25 golpes — 56 golpes — 1.60 — 1.65 — CBR (%)	

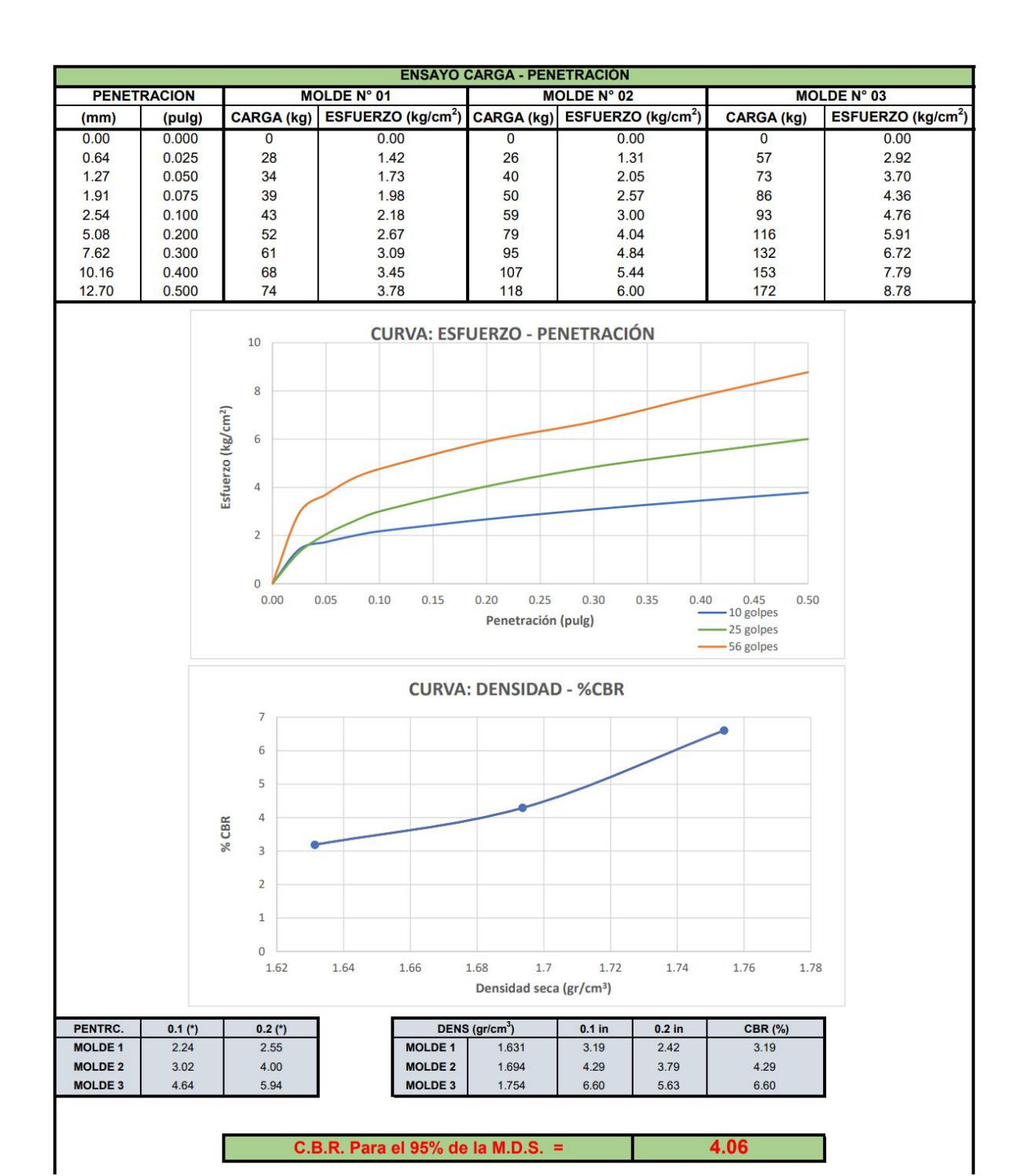
						ISAYO DE (MA ASTM L						
		Proye	cto:			PRO	ECTO DE TI	TULACIÓN				
		Coorder	nadas:					Cota (msnm):				
GEO @	GEO	Fecha to	ma de		15/11/	2024		Fecha de	21/11	/2024		
GEOLOGIA GEOFISIO GEOINGE	CA GEOTECNIA	mues			10/11/	2024		ensayo:		-		
OLOMOL	MILKIA	Ublcad						Nivel Freático:		<u>/A</u>		
		Tipo de m	aterial:		MH- Limo alta	plasticidad		Callcata:	#	2		
				СО	MPACTACIÓN	CBR						
МО	LDE		1			2			3			
Altura Mo	olde (mm)		120			120			120			
N° C			5			5			5			
N°Golpe	por capa		10			25			56			
2 111				A	NTES DE SATUR							
P. Húm.			10642.00			9002.00			104.00			
Peso Mo			7940.00			6130.00			760.00			
Peso Hún			2702.00			2872.00			344.00			
Vol. Mo Densidad	` '		2177.50 2206.25 1.24 1.30				2206.25 1.52					
Número		108	112	31	99	32	11	20	21	26		
Peso Ta		17.24	17.00	17.32	17.41	17.13	17.28	17.54	17.38	17.33		
P.Húmedo		55.39	71.34	66.66	62.92	51.87	60.60	62.75	62.27	62.54		
Peso Seco +		51.91	66.52	62.89	59.00	49.26	56.24	58.92	58.40	58.52		
Peso Ag		3.48	4.82	3.77	3.92	2.61	4.36	3.83	3.87	4.02		
P. Muestra		34.67	49.52	45.57	41.59	32.13	38.96	41.38	41.02	41.19		
Cont. Hu	,	10.04%	9.73%	8.27%	9.43%	8.12%	11.19%	9.26%	9.43%	9.76%		
Cont.Hui	m.Prom.		9.35%			9.58%			9.48%			
Densidad se	eca (gr/cm³)		1.135			1.188			1.384			
				DES	SPUÉS DE SATU	RAR						
P. Sat.+	Molde		11584.17			10007.33		10	0031.76			
Peso Mo	olde (gr)		7940.00			6130.00		5	760.00			
Peso S	at. (gr)		3644.17			3877.33		4	271.76			
Vol. Mo	lde (cc)		2177.50			2206.25		2	206.25			
Densidad S	Sat.(gr/cc)		1.67			1.76			1.94			
Número	de tara	108	112	31	99	32	11	20	21	26		
Peso Ta		17.24	17.00	17.32	17.41	17.13	17.28	17.54	17.38	17.33		
P.Húmedo ·		58.92	73.92	69.62	59.62	98.72	89.63	102.33	97.84	89.33		
Peso Seco +		44.08	58.32	52.33	48.09	71.03	64.00	79.12	74.95	67.99		
Peso Ag		14.84	15.60	17.29	11.53	27.69	25.63	23.21	22.89	21.34		
P. Muestra		26.84	41.32	35.01	30.68	53.90	46.72	61.58	57.57	50.66		
Cont. Hu		55.29%	37.75%	49.39%	37.58%	51.37%	54.86%	37.69%	39.76%	42.12%		
Cont.Hu			47.48%			47.94%			39.86%			
Densidad se	eca (gr/cm²)		1.135		(O DE 1122	1.188			1.384			
			IOI DE Nº Of	ENSA	O DE HINCHAN							
TIEMPO A	CUMULADO	LECTURA	IOLDE N° 01	AMIENTO	LECTURA	MOLDE N° 02	AMIENTO	LECTURA	LDE N° 03	AMIENTO		
(Hs)	(Días)	DEFORM.	(mm)	(%)	DEFORM.	(mm)	AMIENTO (%)	DEFORM.	(mm)	(%)		
0	0	0.650	0.000	0.00	1.160	0.000	0.00	1.030	0.000	0.00		
24	1	11.450	10.800	9.00	13.630	12.470	10.39	19.110	18.080	15.07		
48	2	11.620	10.970	9.14	13.890	12.730	10.61	19.480	18.450	15.38		
72	3	11.780	11.130	9.28	14.110	12.950	10.79	19.820	18.790	15.66		
96	4	11.980	11.330	9.44	14.390	13.230	11.03	20.250	19.220	16.02		

			ENSAYO	CARGA - PENE	TRACIÓN		
PENET	RACION	IV	10LDE N° 01	IV	OLDE N° 02	МО	LDE N° 03
(mm)	(pulg)	CARGA (kg)	ESFUERZO (kg/cm ²)	CARGA (kg)	ESFUERZO (kg/cm²)	CARGA (kg)	ESFUERZO (kg/cm²
0.00	0.000	0	0.00	0	0.00	0	0.00
0.64	0.025	6	0.32	9	0.46	10	0.49
1.27	0.050	9	0.46	12	0.60	13	0.66
1.91	0.075	12	0.61	15	0.75	16	0.83
2.54	0.100	15	0.76	17	0.87	19	0.98
5.08	0.200	23	1.17	27	1.36	27	1.36
7.62	0.300	32	1.61	36	1.82	34	1.72
10.16	0.400	39	1.99	43	2.18	41	2.08
12.70	0.500	46	2.33	46	2.35	46	2.32
		Estencizo (kg/cm²) 2 1 1 00.00	0.05 0.10 0.15	0.20 0.25 Penetración	_	0 0.45 0.50 10 golpes 25 golpes 56 golpes	
			CLIBVA	: DENSIDAD		20 Polhe2	
		4.50	CORVA) - 70CBR		
		1.50	CORVA) - /0CBN		
		1.45	CORVA) - 70CBN		
		1.45 1.40	CONVA) - 70CBR		
		1.45	CONVA		9- %CBK		
		1.45 1.40 1.35	CONVA		7- 70CBK		
		1.45 1.40 1.35	CONVA		7- 70CBK		
		1.45 1.40 1.35	CONVA		7- 70CBK		
		1.45 1.40 1.35 1.30 28 1.25 8 1.20	CONVA		7- %CBK		
		1.45 1.40 1.35 1.30 2 1.25 % 1.20 1.15	CONVA		7 - 70CBK		
		1.45 1.40 1.35 1.30 1.25 1.20 1.15 1.10	CONVA		7 - 70CBK		
		1.45 1.40 1.35 1.30 1.25 1.20 1.15 1.10 1.05	CONVA		7 - 70CBK		
		1.45 1.40 1.35 1.30 9 1.25 % 1.20 1.15 1.10 1.05 1.00		12			
		1.45 1.40 1.35 1.30 1.25 1.20 1.15 1.10 1.05	1.05 1.1 1.15	1.2 Densidad seca	1.25 1.3 1.35	1.4 1.45	
PENTRC.		1.45 1.40 1.35 1.30 9 1.25 % 1.20 1.15 1.10 1.05 1.00	1.05 1.1 1.15		1.25 1.3 1.35	1.4 1.45	
PENTRC. MOLDE 1	0.1 (*)	1.45 1.40 1.35 1.30 20 1.25 21 1.10 1.05 1.00	1.05 1.1 1.15	Densidad seca	1.25 1.3 1.35 a (gr/cm³)		
	0.1 (*)	1.45 1.40 1.35 1.30 2	1.05 1.1 1.15	Densidad seca	1.25 1.3 1.35 a (gr/cm³)	CBR (%)	

C.B.R. Para el 95% de la M.D.S. =

1.38

						SAYO DE MA ASTM				
		Proye	cto:			PROY	ECTO DE T	TULACIÓN		
		Coorden	adas:					Cota (msnm):		
GEO @ G		Fecha toma d	le muestra:		15/11/2	2024		Fecha de ensayo:	21/11	/2024
GEOLOGIA GEOFISICA GEOINGEN	NIERIA	Ubicac						Nivel Freático:		/A
		Tipo de m	aterial:	ML-	Limo baja pla	sticidad arer	1080	Calicata:	#	3
				COM	IPACTACIÓN	CBR				
MOL	.DE		1			2			3	
Altura Mol	de (mm)		120			120			120	
N° Ca	apas		5			5			5	
N°Golpe p	oor capa		10			25			56	
5			10050 55	AN	TES DE SATU				110.00	
P. Húm.+			10250.00			10500.00			0440.00	
Peso Mol	(0)		6250.00			6290.00			090.00	
Peso Húm	(0)		4000.00			4210.00			350.00	
Vol. Mold	. ,		2177.50 1.84			2206.25 1.91		2.	206.25	
Densidad I Número		108	112	31	99	32	11	20	1.97 21	26
Peso Tar		17.25	17.17	17.65	17.57	17.16	17.00	17.35	17.00	17.31
P.Húmedo +		63.52	60.10	60.66	65.81	64.95	58.14	62.11	63.27	60.16
Peso Seco +	,	58.37	55.39	55.73	60.05	59.78	53.63	57.56	58.23	55.00
Peso Agu	,	5.15	4.71	4.93	5.76	5.17	4.51	4.55	5.04	5.16
P. Muestra S	(0)	41.12	38.22	38.08	42.48	42.62	36.63	40.21	41.23	37.69
Cont. Hu	,	12.52%	12.32%	12.95%	13.56%	12.13%	12.31%	11.32%	12.22%	13.69%
Cont.Hun		12.0270	12.60%	12.0070	10.0070	12.67%	12.0170		2.41%	10.0070
Densidad se	ca (gr/cm³)		1.631			1.694			1.754	
	(5)			DESE	PUÉS DE SAT					
P. Sat.+	Molde	·	10586.87			10748.84		10	632.48	
Peso Mol			6250.00			6290.00			090.00	
Peso Sa	,		4336.87			4458.84			542.48	
Vol. Mold			2177.50			2206.25			206.25	
Densidad S			1.99			2.02			2.06	
Número o	de tara	108	112	31	99	32	11	20	21	26
Peso Tar	ra (gr)	17.25	17.17	17.65	17.57	17.16	17.00	17.35	17.00	17.31
P.Húmedo +	Tara (gr)	65.31	80.20	89.26	67.32	93.33	98.12	70.11	82.33	85.11
Peso Seco +	· Tara (gr)	56.28	69.23	76.33	59.13	80.88	85.32	62.33	72.68	75.00
Peso Agu	ua (gr)	9.03	10.97	12.93	8.19	12.45	12.80	7.78	9.65	10.11
P. Muestra S	Seca (gr)	39.03	52.06	58.68	41.56	63.72	68.32	44.98	55.68	57.69
Cont. Hu	medad	23.14%	21.07%	22.03%	19.71%	19.54%	18.74%	17.30%	17.33%	17.52%
Cont.Hun	n.Prom.		22.08%			19.33%		1	7.38%	
Densidad se	ca (gr/cm³)		1.631			1.694			1.754	
				ENSAY	O DE HINCHA					
	MPO		OLDE N° 01	AMIENTO		OLDE N° 02			DE N° 03	AMIENTO
(Hs)	(Días)	LECTURA DEFORM.	(mm)	AMIENTO (%)	LECTURA DEFORM.	(mm)	AMIENTO (%)	LECTURA DEFORM.	(mm)	AMIENTO (%)
0	(Dias) 0	0.000	0.000	0.00	0.000	0.000	0.00	0.000	0.000	0.00
24	1	0.540	0.540	0.00	0.340	0.340	0.00	0.310	0.310	0.00
48	2	0.540	0.540	0.45	0.380	0.380	0.32	0.330	0.330	0.28
72	3	0.550	0.550	0.46	0.450	0.450	0.38	0.340	0.340	0.28
96	4	0.560	0.560	0.47	0.470	0.470	0.39	0.350	0.350	0.29



		Resumen del Conteo Vehicular Cochapata-Morasloma										ma TPDA						
			Miercile	s 30 oct					Jueves	31 oct					Viernes	s 1 Nov		
	CAR	CARROS Buses PESADOS(2ejes						CARROS B			PESADOS(2ejes)		CAR	ROS	Bu	ses	PESADO	OS(2ejes)
	SUBIDA	BAJADA	SUBIDA	BAJADA	SUBIDA	BAJADA	SUBIDA	SUBIDA BAJADA SUBIDA BAJADA SUBIDA BAJADA				SUBIDA	BAJADA	SUBIDA	BAJADA	SUBIDA	BAJADA	
DIARIO POR CARRIL Y TIPO DE VE	68	66	3	2	20	21	60	60 59 2 3 7 5				5	67	67	2	3	6	5
TAL DIARIO POR TIPO DE VEHICU	10	34	Ę	5	4	41 119 5 12						2	13	34	Į	5	1	1
DIARIO ABSOLUTO (CARROS/PES			18	30			136								15	50		

	Sabado 2 Nov							Doming	o 3 Nov					Lunes	4 Nov		
CA	RROS	Buses PE		PESADOS(2ejes)		CARROS		ARROS Bus		Buses PESADOS(2ejes)		CAR	ROS	Bu	ses	PESADO	S(2ejes)
SUBIDA	BAJADA	SUBIDA	BAJADA	SUBIDA	BAJADA	SUBIDA	BAJADA	SUBIDA	BAJADA	SUBIDA	BAJADA	SUBIDA	BAJADA	SUBIDA	BAJADA	SUBIDA	BAJADA
83	101	2	2	11	13	121	86	4	3	9	8	69	77	3	4	11	10
	184	4		24		2	207		7	1	7	1	46		7	2	:1
	212						2	31					1	74			

Martes 5 Nov					
CARROS Buses			PESADO	S(2ejes)	
SUBIDA	BAJADA	SUBIDA	BAJADA	SUBIDA	BAJADA
65	58	4	5	12	10
1:	23	2	.2		
154					

FACTOR H	IORARIO	1	FACTOR	R DIARIO	1
24	horas		7	dias	
24	horas		7	dias	
Fh	1		Fd	1	

FACTOR SEMANAL	1.10714286

Mes	# De Dias	# De Semanas	Fs
Enero	31	4.428571429	1.107142857
Febrero	28	4	1
Marzo	31	4.428571429	1.107142857
Abril	30	4.285714286	1.071428571
Mayo	31	4.428571429	1.107142857
Junio	30	4.285714286	1.071428571
Julio	31	4.428571429	1.107142857
Agosto	31	4.428571429	1.107142857
Septiembre	30	4.285714286	1.071428571
Octubre	31	4.428571429	1.107142857
Noviembre	30	4.285714286	1.071428571
Diciembre	31	4.428571429	1.107142857
TOTAL	365		

FACTOR MENSUAL 0.9612045

Mes	Extra	Super	Diesel	Suma	Factor mensual
Enero	5,041,034.00 \$	426,907.00 \$	3,821,603.00 \$	9,289,544.00 \$	1.059591614
Febrero	4,880,836.00 \$	433,298.00 \$	3,541,383.00 \$	8,855,517.00 \$	1.111524366
Marzo	5,355,979.00\$	453,869.00 \$	3,841,103.00 \$	9,650,951.00 \$	1.019912226
Abril	5,032,952.00 \$	413,959.00 \$	3,736,007.00 \$	9,182,918.00 \$	1.071894894
Mayo	5,078,272.00 \$	399,376.00 \$	4,163,812.00 \$	9,641,460.00 \$	1.020916222
Junio	5,196,709.00 \$	387,913.00 \$	4,223,877.00 \$	9,808,499.00 \$	1.003529991
Julio	5,547,513.00 \$	419,991.00 \$	4,503,173.00 \$	10,470,677.00 \$	0.940065568
Agosto	5,452,805.00\$	428,022.00 \$	4,448,420.00 \$	10,329,247.00 \$	0.952937123
Septiembre	5,349,559.00 \$	389,638.00 \$	4,417,146.00 \$	10,156,343.00 \$	0.969160151
Octubre	5,258,978.00 \$	392,703.00 \$	4,126,129.00\$	9,777,810.00 \$	0.9612045
Noviembre	5,417,543.00 \$	396,626.00 \$	4,330,418.00 \$	10,144,587.00 \$	0.98288749
Diciembre	5,907,968.00\$	444,561.00 \$	4,457,393.00 \$	10,809,922.00 \$	0.910563732
TOTAL ANUAL	63,520,148.00 \$	4,986,863.00 \$	49,610,464.00 \$		
PROMEDIO DE LA SI	UMA MENSUAL DE	LOS 3 TIPOS DE C	OMBUSTIBLES	9,843,122.92 \$	

DDOMEDIO	LUNES	MARTES	MIÉRCOLES	JUEVES	VIERNES	SÁBADO	DOMINGO
PROMEDIO SEMANAL	174	154	180	136	150	212	231
OLIVIANAL				177			

			PARA ES	ALS			
BUSES	7	9	5	5	5	4	7
LIVIANOS	146	123	134	119	134	184	207
PESADOS	21	22	41	12	11	24	17
PROMEDIO LIVIA	NOS	207	TPDA LIVIAN	NOS	220		353
PROMEDIO PESA	ADOS	17	TPDA PESAI	DOS	18		
PROMEDIO BUSI	ES 2DA	7	TPDA Buses		7		

Número de carriles	% de vehículos pesados en el	carriles en cada dirección	carril de diseño
en ambas	carril de diseño	1	100
direcciones		2	80 - 100
2	50	3	60 - 80
4	45	4	50 - 75
6 a máa			
6 o más	40		

TRAFICO PROYECTADO		Livianos	Pesados	Buses	* Fm años a proy TPDA Proyectado
A 20 AN	OS (2043)	353	24	9	386
Tas	a de crecimien	to de los vehic	culos	1	
Periodo	Livianos	Buses	Camiones		
2023-2028	0.03038183	0.01642704	0.01642704		
2028-2033	0.02535244	0.01520149	0.01520149	1	
2033-2038	0.02140392	0.01413511	0.01413511	1	
2038-2043	0.01834713	0.01320126	0.01320126		
Promedio	0.02387133	0.01474122	0.01474122	1	
Suma		0.05335378			

			Cuadro 89. D	esviación normal estándar, Z,
			Confiabilidad, %	Desviación normal estándar,
Tabla 7 Con	fiabilidad R		50	0.000
			60	-0.253
	Confiabilidad	racamandada	70	-0.524
Tipo de Camino	Conflabilidad	recomendada	75	-0.674
Tipo de Camino	Zona Urbana	Zona RURAL	80	-0.841
			85	-1.037
Rutas interestatales y autopistas	85 - 99.9	80 - 99.9	90	-1.282 -1.340
	90 00	75 05	92	-1.340
Arterias principales	80 - 99	75 - 95	93	-1.476
Colectoras	80 - 95	75 - 95	94	-1.555
			95	-1.645
Locales	50 - 80	50 - 80	96	-1.751
			97	-1.881
			98	-2.054
			99	-2.327
			99.9	-3.090 -3.750

AÑO	POBLACION CENSAL	TASA % GEOMETRICO
2001	2662	
2010	2961	0.0118979
2020	2981	0.0006734
PROMEDIO	2868	0.00628567

Tasa de crecimiento en redes locales					
TPDS	Tasa de crecimiento %				
	Total Vehículos	Veh. Comerciales			
< 500	6.0 - 6.5	5.5- 6.0			
500 - 1000	5.7 - 6.3	5.5- 6.0			
1000 - 2500	4.5 – 5.5	4.0 - 5.0			
2500 - 5000	4.5 - 5.5	4.0 - 5.0			
5000 - 10000	4.5 – 5.5	4.0 - 5.0			
> 10000	4.0 - 6.0	3.0 - 5.0			

PROYECCIONES DEL TPDA

2019

625775

Modelo logístico LOGIT Proyección para vehículos livianos en función de la tasa de motorización Tm

Año	Población	Veh matriculad	Tm	In(ts/tm-1)	Tm ₋ ajustado	Veh ajustados	
1969	181573	1935	10.6568708	3.12414978	16.7211389	3036	
1970	188132	2554	13.5755746	2.86996562	17.928485	3373	
1971	194928	3173	16.2778051	2.67708475	19.2159174	3746	
1972	201970	3661	18.1281048	2.56157675	20.5877026	4158	
1973	209266	4150	19.8296267	2.46459228	22.0481812	4614	
1974	216825	4638	21.3905223	2.38210473	23.6017439	5117	
1975	224659	5710	25.4162976	2.19212749	25.2528046	5673	
1976	233221	6588	28.2478851	2.07397949	27.0057681	6298	
1977	242110	8106	33.4806493	1.88047275	28.8649939	6989	
1978	251337	8877	35.3191134	1.81860589	30.8347547	7750	
1979	260916	11193	42.898864	1.58874367	32.9191908	8589	
1980	270860	11632	42.9428487	1.58750951	35.1222589	9513	
1981	281183	12070	42.9257814	1.58798828	37.447677	10530	
1982	291899	17169	58.8182899	1.19434151	39.8988646	11646	
1983	303024	16311	53.8274196	1.30838869	42.4788789	12872	
1984	306391	15453	50.4355546	1.39036171	45.1903481	13846	
1985	309795	17170	55.423748	1.27111643	48.0354016	14881	
1986	313237	18887	60.2961974	1.16188527	51.0155999	15980	
1987	316717	20267	63.9919339	1.08303265	54.131863	17144	
1988	320236	21648	67.599104	1.00892576	57.3844009	18377	
1989	323793	23028	71.1195115	0.93898809	60.7726469	19678	
1990	327391	20648	63.0683189	1.10244587	64.2951957	21050	
1991	331028	19768	59.7170028	1.17453864	67.9497474	22493	
1992	338490	18888	55.8007622	1.26242705	71.7330611	24281	
1993	346119	22504	65.0181007	1.06167997	75.6409185	26181	
1994	353921	21940	61.9912353	1.12532631	79.6680999	28196	
1995	361899	25658	70.898234	0.94332016	83.8083753	30330	
1996	370056	27067	73.1429838	0.89974597	88.0545101	32585	
1997	378397	30957	81.8109023	0.73835827	92.3982887	34963	
1998	386926	31006	80.1341859	0.7688131	96.8305555	37466	
1999	395648	35703	90.2393036	0.58981593	101.341274	40095	
2000	404566	42924	106.098881	0.3253882	105.919604	42851	
2001	413685	44844	108.40132	0.28812192	110.553993	45735	
2002	423010	45513	107.593201	0.30117786	115.23229	48744	
2003	432545	49245	113.849426	0.20067986	119.941863	51880	
2004	442294	58775	132.886722	-0.1010618	124.669736	55141	
2005	452264	66601	147.261334	-0.3312382	129.402729	58524	
2006	462458	74657	161.435201	-0.5670569	134.127604	62028	
2007	472882	67353	142.430881	-0.253216	138.831216	65651	
2008	483541	74846	154.787288	-0.4549162	143.500653	69388	
2009	494441	68302	138.139839	-0.1845511	148.123382	73238	
2010	524563	73703	140.503619	-0.2223122	152.687377	80094	
2011	535624	79424	148.283124	-0.3478632	157.181237	84190	
2012	546864	83675	153.008792	-0.4254131	161.594298	88370	
2013	558127	84929	152.167876	-0.4115274	165.916716	92603	
2014	569416	90133	158.290248	-0.5136134	170.139544	96880	
2015	580706	95486	164.430882	-0.6187071	174.254785	101191	
2016	591996	99754	168.504517	-0.6902645	178.255432	105527	
2017	603269	104120	172.592989	-0.7638348	182.135484	109877	
2018	614539	108585	176.693424	-0.839657	185.889949	114237	
2010	625775	112110	100 012502	0.0101055	100 511022	110501	

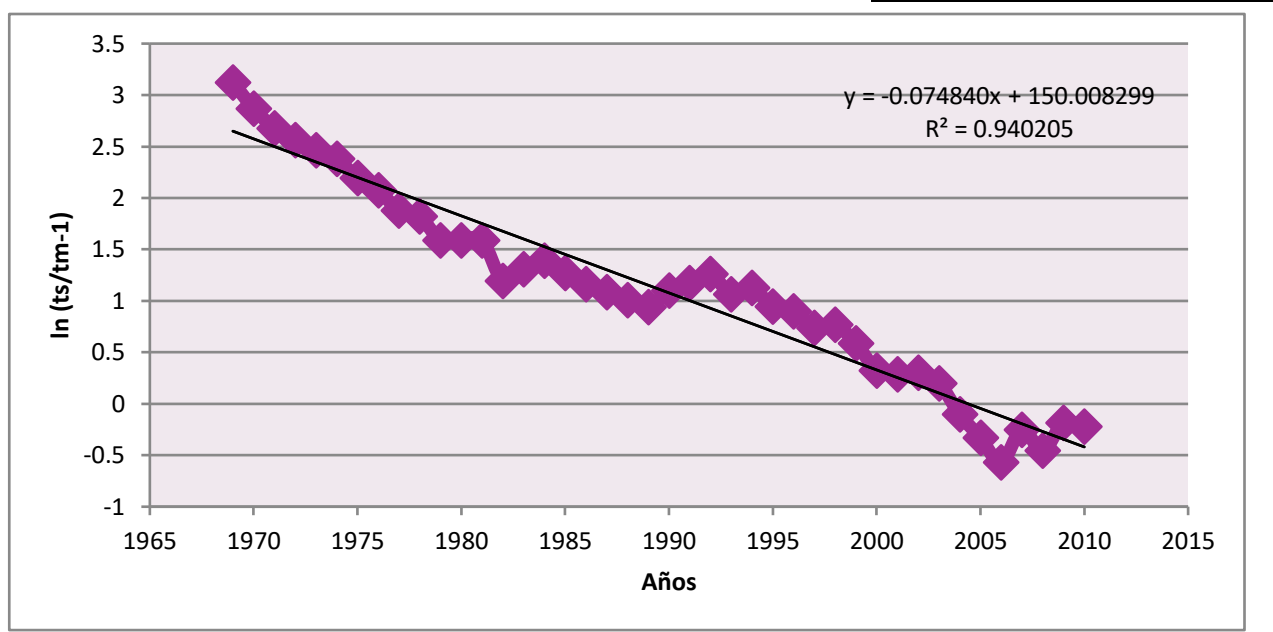
113148 180.812592 -0.9181955 189.514833 118594

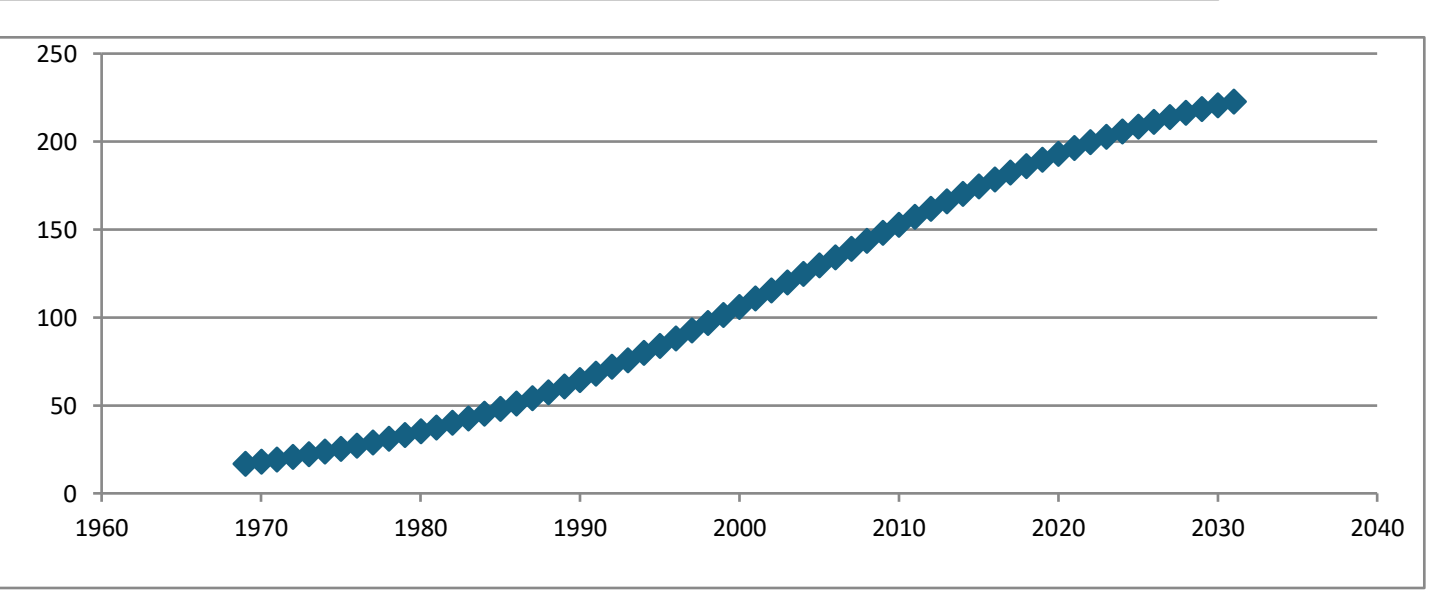
ts=	253
	a= 150.008299

-0.07484

Ts	r²	r	
210	0.9367	0.96783263	0.5365
225	0.939	0.96902012	0.567985
253	0.9402	0.96963911	0.1324565
275	0.9399	0.9694844	
290	0.9394	0.9692265	
	•		

aritmetica





Valores de i

Periodo	Livianos	Buses	Camiones
2023-2028	3.04%	1.64%	1.64%
2028-2033	2.54%	1.52%	1.52%
2033-2038	2.14%	1.41%	1.41%
2038-2043	1.83%	1.32%	1.32%

Periodo	Livianos	Buses	Camiones
2023-2028	3.04	1.64	1.64
2028-2033	2.54	1.52	1.52
2033-2038	2.14	1.41	1.41
2038-2043	1.83	1.32	1.32

PARAMETROS ENTRADA

PT SN

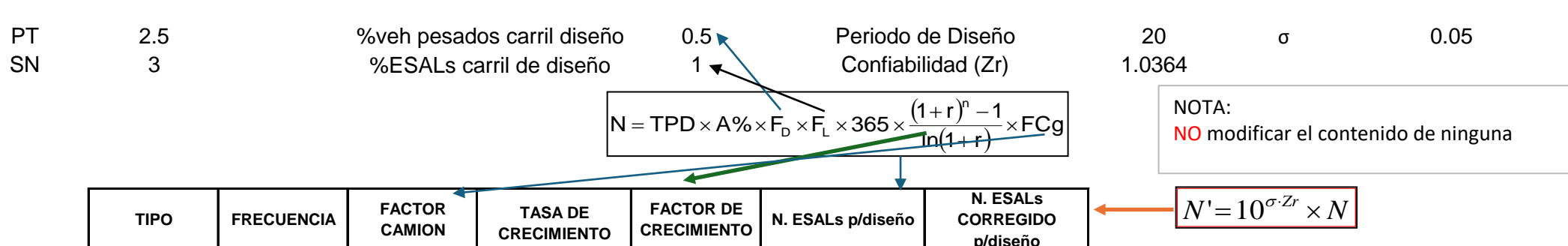
SIMPLES	1
TANDEM	2
TRIDEM	3

$$\frac{1}{2} \frac{W_x}{W_{18}} = \left[\frac{L_{18} + L_{2s}}{L_x + L_{2x}}\right]^{4.79} \left[\frac{10^{\frac{G}{\beta_x}}}{10^{\frac{G}{\beta_{18}}}}\right] \left[L_{2x}\right]^{4.33} \qquad \beta_x = 0.4 + \left(\frac{0.081(L_x + L_{2x})^{3.23}}{(SN+1)^{5.19}L_{2x}^{3.23}}\right) \qquad G = \log\left(\frac{4.2 - p_t}{4.2 - 1.5}\right)$$

$$\beta_{x} = 0.4 + \left(\frac{0.081(L_{x} + L_{2x})^{3.23}}{(SN+1)^{5.19}L_{2x}^{3.23}}\right)$$

DATOS DE CONTEO DE TRÁFICO

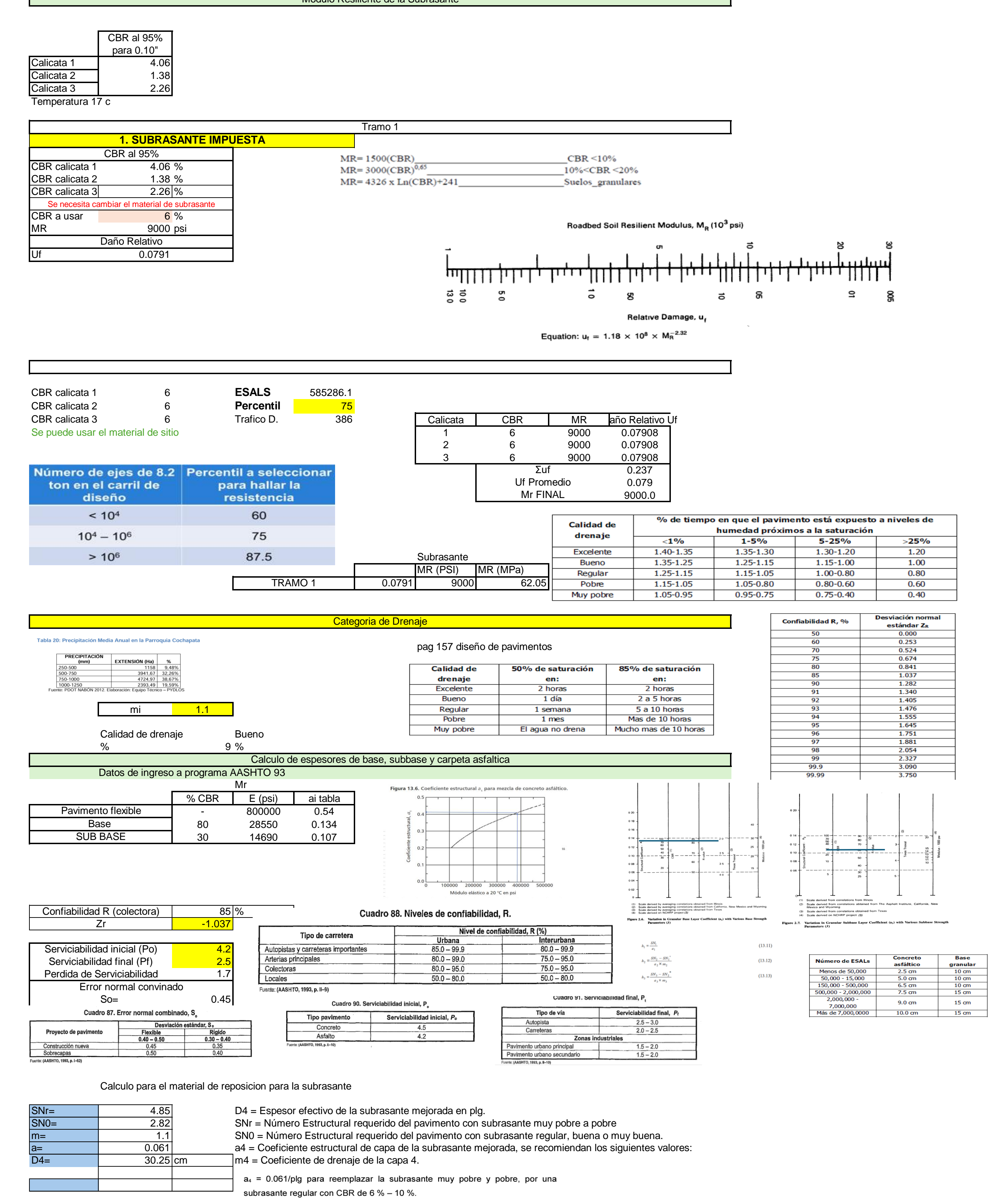
Nº	TIPO DE VEHÍCULO	DIST	TRIBUCION MAXIMA DE CARGA POR EJE		DESCRIPCION		PESO MAX PERM	LONG	i. MAX (m)	PERM	Frecuencia				1 SIMPLE						2 TAN	IDEM		3 TRIDEM	FACTOR CAMION
			CARGA POR EJE				(TON)	LARGO	ANCHO	ALTO		Carga	LEF	Carga	LEF	carga	LEF	carga	LEF	carga	LEF	carga	LEF	carga LEF	
1	AUTOS										352	1	0.00043	1	0.0004255										0.001
2	2D	2 D	3 4		ΙΙ	CAMIÓN DE 2 EJES PEQUEÑO	7	5,00	2,60	3,00		3	0.02417	4	0.0728859										0.097
3	2DA	2DA	2 DA 3 7		I	CAMIÓN DE 2 EJES MEDIANOS	10	7,50	2,60	3,50		3	0.02417	7	0.5623615										0.587
4	2DB	2DB	2 D8 7 11		I	CAMIÓN DE 2 EJES GRANDES	18	12,20	2,60	4,10	24	7	0.56236	11	3.1997644										3.762
5	3-A	3-A	3A 7 20	0	I II	CAMIÓN DE 3 EJES	27	12,20	2,60	4,10	9	7	0.56236							20	2.9916				3.554
6	4-C	4-C	4C		I III	CAMIÓN DE 4 EJES	31	12,20	2,60	4,10	0	7	0.56236											24 1.5237	2.086
7	4-0	4-0	4-0 12 20	0 0-00-	II II	CAMIÓN CON TAMDEM DI RECCIONAL Y TAMDEM POSTERIOR	32	12,20	2,60	4,10	0									12	0.4436	20	2.992		3.435
8	V2DB	V2DB	11		ΙΙ	VOLQUETA DE DOS E.ES 8 m ⁵	18	12,20	2,60	4,10		7	0.56236	11	3.1997644										3.762
9	V3A	V3A			I II	VOLQUET A DE TRES EJES 10-14 m³	27	12,20	2,60	4,10	0	7	0.56236							20	2.9916				3.554



TIPO	FRECUENCIA	FACTOR CAMION	TASA DE CRECIMIENTO	FACTOR DE CRECIMIENTO	N. ESALs p/diseño	N. ESALs CORREGIDO p/diseño
AUTOS	352	0.001	0.0239	25.564	1,398	1,575
2DB	24	3.762	0.0147	23.225	378,869	426,885
3-A	9	3.554	0.0147	23.225	139,186	156,826
4-C	0	2.086	0.0147	23.225	0	0
4-0	0	3.435	0.0147	23.225	0	0
V3A	0	3.554	0.0147	23.225	0	0
V2S	0	3.554	0.0147	23.225	0	0
T3	0	3.554	0.0147	23.225	0	0
2S1	0	6.962	0.0147	23.225	0	0
2S2	0	6.754	0.0147	23.225	0	0
2S3	0	5.286	0.0147	23.225	0	0
3S1	0	6.754	0.0147	23.225	0	0
3S2	0	6.546	0.0147	23.225	0	0
3S3	0	5.078	0.0147	23.225	0	0
	-	-		TOTAL	519,453	585,286

DISEÑO DE PAVIMENTO FLEXIBLE

Modulo Resiliente de la Subrasante



EVALUACION DEL PAVIMENTO FLEXIBLE METODO ASSHTO

QUE TIPO DE TRAFICO VA A UTILIZAR?

INDICE DE SERVICIABILIDAD (PSI)

• CALCULADO ARBITRARIO

GENERAR TRAFICO

585,286

NOTA: Cambiar UNICAMENTE celdas marcadas con:

TRAFICO ARBITRARIO

417242

TRAFICO UTLIZADO PARA EL DISEÑO

RAFICO UTLIZADO PARA EL DISEÑO	5.85E+05

	1. SUBRASA	PUESTA		CALCULADA	
CBR DE SU	BRASANTE	1.38	%		
	S				
Mr (psi)	2070.0	Corr	elaciones	de	10843.72
$\operatorname{Mr}\left(\frac{kg}{cm^2}\right)$	138		kelon y Kl		
Mr (MPa)	13.8		,	Jp	
VALOR SUBRA	SANTE IMPUESTA		2070	PSI	

CBR <10% MR= 1500(CBR)_ $MR = 3000(CBR)^{0.65}$ _10%<CBR <20% MR= 4326 x Ln(CBR)+241_ _Suelos_granulares

2. CATEGORIA DE DRENAJE

BUENO CON TIEMPO DE EXPOSICION ENTRE 5 Y 25% 1.075

3. DATOS DE INGRESO A PROGRAMA AASHTO 93 E (psi) ai 800000 0.54 CBR BASE (%) 80 28550 0.134 CBR SUB-BASE (% 30 14690 0.107 CONFIABILIDAD 90 % → ZR:-1.282 DESV. ESTANDAR 0.35 PERDIDA DE SERVICIABILIDAD SERVICIABILIDAD INICIAL 4.2 SERVICIABILIDAD FINAL 2.5 Mr Subrasante Impuesto? SI VERDADERO MODULO DE SUBRASANTE 2070.00 TRAFICO 595396 1.56	3 DATOS	S DE INICRES	SO A PROGR	VWV VVSHTO 03	
PAVIMENTO FLEXIBLE 800000 0.54 CBR BASE (%) 80 28550 0.134 CBR SUB-BASE (%) 30 14690 0.107 CONFIABILIDAD 90 % → ZR:-1.282 DESV. ESTANDAR 0.35 → ZR:-1.282 PERDIDA DE SERVICIABILIDAD SERVICIABILIDAD INICIAL 4.2 SERVICIABILIDAD FINAL 2.5 Mr Subrasante Impuesto? MODULO DE SUBRASANTE 2070.00	3. DATO	DE INGRE	O A FROOR	AMA AASITI O 33	
CBR BASE (%) 80 28550 0.134 CBR SUB-BASE (%) 30 14690 0.107 CONFIABILIDAD 90 % → ZR:-1.282 DESV. ESTANDAR 0.35 PERDIDA DE SERVICIABILIDAD SERVICIABILIDAD INICIAL 4.2 SERVICIABILIDAD FINAL 2.5 Mr Subrasante Impuesto? MODULO DE SUBRASANTE 2070.00			E (psi)	ai	
CBR SUB-BASE (% 30 14690 0.107 CONFIABILIDAD 90 % → ZR:-1.282 DESV. ESTANDAR 0.35 PERDIDA DE SERVICIABILIDAD SERVICIABILIDAD INICIAL 4.2 SERVICIABILIDAD FINAL 2.5 Mr Subrasante Impuesto? ■ SI VERDADERO MODULO DE SUBRASANTE 2070.00	PAVIMENTO FLEXIE	BLE	800000	0.54	
CBR SUB-BASE (% 30 14690 0.107 CONFIABILIDAD 90 % → ZR:-1.282 DESV. ESTANDAR 0.35 PERDIDA DE SERVICIABILIDAD SERVICIABILIDAD INICIAL 4.2 SERVICIABILIDAD FINAL 2.5 Mr Subrasante Impuesto? ■ SI VERDADERO MODULO DE SUBRASANTE 2070.00	_				
CONFIABILIDAD 90% → ZR:-1.282 DESV. ESTANDAR 0.35 PERDIDA DE SERVICIABILIDAD SERVICIABILIDAD INICIAL 4.2 SERVICIABILIDAD FINAL 2.5 Mr Subrasante Impuesto? ■ SI VERDADERO MODULO DE SUBRASANTE 2070.00	CBR BASE (%)	80	28550	0.134	
CONFIABILIDAD 90% → ZR:-1.282 DESV. ESTANDAR 0.35 PERDIDA DE SERVICIABILIDAD SERVICIABILIDAD INICIAL 4.2 SERVICIABILIDAD FINAL 2.5 Mr Subrasante Impuesto? ■ SI VERDADERO MODULO DE SUBRASANTE 2070.00	000 040 DA05 (%)	00	4.4000	0.407	
PERDIDA DE SERVICIABILIDAD SERVICIABILIDAD INICIAL SERVICIABILIDAD FINAL Mr Subrasante Impuesto? MODULO DE SUBRASANTE 0.35 PERDIDA DE SERVICIABILIDAD 4.2 2.5	CBR SUB-BASE (%	30	14690	0.107	
PERDIDA DE SERVICIABILIDAD SERVICIABILIDAD INICIAL SERVICIABILIDAD FINAL Mr Subrasante Impuesto? MODULO DE SUBRASANTE 0.35 PERDIDA DE SERVICIABILIDAD 4.2 2.5	CONFIARII IDAD	90	% <u>→ 7</u> R	-1 282	
PERDIDA DE SERVICIABILIDAD SERVICIABILIDAD INICIAL 4.2 SERVICIABILIDAD FINAL 2.5 Mr Subrasante Impuesto? • SI VERDADERO MODULO DE SUBRASANTE 2070.00	_		/0 — ~	-1.202	
SERVICIABILIDAD INICIAL SERVICIABILIDAD FINAL 2.5 Mr Subrasante Impuesto? MODULO DE SUBRASANTE 2070.00		-0.00			
SERVICIABILIDAD FINAL 2.5 Mr Subrasante Impuesto? • SI VERDADERO MODULO DE SUBRASANTE 2070.00	PERDIDA DE	SERVICIABIL	LIDAD		
Mr Subrasante Impuesto? • SI VERDADERO MODULO DE SUBRASANTE 2070.00	SERVICIABILIDAL) INICIAL	4.2		
MODULO DE SUBRASANTE 2070.00	SERVICIABILIDA	D FINAL	2.5		
MODULO DE SUBRASANTE 2070.00		. 0			
		•			
	MODULO DE SUBI				
TRAFICO 303200		TRAFICO	585286		
Para comprobación: LANZAR AASHTO 93	Para comprehación:	Ι ΔΝΙΖΔΡ Λ	ASHTO 03		

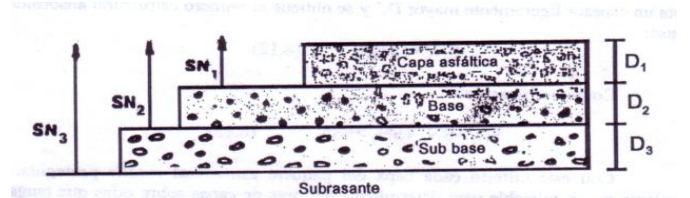
$$\log_{10}(W_{18}) = Z_R \times S_o + 9.36 \times \log_{10}(SN + 1) - 0.20 + \frac{\log_{10}\left[\frac{\Delta PSI}{4.2 - 1.5}\right]}{0.40 + \frac{1094}{\left(SN + 1\right)^{5.19}}} + 2.32 \times \log_{10}(M_R) - 8.07$$

2. SELECCIONAR CRITERIOS DE DRENAJE

	Calidad del drenaje	Término para remoción del agua				
۰	Excelente	2 horas				
•	Buena	1 día				
0	Aceptable	1 semana				
٥	Pobre	1 mes				
۰	Muy Pobre	Agua no drena				

	۰	٥	•	o
Calidad del		de exposición de de humedad pró		
drenaje	< 1%	1 – 5%	5 – 25%	> 25%
Excelente	1,40 – 1,35	1,35 – 1,30	1,30 – 1,20	1,20
Bueno	1,35 – 1,25	1,30 – 1,15	1,15 – 1,00	1,00
Aceptable	1,25 – 1,15	1,15 – 1,05	1,00 - 0,80	0,80
Pobre	1,15- 1,05	1,05 – 0,95	0,80 - 0,60	0,60
Muy pobre	1,05 - 0,95	0,95 - 0,75	0,75 - 0,40	0,40

4. CALCULO DE NUMERO ESTRUCTURAL Y ESPESORES



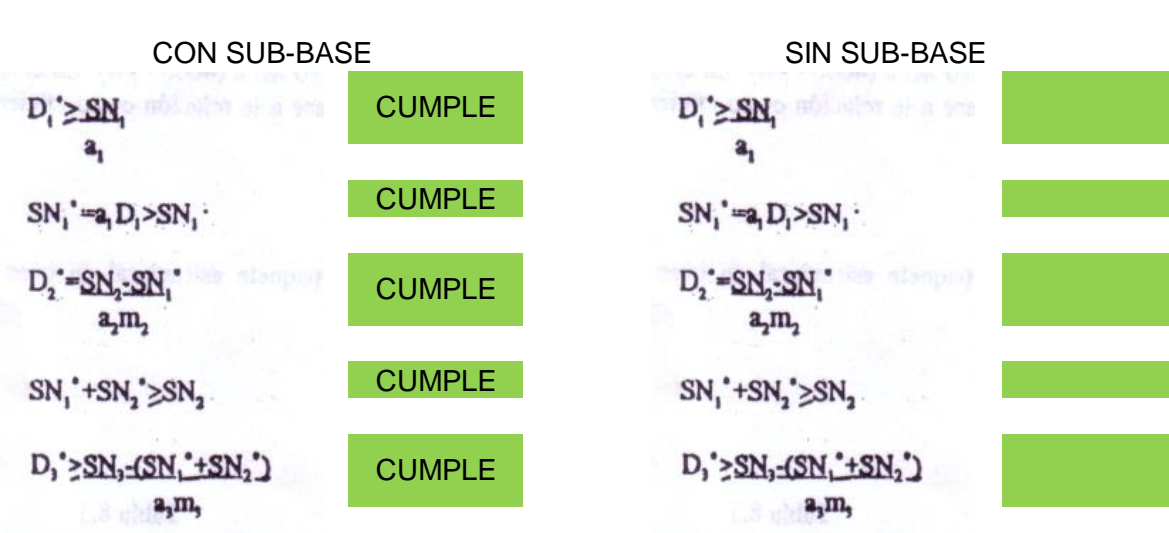
N = a1D1 + a2m2D2 + a3m3D3

15 15

CAPAS	mi		ai	MODULOS		SN	SN	POR CAPA	ESPE	SOR (PULG)	ESPE	SOR * (PULG		SN*	ESPE	SOR FINAL (PULG	CM
SUPERFICIE	0.00	1	0.54	800000	1	1.80	1	1.799	1	3.32	1	4.00	1	2.16	1	4.000	10
BASE	1.075	2	0.134	28550	2	2.34	2	0.538	2	1.20	2	1.57	2	0.23	2	5.906	15
SUB-BASE	1.075	3	0.107	14690	3	4.85	3	2.518	3	21.41	3	21.65	3	2.49	3	21.654	55
SUBRASANTE				2070.00				4.85					—	4.88		31.56	80

NOTA IMPORTANTE: NO CONSIDERAR LA SIGUIENTE TABLA

CAPAS	mi		ai	MODULOS		SN	SN	POR CAPA	Е	SPESOR	E:	SPESOR *		SN*	ESPE	SOR FINAL (PULG	CM
SUPERFICIE	0.00	1	0.54	800000	1	1.80	1	1.799	1	3.32	1	4.00	1	2.16	1	4	10
BASE	1.075	2	0.134	28550	2	4.85	2	3.056	2	18.67	2	18.90	2	2.69	2	18.90	48
SUBRASANTE				2070.00				4.85					—	4.85	3	0.00	0
																22.90	58



EVALUACION DEL PAVIMENTO FLEXIBLE METODO ASSHTO

QUE TIPO DE TRAFICO VA A UTILIZAR?

INDICE DE SERVICIABILIDAD (PSI)

• CALCULADO
• ARBITRARIO

GENERAR TRAFICO

585,286

NOTA: Cambiar UNICAMENTE celdas marcadas con:

TRAFICO ARBITRARIO

417242

TRAFICO UTLIZADO PARA EL DISEÑO

5.85E+05

	1. SUBRASANTE IMPUESTA										
CBR DE SU	BRASANTE	6	%								
	S										
Mr (psi)	9000.0	Cor	relaciones	de	10843.72						
$\operatorname{Mr}\left(\frac{kg}{cm^2}\right)$	600		ıkelon y Kl								
Mr (MPa)	60	1100	incion y in	Omp							
VALOR SUBRAS	SANTE IMPUESTA	ı	9000	PSI							

MR= 1500(CBR) CBR <10%
MR= 3000(CBR)^{0,65} 10%<CBR <20%
MR= 4326 x Ln(CBR)+241 Suelos_granulares

2. CATEGORIA DE DRENAJE

BUENO CONTIEMPO DE EXPOSICION ENTRE 5 Y 25%

mi 1.075

3. DATOS DE INGRESO A PROGRAMA AASHTO 93 ai E (psi) PAVIMENTO FLEXIBLE 0.54 800000 CBR BASE (%) 28550 0.134 CBR SUB-BASE (% 30 14690 CONFIABILIDAD 90**%** → **ZR**:-1.282 DESV. ESTANDAR 0.35 PERDIDA DE SERVICIABILIDAD SERVICIABILIDAD INICIAL SERVICIABILIDAD FINAL Mr Subrasante Impuesto? ■ SI MODULO DE SUBRASANTE 9000.00 TRAFICO 585286 Para comprobación: LANZAR AASHTO 93

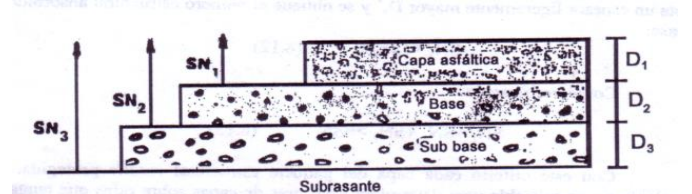
$$\log_{10}(W_{18}) = Z_R \times S_o + 9.36 \times \log_{10}(SN + 1) - 0.20 + \frac{\log_{10}\left[\frac{\Delta PSI}{4.2 - 1.5}\right]}{0.40 + \frac{1094}{\left(SN + 1\right)^{5.19}}} + 2.32 \times \log_{10}(M_R) - 8.07$$

2. SELECCIONAR CRITERIOS DE DRENAJE

	Calidad del drenaje	Término para remoción del agua
۰	Excelente	2 horas
•	Buena	1 día
0	Aceptable	1 semana
0	Pobre	1 mes
•	Muy Pobre	Agua no drena

	٥	۰	•	o
Calidad del		de exposición de de humedad pró		
drenaje	< 1%	1 – 5%	5 – 25%	> 25%
Excelente	1,40 – 1,35	1,35 – 1,30	1,30 - 1,20	1,20
Bueno	1,35 – 1,25	1,30 – 1,15	1,15 – 1,00	1,00
Aceptable	1,25 – 1,15	1,15 – 1,05	1,00 - 0,80	0,80
Pobre	1,15- 1,05	1,05 – 0,95	0,80 - 0,60	0,60
Muy pobre	1,05 - 0,95	0,95 - 0,75	0,75 - 0,40	0,40

4. CALCULO DE NUMERO ESTRUCTURAL Y ESPESORES



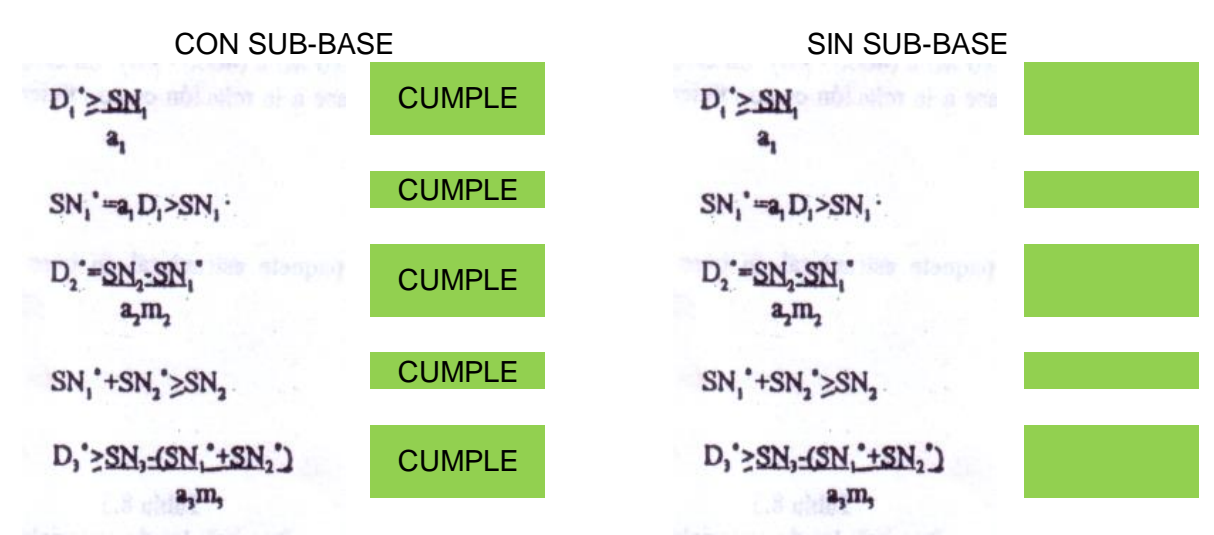
SN = a1D1 + a2m2D2 + a3m3D3

15 15

CAPAS	mi		ai	MODULOS		SN	SN	POR CAPA	ESPE	SOR (PULG)	SPE	SOR * (PULG		SN*	ESPE	SOR FINAL (PULG	CM
SUPERFICIE	0.00	1	0.54	800000	1	1.80	1	1.799	1	3.32	1	4.00	1	2.16	1	4.000	10
BASE	1.075	2	0.134	28550	2	2.34	2	0.538	2	1.20	2	1.57	2	0.23	2	5.906	15
SUB-BASE	1.075	3	0.107	14690	3	2.82	3	0.486	3	3.75	3	3.94	3	0.45	3	3.937	10
SUBRASANTE				9000.00				2.82					\rightarrow	2.84		13.84	35

NOTA IMPORTANTE: NO CONSIDERAR LA SIGUIENTE TABLA

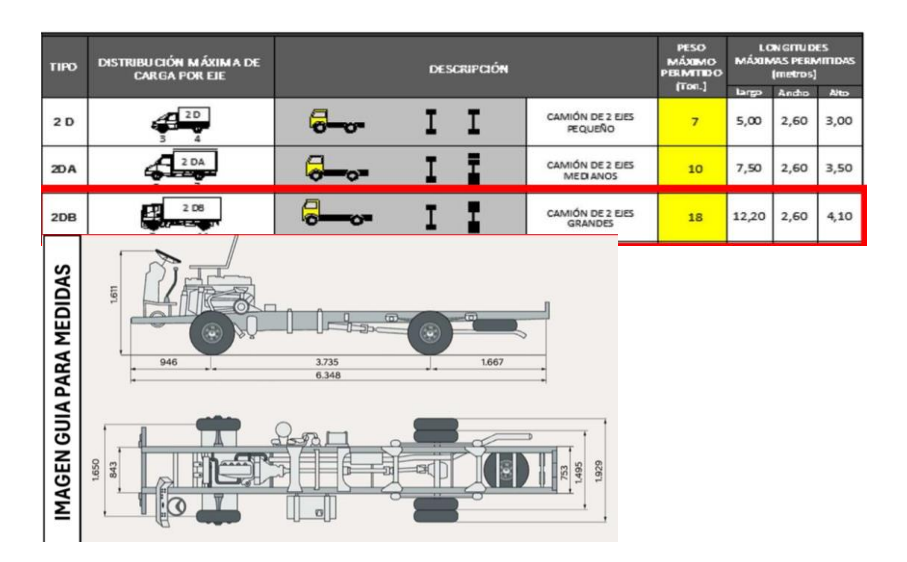
CAPAS	mi		ai	MODULOS		SN	SN	POR CAPA	Е	SPESOR	E;	SPESOR *		SN*	ESPE	SOR FINAL (PULG	СМ
SUPERFICIE	0.00	1	0.54	800000	1	1.80	1	1.799	1	3.32	1	4.00	1	2.16	1	4	10
BASE	1.075	2	0.134	28550	2	2.82	2	1.024	2	4.57	2	4.72	2	0.66	2	5.91	15
SUBRASANTE				9000.00				2.82					→	2.82	3	0.00	0
																9.91	25



Sobreancho

$$S = n \left(R - \sqrt{R^2 - L^2} \right) + \frac{V}{10 \sqrt{R}}$$

#de curva	Radio	Vel. Diseño	Dist. Entre frontal y eje	# carriles	sobrreancho
1	45	40	7	2	1.7
5	64.28	40	7	2	1.3
7	45	40	7	2	1.7
9	83.78	40	7	2	1.0
14	52.07	40	7	2	1.5
15	25.43	30	7	2	2.6
16	13.74	20	7	2	4.4
17	30.67	30	7	2	2.2
18	63.44	40	7	2	1.3
21	25.05	30	7	2	2.6
24	45	40	7	2	1.7
25	45	40	7	2	1.7
27	35.06	30	7	2	1.9
28	15.65	20	7	2	3.8
30	64.23	40	7	2	1.3
31	45	40	7	2	1.7
33	36	30	7	2	1.9
34	45	40	7	2	1.7
35	46.95	40	7	2	1.6
36	45	40	7	2	1.7
37	34.19	30	7	2	2.0
38	128.88	40	7	2	0.7
39	22.66	20	7	2	2.6
40	10.74	20	7	2	5.8
41	20.69	20	7	2	2.9
42	45	30	7	2	1.5
45	54.02	40	7	2	1.5
46	45	40	7	2	1.7
48	45	40	7	2	1.7
49	76.86	40	7	2	1.1



Distancia considerada del camion =

7 m

PERALTE

 $e = \frac{V^2}{127 * R} - f$

Coe. Friccion 0.221

				Ancho de	
#de curva	Radio	Vel. Diseño	Max Peralte	carril	sobrreancho
1	11.25	40	12%	3	0.90
5	64.28	40	12%	3	0.50
7	45	40	12%	3	0.60
9	83.78	40	12%	3	0.44
14	52.07	40	12%	3	0.55
15	25.43	30	12%	3	0.60
16	13.74	20	12%	3	0.54
17	30.67	30	12%	3	0.54
18	63.44	40	12%	3	0.50
21	25.05	30	12%	3	0.60
24	45	40	12%	3	0.60
25	45	40	12%	3	0.60
27	35.06	30	12%	3	0.51
28	15.65	20	12%	3	0.51
30	64.23	40	12%	3	0.50
31	45	40	12%	3	0.60
33	36	30	12%	3	0.50
34	45	40	12%	3	0.60
35	46.95	40	12%	3	0.58
36	45	40	12%	3	0.60
37	34.19	30	12%	3	0.51
38	128.88	40	12%	3	0.35
39	22.66	20	12%	3	0.42
40	10.74	20	12%	3	0.61
41	20.69	20	12%	3	0.44
42	45	30	12%	3	0.45
45	54.02	40	12%	3	0.54
46	45	40	12%	3	0.60
48	45	40	12%	3	0.60
49	76.86	40	12%	3	0.46

Finalmente se tiene la ecuación de intensidad válida para la cuenca:

0.203795

C= 0.63383

/ = 772.8866 * T 0.63383

Donde:

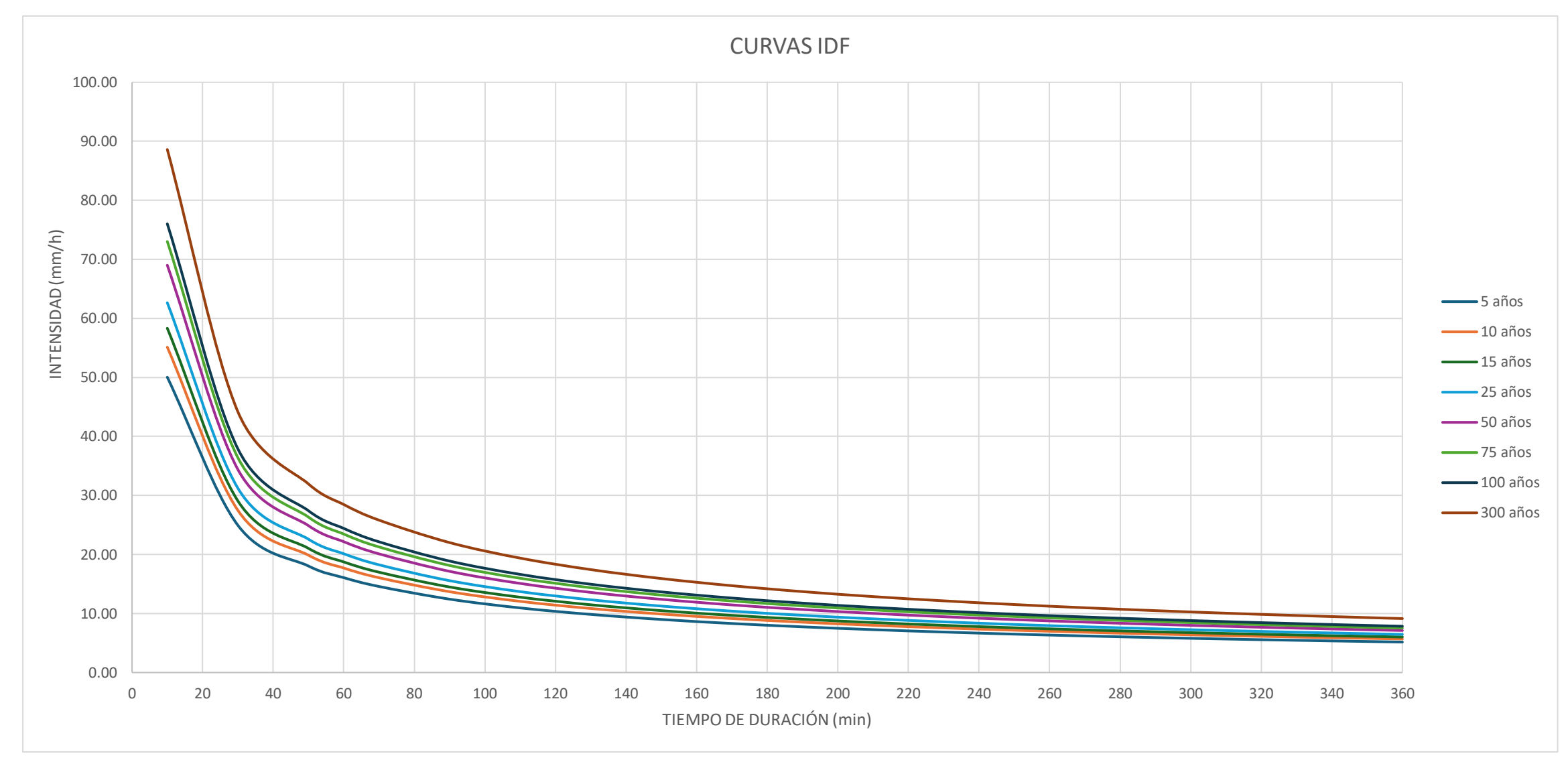
I = intensidad de precipitación (mm/hr)

T = Periodo de Retorno (años)

t = Tiempo de duración de precipitación (min)

Intensidad - Tiempo de duración - Período de retorno

	Tabla de intensidad - Tiempo de duración - Periodo de retorno																			
Frecuencia									Duración	en minutos										
años	10	30	50	60	70	90	110	130	150	170	190	210	230	250	270	290	310	330	350	360
5	249.31	124.26	89.89	80.08	72.63	61.93	54.53	49.06	44.80	41.39	38.57	36.20	34.17	32.41	30.87	29.50	28.28	27.18	26.19	25.72
10	287.13	143.11	103.53	92.23	83.64	71.33	62.81	56.50	51.60	47.66	44.42	41.69	39.35	37.33	35.55	33.98	32.57	31.30	30.16	29.62
15	311.87	155.44	112.45	100.17	90.85	77.47	68.22	61.37	56.04	51.77	48.25	45.28	42.74	40.54	38.61	36.90	35.38	34.00	32.76	32.18
25	346.08	172.49	124.78	111.17	100.82	85.97	75.70	68.10	62.19	57.45	53.54	50.25	47.43	44.99	42.85	40.95	39.26	37.73	36.35	35.71
50	398.59	198.66	143.72	128.03	116.11	99.02	87.19	78.43	71.63	66.17	61.66	57.87	54.63	51.82	49.35	47.17	45.21	43.46	41.87	41.12
75	432.93	215.78	156.10	139.06	126.12	107.55	94.70	85.19	77.80	71.87	66.97	62.86	59.34	56.28	53.60	51.23	49.11	47.20	45.47	44.67
100	459.07	228.81	165.52	147.46	133.73	114.04	100.42	90.33	82.50	76.21	71.02	66.65	62.92	59.68	56.84	54.32	52.07	50.05	48.22	47.36
300	574.27	286.22	207.06	184.46	167.29	142.66	125.62	113.00	103.20	95.33	88.84	83.38	78.71	74.66	71.10	67.95	65.14	62.61	60.32	59.25



Determinación de parámetros físicos de la seccion mas critica

Cota mas alta	2489	msnm
Cota mas baja	2479.42	msnm
Longitud del cauce		
principal	2722	m
So	0.003519471	m/m
Тс	1.26	horas

Determinación del tiempo de concentración

Kirpich

$$t_c = \frac{0.000325 \ L^{0.77}}{S^{0.385}}$$

Donde L es la longitud del canal desde aguas arriba hasta la salida, en m. S es la pendiente del cauce principal, en m/m. t_c se expresa en horas.

tc (horas) = 1.26 horas

Desarrollada siete en cuencas rurales en Tennesse con canales bien definidos y pendientes empinadas (3 a 10%).

76 min

Intensidades maximas en 24 horas para varios periodos de retorno		
Periodo de retorno=	25 años	
		_
I=	85.97 mm/h	7

Intensidad

Periodo de retorno 25 años Tiempo de concentracion 18.91 horas 1134.81 min Tiempo de concentracion

% pendiente

39.95 mm/h

Coefiicentes	de escorrentia	
Asfalto	0.7	0.95
Suelo pesado (arenoso), 2 a 7 % pendiente	0.18	0.22
Suelo pesado (arenoso), >7	0.25	0.35

0.25

TABLE 5.5: Normal Range of Runoff Coefficients*

Coefficients	
Character of Surface (1)	Runoff Coefficient (2)
Pavement	
Asphalt and Concrete	0.70 to 0.95
Brick	0.70 to 0.85
Roofs	0.75 to 0.95
Lawns, Sandy Soil	1 SOURCE CONTROL OF
Flat (2 percent)	0.05 to 0.10
Average (2 to 7 percent)	0.10 to 0.15
Steep (>7 percent)	0.15 to 0.20
Lawns, Heavy Soil	200000000000000000000000000000000000000
Flat (2 percent)	0.13 to 0.17
Average (2 to 7 percent)	0.18 to 0.22
Steep (>7 percent)	0.25 to 0.35

^{*}The range of "C" values presented are typical for return periods of 2-10 years. Higher values are appropriate for larger design storms.

Cunarfiela		Condi	ciones	
Superficie	Perfectas	Buenas	Regulares	Malas
Canales y Zanjas				
Canales revestidos con concreto	0.012	0.014*	0.016*	0.018
En tierra, alineados y uniformes	0.017	0.020	0.0225	0,025*
En roca, lisos y uniformes	0.025	0.030	0.033*	0.035
En roca, con salientes y sinuosos	0.035	0.040	0.045	
Sinuosos y de escurrimiento lento	0.0225	0.025*	0.0275	0.030
Dragados en tierra	0.025	0.0275*	0.030	0.033
Con lecho pedregoso y bordos de tierra, enhierbados	0.025	0.030	0.035*	0.040
Plantilla de tierra, taludes ásperos	0.028	0.030	0.033	0.035
Corrientes naturales				
1. Limpios, bordos rectos, llanos, sin hendiduras ni charcos profundos	0.025	0.0275	0.030	0.033
Igual a 1, pero con algo de hierbas y piedra	0.030	0.033	0.035	0.040
Sinuoso, algunos charcos y escollos limpios	0.033	0.035	0.040	0.045
4. Igual a 3, de poco tirante con pendiente y sección menos eficientes	0.040	0.045	0.050	0.055
5. Igual a 3. algo de hierba y piedras	0.035	0.040	0.045	0.050

COEFICIENTE DE MANNING (HORMIGON)

0.015

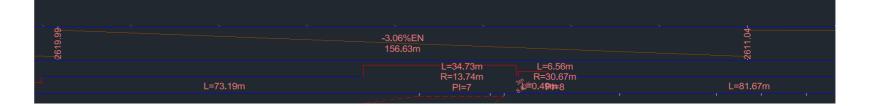
	Calculo de C	oeficientes de E	Escorrentia		
Carril Izquierdo		C	Carril Derecho)	
Tramo	Area (carril)	С	Tramo	Area (carril)	С
Tramo 1	388.458	0.70	1	388.458	0.70
Tramo 2	316.428	0.70	2	316.428	0.70
Tramo 3	757.701	0.70	3	757.701	0.70
Tramo 4	328.923	0.70	4	328.923	0.70
Tramo 5	1385.16	0.70	5	1385.16	0.70
Tramo 6	939.204	0.70	6	939.204	0.70
Tramo 7	289.002	0.70	7	289.002	0.70
Tramo 8	453.516	0.70	8	453.516	0.70
Tramo 9	903.987	0.70	9	903.987	0.70

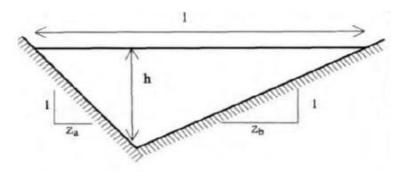
0.35

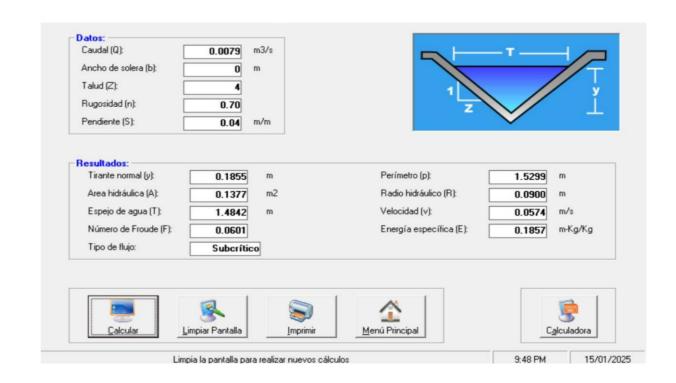
	Dimer	nsiones de cu	netas	
		Caril Izquierdo)	
Tramo	i	h	Za	Zb
1	1.05	0.25	0.2	4
2	1.05	0.25	0.2	4
3	1.05	0.25	0.2	4
4	1.05	0.25	0.2	4
5	1.05	0.25	0.2	4
6	1.05	0.25	0.2	4
7	1.05	0.25	0.2	4
8	1.05	0.25	0.2	4
9	1.05	0.25	0.2	4

	Dimer	nsiones de cu	netas	
		Caril Derecho)	
Tramo	i	h	Za	Zb
1	1.05	0.25	0.2	4
2	1.05	0.25	0.2	4
3	1.05	0.25	0.2	4
4	1.05	0.25	0.2	4
5	1.05	0.25	0.2	4
6	1.05	0.25	0.2	4
7	1.05	0.25	0.2	4
8	1.05	0.25	0.2	4
9	1.05	0.25	0.2	4

		Tran	no 4		
Cu	neta izquierda			Cuneta derecha	
Abscisa Inicial	0	703.37	Abscisa Inicial	0	703.37
Abscisa Final	0	860.00	Abscisa Final	0	860
Cota mas alta	2619.99 msnm		Cota mas alta	2619.99	
Cota mas baja	2611.04 msnm		Cota mas baja		msnm
So	0.04		So	0.06	
Ancho de carril	3.00 m		Ancho de carril	3.00	m
Longitud	156.63 m		Longitud	156.63	m
Coeficiente de			Coeficiente de		
escorrentia	0.70		escorrentia	0.70	
Area de aporte			Area de aporte		
(calzada)	469.89 m2		(calzada)	469.89 ו	m2
Area de aporte			Area de aporte		
total	0.046989 Ha		total	0.046989	На
Q por	el metodo racional		Q po	or el metodo racio	onal
($Q = \frac{C * I * A}{360}$			$Q = \frac{C * I * A}{360}$	
Q=	0.00786 m3/s		Q=	0.00786	m3/s
Dimensiones	propuestas de la cur	eta	Dimension	es propuestas de	la cuneta
Za	0.2		Za	0.2	
Zb	4		Zb	4	
h	0.25 m		h	0.25	m
$A = \frac{(Z)}{Z}$	$\frac{a+Zb)*h^2}{2}$		$A = \frac{\langle Z \rangle}{2}$	$\frac{(a+Zb)*h^2}{2}$	
Area	0.13125 m2		Area	0.13125	
	$\left(+\sqrt{1+Zb^{2}}\right) *h$		`	$\overline{a^2} + \sqrt{1 + Zb^2} \Big) *$	h
,	1.285727382		P mojado	1.285727382	
$Q = \frac{1}{n} * \left(\frac{A^5}{P^2}\right)$	$\frac{1}{3}$ $\frac{1}{S}$		$Q = \frac{1}{n} * \left(\right.$	$\left(\frac{A^5}{P^2}\right)^{\frac{1}{3}} * S^{\frac{1}{2}}$	
Q maning	0.3822 m3/s		Q maning	0.4569 ו	m3/s
Velocidad	0.0502 m/s		Velocidad	0.0600	m/s
Verificacion	Cumple		Verificacion	Cumple	
Utilizacion de la cuneta	2.05 %		Utilizacion de la	a 1.72 °	0/4
	2.05 % siones de la cuneta			ensiones de la cui	
$I = (z_a)$	$(z_b + z_b) * h$			$I = (z_a + z_b) * h$	l.
Ancho			.		
superficial (I)	1.05 m		Ancho superfici		
h 	0.25 m		h 	0.25	
У	0.17 m		У	0.17	m







VELOCIDAD DE DISENO

						VE		O IV-1 S DE DISER	o						
CATE		TPDA						VELOCIDAD	D DE DISERO	KHM					
				6AS	SICA				PER	MISIBLE EN	TRAMOS DI	FIGILES			
		[(RELIEV	E LLANO)			RELIEVE	ONDULADO				ONTAROSO		
			elementos del perfil k	culo de los del trazado	de los elem sección in otros depen	nentos de la ansversal y idientes de la cidad.	elementos	elementos del trazado del pertil longitudinal.		entos de la ansversal y idientes de la adad.	elementos	cuio de los del trazado ongriudinal.	Utilizada para el calcul de los elementos de la sección transversal y otros dependientes de velocidad.		
			Rocom	Absoluta	Recom	Absoluta	Recom	Absoluta	Recom	. Absoluta	Recom	Absoluta	Recom	Absoluta	
R-LoR-	II (Tipo)	× 8000	120	110	100	96	110	90	96	86	90	80	90	90	
1	Todos	3000-8000	110	100	100	90	100	80	90	80	80_	60	80	60	
11	Todos	1000-8000	100	90	90	86	90	80	86	80	70	50	70		
111	Todos	300-1000	90	80	85	80	80	50	80	00	60	40	60	40	
IV	TIPO 6.6E.0 y 7	100-300	80	60	80	60	60	36	60	36	50	25	60	25	
v	4 7 46	< 100	00	50	80	60	50	36	50	36_	40_	25	40	25	

Velocidad de diseño

TPDA =

560

Tipo de carretera Colectora IV

Relieve velocidad de diseño

Monta;oso 40 km/h

RADIO MINIMO DE CURVATURA

NORMAS clocidad de diseño (K.P.H.) dio minimo de curvas horizontales (m) stancia de visibilidad para parada (m) stancia de visibilidad para rebasamiento (ratte	110 430					_	_								0 8	v	WILL	NOS	VI		T.	165					_	
dio minimo de curvas horizontales (m) stancia de visibilidad para parada (m) stancia de visibilidad para rebasamiento (430				SOLU		RECO		-3 0	O TP			RECO	300 -	CLAS 1 000	TPE		TA.	RECO	C 100 – MENDA	300		A ⁽¹⁾	UTA		NOS		V 0 TPDA ⁽¹⁾ ABSOLUT
dio minimo de curvas horizontales (m) stancia de visibilidad para parada (m) stancia de visibilidad para rebasamiento (430	100	M	LL	0	M	LL	0	M	LL	0	M	LL	0	M	LL	0	M	LL	0	M	LL	0	M	LL	0	M	LLOM
stancia de visibilidad para parada (m) stancia de visibilidad para rebasamiento (_		80		80		100		70	90		50	90	80	60	80				60	50			25(9)	60	50	10.0	50 35 25
stancia de visibilidad para rebasamiento (350	210	350	210	110	350	275	160	275	210	75	275	210			110	4	210	110	75	110	30	20	110	75	42	75 30 20
	180		110		110		160	135	90		110		135	110		110		40	110		55	70	35	25	70	55		55 35 25
walts	n) 830	690	565	690	565	415	690	640	490	640	565	345	640	565	415	565	415	2 0	480	290	210	290	150	110	290	210	150	210150 11
	-						-	M/	XIM	0 = 10	096	$\overline{}$						3		10% (3	Para '	V > 50	0 K.P	(H.)	8% (Pa	tra V <	50 K	P.H.)
oeficiente "K" para: ⁽²⁾																		100						10.1.00	000.1000			
arvas verticales convexas (m)	80	60	28	60	28	12	60	43	19	43	28	7	43	28	12	28	12	4	28	12	7	12	3	2	12	7	4	7 3 2
rvas verticales cóncavas (m)	43	38	24	38	24	13	38	31	19	31	24	10	31	24	13	24	13	6	24	13	10	13	5	3	13	10	6	10 5 3
adiente longitudinal (%) máxima (%)	3	4	6	3	5	7	3	4	7	4	6	8	4	6	7	6	7	9	5	6	8	6	8	12	5	6	8	6 8 14
radiente longitudinal (4) minima (%)															0,5%			_							_			
ncho de pavimento (m)		7,3			7,3			7,0			6,70	8		6,70			6,00				6,0	0				- 8	4,00 (1)	
ase de pavimento	c	arpeta /	Asfälti	ca y F	Iormi	gón		Ca	rpeta /	Asfalti	ica		Ca	rpeta /	Asfälti	caol	T.S.I	3,	D	T.S.B,		a Gran trado	olar	0	Capa	a Gran	ular o	Empedrado
icho de espaldones (3) estables (m)	3,0	2.5	2,0	2,5	2,0	1,5	3,0	2,5	2,0	2,5	2,0	1,5	2.0	1,5	1,0	1,5	1,0	0,5	- 1	0,60 (0	.V.	Tipo 6	y 7)					
adiente transversal para pavimento (%)			2,		-				2,	0					2,0					2,5 (C. 4,0 (C.							4,0	
adiente transversal para espaldones (%)	3	- 72	2,0(6)	- 4.0					2,0 -	4,0					2,0 -	4,0		\neg	- 9	4,0 (C.)	V. Ti	po 5 y	5E)				****	
uva de transición											USE	NSE E	SPIR	ALES	CUAN	DO!	SEA N	ECE	SARIO)								
Carga de diseño												HS	- 20 -	44:	HS-	MOP	H	- 25										
Puentes Ancho de la calzada (m)							S	ERA I	LA DI	MEN	SION	DEL	A CA	LZAD	A DE	LAV	IA IN	CLUI	DOS I	LOSES	SPAI	DON	ES					
Ancho de Aceras (m) (7)													0,50	m m	inimo	a cada	lado											
Minimo derecho de via (m)								Seorie	el Ar	0 30 /	la la I	and a	-	7.7.7					17.		U. B.		_	_				

Tabla 36 Coeficiente de fricción en función de velocidad de diseño

Velocidad de Diseno	"f"		RADIO MINIM	O CALCULADO			RADIO MINIMO	RECOMENDADO	
km/h	maximo	e=0.10	e=0.08	e=0.06	e=0.04	e=0.10	e=0.08	e=0.06	e=0.04
20	0.350		7.32	7.58	8.08		18	20	20
25	0.315		12.48	13.12	13.66		20	25	25
30	0.284		19.47	20.50	21.67		25	30	30
35	0.255		26.79	30.02	32.7		30	35	35
40	0.221		41.86	44.83	48.27		42	40	50
45	0.200		55.75	59.94	64.82		58	60	65
50	0.165		72.91	78.74	86.69		75	80	90
60	0.185	105.97	115.70	125.98	138.28	110	120	130	140
70	0.150	154.35	187.75	189.73	203.07	160	170	185	205
80	0.140	209.97	229.95	251.97	279.97	210	230	255	280
90	0.134	272.55	298.94	328.70	366.55	275	300	330	320
100	0.130	342.35	374.95	414.42	465.16	350	375	415	465
110	0.124	425.34	467.94	517.80	550.95	430	470	520	585
120	0.120	515.39	588.93	629.92	708.85	520	570	630	710

Fuente: (MTOP, Norma de Diseño Geométrico de Carreteras, 2003)

COEFICIENTE DE FRICCION LATERAL

e=	6.0%	
f=	0.221	

RADIO MINIMO A USAR

$$Rmin = \frac{V^2}{127(e+f)}$$

Rmin= 44.83 m

DISTANCIA DE FRENADO

$$D.frenado = \frac{Vc^2}{254 * (f \pm G)}$$

D.frenado de subida= 18.89 m D.frenado de bajada= 58.06 m

PENDIENTE MAS CRITICA= 11.25%

DISTANCIA DE VISIBILIDAD DE CURVAS HORIZONTALES

$$m = Rc * \left(1 - \cos\left(\frac{28,65 * Dp}{Rc}\right)\right)$$

m= 17.11 m

Radio crito segun Topografia= 10.74

DISTANCIA DE VISIBILIDAD LATERAL

$$dL = \frac{Vt}{Vv} * d$$

dL= 14.51 m

Valor dado por la MTOP

Velocidad promedio de un peaton= 10 km/h

DISTANCIA DE VISIBILIDAD DE REBASAMIENTO

Nuestra carretera no esta considerada una carretera principal, tomaremos el valor minimo recomendando

Tabla 37 Distancia mínima de visibilidad para rebasamiento

V _D , Km/h		DES DE LOS DS, Km/h.		A MINIMA DE ENTO, METROS
	REBASADO	REBASANTE	CALCULADA	RECOMENDADA
25	24	40		(80)
30	28	44		(110)
35	33	49		(130)
40	35	51	268	270 (150)
45	39	55	307	310 (180)
50	43	59	345	345 (210)
60	50	66	412	415 (290)
70	58	74	488	490 (380)
80	66	82	563	565 (480)
90	73	89	631	640
100	79	95	688	690
110	87	103	764	830 *
120	94	110	831	830

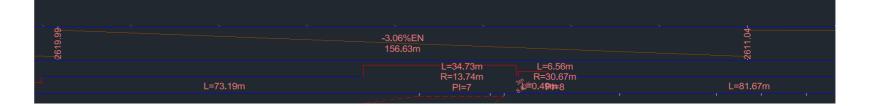
Fuente: (MTOP, Norma de Diseño Geométrico de Carreteras, 2003)

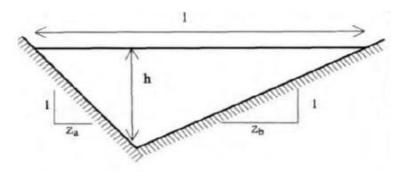
	Curva 1			Curva 5			Curva 7	
	gados c	1.204102651 Rad		•	.80878558 Rad		gados c 0.	17435839 Rad
PI= 89.52			PI= 257.8			PI= 365.02		
R= 45				28 m		R= 45 r		
	Km/h			40 Km/h			Km/h	
L Cuerda $CL = 2 * R * sen\left(\frac{\Delta}{2}\right)$	CL=	50.97 m	$CL = 2 * R * sen \left(\frac{1}{2}\right)$	$\frac{\Delta}{2}$ CL=	50.58 m	L Cuerda $CL = 2 * R * sen\left(\frac{\Delta}{2}\right)$	CL=	7.84 m
Tangente $T = R * Tan \frac{\Delta}{2}$	T=	20.00	Tangente $T = R * Tan^{\frac{1}{2}}$	<u>\(\Delta \) \(\T= \)</u>	07.54	Tangente $T = R * Tan \frac{\Delta}{2}$	-	2.02
G. Curvatura	I=	30.92	G. Curvatura	<u> </u>	27.51	G. Curvatura	T=	3.93
$Gc = \frac{360 * CL}{2 * \pi * R}$	Gc=	64.90 grados	$Gc = \frac{360 * C}{2 * \pi * I}$	C GC=	45.09 grados	$Gc = \frac{360 * CL}{2 * \pi * R}$	Gc=	9.98 grados
L. Curvatura Circular $L = \frac{Lc * \Delta}{G}$	L=	54.185 m	L. Curvatura Circular $L = \frac{Lc * \Delta}{G}$	L=	51.989 m	L. Curvatura Circular $L = \frac{Lc * \Delta}{G}$	L=	7.85 m
Externa $E = R * \left(\frac{1}{Cos\frac{\Delta}{2}}\right) - 1$	E=	9.60 m	Externa $E = R * \left(\frac{1}{\cos \frac{\Delta}{2}}\right) - 1$	E=	5.64 m	Externa $E = R * \left(\frac{1}{Cos\frac{\Delta}{2}}\right) - 1$	E=	0.17 m
Ordenada media $M = R * \left(1 - \cos\frac{\Delta}{2}\right)$	M=	7.91 m	Ordenada media $M = R * \left(1 - \cos\frac{\Delta}{2}\right)$	M=	5.18 m	Ordenada media $M = R * \left(1 - \cos\frac{\Delta}{2}\right)$	M=	0.17 m
Deflexion por metro $D. m = \frac{Gc}{2*Lc}$	D.m=	0.64 l/m	Deflexion por metro $D.m = \frac{Gc}{2*Lc}$	D.m=	0.45 l/m	Deflexion por metro $D.m = \frac{Gc}{2*Lc}$	D.m=	0.64 l/m
Deflexion por unidad de cue $D. c = \frac{Gc}{2}$	rda D.c=	32.45 l/cuerda	Deflexion por unidad de $D \cdot c = \frac{Gc}{2}$		22.54 l/cuerda	Deflexion por unidad de cue $D. c = \frac{Gc}{2}$	erda D.c=	4.99 l/cuerda
Longitud de replanteo	L replanteo=	1.50 m	Longitud de replanteo	L replanteo=	1.50 m	Longitud de replanteo	L replanteo=	1.50 m
Principio de curva			Principio de curva			Principio de curva		
PC = PI - T	PC=	58.60	PC = PI - T	PC=	230.36	PC = PI - T	PC=	361.09
Principio de tangente $PT = PC + L$	PT=	112.78	Principio de tangente $PT = PC + L$	PT=	282.35	Principio de tangente $PT = PC + L$	PT=	368.93
Punto medio de curva $PM = \frac{PC + PT}{2}$	PM=	114.99	Punto medio de curva $PM = \frac{PC + PT}{2}$	PM=	371.53	Punto medio de curva $PM = \frac{PC + PT}{2}$	PM=	545.55

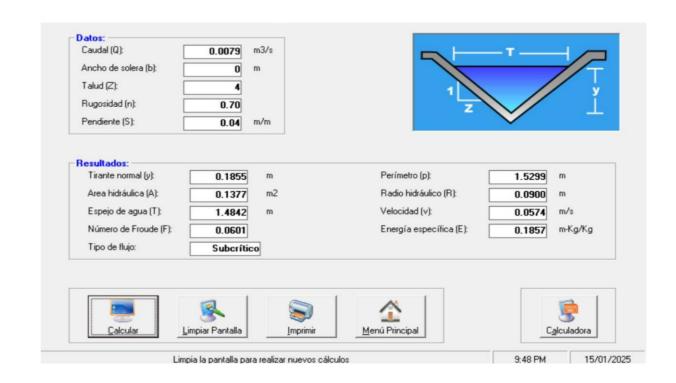
Curva	9			Curva 14			Curva 15	
Δ= 83.93 gados c		1.464854841 Rad	1	•	1.29206725 Rad	Δ= 107.18 g	ados c 1.	.87064389 Rad
PI= 469.43			PI= 602.0			PI= 691.52		
R= 83.78 m			1)7 m		R= 25.43 m		
V= 40 Km/h				10 Km/h		V= 40 K	(m/h	
L Cuerda			L Cuerda			L Cuerda		
$CL = 2 * R * sen\left(\frac{\Delta}{2}\right)$	CL=	112.04 m	$CL = 2 * R * sen\left(\frac{L}{2}\right)$	(<u>2</u>)	62.69 m	$CL = 2 * R * sen\left(\frac{\Delta}{2}\right)$	CL=	40.93 m
Tangente			Tangente			Tangente		
$T = R * Tan \frac{\Delta}{2}$	T=	75.34	$T = R * Tan \frac{L}{2}$	<u>2</u> T=	39.26	$T = R * Tan \frac{\Delta}{2}$	T=	34.48
G. Curvatura			G. Curvatura			G. Curvatura		
$Gc = \frac{360 * CL}{2 * \pi * R}$	Gc=	76.62 grados	$Gc = \frac{360 * C}{2 * \pi * F}$	Gc=	68.99 grados	$Gc = \frac{360 * CL}{2 * \pi * R}$	Gc=	92.22 grados
L. Curvatura Circular			L. Curvatura Circular			L. Curvatura Circular		
$L = \frac{Lc * \Delta}{G}$	L=	122.726 m	$L = \frac{Lc * \Delta}{G}$	L=	67.278 m	$L = \frac{Lc * \Delta}{G}$	L=	47.570 m
Externa $E = R * \left(\frac{1}{Cos\frac{\Delta}{2}}\right) - 1$	E=	28.90 m	Externa $E = R * \left(\frac{1}{Cos\frac{\Delta}{2}}\right) - 1$	E=	13.14 m	Externa $E = R * \left(\frac{1}{Cos\frac{\Delta}{2}}\right) - 1$	E=	17.41 m
Ordenada media $M = R * \left(1 - \cos\frac{\Delta}{2}\right)$	M=	21.49 m	Ordenada media $M = R * \left(1 - \cos\frac{\Delta}{2}\right)$	M=	10.49 m	Ordenada media $M = R * \left(1 - \cos\frac{\Delta}{2}\right)$	M=	10.34 m
Deflexion por metro $D. m = \frac{Gc}{2*Lc}$	D.m=	0.34 l/m	Deflexion por metro $D.m = \frac{Gc}{2*Lc}$	D.m=	0.55 l/m	Deflexion por metro $D. m = \frac{Gc}{2*Lc}$	D.m=	1.13 l/m
Deflexion por unidad de cuerda			Deflexion por unidad de	-		Deflexion por unidad de cue	erda	
$D. c = \frac{Gc}{2}$	D.c=	38.31 l/cuerda	$D. c = \frac{Gc}{2}$	D.c=	34.49 l/cuerda	$D. c = \frac{Gc}{2}$	D.c=	46.11 l/cuerda
Longitud de replanteo L replar	nteo=	1.50 m	Longitud de replanteo	L replanteo=	1.50 m	Longitud de replanteo	L replanteo=	1.50 m
Principio de curva			Principio de curva			Principio de curva		
PC = PI - T	PC=	394.09	PC = PI - T	PC=	562.81	PC = PI - T	PC=	657.04
Principio de tangente			Principio de tangente			Principio de tangente		
PT = PC + L	PT=	516.81	PT = PC + L	PT=	630.09	PT = PC + L	PT=	704.61
Punto medio de curva $PM = \frac{PC + PT}{2}$	PM=	652.49	Punto medio de curva $PM = \frac{PC + PT}{2}$	PM=	877.86	Punto medio de curva $PM = \frac{PC + PT}{2}$	PM=	1009.35

	Curva 16			Curva 17			Curva 18	
	gados c	2.528458487 Rad		•	21380283 Rad		gados c 0.	54419366 Rad
PI= 821.2			PI= 816.3			Pl= 918.95		
R= 13.74			1	67 m		R= 63.44 r		
	Km/h			40 Km/h		I	Km/h	
L Cuerda $CL = 2 * R * sen\left(\frac{\Delta}{2}\right)$	CL=	26.20 m	$CL = 2 * R * sen \left(\frac{1}{2}\right)$	$\frac{\Delta}{2}$ CL=	6.54 m	L Cuerda $CL = 2 * R * sen\left(\frac{\Delta}{2}\right)$	CL=	34.10 m
Tangente $T = R * Tan \frac{\Delta}{2}$	T=	43.41	Tangente $T = R * Tan \frac{L}{2}$	<u>\(\frac{\Delta}{2} \) T=</u>	3.29	Tangente $T = R * Tan \frac{\Delta}{2}$	T=	17.70
G. Curvatura $Gc = \frac{360 * CL}{2 * \pi * R}$	Gc=	109.25 grados	G. Curvatura $Gc = \frac{360 * C}{2 * \pi * B}$	CC=	12.23 grados	G. Curvatura $Gc = \frac{360 * CL}{2 * \pi * R}$	Gc=	30.80 grados
L. Curvatura Circular $L = \frac{Lc * \Delta}{G}$	L=	34.741 m	L. Curvatura Circular $L = \frac{Lc * \Delta}{G}$	L=	6.557 m	L. Curvatura Circular $L = \frac{Lc * \Delta}{G}$	L=	34.524 m
Externa $E = R * \left(\frac{1}{Cos\frac{\Delta}{2}}\right) - 1$	E=	31.79 m	Externa $E = R * \left(\frac{1}{Cos\frac{\Delta}{2}}\right) - 1$	E=	0.18 m	Externa $E = R * \left(\frac{1}{Cos\frac{\Delta}{2}}\right) - 1$	E=	2.42 m
Ordenada media $M = R * \left(1 - \cos\frac{\Delta}{2}\right)$	M=	9.59 m	Ordenada media $M = R * \left(1 - \cos\frac{\Delta}{2}\right)$	M=	0.18 m	Ordenada media $M = R * \left(1 - \cos\frac{\Delta}{2}\right)$	M=	2.33 m
Deflexion por metro $D. m = \frac{Gc}{2 * Lc}$	D.m=	2.08 l/m	Deflexion por metro $D. m = \frac{Gc}{2*Lc}$	_	0.93 l/m	Deflexion por metro $D.m = \frac{Gc}{2*Lc}$	D.m=	0.45 l/m
Deflexion por unidad de cuer $D. c = \frac{Gc}{2}$	rda D.c=	54.62 l/cuerda	Deflexion por unidad de $D.c = \frac{Gc}{2}$		6.11 l/cuerda	Deflexion por unidad de cue $D \cdot c = \frac{Gc}{2}$	erda D.c=	15.40 l/cuerda
Longitud de replanteo	L replanteo=	1.50 m	Longitud de replanteo	L replanteo=	1.50 m	Longitud de replanteo	L replanteo=	1.50 m
Principio de curva $PC = PI - T$	PC=	777.79	Principio de curva $PC = PI - T$	PC=	813.02	Principio de curva $PC = PI - T$	PC=	901.25
Principio de tangente $PT = PC + L$	PT=	812.54	Principio de tangente $PT = PC + L$	PT=	819.58	Principio de tangente $PT = PC + L$	PT=	935.77
Punto medio de curva $PM = \frac{PC + PT}{2}$	PM=	1184.06	Punto medio de curva $PM = \frac{PC + PT}{2}$	PM=	1222.81	Punto medio de curva $PM = \frac{PC + PT}{2}$	PM=	1369.14

		Tran	no 4		
Cu	neta izquierda			Cuneta derecha	
Abscisa Inicial	0	703.37	Abscisa Inicial	0	703.37
Abscisa Final	0	860.00	Abscisa Final	0	860
Cota mas alta	2619.99 msnm		Cota mas alta	2619.99	
Cota mas baja	2611.04 msnm		Cota mas baja		msnm
So	0.04		So	0.06	
Ancho de carril	3.00 m		Ancho de carril	3.00	m
Longitud	156.63 m		Longitud	156.63	m
Coeficiente de			Coeficiente de		
escorrentia	0.70		escorrentia	0.70	
Area de aporte			Area de aporte		
(calzada)	469.89 m2		(calzada)	469.89 ו	m2
Area de aporte			Area de aporte		
total	0.046989 Ha		total	0.046989	На
Q por	el metodo racional		Q po	or el metodo racio	onal
($Q = \frac{C * I * A}{360}$			$Q = \frac{C * I * A}{360}$	
Q=	0.00786 m3/s		Q=	0.00786	m3/s
Dimensiones	propuestas de la cur	eta	Dimension	es propuestas de	la cuneta
Za	0.2		Za	0.2	
Zb	4		Zb	4	
h	0.25 m		h	0.25	m
$A = \frac{(Z)}{Z}$	$\frac{a+Zb)*h^2}{2}$		$A = \frac{\langle Z \rangle}{2}$	$\frac{(a+Zb)*h^2}{2}$	
Area	0.13125 m2		Area	0.13125	
	$\left(+\sqrt{1+Zb^{2}}\right) *h$		`	$\overline{a^2} + \sqrt{1 + Zb^2} \Big) *$	h
,	1.285727382		P mojado	1.285727382	
$Q = \frac{1}{n} * \left(\frac{A^5}{P^2}\right)$	$\frac{1}{3}$ $\frac{1}{S}$		$Q = \frac{1}{n} * \left(\right.$	$\left(\frac{A^5}{P^2}\right)^{\frac{1}{3}} * S^{\frac{1}{2}}$	
Q maning	0.3822 m3/s		Q maning	0.4569 ו	m3/s
Velocidad	0.0502 m/s		Velocidad	0.0600	m/s
Verificacion	Cumple		Verificacion	Cumple	
Utilizacion de la cuneta	2.05 %		Utilizacion de la	a 1.72 °	0/4
	2.05 % siones de la cuneta			ensiones de la cui	
$I = (z_a)$	$(z_b + z_b) * h$			$I = (z_a + z_b) * h$	l.
Ancho			.		
superficial (I)	1.05 m		Ancho superfici		
h 	0.25 m		h 	0.25	
У	0.17 m		У	0.17	m







	Curva 27			Curva 28			Curva 30	
	gados c	1.328370094 Rad	1	•	2.2661355 Rad	Δ= 54.72 ga	ados c 0.	95504417 Rad
Pl= 1208.96			PI= 1286.9			Pl= 1378.47		
R= 35.06 i V= 40 l	m Km/h		1	65 m 40 Km/h		R= 64.23 m V= 40 K		
L Cuerda	IXIII/II		L Cuerda	40 KIII/II		L Cuerda	.111/11	
$CL = 2 * R * sen\left(\frac{\Delta}{2}\right)$	CL=	43.22 m	$CL = 2 * R * sen\left(\frac{L}{2}\right)$	$\frac{\Delta}{2}$ CL=	28.35 m	$CL = 2 * R * sen\left(\frac{\Delta}{2}\right)$	CL=	59.04 m
Tangente $T = R * Tan \frac{\Delta}{2}$	T=	27.45	Tangente $T = R * Tan \frac{2}{2}$	<u>\(\frac{\Delta}{2} \)</u>	33.44	Tangente $T = R * Tan \frac{\Delta}{2}$	T=	33.24
G. Curvatura $Gc = \frac{360 * CL}{2 * \pi * R}$	Gc=	70.64 grados	G. Curvatura $Gc = \frac{360 * C}{2 * \pi * B}$	<u>L</u> Gc=	103.79 grados	G. Curvatura $Gc = \frac{360 * CL}{2 * \pi * R}$	Gc=	52.66 grados
L. Curvatura Circular $L = \frac{Lc * \Delta}{G}$	L=	46.57 m	L. Curvatura Circular $L = \frac{Lc * \Delta}{G}$	L=	35.465 m	L. Curvatura Circular $L = \frac{Lc * \Delta}{G}$	L=	61.342 m
Externa $E = R * \left(\frac{1}{Cos\frac{\Delta}{2}}\right) - 1$	E=	9.47 m	Externa $E = R * \left(\frac{1}{Cos\frac{\Delta}{2}}\right) - 1$	E=	21.27 m	Externa $E = R * \left(\frac{1}{Cos\frac{\Delta}{2}}\right) - 1$	E=	8.09 m
Ordenada media $M = R * \left(1 - \cos\frac{\Delta}{2}\right)$	M=	7.45 m	Ordenada media $M = R * \left(1 - \cos\frac{\Delta}{2}\right)$	M=	9.02 m	Ordenada media $M = R * \left(1 - \cos\frac{\Delta}{2}\right)$	M=	7.18 m
Deflexion por metro $D. m = \frac{Gc}{2*Lc}$	D.m=	0.82 l/m	Deflexion por metro $D. m = \frac{Gc}{2*Lc}$	_	1.83 l/m	Deflexion por metro $D. m = \frac{Gc}{2*Lc}$	D.m=	0.45 l/m
Deflexion por unidad de cuero $D \cdot c = \frac{Gc}{2}$	da D.c=	35.32 l/cuerda	Deflexion por unidad de $D.c = \frac{Gc}{2}$	cuerda D.c=	51.89 l/cuerda	Deflexion por unidad de cue $D. c = \frac{Gc}{2}$	rda D.c=	26.33 l/cuerda
Longitud de replanteo	L replanteo=	1.50 m	Longitud de replanteo	L replanteo=	1.50 m	Longitud de replanteo	L replanteo=	1.50 m
Principio de curva $PC = PI - T$	PC=	1181.51	Principio de curva $PC = PI - T$	PC=	1253.48	Principio de curva $PC = PI - T$	PC=	1345.23
Principio de tangente			Principio de tangente	, -		Principio de tangente	. •	-
PT = PC + L Punto medio de curva	PT=	1228.09	PT = PC + L Punto medio de curva	PT=	1288.95	PT = PC + L Punto medio de curva	PT=	1406.58
$PM = \frac{PC + PT}{2}$	PM=	1795.56	$PM = \frac{PC + PT}{2}$	PM=	1897.95	$PM = \frac{PC + PT}{2}$	PM=	2048.52

	Curva 31			Curva 33			Curva 34	
	gados c	0.6700319 Rad	•	•	1.2971287 Rad	Δ= 39.63 g	ados c 0	.69167398 Rad
Pl= 1460.76			PI= 1574.			Pl= 1726.9	_	
R= 45 V= 40	m Km/h			86 m 80 Km/h		R= 45 m V= 40 K		
L Cuerda	KIII/II		L Cuerda	O KIII/II		L Cuerda	XIII/II	
$CL = 2 * R * sen\left(\frac{\Delta}{2}\right)$	CL=	29.59 m	$CL = 2 * R * sen\left(\frac{L}{2}\right)$	CL=	43.49 m	$CL = 2 * R * sen\left(\frac{\Delta}{2}\right)$	CL=	30.51 m
Tangente $T = R * Tan \frac{\Delta}{2}$	T=	15.67	Tangente $T = R * Tan \frac{\Delta}{2}$	<u>\ \ </u>	27.29	Tangente $T = R * Tan \frac{\Delta}{2}$	T=	16.21
G. Curvatura 360 * CL			G. Curvatura	- =		G. Curvatura 360 * CL		
$Gc = \frac{360 * CL}{2 * \pi * R}$ L. Curvatura Circular	Gc=	37.68 grados	$Gc = \frac{360 * CR}{2 * \pi * F}$ L. Curvatura Circular	Gc=	69.22 grados	$Gc = \frac{360 * CL}{2 * \pi * R}$ L. Curvatura Circular	Gc=	38.84 grados
$L = \frac{Lc * \Delta}{G}$	L=	30.15 m	$L = \frac{Lc * \Delta}{G}$	L=	46.70 m	$L = \frac{Lc * \Delta}{G}$	L=	31.125 m
Externa $E = R * \left(\frac{1}{Cos\frac{\Delta}{2}}\right) - 1$	E=	2.65 m	Externa $E = R * \left(\frac{1}{Cos\frac{\Delta}{2}}\right) - 1$	E=	9.17 m	Externa $E = R * \left(\frac{1}{Cos\frac{\Delta}{2}}\right) - 1$	E=	2.83 m
Ordenada media $M = R * \left(1 - \cos\frac{\Delta}{2}\right)$	M=	2.50 m	Ordenada media $M = R * \left(1 - \cos\frac{\Delta}{2}\right)$	M=	7.31 m	Ordenada media $M = R * \left(1 - \cos\frac{\Delta}{2}\right)$	M=	2.66 m
Deflexion por metro $D. m = \frac{Gc}{2 * Lc}$	D.m=	0.64 l/m	Deflexion por metro $D. m = \frac{Gc}{2 * Lc}$	D.m=	0.80 l/m	Deflexion por metro $D.m = \frac{Gc}{2*Lc}$	D.m=	0.64 l/m
Deflexion por unidad de cuero $D \cdot c = \frac{Gc}{2}$	da D.c=	18.84 l/cuerda	Deflexion por unidad de $D \cdot c = \frac{Gc}{2}$		34.61 l/cuerda	Deflexion por unidad de cue $D \cdot c = \frac{Gc}{2}$	erda D.c=	19.42 l/cuerda
Longitud de replanteo	L replanteo=	1.50 m	Longitud de replanteo	L replanteo=	1.50 m	Longitud de replanteo	L replanteo=	1.50 m
Principio de curva			Principio de curva			Principio de curva		
PC = PI - T	PC=	1445.09	PC = PI - T	PC=	1547.31	PC = PI - T	PC=	1710.69
Principio de tangente $PT = PC + L$	PT=	1475.25	Principio de tangente $PT = PC + L$	PT=	1594.01	Principio de tangente $PT = PC + L$	PT=	1741.81
Punto medio de curva $PM = \frac{PC + PT}{2}$	PM=	2182.72	Punto medio de curva $PM = \frac{PC + PT}{2}$	PM=	2344.32	Punto medio de curva $PM = \frac{PC + PT}{2}$	PM=	2581.59

	Curva 35			Curva 36			Curva 37	
	gados c	1.569923662 Rad		•	50282936 Rad	Δ= 60.47 g	ados c	1.0554006 Rad
PI= 1790.56			PI= 1903.7			Pl= 1955.24		
R= 46.96			1	45 m		R= 34.19 n		
V= 40 L Cuerda	Km/h		V= L Cuerda	40 Km/h		V= 40 K L Cuerda	km/n	
$CL = 2 * R * sen\left(\frac{\Delta}{2}\right)$	CL=	66.38 m	$CL = 2 * R * sen\left(\frac{1}{2}\right)$	$\frac{\Delta}{2}$ CL=	22.39 m	$CL = 2 * R * sen\left(\frac{\Delta}{2}\right)$	CL=	34.43 m
Tangente $T = R * Tan \frac{\Delta}{2}$	T=	46.92	Tangente $T = R * Tan \frac{L}{2}$	<u>\(\frac{\Delta}{2} \)</u>	11.56	Tangente $T = R * Tan \frac{\Delta}{2}$	T=	19.93
G. Curvatura $Gc = \frac{360 * CL}{2 * \pi * R}$	Gc=	80.99 grados	G. Curvatura $Gc = \frac{360 * C}{2 * \pi * B}$	CC=	28.51 grados	G. Curvatura $Gc = \frac{360 * CL}{2 * \pi * R}$	Gc=	57.70 grados
L. Curvatura Circular $L = \frac{Lc * \Delta}{G}$	L=	73.72 m	L. Curvatura Circular $L = \frac{Lc * \Delta}{G}$	L=	22.627 m	L. Curvatura Circular $L = \frac{Lc * \Delta}{G}$	L=	36.084 m
Externa $E = R * \left(\frac{1}{Cos\frac{\Delta}{2}}\right) - 1$	E=	19.42 m	Externa $E = R * \left(\frac{1}{Cos\frac{\Delta}{2}}\right) - 1$	E=	1.46 m	Externa $E = R * \left(\frac{1}{Cos\frac{\Delta}{2}}\right) - 1$	E=	5.38 m
Ordenada media $M = R * \left(1 - \cos\frac{\Delta}{2}\right)$	M=	13.74 m	Ordenada media $M = R * \left(1 - \cos\frac{\Delta}{2}\right)$	M=	1.41 m	Ordenada media $M = R * \left(1 - \cos\frac{\Delta}{2}\right)$	M=	4.65 m
Deflexion por metro $D. m = \frac{Gc}{2*Lc}$	D.m=	0.61 l/m	Deflexion por metro $D. m = \frac{Gc}{2*Lc}$	D.m=	0.64 l/m	Deflexion por metro $D. m = \frac{Gc}{2*Lc}$	D.m=	0.84 l/m
Deflexion por unidad de cuer $D. c = \frac{Gc}{2}$	rda D.c=	40.50 l/cuerda	Deflexion por unidad de $D.c = \frac{Gc}{2}$		14.25 l/cuerda	Deflexion por unidad de cue $D \cdot c = \frac{Gc}{2}$	erda D.c=	28.85 l/cuerda
Longitud de replanteo	L replanteo=	1.50 m	Longitud de replanteo	L replanteo=	1.50 m	Longitud de replanteo	L replanteo=	1.50 m
Principio de curva $PC = PI - T$	PC=	1743.64	Principio de curva $PC = PI - T$	PC=	1892.23	Principio de curva $PC = PI - T$	PC=	1935.31
Principio de tangente $PT = PC + L$	PT=	1817.36	Principio de tangente $PT = PC + L$	PT=	1914.86	Principio de tangente $PT = PC + L$	PT=	1971.40
Punto medio de curva $PM = \frac{PC + PT}{2}$	PM=	2652.32	Punto medio de curva $PM = \frac{PC + PT}{2}$	PM=	2849.66	Punto medio de curva $PM = \frac{PC + PT}{2}$	PM=	2921.01

	Curva 38			Curva 39			Curva 40	
	gados c	0.432492589 Rad	•	•	.52262524 Rad	Δ= 116.66 ga	ados c 2	.03610111 Rad
PI= 2038.3			PI= 2095.0			PI= 2129.89		
R= 128.88 r				66 m		R= 10.74 m		
	Km/h			40 Km/h		V= 40 Ki	m/h	
L Cuerda			L Cuerda			L Cuerda		
$CL = 2 * R * sen\left(\frac{\Delta}{2}\right)$	CL=	55.31 m	$CL = 2 * R * sen\left(\frac{L}{2}\right)$	$\frac{\Delta}{2}$ CL=	31.27 m	$CL = 2 * R * sen\left(\frac{\Delta}{2}\right)$	CL=	18.28 m
Tangente			Tangente			Tangente		
$T = R * Tan \frac{\Delta}{2}$	T=	28.31	$T = R * Tan \frac{d}{dt}$	<u>2</u> T=	21.59	$T = R * Tan \frac{\Delta}{2}$	T=	17.41
G. Curvatura $Gc = \frac{360 * CL}{2 * \pi * R}$	Gc=	24.59 grados	G. Curvatura $Gc = \frac{360 * C}{2 * \pi * B}$	CC=	79.05 grados	G. Curvatura $Gc = \frac{360 * CL}{2 * \pi * R}$	Gc=	97.53 grados
L. Curvatura Circular $L = \frac{Lc * \Delta}{G}$	L=	55.74 m	L. Curvatura Circular $L = \frac{Lc * \Delta}{G}$	L=	34.503 m	L. Curvatura Circular $L = \frac{Lc * \Delta}{G}$	L=	21.87 m
Externa $E = R * \left(\frac{1}{Cos\frac{\Delta}{2}}\right) - 1$	E=	3.07 m	Externa $E = R * \left(\frac{1}{Cos\frac{\Delta}{2}}\right) - 1$	E=	8.64 m	Externa $E = R * \left(\frac{1}{Cos\frac{\Delta}{2}}\right) - 1$	E=	9.72 m
Ordenada media $M = R * \left(1 - \cos\frac{\Delta}{2}\right)$	M=	3.00 m	Ordenada media $M = R * \left(1 - \cos\frac{\Delta}{2}\right)$	M=	6.26 m	Ordenada media $M = R * \left(1 - \cos\frac{\Delta}{2}\right)$	M=	5.10 m
Deflexion por metro $D. m = \frac{Gc}{2*Lc}$	D.m=	0.22 l/m	Deflexion por metro $D.m = \frac{Gc}{2*Lc}$	D.m=	1.26 l/m	Deflexion por metro $D.m = \frac{Gc}{2*Lc}$	D.m=	2.67 l/m
Deflexion por unidad de cuero $D \cdot c = \frac{Gc}{2}$	da D.c=	12.29 l/cuerda	Deflexion por unidad de $D \cdot c = \frac{Gc}{2}$	-	39.53 l/cuerda	Deflexion por unidad de cuer $D \cdot c = \frac{Gc}{2}$	rda D.c=	48.76 l/cuerda
Longitud de replanteo	L replanteo=	1.50 m	Longitud de replanteo	L replanteo=	1.50 m	Longitud de replanteo	L replanteo=	1.50 m
Principio de curva			Principio de curva			Principio de curva		
PC = PI - T	PC=	2009.99	PC = PI - T	PC=	2073.48	PC = PI - T	PC=	2112.48
Principio de tangente $PT = PC + L$	PT=	2065.73	Principio de tangente $PT = PC + L$	PT=	2107.98	Principio de tangente $PT = PC + L$	PT=	2134.35
Punto medio de curva $PM = \frac{PC + PT}{2}$	PM=	3042.85	Punto medio de curva $PM = \frac{PC + PT}{2}$	PM=	3127.47	Punto medio de curva $PM = \frac{PC + PT}{2}$	PM=	3179.65

С	urva 41			Curva 42			Curva 45	
Δ= 75.19 gado	os c	1.312313065 Rad	1	•	0.9128072 Rad	Δ= 45.28 g	ados c 0	.79028509 Rad
PI= 2150.51			PI= 2224.5			Pl= 2296.72		
R= 20.69 m			1	45 m		R= 54.02 n		
V= 40 Km/h L Cuerda	1			40 Km/h		V= 40 K	km/n	
$CL = 2 * R * sen\left(\frac{\Delta}{2}\right)$	CL=	25.24 m	$CL = 2 * R * sen \left(\frac{L}{2}\right)$	$\frac{\Delta}{2}$ CL=	39.67 m	$CL = 2 * R * sen\left(\frac{\Delta}{2}\right)$	CL=	41.59 m
Tangente $T = R * Tan \frac{\Delta}{2}$	T=	15.93	Tangente $T = R * Tan \frac{2}{2}$	<u>A</u> T=	22.09	Tangente $T = R * Tan \frac{\Delta}{2}$	T=	22.53
G. Curvatura $Gc = \frac{360 * CL}{2 * \pi * R}$	Gc=	69.91 grados	G. Curvatura $Gc = \frac{360 * C}{2 * \pi * B}$	CC=	50.50 grados	G. Curvatura $Gc = \frac{360 * CL}{2 * \pi * R}$	Gc=	44.11 grados
L. Curvatura Circular $L = \frac{Lc * \Delta}{G}$	L=	27.15 m	L. Curvatura Circular $L = \frac{Lc * \Delta}{G}$	L=	41.076 m	L. Curvatura Circular $L = \frac{Lc * \Delta}{G}$	L=	42.691 m
Externa $E = R * \left(\frac{1}{Cos\frac{\Delta}{2}}\right) - 1$	E=	5.42 m	Externa $E = R * \left(\frac{1}{\cos \frac{\Delta}{2}}\right) - 1$	E=	5.13 m	Externa $E = R * \left(\frac{1}{Cos\frac{\Delta}{2}}\right) - 1$	E=	4.51 m
Ordenada media $M = R * \left(1 - \cos\frac{\Delta}{2}\right)$	M=	4.30 m	Ordenada media $M = R * \left(1 - \cos\frac{\Delta}{2}\right)$	M=	4.61 m	Ordenada media $M = R * \left(1 - \cos\frac{\Delta}{2}\right)$	M=	4.16 m
Deflexion por metro $D.m = \frac{Gc}{2*Lc}$	D.m=	1.38 l/m	Deflexion por metro $D. m = \frac{Gc}{2*Lc}$	_	0.64 l/m	Deflexion por metro $D. m = \frac{Gc}{2 * Lc}$	D.m=	0.53 l/m
Deflexion por unidad de cuerda $D \cdot c = \frac{Gc}{2}$	D.c=	34.95 l/cuerda	Deflexion por unidad de $D.c = \frac{Gc}{2}$		25.25 l/cuerda	Deflexion por unidad de cue $D \cdot c = \frac{Gc}{2}$	erda D.c=	22.06 l/cuerda
Longitud de replanteo L r	eplanteo=	1.50 m	Longitud de replanteo	L replanteo=	1.50 m	Longitud de replanteo	L replanteo=	1.50 m
Principio de curva $PC = PI - T$	PC=	2134.58	Principio de curva $PC = PI - T$	PC=	2202.50	Principio de curva $PC = PI - T$	PC=	2274.19
Principio de tangente $PT = PC + L$	PT=	2161.73	Principio de tangente $PT = PC + L$	PT=	2243.57	Principio de tangente $PT = PC + L$	PT=	2316.88
Punto medio de curva $PM = \frac{PC + PT}{2}$	PM=	3215.45	Punto medio de curva $PM = \frac{PC + PT}{2}$		3324.28	Punto medio de curva $PM = \frac{PC + PT}{2}$	PM=	3432.63

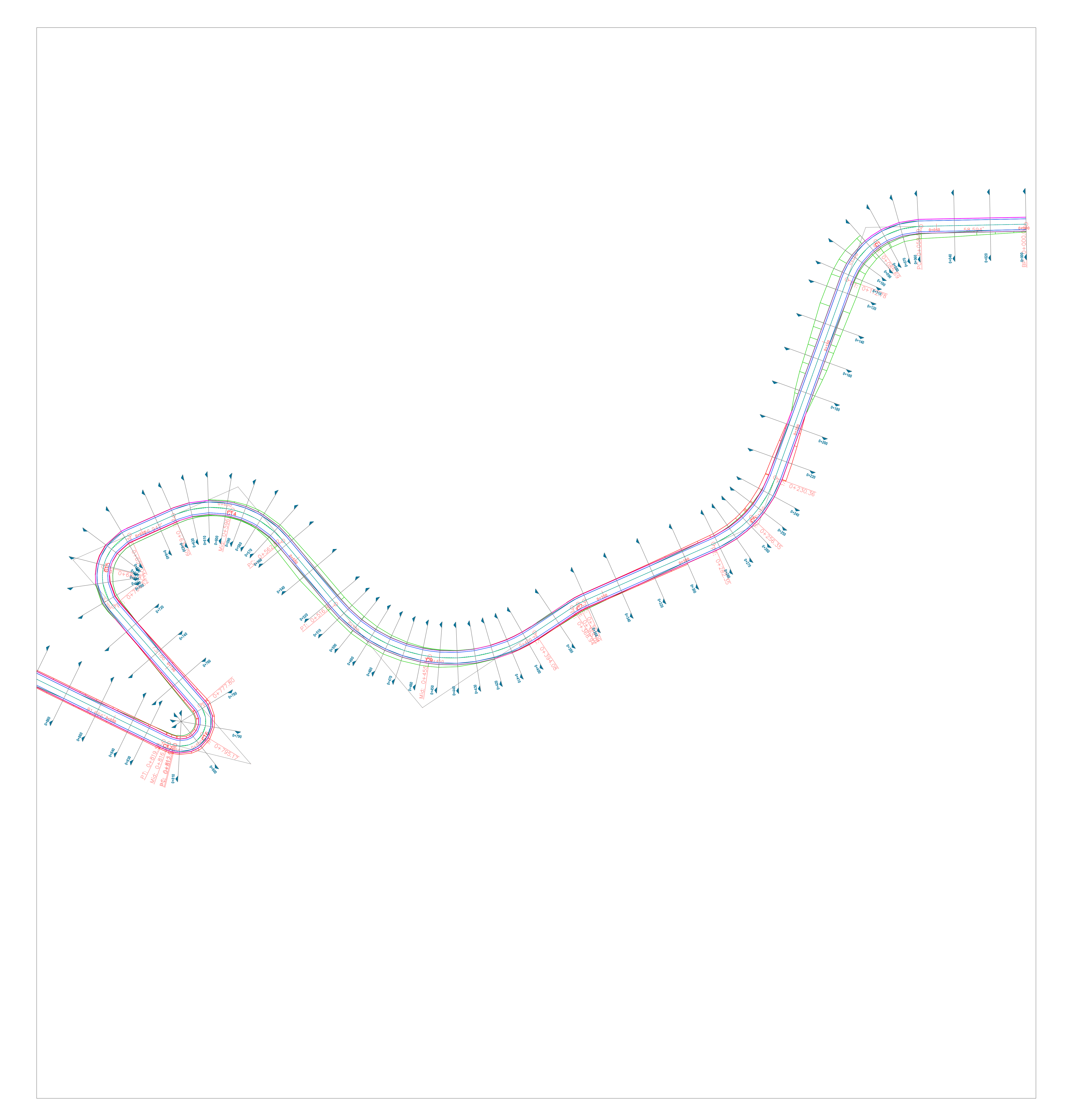
	Curva 46			Curva 48			Curva 48	
	gados c	0.643677428 Rad	1	•	.59760074 Rad	Δ= 34.24 g	ados c 0	.59760074 Rad
Pl= 2411.81			PI= 2563.2			PI= 2563.21		
R= 45 V= 40	m Km/h		1	45 m 40 Km/h		R= 45 n V= 40 k		
L Cuerda	KIII/II		L Cuerda	+U KIII/II		L Cuerda	MII/II	
$CL = 2 * R * sen\left(\frac{\Delta}{2}\right)$	CL=	28.47 m	$CL = 2 * R * sen \left(\frac{L}{2}\right)$	$\frac{\Delta}{2}$ CL=	26.49 m	$CL = 2 * R * sen\left(\frac{\Delta}{2}\right)$	CL=	26.49 m
Tangente $T = R * Tan \frac{\Delta}{2}$	T=	15.00	Tangente $T = R * Tan \frac{2}{2}$	<u>\(\frac{\Delta}{2} \)</u>	13.86	Tangente $T = R * Tan \frac{\Delta}{2}$	T=	13.86
G. Curvatura $Gc = \frac{360 * CL}{2 * \pi * R}$	Gc=	36.25 grados	G. Curvatura $Gc = \frac{360 * C}{2 * \pi * B}$	CC=	33.73 grados	G. Curvatura $Gc = \frac{360 * CL}{2 * \pi * R}$	Gc=	33.73 grados
L. Curvatura Circular $L = \frac{Lc * \Delta}{G}$	L=	28.97 m	L. Curvatura Circular $L = \frac{Lc * \Delta}{G}$	L=	26.89 m	L. Curvatura Circular $L = \frac{Lc * \Delta}{G}$	L=	26.892 m
Externa $E = R * \left(\frac{1}{Cos\frac{\Delta}{2}}\right) - 1$	E=	2.44 m	Externa $E = R * \left(\frac{1}{Cos\frac{\Delta}{2}}\right) - 1$	E=	2.09 m	Externa $E = R * \left(\frac{1}{Cos\frac{\Delta}{2}}\right) - 1$	E=	2.09 m
Ordenada media $M = R * \left(1 - \cos\frac{\Delta}{2}\right)$	M=	2.31 m	Ordenada media $M = R * \left(1 - \cos\frac{\Delta}{2}\right)$	M=	1.99 m	Ordenada media $M = R * \left(1 - \cos\frac{\Delta}{2}\right)$	M=	1.99 m
Deflexion por metro $D. m = \frac{Gc}{2*Lc}$	D.m=	0.64 l/m	Deflexion por metro $D. m = \frac{Gc}{2*Lc}$	D.m=	0.64 l/m	Deflexion por metro $D. m = \frac{Gc}{2 * Lc}$	D.m=	0.64 l/m
Deflexion por unidad de cuel $D \cdot c = \frac{Gc}{2}$	rda D.c=	18.12 l/cuerda	Deflexion por unidad de $D \cdot c = \frac{Gc}{2}$		16.87 l/cuerda	Deflexion por unidad de cue $D \cdot c = \frac{Gc}{2}$	erda D.c=	16.87 l/cuerda
Longitud de replanteo	L replanteo=	1.50 m	Longitud de replanteo	L replanteo=	1.50 m	Longitud de replanteo	L replanteo=	1.50 m
Principio de curva $PC = PI - T$	PC=	2396.81	Principio de curva $PC = PI - T$	PC=	2549.35	Principio de curva $PC = PI - T$	PC=	2549.35
Principio de tangente $PT = PC + L$	PT=	2425.77	Principio de tangente $PT = PC + L$	PT=	2576.24	Principio de tangente $PT = PC + L$	PT=	2576.24
Punto medio de curva $PM = \frac{PC + PT}{2}$	PM=	3609.69	Punto medio de curva $PM = \frac{PC + PT}{2}$	PM=	3837.47	Punto medio de curva $PM = \frac{PC + PT}{2}$	PM=	3837.47

	Curva 49	
	gados c	0.667937505 Rad
PI= 2643.91		
R= 76.86	m	
V= 40	Km/h	
L Cuerda		
$CL = 2 * R * sen\left(\frac{\Delta}{2}\right)$	CL=	50.39 m
Tangente		
$T = R * Tan \frac{\Delta}{2}$	T=	26.67
G. Curvatura $Gc = \frac{360 * CL}{2 * \pi * R}$		
$\frac{GC - 2 * \pi * R}{}$	Gc=	37.56 grados
L. Curvatura Circular		
$L = \frac{Lc * \Delta}{G}$	L=	51.34 m
	_	
Externa $E = R * \left(\frac{1}{Cos\frac{\Delta}{\Omega}}\right) - 1$		
$Cos\frac{\Delta}{2}$	E=	4.49 m
Ordenada media		
$M = R * \left(1 - \cos\frac{\Delta}{2}\right)$	M=	4.25 m
Deflexion por metro		
$D.m = \frac{Gc}{2*Lc}$	D.m=	0.37 l/m
Deflexion por unidad de cuero	da	
$D. c = \frac{Gc}{2}$	D.c=	18.78 l/cuerda
Longitud de replanteo	L replanteo=	1.50 m
Principio de curva		
PC = PI - T	PC=	2617.24
1 1 1		
Principio de tangente		
PT = PC + L	PT=	2668.58
Punto medio de curva		
$PM = \frac{PC + PT}{2}$	PM=	3951.53
2	1 101—	0001.00

		PRESUPUESTO				
Item	Codigo	Descripcion	Unidad	Cantidad	P.Unitario	P.Total
1		BORDILLOS, CUNETA Y ACCESOS				
1.1	500259	Excavacion para cunetas y encauzamiento a mano	m3	272.2	16.26	4425.972
1.2	500255	Excavacion con retroexcavadora Desalojo con volqueta hasta 3km con material cargado a	m3	12242.26	1.69	20689.4194
1.3	555003	maquina	m3-km	12242.26	0.22	2693.2972
2		ESTRUCTURA DEL PAVIMENTO		122 12.20	0.22	2000.2012
2.1		Base- sub-base- Mejoramiento				
2.1.1	503073	Mejoramiento de la subrasante con suelo seleccionado	m3	4899.6	15.07	73836.97
2.1.2	500342	Sub-base Clase 1	m3	2449.8	22.59	55340.98
2.1.3	500430	Base, Clase 1	m3	2449.8	25.69	62935.36
2.1.4	500250	Asfalto MC para imprimacion	m2	16332	1.09	17801.88
2.1.5	548011	Carperta asfaltica (e=3") Ho.Asf.mezclado en planta	m2	16332	25	408300
2.2		TRANSPORTE DE MATERIALES SUELTOS				
2.2.1	515014	Transporte de sub-base	m3-km	2449.8	0.22	538.956
2.2.2	515015	Transporte de base	m3-km	2449.8	0.22	538.956
2.2.3	515016	Transporte de mezcla asfaltica	m3-km	16332	0.26	4246.32
2.2.4	500148	Transporte de material de excavacion	m3-km	12242.26	0.22	2693.2972
2.2.5	503086	Transporte de suelo selccionado para mejoramiento de la subrasante	m3-km		0.22	0
3	503066	DRENAJE	IIIS-KIII		0.22	
3.1		Estructuras de alivio hidraulico				
5.1		Hormigon estructural clase 'C' f'c=210 kg/cm2, Bordillos y				
3.1.1	500298	cunetas	m3	1633.2	120	195984
3.1.2	502062	Alcantarillas impermeables Armico D=900mm	m	30	152.00	4560
2.4.2	50000	Hormigon estructuralde cemento portland Clase B (f'c=280	0	40	440	1100
3.1.3	500298	kg/cm2)	m3	10	110	1100
3.1.4	500300	Acero de refuerzo en barras, fy=4200 kg/cm2	kg	256	2.23	570.88
3.2 3.2.1	500400	SUBDRENAJE	m	2722	0.05	2585.9
3.2.1	500432	Replanteo y nivelacion	m m3	1633.2	0.95 1.99	2585.9 3250.068
3.2.2	504279	Excavacion a maquina con retroexcavadora	m3	280	8.61	2410.8
3.2.4	502012 515029	Material filtrante Transporte de material filtrante	m3-km	280		61.6
3.2.5	515029	Cargado de material a maquina	m3	1913.2	2.08	3979.456
5.2.5		Desalojo con volqueta hasta 3km con material cargado a	1115	1913.2	2.00	3919.430
3.2.7	500148	maquina	m3-km	1913.2	0.22	420.904
4		SEÑALIZACION Y SEGURIDAD VIAL				
4.1		SEÑALIZACION HORIZONTAL				
4.4.4		Managed a series and a (Distance and all and leading) and leading a 40 and		5444	4.00	7507.40
4.1.1	515038	Marcas de pavimento (Pintura amarilla reflectiva) acrilica a=10cm	m	5444	1.39	7567.16
4.1.2 4.2	515039	Marcas de pavimento (Pintura blanca reflectiva) acrilica a=10cm SEÑALIZACION VERTICAL	m	2722	1.39	3783.58
4.2		Señales a lado de la carretera (075x0.75m) Limite maximo de				
4.2.1	515049	velocidad	u	20	171.9	3438
		Señales a lada de la corretera (OZEVO ZEM) Cum a u contracuma				
4.2.2	515052	Señales a lado de la carretera (075x0.75m) Curva y contracurva	u	7	171.9	1203.3
4.2.3	515066	Guardacaminos doble metalico	m	283	79.14	22396.62
4.2.0	313000	Señales a lado de la carretera (075x0.75m) Curva derecha	111	203	73.14	22330.02
4.2.4	515069	cerrada	u	7	171.9	1203.3
40.5		Señales a lado de la carretera (075x0.75m) Curva izquierda		_	474.0	1000.0
4.2.5	515070	cerrada	u	7	171.9	1203.3
5		IMPACTO AMBIENTAL			4504.44	2000.00
5.1	515077	Bateria sanitaria movil	u	2	1504.11	3008.22
5.2	515078	Trampa de grasas y aceite	u	2	326.32	652.64
5.3	515079	Tanque de almacenamiento de grasas y aceite	U miles de litro	5		158.8
5.4 5.5	515081	Agua para control de polvo Cobertura de plastico	miles de litro m2	10 100	3.85 1.25	38.5 125
5.6	515082	Charlas de concientizacion	 	100	250.37	250.37
5.6 5.7	515083	Comunicados Radiales	u min	100	250.37 4.17	250.37 417
5. <i>1</i> 5.8	515084 515085	Intructivos o tripticos	+ + + + + + + + + + + + + + + + + + + +	200	0.53	106
5.8 5.9	515085 515087	Cinta plastica reflectiva (a=0.12m)	u m	500	0.53	360
5.9 5.10	515087	Charlas de Adiestramiento	m u	1	136.24	136.24
0.10	313000	Ondrido de Adiestramiento	SUBTOTAL	ı	130.24	915,013.05
			IVA		ν 15% \$	137,251.96
			1 / /		13/6 Φ	131,231.30
			TOTAL		\$	1,052,265.01

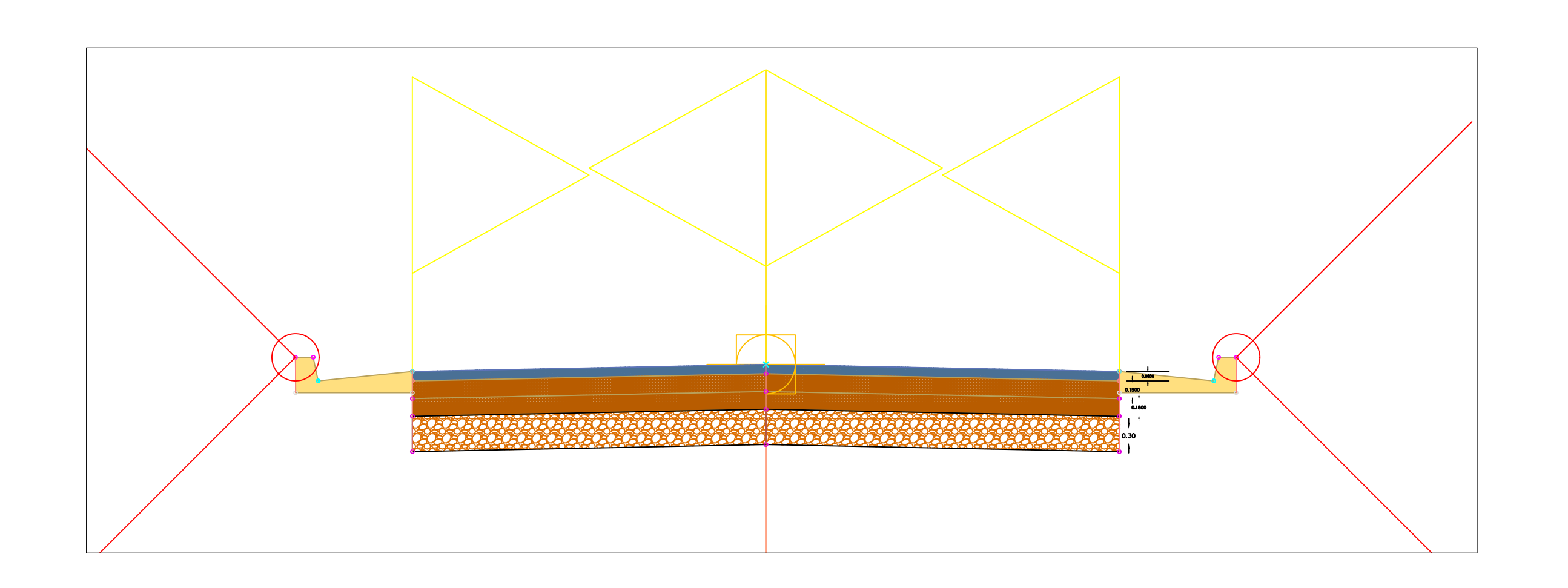
TOTAL: Un millon cincuenta y dos mil dosientos sesenta y cinco dolares americanos

TOTAL: Un millon cincuenta y dos mil dosientos sesenta y cinco dolares americanos

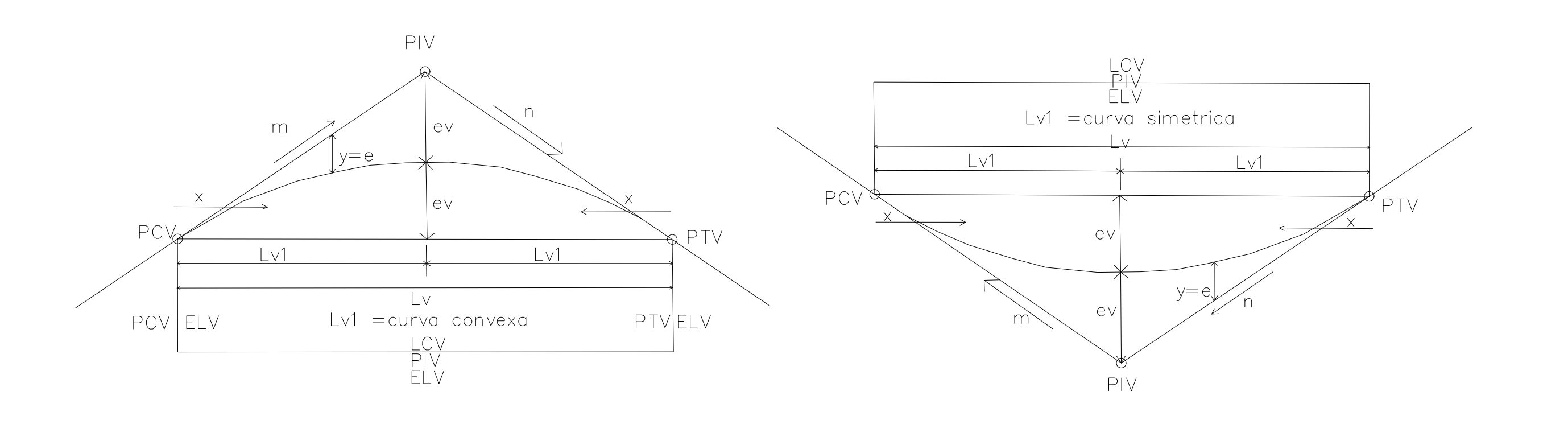


				CUADR	O DE ELE	EMENTOS	DE CUI	RVA HO	RIZONTAL				
NÚMERO PI	DIRECCIÓN	DELTA (Δ)	RADIO	т	L	LC	E	M	PC	PI	PT	PI NORTE	F
C1	S54° 20' 56"W	68.99	45.00	30.92	54.19	50.97	9.60	7.91	0+058.59	0+089.52	0+112.78	9625373.51	7
C5	S43° 01' 28"W	46.34	64.28	27.51	51.99	50.59	5.64	5.19	0+230.36	0+257.87	0+282.35	9625207.96	7
C7	S61° 12' 00"W	9.99	45.00	3.93	7.85	7.84	0.17	0.17	0+361.09	0+365.02	0+368.94	9625163.49	7
C9	N81° 49' 47"W	83.93	83.78	75.34	122.72	112.04	28.90	21.48	0+394.08	0+469.43	0+516.81	9625105.41	7
C14	N76° 52' 41"W	74.03	52.07	39.26	67.28	62.69	13.14	10.49	0+562.82	0+602.07	0+630.09	9625228.69	71
C15	S12° 31' 10"W	107.18	25.43	34.48	47.58	40.94	17.41	10.34	0+657.04	0+691.52	0+704.62	9625187.91	71
C16	S31° 22' 04"W	144.87	13.74	43.40	34.73	26.19	31.78	9.59	0+777.80	0+821.20	0+812.53	9625074.01	71
C17	N70° 04' 17"W	12.25	30.67	3.29	6.56	6.54	0.18	0.18	0+813.02	0+816.31	0+819.58	9625085.27	7
C18	N79° 32' 20"W	31.18	63.44	17.70	34.53	34.10	2.42	2.33	0+901.24	0+918.95	0+935.77	9625130.36	7
C21	S33° 57' 28"W	101.82	25.05	30.84	44.52	38.89	14.68	9.26	0+961.70	0+992.54	1+006.22	9625123.70	7
C24	S2° 22' 20"E	29.16	45.00	11.71	22.90	22.66	1.50	1.45	1+064.07	1+075.77	1+086.97	9625027.67	7
C25	S25° 00' 20"W	25.59	45.00	10.22	20.10	19.93	1.15	1.12	1+125.65	1+135.88	1+145.75	9624968.43	7
C27	S0° 15' 16"E	76.11	35.06	27.45	46.58	43.23	9.47	7.45	1+181.51	1+208.96	1+228.09	9624910.41	71
C28	S26° 36' 35"W	129.84	15.65	33.45	35.47	28.35	21.28	9.02	1+253.48	1+286.92	1+288.95	9624842.71	71
C30	S64° 10' 16"W	54.72	64.23	33.23	61.34	59.03	8.09	7.18	1+345.24	1+378.47	1+406.58	9624845.99	71
C31	S17° 36' 59"W	38.39	45.00	15.67	30.15	29.59	2.65	2.50	1+445.09	1+460.76	1+475.25	9624776.01	71
C33	S35° 34' 52"W	74.32	36.00	27.29	46.70	43.49	9.17	7.31	1+547.32	1+574.60	1+594.01	9624661.03	7
C34	S52° 55' 46"W	39.63	45.00	16.21	31.12	30.51	2.83	2.66	1+710.69	1+726.90	1+741.81	9624613.51	71
C35	S78° 05' 25"W	89.95	46.96	46.92	73.73	66.39	19.42	13.74	1+743.64	1+790.56	1+817.37	9624559.10	71
C36	N42° 31' 44"W	28.81	45.00	11.56	22.63	22.39	1.46	1.42	1+892.23	1+903.79	1+914.86	9624631.84	7
C37	N58° 21' 25"W	60.47	34.19	19.93	36.08	34.43	5.38	4.65	1+935.32	1+955.24	1+971.40	9624677.66	7
C38	N76° 12' 17"W	24.78	128.88	28.31	55.73	55.30	3.07	3.00	2+009.99	2+038.30	2+065.72	9624679.79	7
C39	N20° 11' 46"W	87.24	22.66	21.59	34.50	31.26	8.64	6.26	2+073.48	2+095.07	2+107.98	9624705.23	71

ESTRUCTURA DE VIA



ELEMENTOS DE CURVAS VERTICALES



- LCV LONGITUD DE CURVA VERTICAL
 PIV PROGRESIVA DE INTERSECCION VERTICAL
 PCV PROGRESIVA DE PRINCIPIO DE LA CURVA VERTICAL
 PTV PROGRESIVA DE PRINCIPIO DE TANGENTE VERTICAL
 ELV COTA DE ELEVACION
 L1 (m) LONGITUD DEL PRIMER TRAMO
 g1 (%) PENDIENTE LONGITUDINAL DEL TRAMO 1
 g2 (%) PENDIENTE LONGITUDINAL DEL TRAMO 2
 A (m/m) DIFERENCIA ALGEBRAICA ENTRE LAS PENDIENTES
- UNIVERSIDAD POLITECNICA SALESIANA

 AUTOR:
 SEBASTIAN CAJAS ERICK AREVALO
 PROVINCIA:
 CANTON:
 DISEÑO GEOMETRICO VIA COCHAPATA MORASLOMA

 PLANO:
 VISTA EN PLANTA DE 0+000 A 1+000

 AUTOR:
 SEBASTIAN CAJAS ERICK AREVALO
 RESPONSABLE:
 ING. DANIEL CARDENAS

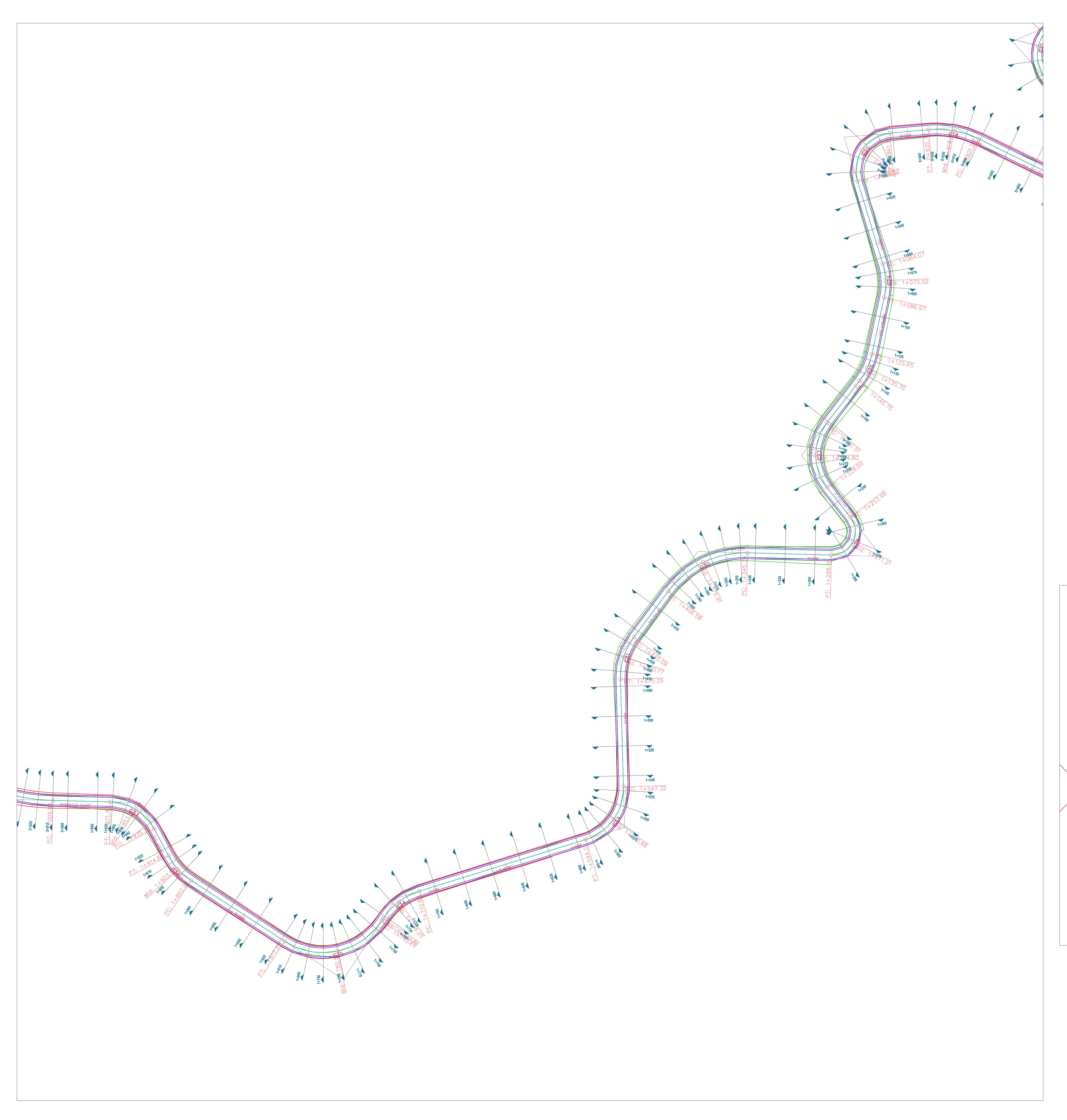
 PROVINCIA:
 AZUAY
 CANTON:
 PARROQUIA:
 COCHAPATA Y MORASLOMA

 TRABAJO DE TITULACION

 12-ENERO-2025
 1:1000

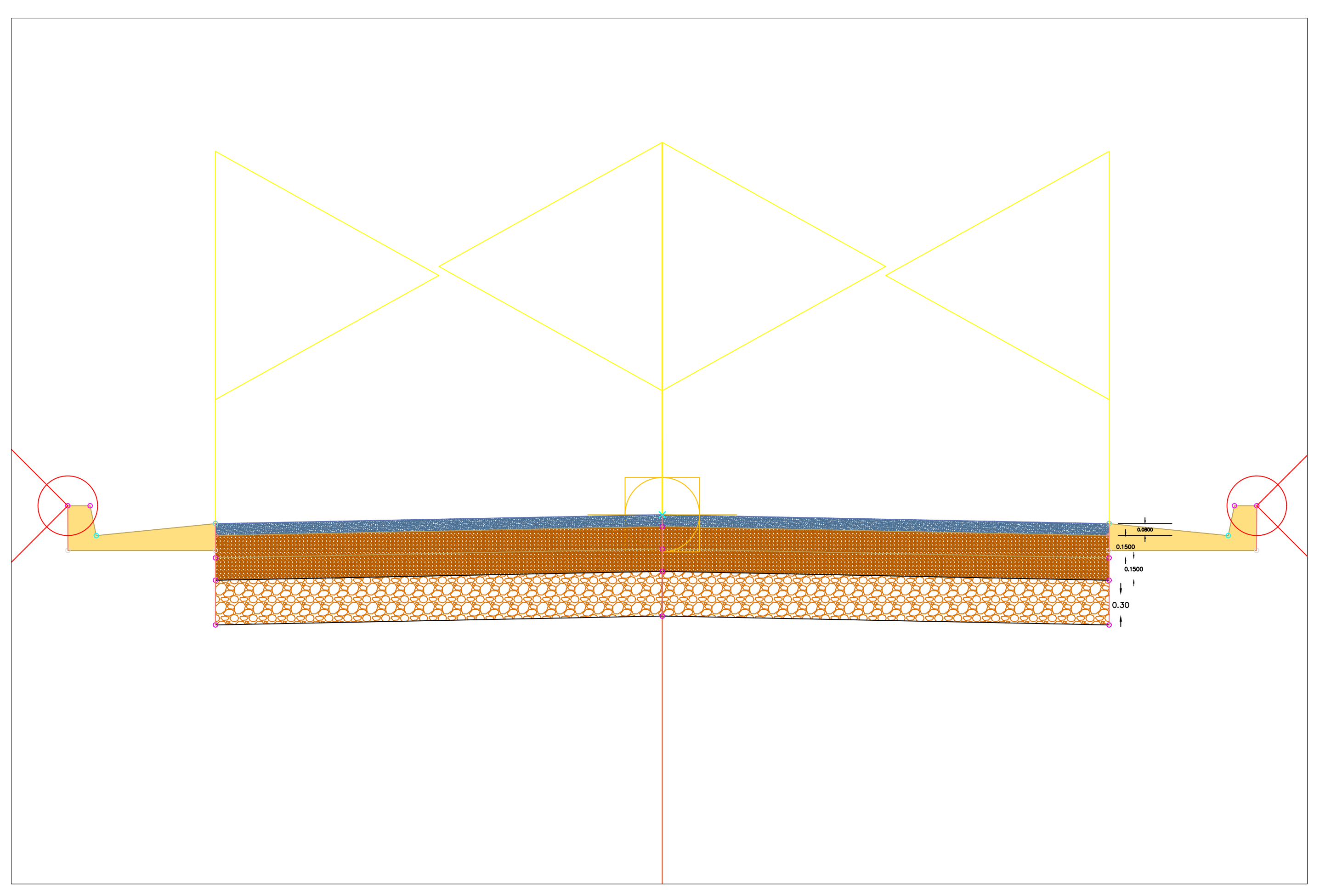
 LAMINA NÚMERO:
 AZUAY
 CANTON:
 PARROQUIA:
 PROVINCIA:
 AZUAY
 CANTON:
 AZUAY
 CANTON:
 AZUAY
 CANTON:
 TRABAJO DE TITULACION

 12-ENERO-2025
 1:1000

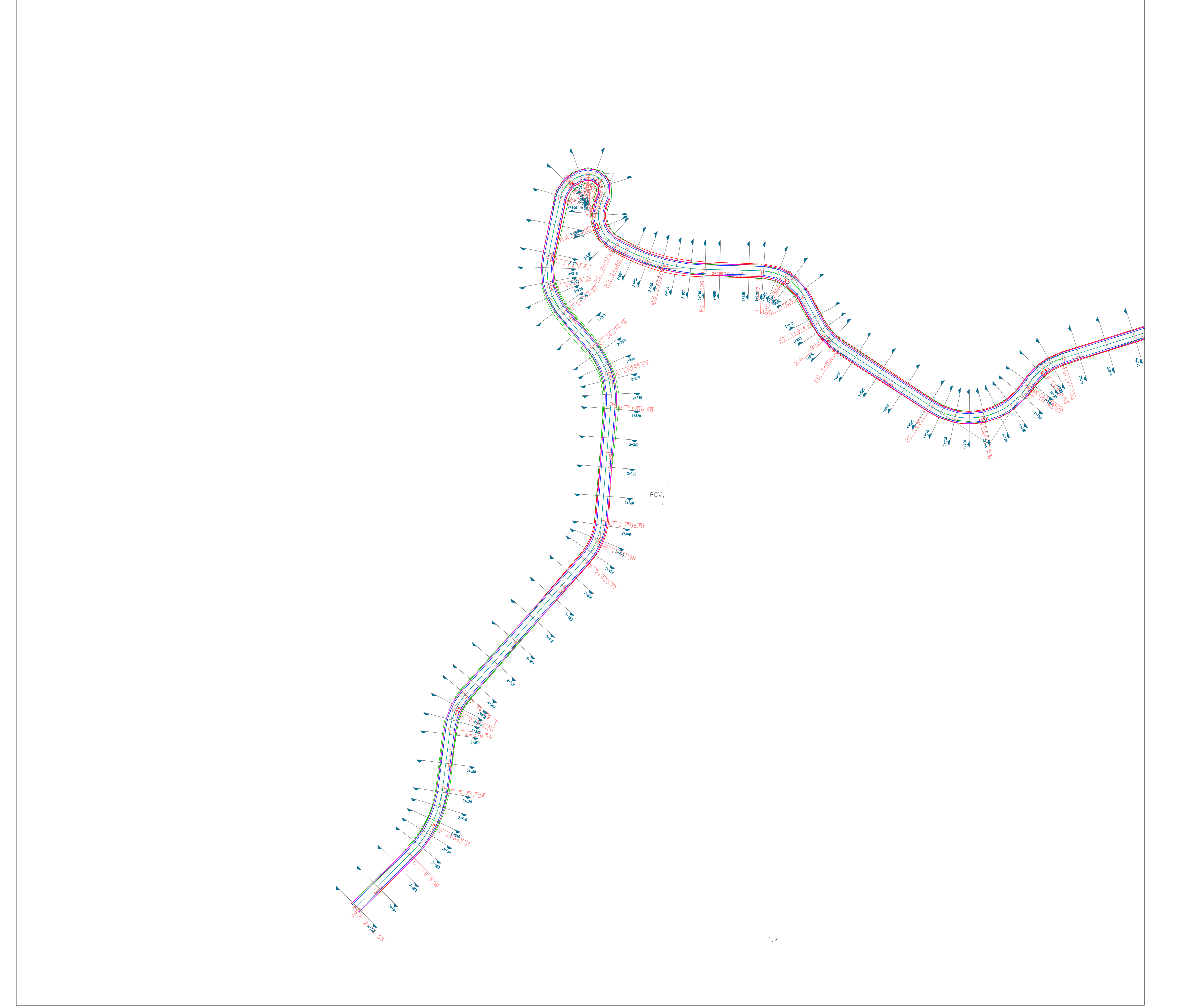


				CUADR	ODEELE	MENTO 8	DECU	RVA HOR	RIZONTAL				
NÚMERO Pl	DIRECCIÓN	DELTA (Δ)	RADIO	т	L	LC	E	М	PC	В	PT	PINORTE	PI ESTE
Ç1	854" 20'56"W	68.99	45.00	30.92	54, 19	50.97	9.60	7.91	0+058.59	0+089.52	0+112.78	9625373.51	71 2656.9
C5	8431 011281W	46.34	64.28	27.51	51.99	50.59	5.64	5.19	0+230.36	0+257.87	0+282.35	9625207.96	71 2597.3
C7	861° 12′00°W	9.99	45.00	3.93	7.85	7.84	0.17	0.17	0+361.09	0+365.02	0+368.94	9625163.49	712496.4
C9	NB 11 49/47 W	83.93	83.78	75.34	122.72	112.04	28.90	21.48	0+394.08	0+469.43	0+516.81	9625105.41	71 2409.
C14	N761 521411W	74.03	52.07	39.26	67.28	62.69	13.14	10.49	0+562.82	0+602.07	0+630.09	9625228.69	71 2306.
C15	8121 311101W	107.18	25.43	34.48	47.58	40.94	17.41	10.34	0+657.04	0+691.52	0+704.62	9625187.91	71 2214.
C16	831" 22'04"W	144.87	13,74	43.40	34, 73	26.19	31.78	9.59	0+777.80	0+821.20	0+812.53	9625074.01	71 2313.
C17	N7 01 041 171W	12.25	30.67	3.29	6.56	6.54	0.18	0.18	0+813.02	0+816.31	0+819.58	9625085.27	71 2268.
C18	N791 321201W	31.18	63.44	17.70	34, 53	34.10	2.42	2.33	0+901.24	0+918.95	0+935.77	9625130.36	712175.
C21	833" 57"28"W	101.82	25.05	30.84	44.52	38.89	14.68	9.26	0+961.70	0+992.54	1+006.22	9625123.70	712101.
C24	82" 22'20"E	29.16	45.00	11.71	22.90	22.66	1.50	1.45	1+064.07	1+075.77	1+086.97	9625027.67	71 2130.
C25	825° 00′ 20°W	25.59	45.00	10.22	20.10	19.93	1.15	1.12	1+125.65	1+135.88	1+145.75	9624968.43	71 2118.
C27	80° 15' 16"E	76.11	35.06	27.45	46.58	43.23	9.47	7.45	1+181.51	1+208.96	1+228.09	9624910.41	71 2073.
C28	826" 36'35"W	129.84	15, 65	33.45	35, 47	28.35	21.28	9.02	1+253.48	1+286.92	1+288.95	9624842.71	712126.
C30	8641 10/16°W	54.72	64.23	33.23	61.34	59.03	8.09	7.18	1+345.24	1+378.47	1+406.58	9624845.99	71 2003.
C31	817" 36'59"W	38.39	45.00	15.67	30, 15	29.59	2.65	2.50	1+445.09	1+460.76	1+475.25	9624776.01	71 1951.3
C33	835" 34'52"W	74.32	36.00	27.29	46.70	43.49	9.17	7.31	1+547.32	1+574.60	1+594.01	9624661.03	71 1954.
C34	852" 55'46"W	39.63	45.00	16.21	31, 12	30.51	2.83	2.66	1+710.69	1+726.90	1+741.81	9624613.51	71 1801.4
C35	8781 05/25°W	89.95	46.96	46.92	73, 73	66.39	19.42	13.74	1+743.64	1+790.56	1+817.37	9624559.10	71 1765.
C36	N421 311441W	28.81	45.00	11.56	22.63	22.39	1.46	1.42	1+892.23	1+903.79	1+914.86	9624631.84	711654.3
¢37	N58" 21" 25"W	60.47	34.19	19.93	36,08	34.43	5.38	4.65	1+935.32	1+955.24	1+971.40	9624677.66	71 1629.
C38	N76" 12'17"W	24.78	128.88	28.31	55.73	55.30	3.07	3.00	2+009.99	2+038.30	2+065.72	9624679.79	71 1542.
C39	N20" 11'46"W	87.24	22.66	21.59	34,50	31.26	8.64	6.26	2+073.48	2+095.07	2+107.98	9624705.23	71 1491.
C40	N341 541151W	116.66	10.74	17.41	21.87	18.29	9.72	5.10	2+112.48	2+129.89	2+134.35	9624745.15	71 1508.
C41	849° 10′ 21°W	75.19	20.69	15.93	27.15	25.25	5.42	4.30	2+134.58	2+150.51	2+161.73	9624743.26	71 1475.

ESTRUCTURA DE VIA



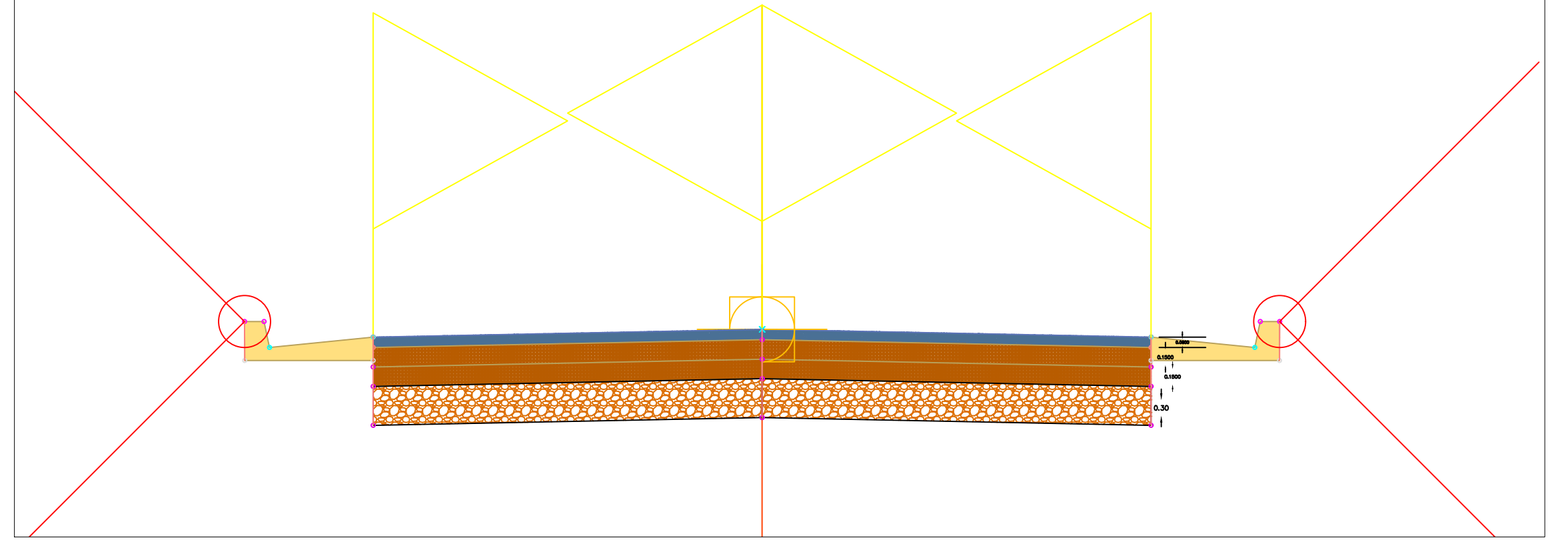
UNIVERSIDAD POLITECNICA SALESIAN	VA	AUTOR: SEBASTIAN CAJAS - ERICK AREVALO	PROVINCIA: CANTON:	AZUAY	LAMINA NUMERO:
PROYECTO: DISEÑO GEOMETRICO VIA COCHAPATA - MORASLOMA		RESPONSABLE: ING. DANIEL CARDENAS	PARROQUIA:	NABON COCHAPATA Y MORASLOMA	2/7
PLANO: VISTA EN PLANTA DE 0+000 A 1+000	. Again ag a dealla y dhalas adains alamin squ'in edallas de tras capa à adain à yaquing q	ASIGNATURA: TRABAJO DE TITULACION	FECHA: 12-ENERO-20	ESCALA: 025 1:1000	



				CUADR	O DE ELE	MENTOS	DE CUI	RVA HOI	RIZONTAL				
NÚMERO PI	DIRECCIÓN	DELTA (Δ)	RADIO	Т	L	LC	Е	M	PC	PI	PT	PI NORTE	PI EST
C1	S54° 20' 56"W	68.99	45.00	30.92	54.19	50.97	9.60	7.91	0+058.59	0+089.52	0+112.78	9625373.51	712656
C5	S43° 01' 28"W	46.34	64.28	27.51	51.99	50.59	5.64	5.19	0+230.36	0+257.87	0+282.35	9625207.96	712597
C7	S61° 12' 00"W	9.99	45.00	3.93	7.85	7.84	0.17	0.17	0+361.09	0+365.02	0+368.94	9625163.49	712496
C9	N81° 49' 47"W	83.93	83.78	75.34	122.72	112.04	28.90	21.48	0+394.08	0+469.43	0+516.81	9625105.41	712409
C14	N76° 52' 41"W	74.03	52.07	39.26	67.28	62.69	13.14	10.49	0+562.82	0+602.07	0+630.09	9625228.69	712306
C15	S12° 31' 10"W	107.18	25.43	34.48	47.58	40.94	17.41	10.34	0+657.04	0+691.52	0+704.62	9625187.91	712214
C16	S31° 22' 04"W	144.87	13.74	43.40	34.73	26.19	31.78	9.59	0+777.80	0+821.20	0+812.53	9625074.01	712313
C17	N70° 04' 17"W	12.25	30.67	3.29	6.56	6.54	0.18	0.18	0+813.02	0+816.31	0+819.58	9625085.27	712268
C18	N79° 32' 20"W	31.18	63.44	17.70	34.53	34.10	2.42	2.33	0+901.24	0+918.95	0+935.77	9625130.36	712175
C21	S33° 57' 28"W	101.82	25.05	30.84	44.52	38.89	14.68	9.26	0+961.70	0+992.54	1+006.22	9625123.70	712101
C24	S2° 22' 20"E	29.16	45.00	11.71	22.90	22.66	1.50	1.45	1+064.07	1+075.77	1+086.97	9625027.67	712130
C25	S25° 00' 20"W	25.59	45.00	10.22	20.10	19.93	1.15	1.12	1+125.65	1+135.88	1+145.75	9624968.43	712118
C27	S0° 15' 16"E	76.11	35.06	27.45	46.58	43.23	9.47	7.45	1+181.51	1+208.96	1+228.09	9624910.41	712073
C28	S26° 36' 35"W	129.84	15.65	33.45	35.47	28.35	21.28	9.02	1+253.48	1+286.92	1+288.95	9624842.71	712126
C30	S64° 10' 16"W	54.72	64.23	33.23	61.34	59.03	8.09	7.18	1+345.24	1+378.47	1+406.58	9624845.99	712003
C31	S17° 36' 59"W	38.39	45.00	15.67	30.15	29.59	2.65	2.50	1+445.09	1+460.76	1+475.25	9624776.01	711951
C33	S35° 34' 52"W	74.32	36.00	27.29	46.70	43.49	9.17	7.31	1+547.32	1+574.60	1+594.01	9624661.03	711954
C34	S52° 55' 46"W	39.63	45.00	16.21	31.12	30.51	2.83	2.66	1+710.69	1+726.90	1+741.81	9624613.51	711801
C35	S78° 05' 25"W	89.95	46.96	46.92	73.73	66.39	19.42	13.74	1+743.64	1+790.56	1+817.37	9624559.10	711765
C36	N42° 31' 44"W	28.81	45.00	11.56	22.63	22.39	1.46	1.42	1+892.23	1+903.79	1+914.86	9624631.84	711654
C37	N58° 21' 25"W	60.47	34.19	19.93	36.08	34.43	5.38	4.65	1+935.32	1+955.24	1+971.40	9624677.66	711629
C38	N76° 12' 17"W	24.78	128.88	28.31	55.73	55.30	3.07	3.00	2+009.99	2+038.30	2+065.72	9624679.79	711542
C39	N20° 11' 46"W	87.24	22.66	21.59	34.50	31.26	8.64	6.26	2+073.48	2+095.07	2+107.98	9624705.23	711491
C40	N34° 54' 15"W	116.66	10.74	17.41	21.87	18.29	9.72	5.10	2+112.48	2+129.89	2+134.35	9624745.15	711508
041	C40° 40! 24!!\	75 40	20.60	15.02	07.15	25.25	E 40	4.20	21424 50	0.150.51	0.161.72	0624742.06	71117

	CUADRO DE ELEMENTOS DE CURVA HORIZONTAL												
NÚMERO PI	DIRECCIÓN	DELTA (Δ)	RADIO	Т	L	LC	E	M	PC	PI	PT	PI NORTE	PI ESTE
C42	S14° 34' 23"E	52.30	45.00	22.09	41.08	39.67	5.13	4.61	2+202.49	2+224.59	2+243.57	9624666.07	711459.19
C45	S18° 05' 02"E	45.28	54.02	22.53	42.69	41.59	4.51	4.16	2+274.19	2+296.72	2+316.88	9624609.05	711508.29
C46	S22° 59' 43"W	36.88	45.00	15.00	28.96	28.47	2.44	2.31	2+396.81	2+411.81	2+425.77	9624491.96	711498.96
C48	S24° 18' 46"W	34.24	45.00	13.86	26.90	26.50	2.09	1.99	2+549.35	2+563.21	2+576.24	9624377.67	711398.07
C49	S26° 19' 37"W	38.27	76.86	26.67	51.34	50.39	4.50	4.25	2+617.24	2+643.91	2+668.59	9624296.78	711387.87

ESTRUCTURA DE VIA

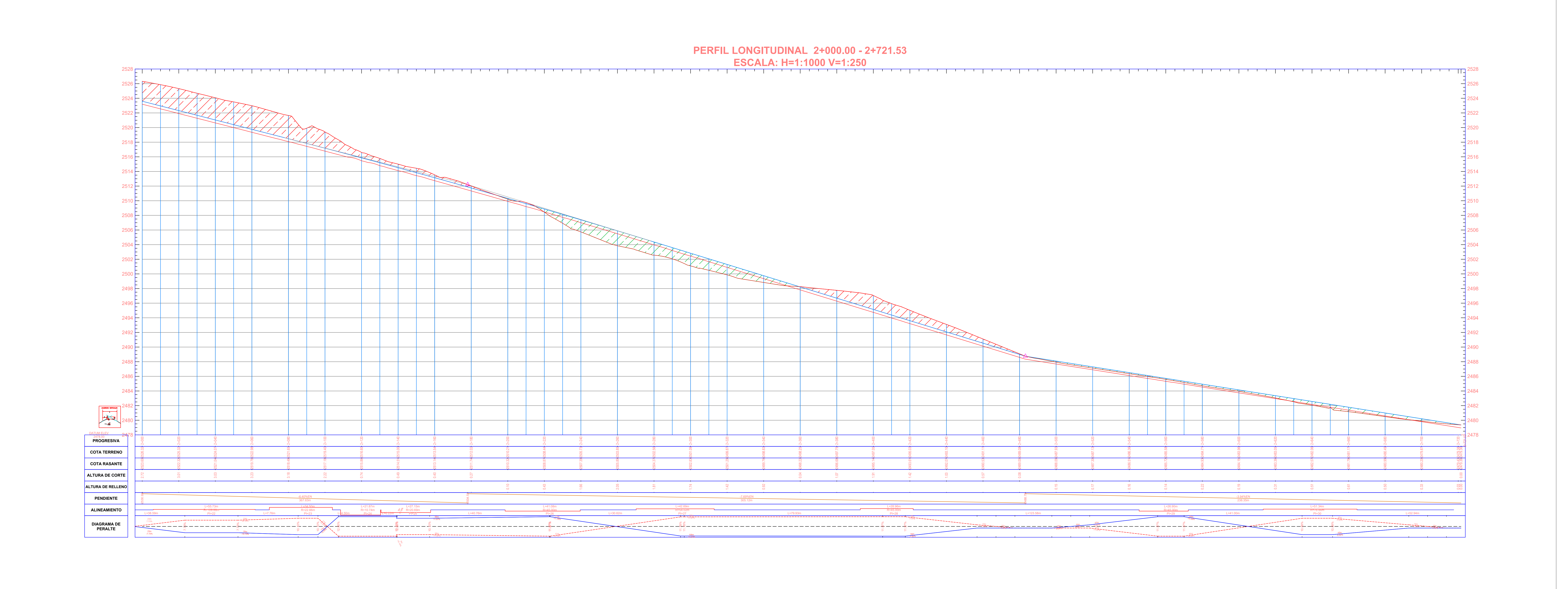


UNIVERSIDAD POLITECNICA SALESIAN	NΑ	AUTOR: SEBASTIAN CAJAS - ERICK AREVALO	PROVINCIA: AZUAY CANTON:		LAMINA NUMERO:
PROYECTO: DISEÑO GEOMETRICO VIA COCHAPATA - MORASLOMA		RESPONSABLE: ING. DANIEL CARDENAS	PARROQUIA:	NABON COCHAPATA Y MORASLOMA	3/7
PLANO: VISTA EN PLANTA DE 0+000 A 1+000	Apath ng alantin pilanta datar danta gala-alantin in tana-ayar a datar a yapang	ASIGNATURA: TRABAJO DE TITULACION	FECHA: 12-ENERO-20	ESCALA: 025 1:1000	

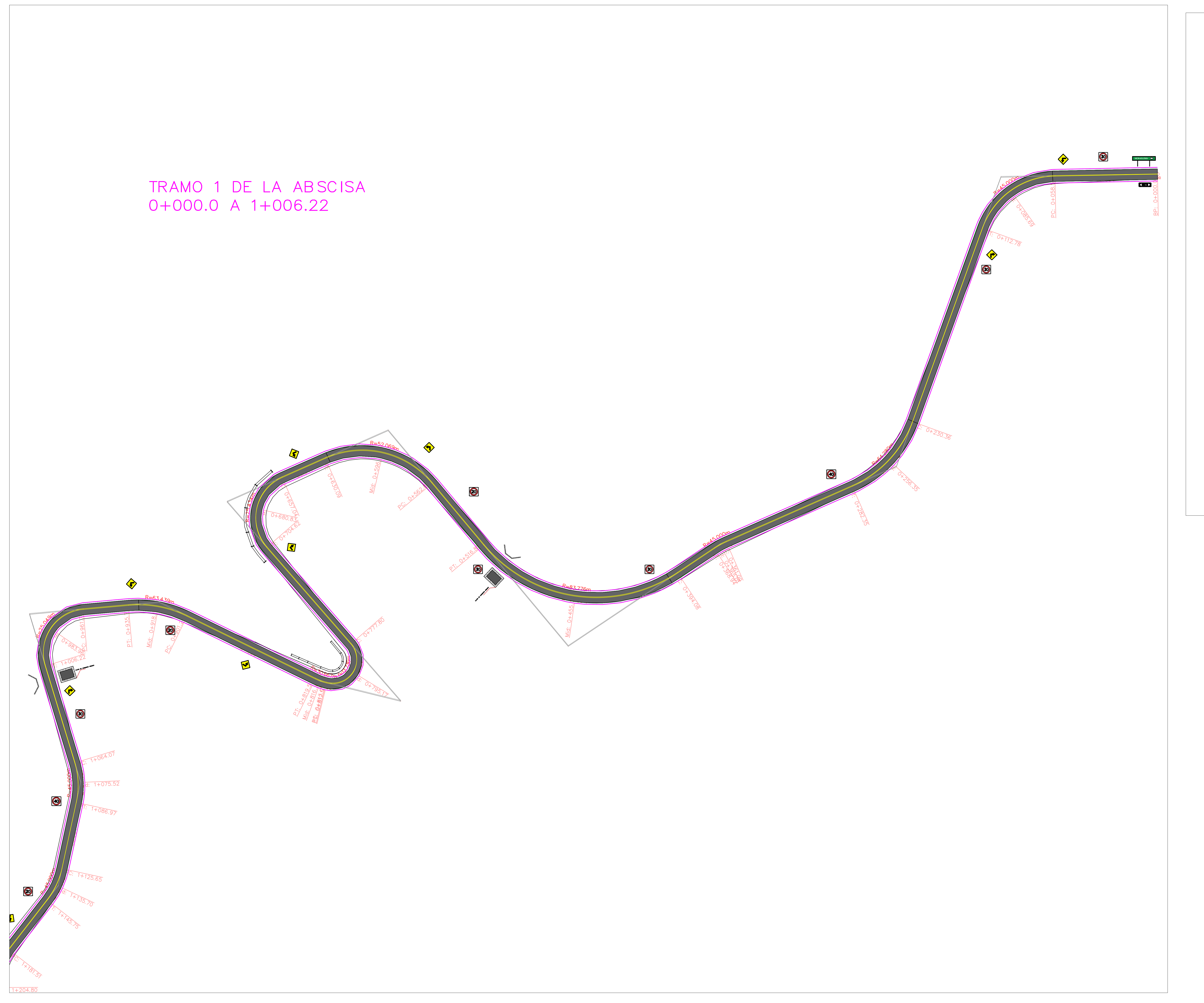
PERFIL LONGITUDINAL 0+000.00 - 1+000.00 ESCALA: H=1:1000 V=1:250 PROGRESIVA **COTA TERRENO** COTA RASANTE ALTURA DE CORTE ALTURA DE RELLENO PENDIENTE ALINEAMIENTO

UNIVERSIDAD POLITECNICA SALESIANA	SEBASTIAN CAJAS - ERICK AREVALO	PROVINCIA:	AZUAY	LAMINA NUMERO:
PROYECTO: DISEÑO GEOMETRICO VIA COCHAPATA - MORASLOMA	RESPONSABLE: ING. DANIEL CARDENAS	PARROQUIA:	NABON COCHAPATA Y MORASLOMA	4/7
PLANO: VISTA EN PLANTA DE 0+000 A 1+000	ASIGNATURA: TRABAJO DE TITULACION	FECHA: 12-ENERO-2025	ESCALA: 5 1:1000	





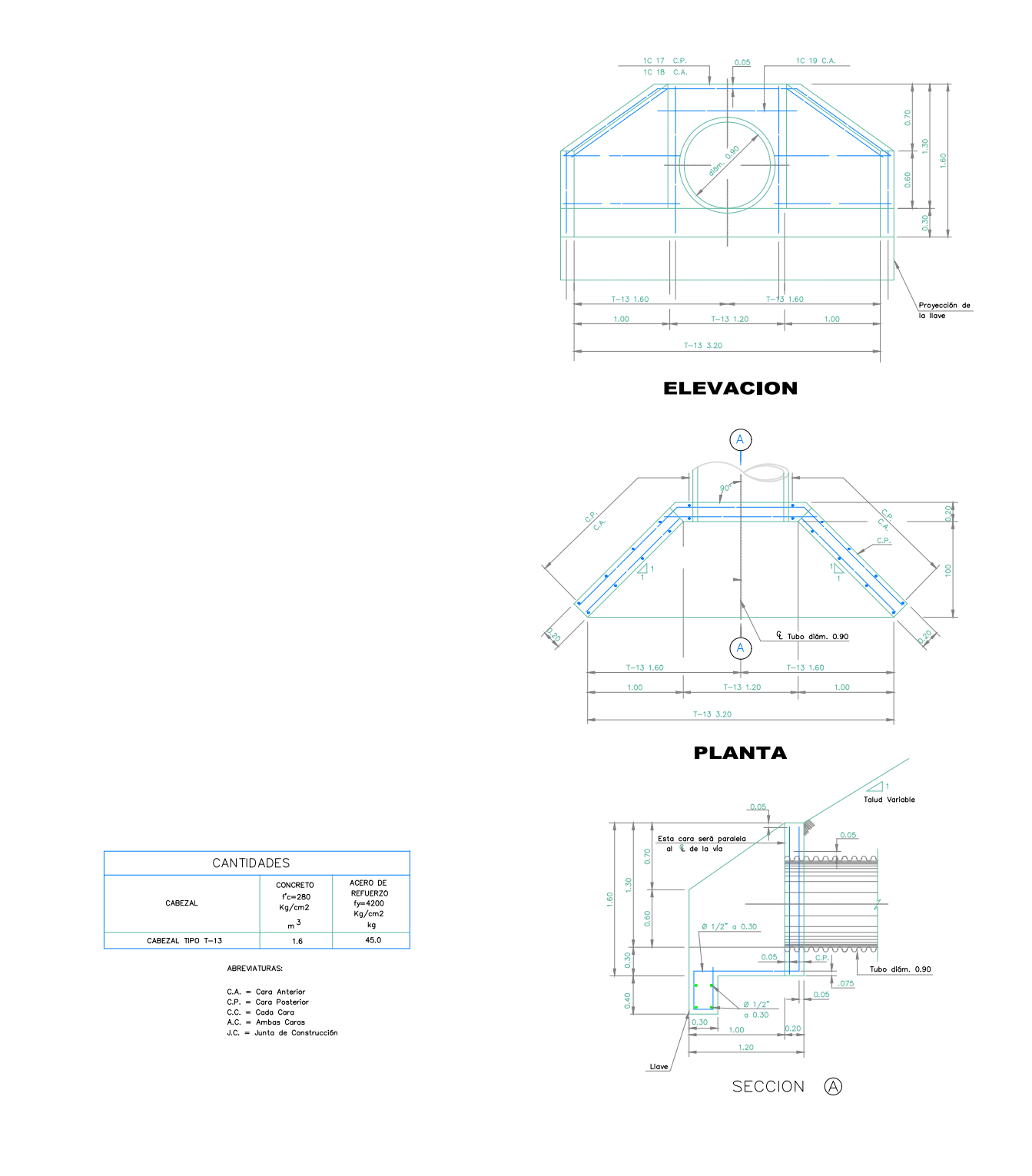
UNIVERSIDAD POLITECNICA SALESIAI	AUTOR: SEBASTIAN CAJAS - ERICK AREVALO	PROVINCIA: AZUAY CANTON:		LAMINA NUMERO:	
PROYECTO: DISEÑO GEOMETRICO VIA COCHAPATA - MORASLOMA		RESPONSABLE: ING. DANIEL CARDENAS	PARROQUIA:	NABON COCHAPATA Y MORASLOMA	4/7
PLANO: VISTA EN PLANTA DE 0+000 A 1+000		ASIGNATURA: TRABAJO DE TITULACION	FECHA: 12-ENERO-20	ESCALA: 025 1:1000	



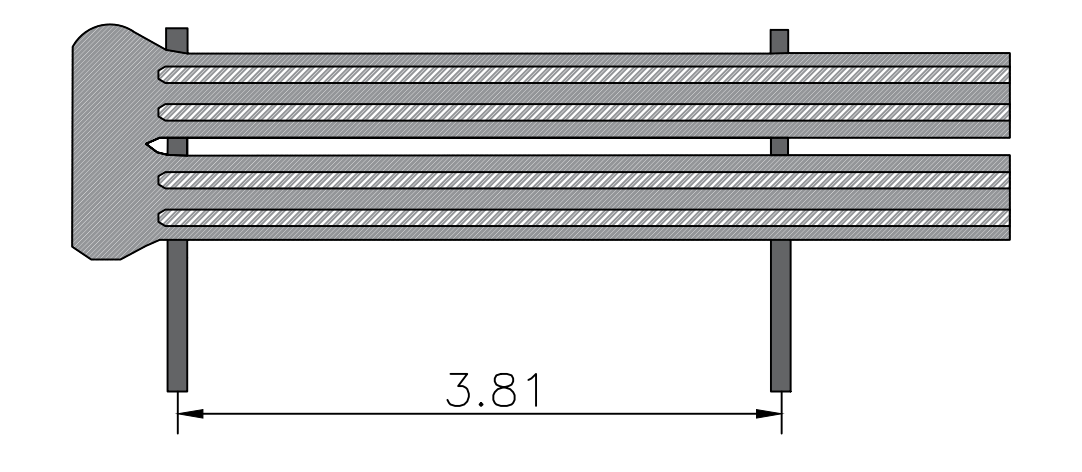
SEÑALIZACION VERTICAL DE LA VIA

COCHAPATA -	DECISIÓN DE DESTINO
MORASLOMA 🛑	DECISIÓN DE DESTINO
NO ENT	DOBLE VÍA
20	LÍMITE MÁXIMO DE VELOCIDAD
30	LÍMITE MÁXIMO DE VELOCIDAD
40	LÍMITE MÁXIMO DE VELOCIDAD
	CURVA CERRADA IZQUIERDA
	CURVA CERRADA DERECHA
	CURVA Y CONTRA CURVA IZQUIERDA — DERECHA
	CURVA Y CONTRA CURVA DERECHA — IZQUIERDA

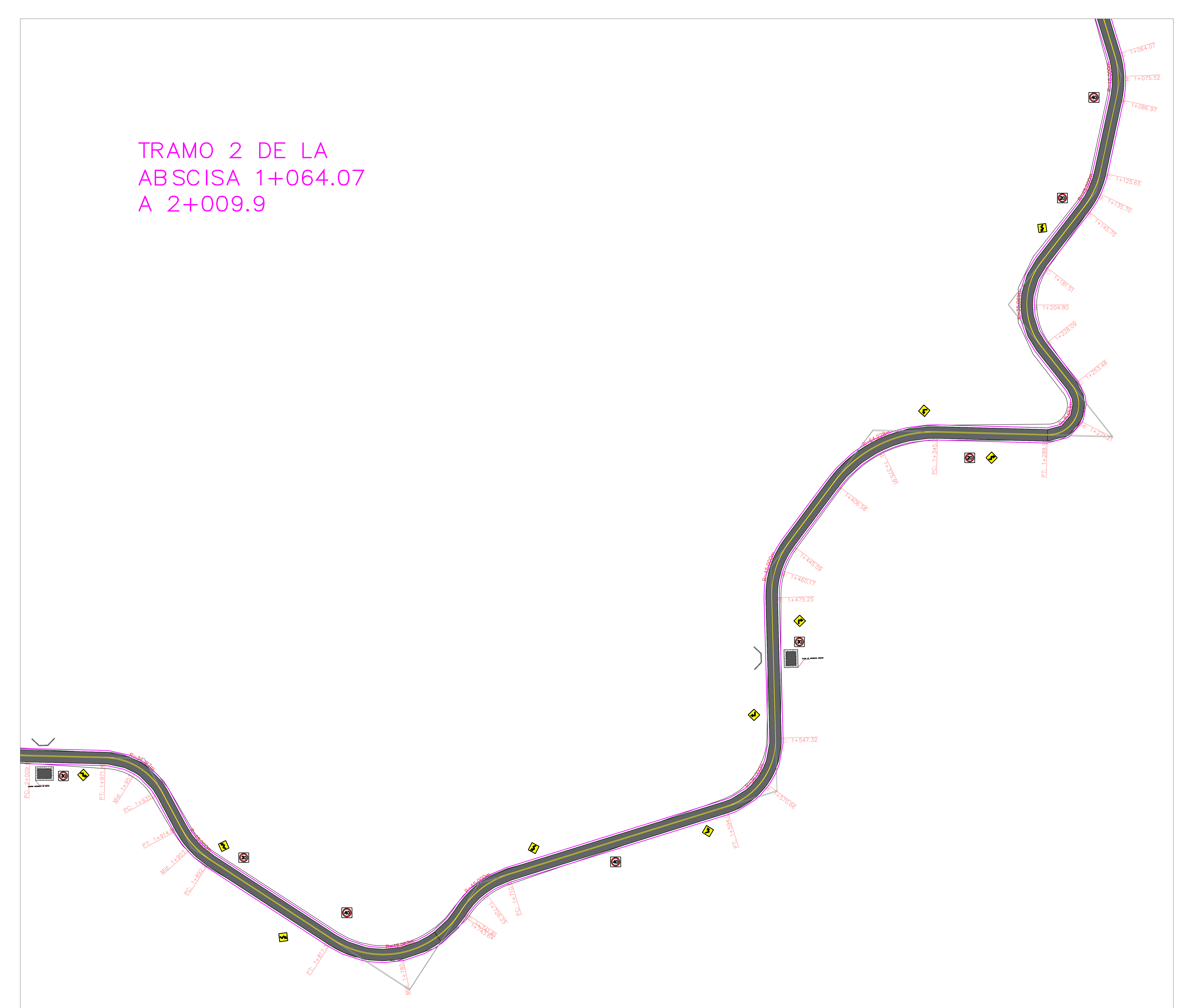
ALCANTARILLA CON CABEZALES EN 0+510 Y 1+007



GUARDAVÍAS DE ACERO DE 0+657.04 a 0+705

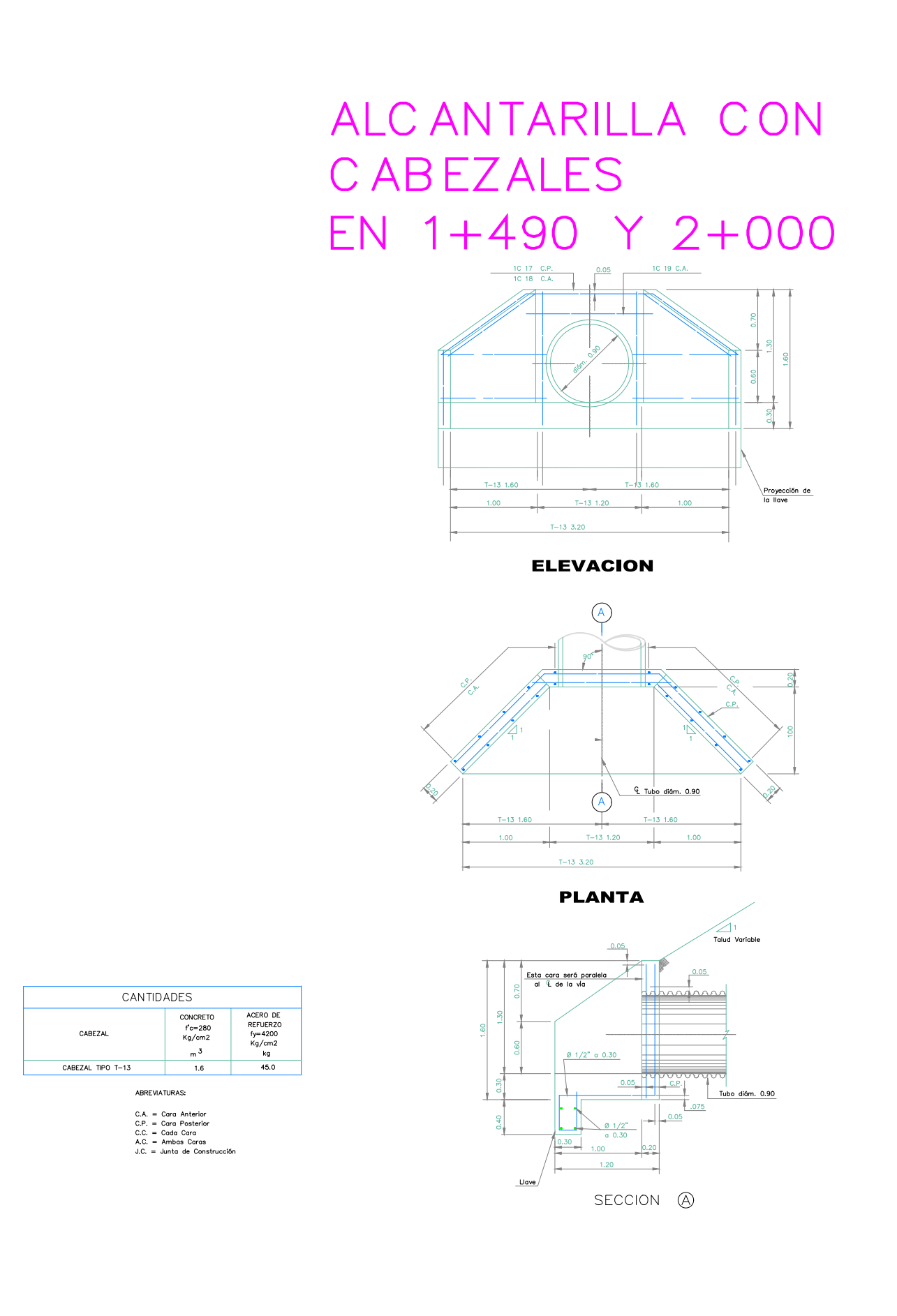


	UNIVERSIDAD POLITECNICA SALESIAN	AUTOR: SEBASTIAN CAJAS - ERICK AREVALO	PROVINCIA:		LAMINA NUMERO:	
-	PROYECTO:		RESPONSABLE:	CANTON:	NABON	
				PARROQUIA:	COCHAPATA-MORASLOMA	1/9
	DISEÑO DE SEÑALIZACIÓN VIA COCHAPATA - MORASLOMA		ING. DANIEL CARDENAS			1/3
	PLANO:		ASIGNATURA:	FECHA:	10 / 01 / 0005	
	SEÑALIZACIÓN Y ESTRUCTURAS DE 0+000 A 1+000		TRABAJO DE TITULACION		13 / 01 / 2025	



SEÑALIZACION VERTICAL DE LA VIA

COCHAPATA	DECISIÓN DE DESTINO
MORASLOMA -	DECISIÓN DE DESTINO
DOSLEVIA	DOBLE VÍA
20	LÍMITE MÁXIMO DE VELOCIDAD
30	LÍMITE MÁXIMO DE VELOCIDAD
40	LÍMITE MÁXIMO DE VELOCIDAD
	CURVA CERRADA IZQUIERDA
	CURVA CERRADA DERECHA
	CURVA Y CONTRA CURVA IZQUIERDA — DERECHA
	CURVA Y CONTRA CURVA DERECHA — IZQUIERDA



	UNIVERSIDAD POLITECNICA SALESIANA
1	

DISEÑO DE SEÑALIZACIÓN VIA COCHAPATA - MORASLOMA

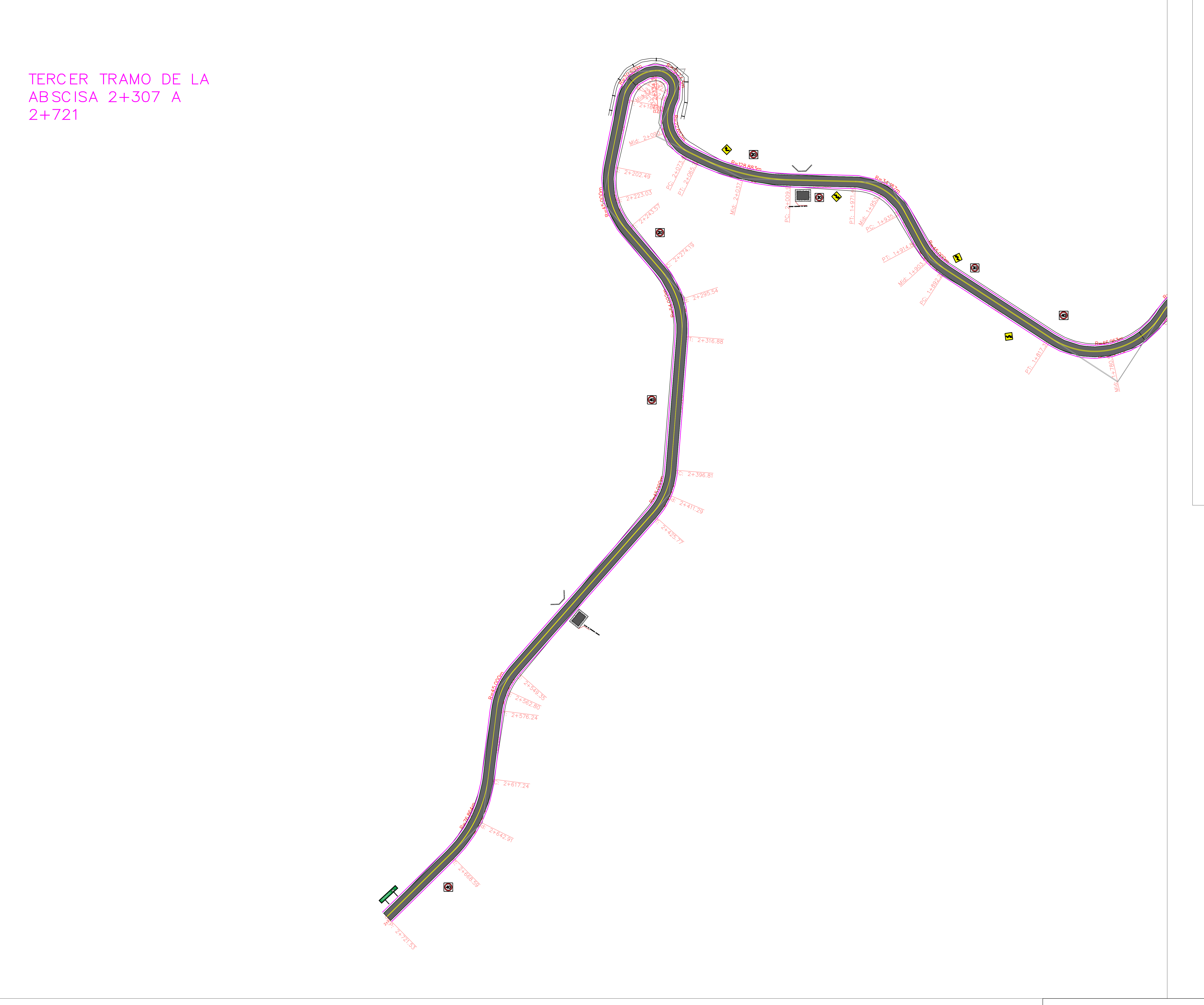
O	ECTO:	
	DISEÑO DE SEÑALIZACIÓN VIA COCHAPATA - MORASLOMA	
ANO:		
	SEÑALIZACIÓN Y ESTRUCTURAS DE 0+000 A 1+000	

ASIGNATURA:

TRABAJO DE TITULACION

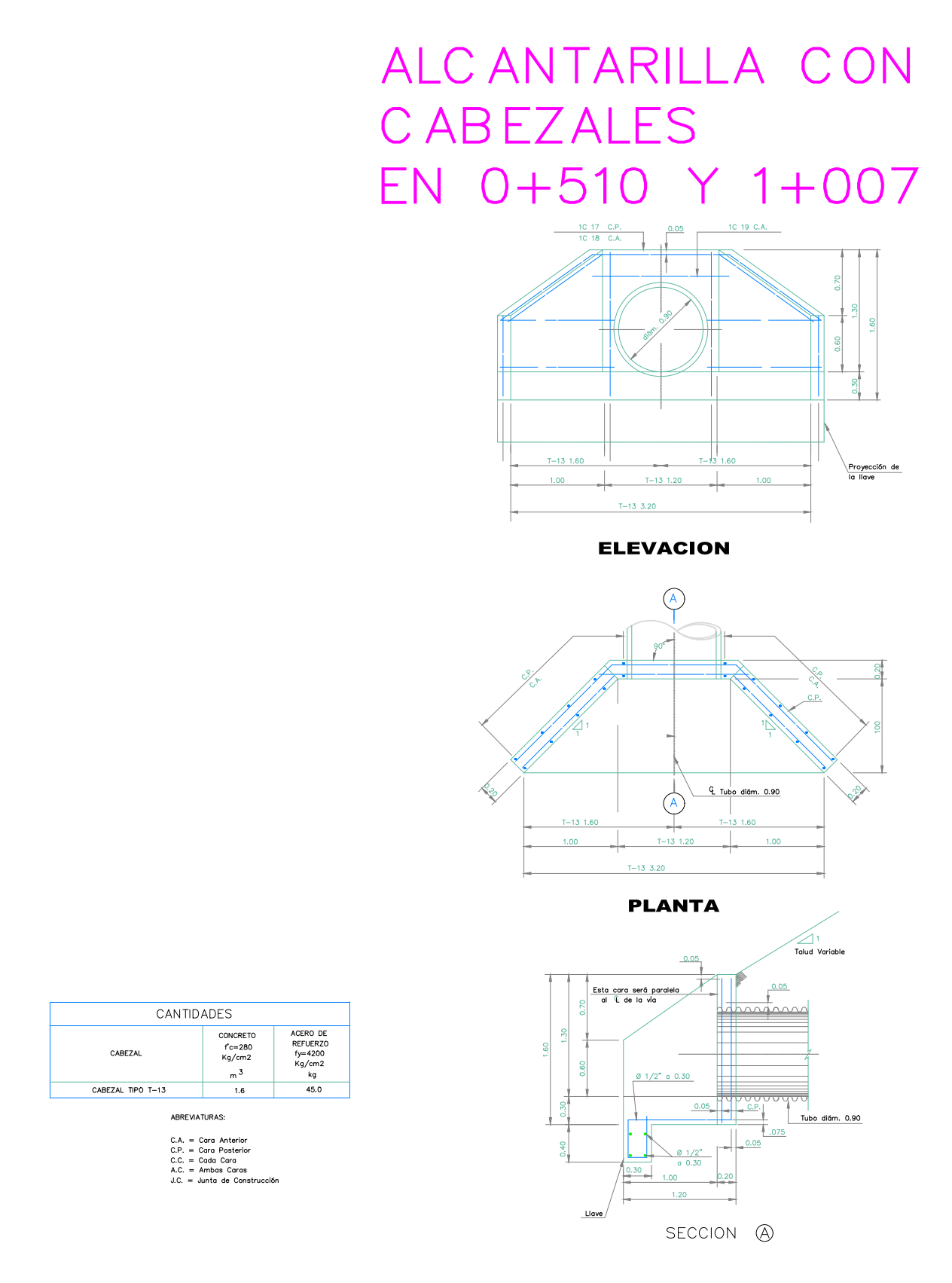
AUTOR:	DDOLUNIOIA .	A 71 1 A 3 /	
SEBASTIAN CAJAS - ERICK AREVALO	PROVINCIA:	AZUAY	
	CANTON:	NABON	
RESPONSABLE:	DADDOOLHA		
ING. DANIEL CARDENAS	PARKOQUIA:	COCHAPATA-MORASLOMA	

FECHA: 13 / 01 / 2025

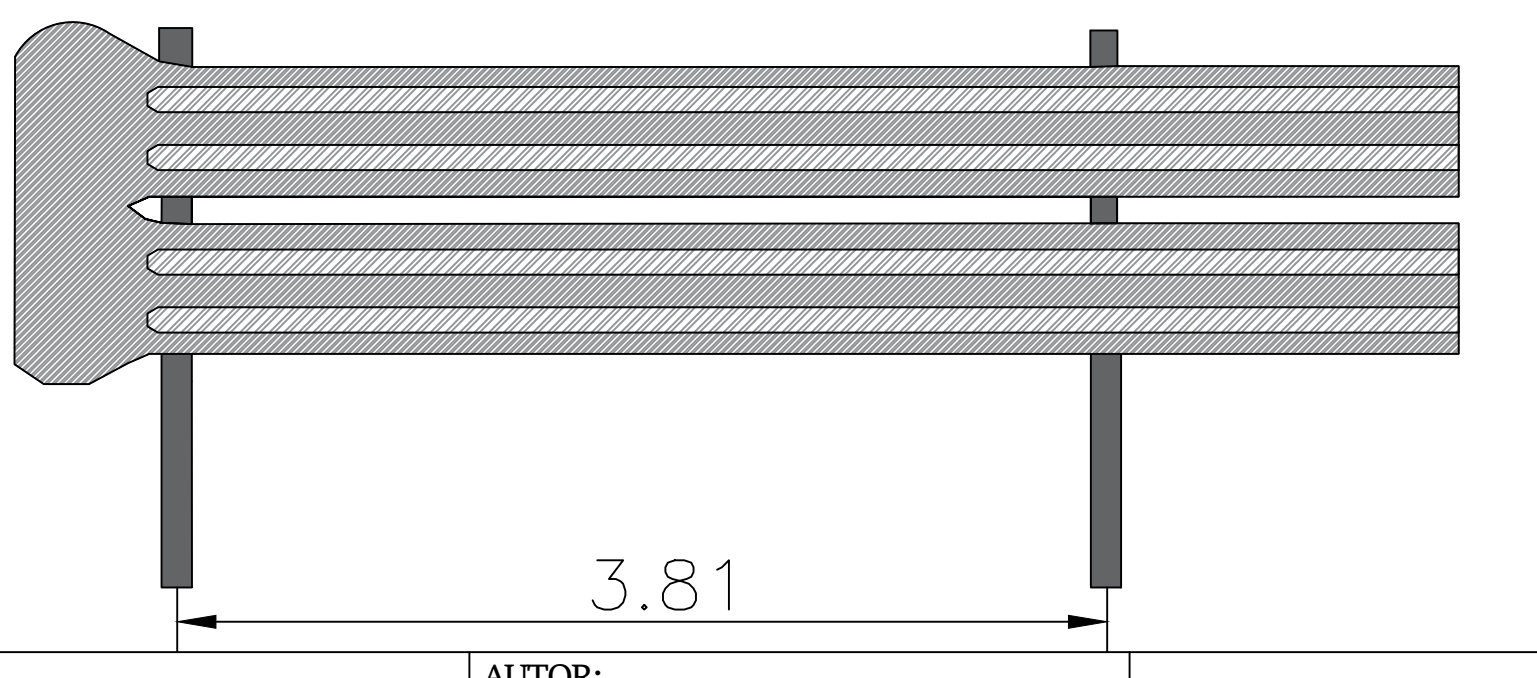


SEÑALIZACION VERTICAL DE LA VIA

COCHAPATA	DECISIÓN DE DESTINO
MORASLOMA -	DECISIÓN DE DESTINO
NOS-LEVIA	DOBLE VÍA
20	LÍMITE MÁXIMO DE VELOCIDAD
30	LÍMITE MÁXIMO DE VELOCIDAD
40	LÍMITE MÁXIMO DE VELOCIDAD
	CURVA CERRADA IZQUIERDA
	CURVA CERRADA DERECHA
(4)	CURVA Y CONTRA CURVA IZQUIERDA — DERECHA
	CURVA Y CONTRA CURVA DERECHA — IZQUIERDA



GUARDAVÍAS DE ACERO DE 2+100 a 2+180



UNIVERSIDAD POLITECNICA SALESIANA

PROVECTO:

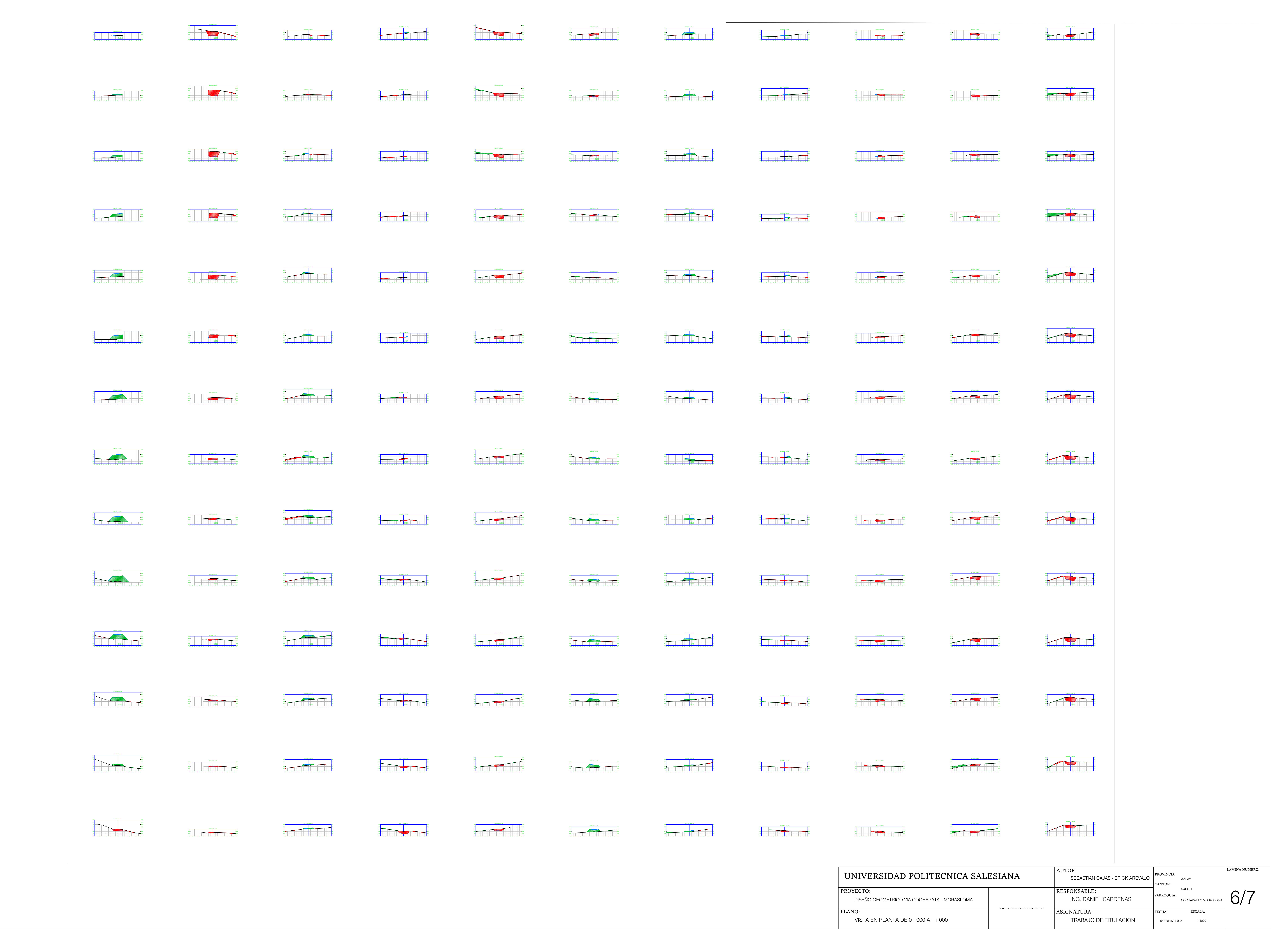
PROYECTO:

DISEÑO DE SEÑALIZACIÓN VIA COCHAPATA - MORASLOMA

ANO: SEÑALIZACIÓN Y ESTRUCTURAS DE 0+000 A 1+000



	J.0			
	AUTOR:	DD OV WAYOU		LAMINA
	SEBASTIAN CAJAS - ERICK AREVALO	PROVINCIA:	AZUAY	LAMINA
		CANTON:	NABON	
8	RESPONSABLE:]		\bigcirc
	ING. DANIEL CARDENAS	PARROQUIA:	COCHAPATA-MORASLOMA	.3
8				
8	ASIGNATURA:	FECHA:	13 / 01 / 2025	
600			13/111/20125	





UNIVERSIDAD POLITECNICA SALI	ESIANA	AUTOR: SEBASTIAN CAJAS - ERICK AREVALO	PROVINCIA: CANTON:	AZUAY	LAMINA NUMERO:
PROYECTO: DISEÑO GEOMETRICO VIA COCHAPATA - MORASLOMA		RESPONSABLE: ING. DANIEL CARDENAS	PARROQUIA:	NABON COCHAPATA Y MORASLOMA	7/7
PLANO: VISTA EN PLANTA DE 0+000 A 1+000	Agrille yay ushankini yalimaka ushakan akanda agasha ushankini dan kusu ungan da ushaka da yangataya	ASIGNATURA: TRABAJO DE TITULACION	FECHA: 12-ENERO-20	ESCALA: 025 1:1000	